

АСТРОНОМИЧЕСКИЙ ЖУРНАЛ

www.sciencejournals.ru



СОДЕРЖАНИЕ

Том 100, номер 4, 2023

Трехмерная численная модель оболочки горячей экзопланеты на основе сферических координат	
А. Г. Жилкин	305
Новое значение скорости апсидального вращения и физические параметры тройной затменной системы AS Cam	
И. М. Волков	319
Звездная структура северной части области Меча Ориона	
С. В. Верещагин, Н. В. Чупина	336

ТРЕХМЕРНАЯ ЧИСЛЕННАЯ МОДЕЛЬ ОБОЛОЧКИ ГОРЯЧЕЙ ЭКЗОПЛАНЕТЫ НА ОСНОВЕ СФЕРИЧЕСКИХ КООРЛИНАТ

© 2023 г. А. Г. Жилкин*

Институт астрономии Российской академии наук, Москва, Россия
*E-mail: zhilkin@inasan.ru

Поступила в редакцию 21.12.2022 г. После доработки 16.02.2023 г. Принята к публикации 06.03.2023 г.

Для исследования процесса обтекания горячего юпитера звездным ветром разработан новый трехмерный параллельный численный код в сферических координатах. Особенность сферической системы координат в окрестности полюсов преодолевается с помощью использования тернарной сферической сетки, которая представляет собой композитную сетку, состоящую из трех отдельных секторов. Численная модель многокомпонентной магнитной гидродинамики, разработанная ранее для декартовых координат, перенесена в новую модель. Представлены результаты численного расчета структуры протяженной оболочки квазиоткрытого типа для случая сверхальфвеновского обтекания горячего юпитера. Показано, что пространственного разрешения сетки оказывается достаточно для самосогласованного расчета структуры атмосферы горячего юпитера. Это позволяет в дальнейшем использовать новую модель для трехмерных аэрономических расчетов.

Ключевые слова: численное моделирование, магнитная гидродинамика (МГД), сферические координаты, горячие юпитеры

DOI: 10.31857/S0004629923040060, EDN: UNCEEP

1. ВВЕДЕНИЕ

Горячими экзопланетами называются планеты, орбиты которых расположены близко к родительской звезде (большая полуось орбиты не превосходит 0.1 а.е.) [1]. Одним из ключевых факторов, определяющих состояние атмосферы таких планет, является нагрев излучением звезды, который происходит за счет поглощения излучения в диапазонах мягкого рентгена (1-10 нм) и жесткого ультрафиолета (10–100 нм). Кроме того, важный вклад в нагрев верхней атмосферы могут давать частицы плазмы звездного ветра и магнитосферы. В частности, необходимо учитывать процесс высыпания электронов магнитосферного происхождения [2]. В формировании экзосфер горячих экзопланет определяющую роль играют процессы взаимодействия со звездой. Высокая температура верхней атмосферы сопровождается ее ионизацией и расширением и может приводить к значительному притоку плазмы в магнитосферу. В результате возникают интенсивные газодинамические потоки. Вещество плазмосферы в этом случае уже не является бесстолкновительным, а форма плазмосферы может значительно отличаться от сферической.

Примерами горячих экзопланет являются горячие юпитеры и теплые нептуны. Первый горячий юпитер был открыт еще в 1995 г. [3]. Вследствие близкого расположения к родительской звезде и относительно больших размеров газовые оболочки горячих экзопланет-гигантов могут переполнять свои полости Роша. Это приводит к формированию интенсивных истечений газа не только на ночной, но и на дневной стороне (окрестность внутренней точки Лагранжа L_1) планеты [4, 5]. Такую расширяющуюся верхнюю атмосферу можно назвать протяженной оболочкой горячей экзопланеты-гиганта. Она расположена за пределами полости Роша, имеет достаточно большие размеры, относительно высокую плотность и характеризуется значительными отклонениями от сферической формы. На наличие таких протяженных оболочек косвенно указывает избыточное поглощение излучения в ближнем ультрафиолетовом диапазоне, наблюдаемое у некоторых горячих юпитеров и нептунов во время их прохождения на фоне диска родительской звезды [6-12]. Эти выводы подтверждаются непосредственными численными расчетами в рамках аэрономических моделей [13-17].

Трехмерная газодинамическая структура протяженных оболочек горячих юпитеров исследовалась в работах [18-23], где было показано, что в зависимости от параметров в процессе взаимодействия звездного ветра с расширяющейся оболочкой планеты могут формироваться структуры трех основных типов: замкнутые, квазизамкнутые и открытые. При этом тип протяженной оболочки определяет значение темпа потери массы горячего юпитера [18]. В двумерных моделях [24, 25], а также в трехмерной модели [26] эффектами звездного ветра пренебрегалось. В последующих работах этих авторов [27, 28] влияние звездного ветра было учтено. Однако при этом в аэрономической модели задавалось достаточно высокое значение концентрации на фотометрическом радиусе, что приводило, как правило, к формированию оболочки открытого типа с примерно одинаковым значением темпа потери массы.

Оценки величины магнитного поля горячих юпитеров (см., напр., [29]) показывают, что оно является относительно слабым, но вполне достаточным, чтобы оказывать влияние на динамику оболочек. Неоднократно предпринимались попытки учета магнитного поля в одномерных [30—33], двумерных [34] и трехмерных [32, 35—37] численных аэрономических моделях атмосфер горячих юпитеров. В работах с участием автора также исследовалось влияние собственного магнитного поля планеты [38, 38] и поля ветра [40—45] на динамику оболочек горячих юпитеров (см. обзор [1] и монографию [2]).

В недавней работе [46] была развита численная модель протяженной оболочки горячего юпитера в рамках приближения многокомпонентной магнитной гидродинамики с включением полноценной МГД модели звездного ветра. Приближение многокомпонентной МГД, в частности, в перспективе позволит учитывать изменения химического состава водородно-гелиевых оболочек горячих юпитеров. Однако эта модель основана на декартовой системе координат. Существенным недостатком этого подхода является недостаточное пространственное разрешение во внутренних частях атмосферы для численной реализации гидростатического равновесия, поскольку естественной геометрией для этого является не декартова, а сферическая геометрия. Это не позволяет в рамках одной численной модели самосогласованным образом рассчитывать структуру протяженной оболочки и верхней атмосферы. В данной работе представлена аналогичная трехмерная численная модель, основанная на сферических координатах. Как показали результаты численных расчетов, в рамках новой модели величина пространственного разрешения во внутренних частях верхней атмосферы оказывается вполне достаточной для численной реализации состояния гидростатического равновесия. Это позволяет в дальнейшем использовать ее для трехмерных аэрономических расчетов оболочек и атмосфер горячих экзопланет.

Статья организована следующим образом. В разделе 2 описана структура сферической расчетной сетки. В разделе 3 приведено описание численной модели. В разделе 4 представлены результаты численных расчетов. В Заключении сформулированы основные выводы по работе. Наконец, некоторые детали численного метода описаны в Приложении.

2. ТЕРНАРНАЯ СФЕРИЧЕСКАЯ СЕТКА

Координаты x, y, z глобальной декартовой системы координат связаны с координатами r, θ , ϕ соотношениями:

$$x = r \sin \theta \cos \varphi, \quad y = r \sin \theta \sin \varphi,$$

 $z = r \cos \theta.$ (1)

Однако глобальная сферическая система координат содержит особенность на полярной оси $(\theta = 0, \theta = \pi)$, где азимутальный угол ϕ становится неопределенным. Эта особенность будет неминуемо проявляться в соответствующих численных моделях, приводя к искажению решения в окрестности полюсов. Одним из распространенных способов преодоления этой проблемы является разбиение глобальной сферы на конечное число областей. В каждой такой области можно ввести локальную систему координат, которая оказывается уже невырожденной. Для получения полного решения во всей пространственной области останется только сшить локальные решения на границах областей с помощью преобразований координат.

Наиболее строгим с математической точки зрения подходом такого типа является использование кубизированной сферы [47]. Сетка строится с помощью проекции шести граней куба на поверхность описанной вокруг него сферы. В результате можно получить точное разбиение сферы на шесть непересекающихся одинаковых областей. Локальные угловые координаты в каждой области получаются с помощью проекции декартовых координат на соответствующей грани куба. При этом, однако, получающаяся криволинейная система координат не является сферической и к тому же оказывается неортогональной. Поэтому использование такого подхода не всегда является удобным. Тем не менее его часто используют в астрофизических вычислениях (см., напр., [48, 49]).

Альтернативным подходом является формирование композитной сетки [50] на основе локальных сферических координат. В работе [51] для моделирования трехмерной структуры солнечного ветра использованы три области: одна

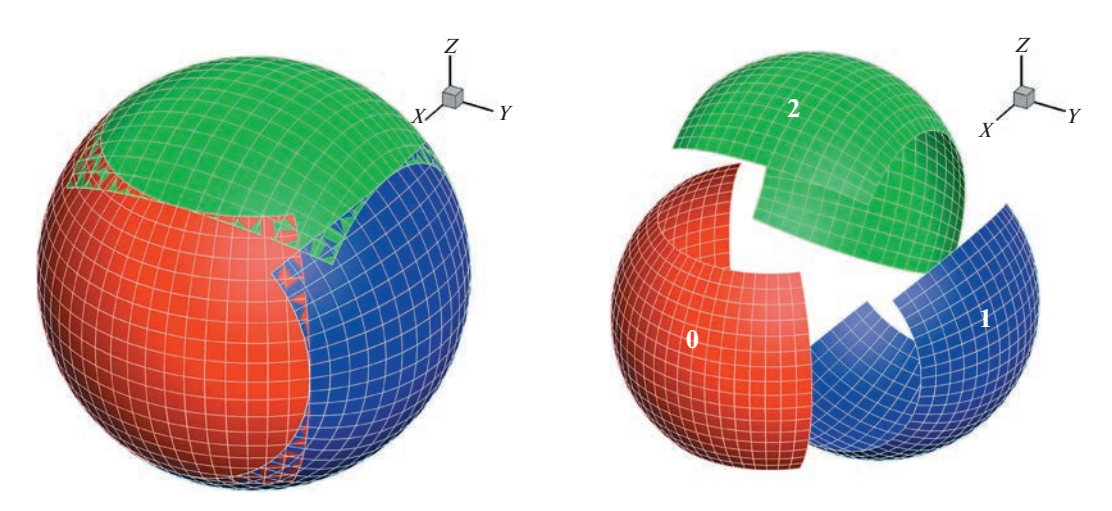


Рис. 1. Общий вид тернарной сферической сетки (слева) и соответствующее разбиение сферы на три одинаковых сектора (справа) с частичным перекрытием.

экваториальная и две полярные. В этом случае достигается минимальное отклонение от глобальной сферической системы координат, поскольку размеры полярных областей можно варьировать. С другой стороны, конфигурации областей отличаются между собой. В композитной сетке Инь-Янь [52] используется разбиение сферы на две одинаковые области, повернутые друг относительно друга на 90°. В этом подходе получается минимальное количество областей с одинаковой конфигурацией. В качестве одного из недостатков иногда указывают на слишком длинную границу между областями, что может замедлять параллельную программу. В работах [53, 54] предложено использовать композитную сферическую сетку, состоящую из шести одинаковых областей, соответствующих шести граням куба. В этом случае сетка строится на основе регулярной конфигурации, а области имеют короткие границы. Однако количество областей относительно велико.

В данной работе рассматривается численная модель, основанная на композитной сферической сетке, состоящей из трех одинаковых областей. Для удобства будем называть такую конструкцию тернарной сферической сеткой. Общая структура такой сетки изображена на левой панели рис. 1. Соответствующее разбиение на три сектора представлено на правой панели этого рисунка. Каждый сектор 0, 1, 2 ориентирован определенным образом относительно одной из осей глобальной декартовой системы координат. В результате преобразования между локальными координатами в секторах сводятся к циклической перестановке глобальных декартовых координат. Достоинствами данного подхода являются одинаковая конфигурация областей, небольшое их количество, достаточно короткие границы и простые законы преобразования координат. К недостатку можно отнести наличие пересечений между областями (перехлесты). Однако этот недостаток присущ всем сеткам композитного типа.

Будем нумеровать секторы индексом l, пробегающим значения 0, 1, 2. В каждом секторе используются локальные сферические координаты r, θ , φ . При этом угловые переменные изменяются в пределах:

$$\frac{\pi}{4} \le \theta \le \frac{3\pi}{4}, \quad -\frac{3\pi}{4} \le \phi \le \frac{\pi}{4}. \tag{2}$$

Внутри каждого сектора удобно ввести локальную декартову систему координат $x^{(l)}$, $y^{(l)}$, $z^{(l)}$:

$$x^{(l)} = r \sin \theta \cos \varphi, \quad y^{(l)} = r \sin \theta \sin \varphi,$$

$$z^{(l)} = r \cos \theta.$$
 (3)

Тогда связь между локальными и глобальными декартовыми координатами определяется следующими простыми формулами:

$$x^{(0)} = x$$
, $y^{(0)} = y$, $z^{(0)} = z$, (4)

$$x^{(1)} = y, \quad y^{(1)} = z, \quad z^{(1)} = x,$$
 (5)

$$x^{(2)} = z$$
, $y^{(2)} = x$, $z^{(2)} = y$. (6)

Иными словами, сектору 0 соответствует тождественная перестановка глобальных координат [xyz], сектору 1 соответствует перестановка [yzx], а сектору 2 — перестановка [zxy]. Преобразования для декартовых компонентов векторов получаются аналогичным образом. Заметим, что в секторе 0 локальные координаты совпадают с глобальными.

На сфере имеются две точки, в которых пересекаются границы всех трех секторов. Они распо-

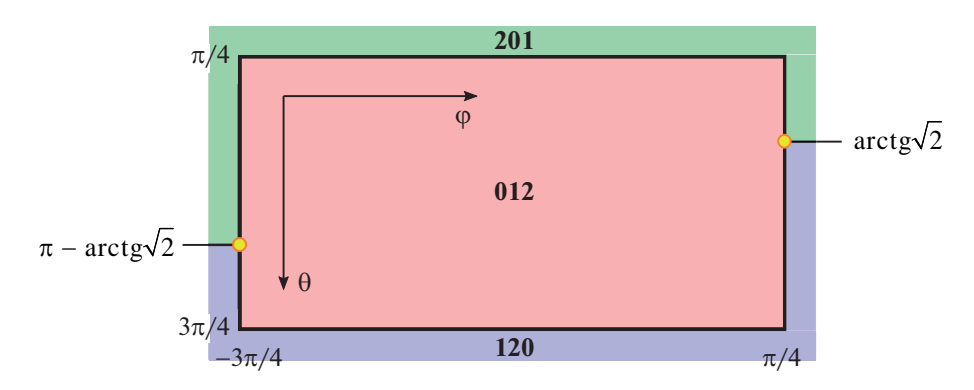


Рис. 2. Структура границ по угловым переменным для данного сектора тернарной сферической сетки. Цифры 0, 1, 2 соответствуют индексам секторов.

лагаются на главной диагонали глобальной декартовой системы координат x, y, z. Первой точке соответствуют значения глобальных координат

$$x = y = z = \frac{r}{\sqrt{3}}, \quad \varphi = \frac{\pi}{4},$$

$$\theta = \arctan \sqrt{2} \approx 54.74^{\circ},$$
(7)

а для второй точки получаем

$$x = y = z = -\frac{r}{\sqrt{3}}, \quad \varphi = -\frac{3\pi}{4},$$

 $\theta = \pi - \arctan \sqrt{2} \approx 125.26^{\circ}.$ (8)

Назовем эти две точки точки терехлеста.

Наличие этих точек приводит к тому, что граница данного сектора по угловым переменным имеет структуру, изображенную на рис. 2. Граница по координате θ (соответствует минимальному или максимальному значению θ при произвольном значении Ф) везде примыкает к одному и тому же сектору (вверху и внизу на рисунке). Граница по координате ф (соответствует минимальному или максимальному значению ф при произвольном значении θ) примыкает сразу к двум секторам (слева и справа на рисунке). Эти участки границы разделяются точками перехлеста. Нумерация секторов на рисунке осуществляется с помощью циклической перестановки индексов 0, 1, 2. Например, если рассматриваются границы для сектора 1, то сверху окажется сектор 0, а снизу сектор 2. Точки перехлеста необходимо учитывать в процедуре сшивки секторов для получения полного решения.

Для ускорения трехмерных расчетов вычислительную программу адаптируют для выполнения на нескольких параллельных процессах. В данном подходе параллельная программа организуется следующим образом. Вначале разбиваем сетку в радиальном направлении на несколько слоев. Обозначим через N_r исходное число ячеек в радиальном направлении, а через M — соответ-

ствующее число слоев. Тогда $N_r = Mn_r$, где n_r – число ячеек в одном радиальном слое. Один процесс обрабатывает один радиальный слой в одном секторе. Иначе говоря, непараллельная программа решает задачу только в одном секторе. Если обозначить через n_{θ} и n_{ϕ} количество ячеек в координатных направлениях θ и ϕ , то полное число ячеек окажется равным

$$N = N_r \cdot 3n_\theta n_\phi = 3Mn_r n_\theta n_\phi. \tag{9}$$

Полное число процессов при этом равно P = 3M.

Таким образом, данный процесс ранга p $(0 \le p \le P-1)$ будет решать задачу в некотором радиальном слое с номером m $(0 \le m \le M-1)$ внутри текущего сектора l. Нетрудно видеть, что эти числа связаны простым соотношением

$$p = lM + m. (10)$$

Отсюда, зная ранг процесса p, можно найти индекс сектора l и номер радиального слоя m:

$$l = \operatorname{int}\left(\frac{p}{M}\right), \quad m = p - lM, \tag{11}$$

где функция int(x) возвращает целую часть вещественного числа x.

Поскольку в композитных сетках области могут перекрываться, то в таких случаях для сшивки значений на границах областей необходимо использовать интерполяцию величин [50]. В данном подходе задача сводится к двумерной интерполяции по угловым переменным θ и ϕ в ячейках, попадающих в области перекрытия двух секторов. При этом скалярные величины (плотность, давление и т.п.) просто интерполируются, а векторные величины (скорость, магнитное поле) нужно еще преобразовать в новую локальную систему координат. В численном коде, описанном ниже, реализовано несколько видов интерполяционных процедур (ближайший сосед, билинейная, биквадратичная и бикубическая). Однако, как показали численные эксперименты, результаты расчетов с использованием билинейной, биквадратичной и бикубической интерполяций различаются слабо. В тестовых расчетах (см. Приложение 8) использовалась бикубическая интерполяция, а в расчетах структуры протяженной оболочки горячего юпитера (см. ниже) использовалась билинейная интерполяция.

3. ОПИСАНИЕ МОДЕЛИ

Физическая и математическая постановка задачи полностью соответствует численной модели, описанной в работе [46]. Не будем здесь приводить подробное описание этой численной модели, ограничившись лишь упоминанием основных деталей. Для описания структуры течения в окрестности горячей экзопланеты используется приближение многокомпонентной магнитной гидродинамики. Это, в частности, позволяет учесть сложный химический состав верхней атмосферы и истекающей оболочки. Уравнения записываются в неинерциальной системе отсчета, вращающейся вместе с двойной системой, состоящей из планеты и звезды, вокруг их общего центра масс. Удобно ввести глобальную декартову систему координат (x, y, z), начало которой совпадает с центром планеты. Ось х направим вдоль линии, соединяющей центры звезды и планеты, а ось у направим вдоль орбитального движения планеты. Тогда с учетом выбранных ориентаций осей x и y третья ось z будет совпадать по направлению с вектором орбитальной угловой скорости.

Полное магнитное поле В удобно представлять в виде суперпозиции фонового поля **H** и возмущения b, которое определяет магнитное поле, индуцируемое токами в самой плазме [1, 38, 40, 55. 561. Такой подход обеспечивает большую устойчивость численного алгоритма и повышает качество вычислений в разреженных областях с сильным магнитным полем, например, в магнитосфере планеты. В рамках исследуемой задачи фоновое поле Н создается токами, распределенными за пределами расчетной области (корона звезды и недра планеты). Поэтому фоновое поле удовлетворяет условию потенциальности, $\nabla \times \mathbf{H} = 0$. Это позволяет его частично исключить из vравнений многокомпонентной магнитной гидродинамики [57, 58]. Кроме того, при расчетах структуры течения в окрестности горячего юпитера в нашей модели предполагается, что фоновое магнитное поле является стационарным, $\partial \mathbf{H}/\partial t = 0$. Это, в частности, обусловлено тем, что собственное вращение горячего юпитера, для которого мы проводим расчеты, из-за сильных приливных взаимодействий со стороны близко расположенной родительской звезды оказывается синхронизованным с орбитальным вращением. Следовательно, во вращающейся системе отсчета, связанной с орбитальным движением планеты, ориентация ее собственного магнитного поля не будет изменяться со временем.

Вид уравнений многокомпонентной магнитной гидродинамики в сферических координатах приведен в Приложении А. Разностная схема строится на основе метода конечного объема, некоторые детали которого приведены в Приложении В. Алгоритм численного решения уравнений многокомпонентной магнитной гидродинамики состоит из нескольких последовательных этапов, возникающих в результате применения метода расщепления по физическим процессам. На первом этапе численно решаются уравнения многокомпонентной магнитной гидродинамики без учета фонового поля. При этом используется разностная схема Роу-Эйнфельдта-Ошера повышенного порядка аппроксимации, описанная в работе [46]. На втором этапе производится учет фонового магнитного поля [40]. На третьем этапе осуществляется очистка дивергенции магнитного поля с помощью метода обобщенного множителя Лагранжа [59]. На четвертом этапе учитываются внешние силы и эффекты нагрева-охлаждения.

Учет звездного ветра осуществлялся на основе осесимметричной модели [60], опирающейся на хорошо изученные свойства солнечного ветра [61]. В рамках этой модели ветра можно рассчитать профили плотности, скорости и других величин. Это позволяет получать параметры ветра в любой точке $\mathbf{r} = (x, y, z)$ расчетной области. При переходе в неинерциальную систему отсчета магнитное поле ветра не меняется, а скорость ветра пересчитывается с учетом орбитальной скорости планеты. Полученные распределения используются для задания начальных условий в области, занимаемой звездным ветром, а также для реализации граничных условий. В модели ветра предполагается политропное уравнение состояния. Это означает, что с точки зрения адиабатической модели в звездном ветре присутствуют эффективные процессы нагрева. Для согласования этих двух моделей в уравнение энергии добавлена соответствующая функция нагрева, которая обеспечивает механизм ускорения ветра.

В начальный момент времени вокруг планеты задавалась сферически симметричная изотермическая атмосфера, распределение плотности в которой определялось из условия гидростатического равновесия. Начальная толщина атмосферы определялась из условия равновесия по полному давлению с веществом звездного ветра в точке лобового столкновения. При моделировании структуры протяженных оболочек горячих юпитеров предполагается водородно-гелиевый состав верхней атмосферы. В начальный момент времени задавался однородный химический состав, когда параметр $\chi = [He/H]$, равный отношению числа

ядер гелия к числу ядер водорода, остается постоянным в любом выделенном объеме атмосферы. Учитывались следующие значимые компоненты атмосферы [1, 2]: H, H^+ , H_2 , He, He^+ , а также протоны звездного ветра. Концентрация электронов определяется из условия квазинейтральности плазмы, а уравнение движения электронной жидкости в приближении МГД играет роль закона Ома и учитывается в уравнении индукции при определении самосогласованного электрического поля.

Граничные условия на фотометрическом радиусе задавались на основе результатов расчетов, проведенных в рамках одномерных аэрономических моделей с учетом надтепловых частиц [1, 2]. Из аэрономических расчетов следует, что в верхней атмосфере горячего юпитера под воздействием жесткого излучения звезды формируется планетный ветер, который определяет темп потери массы $\dot{M}_{\rm a} \approx 10^9$ г/с. Отсюда можно найти скорость истечения атмосферы на фотометрическом радиусе. Отметим, что эта скорость оказывается достаточно малой (порядка 50 см/с) и поэтому в рамках рассматриваемой модели не приводит к заметному отклонению от условия гидростатического равновесия. Внутри атмосферы в начальный момент времени задавалась радиальная скорость (планетный ветер) с помощью соотношения $r^2 \rho v_r = \text{const}$, выражающего закон сохранения массы, где константа определяется граничными условиями на фотометрическом радиусе.

Для повышения пространственного разрешения в области атмосферы планеты использовалась сетка, экспоненциально сгущающаяся по радиальной координате к центру планеты. Для угловых переменных θ и ϕ использовалась однородная сетка. Характерная толщина ячейки на фотометрическом радиусе $R_{\rm pl}$ планеты составляла величину $0.005R_{\rm nl}$. Этого оказывалось вполне достаточно для численной реализации условия гидростатического равновесия. Поэтому в приводимых ниже расчетах не использовались никакие процедуры релаксации в атмосфере, чтобы загасить возникающие в ней возмущения. Такие процедуры (см., напр., [18]) применялись нами во всех расчетах, проводимых ранее с использованием декартовых координат. В рамках новой численной модели, основанной на использовании сферических координат, структура атмосферы моделировалась самосогласованно.

4. РЕЗУЛЬТАТЫ РАСЧЕТОВ

В качестве примера приведем результаты расчета структуры течения в окрестности горячего юпитера HD 209458b. Планета имеет массу $M_{\rm pl}=0.71M_{\rm J}$ и

фотометрический радиус $R_{\rm pl}=1.38\,R_{\rm J}$, где $M_{\rm J}$ и $R_{\rm J}$ — масса и радиус Юпитера. Родительская звезда относится к спектральному классу G0 и характеризуется следующими параметрами: масса $M_{\rm st}=1.1M_{\odot}$, радиус $R_{\rm st}=1.2\,R_{\odot}$, период собственного вращения $P_{\rm rot}=14.4^d$. Большая полуось орбиты планеты $A=10.2\,R_{\odot}$, что соответствует периоду обращения вокруг звезды $P_{\rm orb}=84.6$ ч.

Температура атмосферы задавалась равной 7500 K, а полная концентрация частиц на фотометрическом радиусе $10^{11}~{\rm cm}^{-3}$. Химический состав атмосферы определялся значением $\chi=0.05$, что соответствует массовому содержанию водорода 0.83 и гелия 0.17. Степени диссоциации молекулярного водорода, ионизации атомарного водорода и ионизации атомарного гелия задавались равными 0.25, 0.75 и 0.25 соответственно. Химические реакции, а также реакции ионизации, рекомбинации и диссоциации не учитывались. Следовательно, как и в работе [46], все компоненты плазмы рассматривались в качестве пассивных примесей, переносимых вместе с веществом.

Предполагалось, что величина магнитного момента $\mu_{\rm pl}$ планеты составляет 0.1 от магнитного момента Юпитера. При этом ось магнитного диполя была наклонена на угол 30° к оси вращения, а угол с направлением на центр звезды составлял 130°. Среднее магнитное поле на поверхности звезды задавалось равным 0.01 Гс. Такое значение соответствует сверхальфвеновскому режиму обтекания планеты звездным ветром, при котором формируется протяженная оболочка квазиот-крытого типа (модель "3" из статьи [46]).

Сферическая система координат выбиралась таким образом, чтобы ее центр совпадал с центром планеты. Расчеты проводились для следующих параметров тернарной сферической сетки: $N_r=256\,,\; n_\theta=32\,,\; n_\phi=64\,.$ По радиальной координате шаг сетки задавался неравномерно. Минимальный шаг $\Delta r_{\min} = 0.005 R_{\rm pl}$ достигался на внутренней границе, совпадающей с фотометрическим радиусом горячего юпитера. В параллельной программе использовалось 32 радиальных слоя. Расчет проводился с использованием 96 процессоров. Отметим, что использование сферической сетки в данном расчете позволило достичь пространственного разрешения вблизи планеты в 10 раз лучше, чем, например, в расчетах из работы [38], где было задействовано порядка 1000 процессоров.

Результаты моделирования демонстрируют рис. 3 и 4. На этих рисунках представлены распределения плотности (цвет, изолинии), скорости (стрелки) и магнитного поля (сплошные линии) в

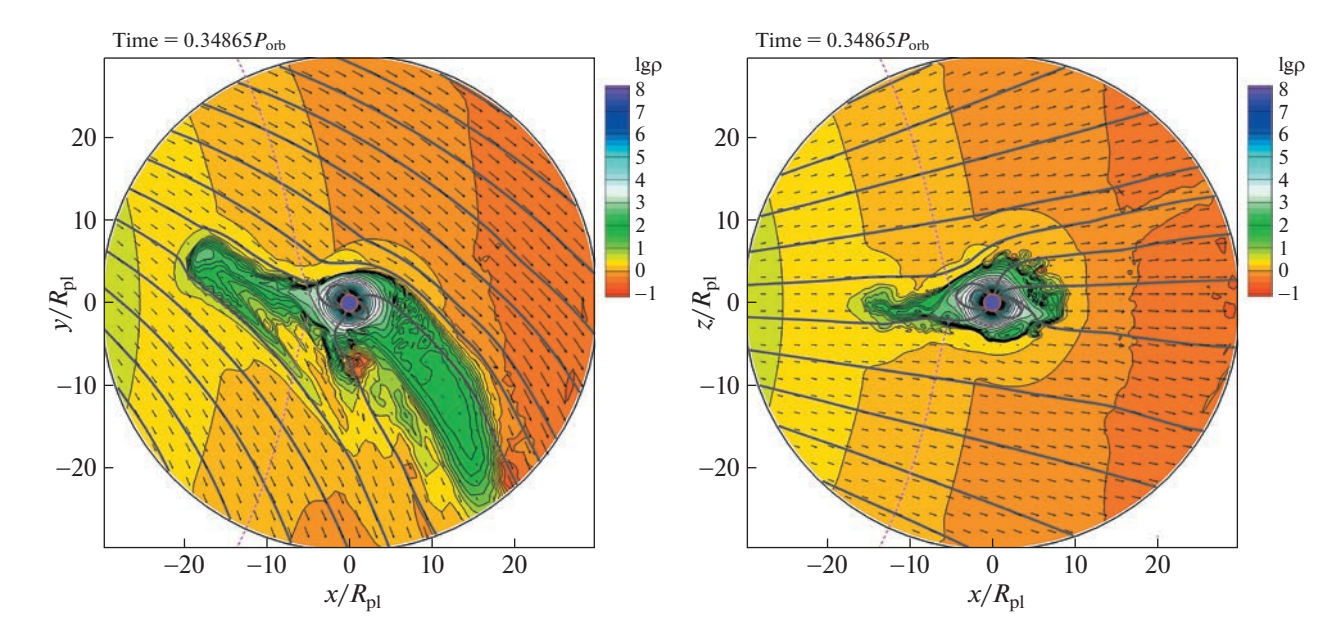


Рис. 3. Распределения плотности (цвет, изолинии), скорости (стрелки) и магнитного поля (линии) в орбитальной xy (слева) и вертикальной xz (справа) плоскостях на момент времени, примерно равный трети орбитального периода. Плотность выражена в единицах ρ_w . Пунктирная линия показывает границу полости Роша. Красный кружок соответствует фотометрическому радиусу планеты.

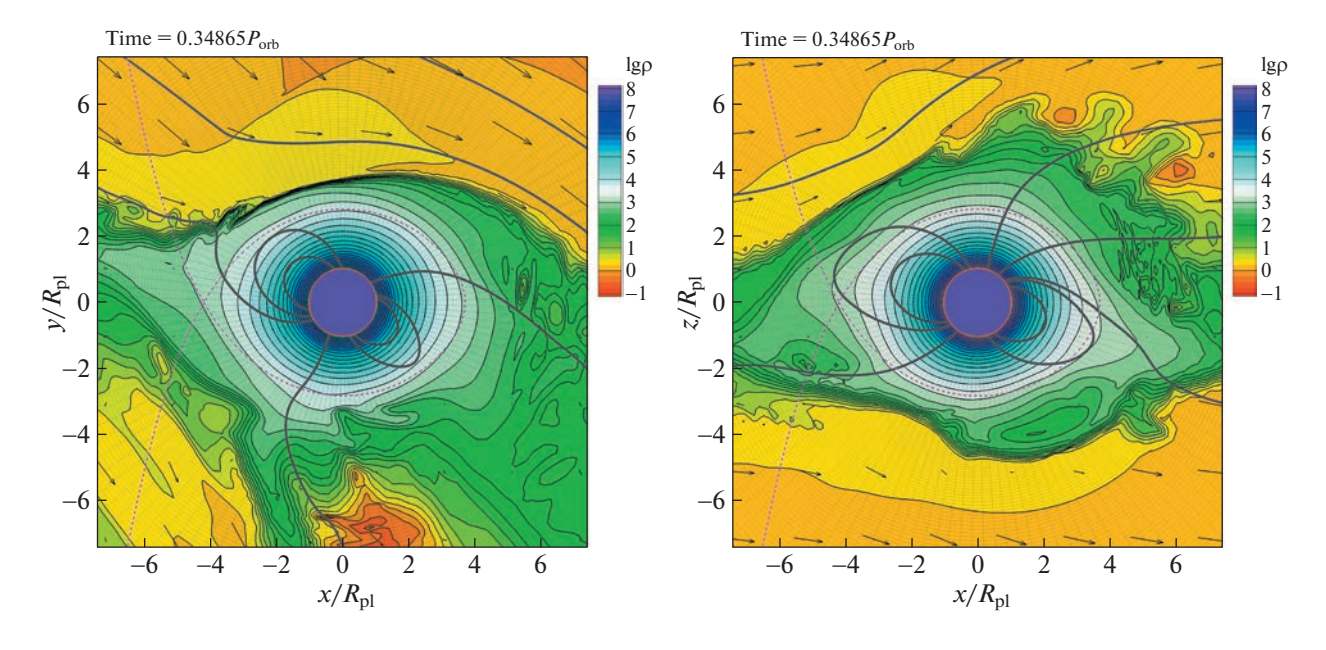


Рис. 4. То же, что и на рис. 3, но в увеличенном масштабе вблизи планеты. Показана структура расчетной сетки.

орбитальной xy (левые панели) и вертикальной xz (правые панели) плоскостях. Плотность выражена в единицах плотности ветра в окрестности планеты, $\rho_w = 2.3 \times 10^{-21} \ {\rm г/cm^3}$. Граница полости Роша показана пунктирной линией. Планета расположена в центре расчетной области. Полученное решение соответствует моменту времени порядка трети орбитального периода от начала сче-

та. В течение этого промежутка времени происходит формирование устойчивой квазистационарной структуры. На рис. 3 представлена общая картина течения, а на рис. 4 более подробно показана область вблизи планеты.

В результате обтекания звездным ветром на ночной стороне планеты формируется широкий (порядка нескольких радиусов планеты) водород-

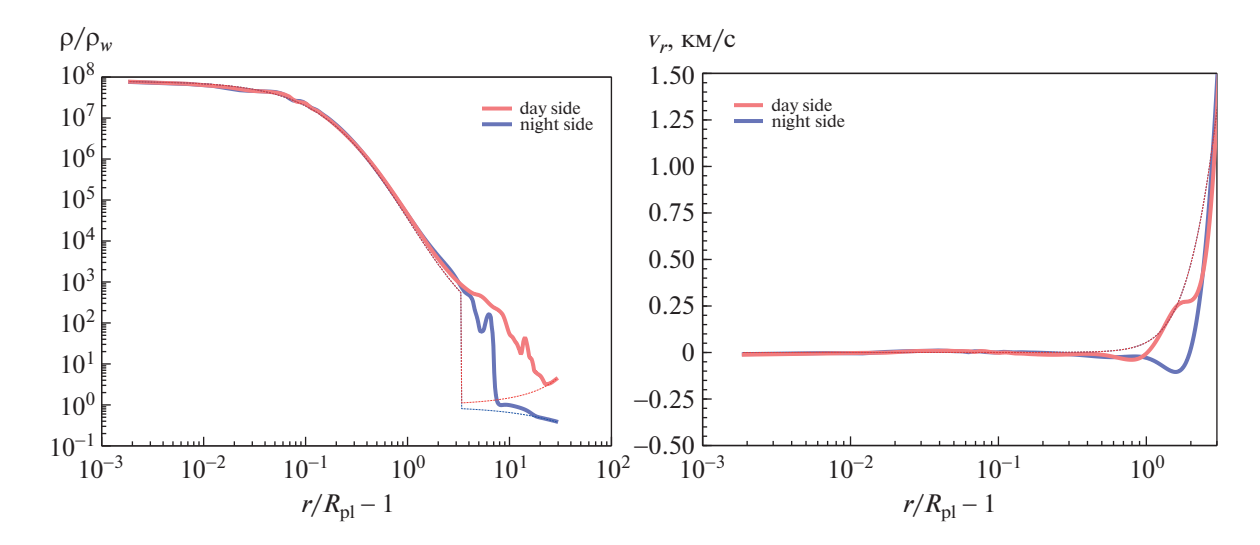


Рис. 5. Радиальные профили плотности (слева) и скорости (справа) вдоль оси *х* (красный цвет — в направлении на звезду, синий цвет — в направлении от звезды). Жирные линии показывают профили через половину орбитального периода от начала счета. Пунктирные линии показывают начальные профили.

но-гелиевый турбулентный шлейф. Взаимодействие звездного ветра с оболочкой горячего юпитера приводит к возникновению отошедшей ударной волны. На дневной стороне формируется мощный поток вещества из окрестности внутренней точки Лагранжа $L_{\scriptscriptstyle 1}$. Этот поток направлен в сторону звезды и движется против ветра под действием ее гравитации. Вдоль поверхности струи развивается неустойчивость Кельвина-Гельмгольца. Величина потока имеет не слишком большую интенсивность и поэтому струя в значительной степени отклоняется и запирается звездным ветром. В результате происходит формирование протяженной оболочки квазиоткрытого типа. Полученное решение хорошо согласуется с аналогичным решением [46] для случая декартовой сетки. Следует обратить внимание на то, что решение на тернарной сферической сетке (см. рис. 4) является гладким и не содержит численных артефактов ни вдоль полярной оси, ни на границах секторов.

На рис. 5 показаны радиальные профили плотности (левая панель) и радиального компонента скорости v_r (правая панель). Красный цвет соответствует дневной стороне (направление на звезду), а синий цвет — ночной стороне (направление от звезды). Пунктирными линиями показаны начальные профили, а жирными линиями — профили, полученные на момент времени, равный половине орбитального периода от начала счета. Следует обратить внимание, что абсцисса определяет высоту над поверхностью планеты $(r=R_{\rm pl})$, выраженную в фотометрических радиусах. Нулевое значение абсциссы соответствует расстоянию в один фотометрический радиус от

центра планеты, а высоте, равной $R_{\rm nl}$, соответствует расстояние от центра в два фотометрических радиуса. Взаимодействие со звездным ветром приводит к возникновению возмущений во внутренних частях атмосферы. Однако они незначительны и не разрушают гидростатическое равновесие. Скорость вещества внутри атмосферы всюду остается близкой к нулю за исключением самых поверхностных слоев. Отсюда можно сделать вывод, что пространственного разрешения сетки оказывается вполне достаточно для самосогласованного расчета структуры атмосферы горячего юпитера, чего невозможно было реализовать ранее в расчетах на декартовых сетках. Это позволяет в дальнейшем использовать новую модель, основанную на тернарной сферической сетке, в том числе и для трехмерных аэрономических расчетов.

5. ЗАКЛЮЧЕНИЕ

Для исследования процесса обтекания горячей экзопланеты звездным ветром разработан новый трехмерный численный код в сферических координатах. Известно, что глобальная сферическая система координат содержит особенность на полярной оси, где азимутальный угол становится неопределенным. Эта особенность неминуемо проявляется во всех численных моделях, использующих глобальные сферические координаты, приводя к искажению решения в окрестности полюсов. В данном подходе рассматривается численная модель, основанная на композитной сферической сетке, состоящей из трех одинаковых секторов (тернарная сферическая сетка). Достоинствами этой сетки являются одинаковая кон-

фигурация областей, небольшое их количество, достаточно короткие границы и простые законы преобразования координат между областями.

Численная модель многокомпонентной магнитной гидродинамики, разработанная ранее для декартовых координат [46], полностью перенесена в новую модель. Новый трехмерный численный код распараллелен, протестирован и показывает высокую вычислительную эффективность. В работе представлены результаты расчета структуры протяженной оболочки квазиоткрытого типа для случая сверхальфвеновского обтекания горячего юпитера. Полученное решение хорошо согласуется с аналогичным решением для случая декартовой сетки. При этом распределение величин на тернарной сферической сетке не содержит никаких численных особенностей как вдоль полярной оси, так и на границах секторов.

Анализ результатов расчетов позволяет сделать вывод, что пространственного разрешения сферической сетки оказывается вполне достаточно для численной реализации условия гидростатического равновесия во внутренних частях верхней атмосферы. Заметим, что это условие невозможно было реализовать ранее в расчетах на декартовых сетках. Это позволяет в дальнейшем использовать новую модель, основанную на тернарной сферической сетке, в том числе и для трехмерных аэрономических расчетов.

Приложение А

УРАВНЕНИЯ В СФЕРИЧЕСКИХ КООРДИНАТАХ

Запишем в консервативной форме уравнения многокомпонентной магнитной гидродинамики в сферических координатах. Физические источники в уравнениях при этом будем опускать, поскольку нас интересует построение годуновской разностной схемы. Уравнения для плотности, энергии и массовых долей компонентов имеют следующий вид:

$$\frac{\partial \rho}{\partial t} + \frac{1}{r^2} \frac{\partial}{\partial r} (r^2 \rho v_r) + \frac{1}{r \sin \theta} \frac{\partial}{\partial \theta} (\sin \theta \rho v_\theta) + \frac{1}{r \sin \theta} \frac{\partial}{\partial \phi} (\rho v_\phi) = 0,$$
(A1)

$$\frac{\partial E_{\rm T}}{\partial t} + \frac{1}{r^2} \frac{\partial}{\partial r} (r^2 q_r) + \frac{1}{r \sin \theta} \frac{\partial}{\partial \theta} (\sin \theta q_\theta) + \frac{1}{r \sin \theta} \frac{\partial q_\phi}{\partial \phi} = 0,$$
(A2)

$$\frac{\partial}{\partial t}(\rho \xi_s) + \frac{1}{r^2} \frac{\partial}{\partial r} (r^2 \rho \xi_s v_r) + \frac{1}{r \sin \theta} \frac{\partial}{\partial \theta} (\sin \theta \rho \xi_s v_\theta) + \frac{1}{r \sin \theta} \frac{\partial}{\partial \theta} (\rho \xi_s v_\phi) = 0.$$
(A3)

Здесь ρ — плотность вещества, $\mathbf{v} = (v_r, v_\theta, v_\phi)$ — вектор скорости, ξ_s — массовая доля компонента с номером s. Плотность полной энергии

$$E_{\rm T} = \rho \left(\varepsilon + \frac{\mathbf{v}^2}{2} \right) + \frac{\mathbf{b}^2}{2},\tag{A4}$$

где ε — удельная внутренняя энергия, \mathbf{b} — возмущение магнитного поля. Полное магнитное поле определяется выражением $\mathbf{B} = \mathbf{H} + \mathbf{b}$, где $\mathbf{H} - \mathbf{\phi}$ оновое магнитное поле, задаваемое в численной модели отдельно. Вектор $\mathbf{q} = (q_r, q_\theta, q_\phi)$ представляет собой плотность потока энергии

$$\mathbf{q} = \mathbf{v}(E_{\mathrm{T}} + P_{\mathrm{T}}) - \mathbf{b}(\mathbf{v} \cdot \mathbf{b}), \tag{A5}$$

где полное давление,

$$P_{\rm T} = P + \frac{\mathbf{b}^2}{2},\tag{A6}$$

определяется суммой газового давления P и магнитного давления.

Уравнения движения можно записать в виде

$$\frac{\partial}{\partial t}(\rho v_r) + \frac{1}{r^2} \frac{\partial}{\partial r} (r^2 \Pi_{rr}) + \frac{1}{r \sin \theta} \frac{\partial}{\partial \theta} (\sin \theta \Pi_{\theta r}) + \frac{1}{r \sin \theta} \frac{\partial \Pi_{\phi r}}{\partial \phi} = \frac{1}{r} (\Pi_{\theta \theta} + \Pi_{\phi \phi}), \tag{A7}$$

$$\frac{\partial}{\partial t}(\rho v_{\theta}) + \frac{1}{r^{3}} \frac{\partial}{\partial r} (r^{3} \Pi_{r\theta}) + \frac{1}{r \sin \theta} \frac{\partial}{\partial \theta} (\sin \theta \Pi_{\theta\theta}) + \frac{1}{r \sin \theta} \frac{\partial \Pi_{\phi\theta}}{\partial \phi} = \frac{\operatorname{ctg} \theta}{r} \Pi_{\phi\phi}, \tag{A8}$$

$$\frac{\partial}{\partial t} (\rho v_{\varphi}) + \frac{1}{r^{3}} \frac{\partial}{\partial r} (r^{3} \Pi_{r\varphi}) + \frac{1}{r \sin^{2} \theta} \frac{\partial}{\partial \theta} (\sin^{2} \theta \Pi_{\theta\varphi}) + \frac{1}{r \sin \theta} \frac{\partial}{\partial \varphi} \frac{\partial}{\partial \varphi} = 0,$$
(A9)

где компоненты тензора плотности потока импульса определяются выражением

$$\Pi_{ik} = \rho v_i v_k + P_{\mathsf{T}} \delta_{ik} - b_i b_k, \tag{A10}$$

а через δ_{ik} обозначен символ Кронекера. В этих уравнениях некоторые геометрические источники внесены в пространственные производные. В результате, например, в уравнении (А9) для азимутальной скорости V_{ϕ} геометрические источники исчезли. Поэтому в соответствующей разностной схеме закон сохранения углового момента будет выполняться автоматически.

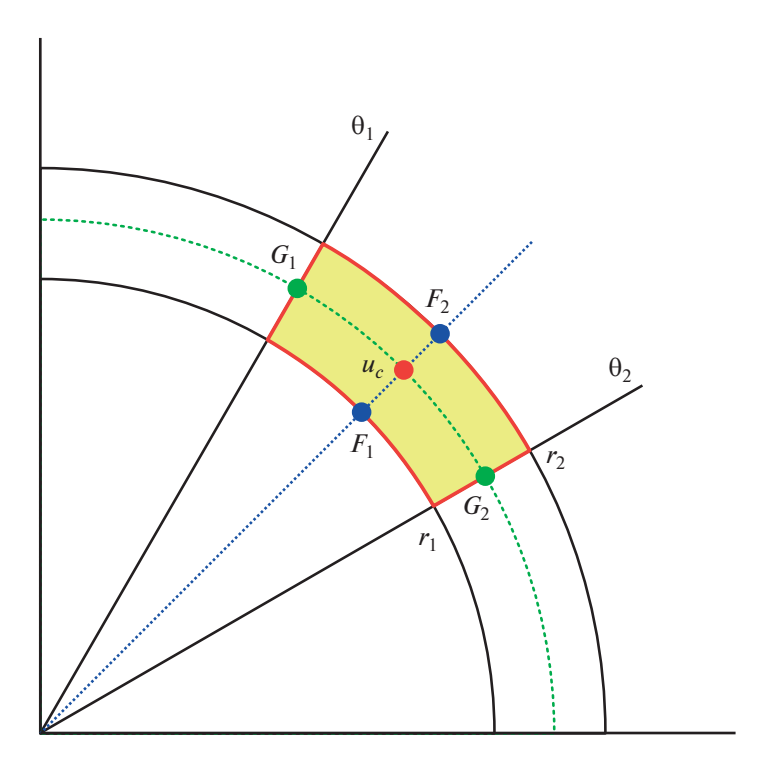


Рис. 6. Проекция конечного (контрольного) объема в меридиональной плоскости $\phi = \text{const.}$

Уравнения индукции в сферических координатах могут быть записаны в виде:

$$\frac{\partial b_r}{\partial t} + \frac{1}{r \sin \theta} \frac{\partial}{\partial \theta} (\sin \theta F_{\theta r}) + \frac{1}{r \sin \theta} \frac{\partial F_{\phi r}}{\partial \phi} = 0, \quad (A11)$$

$$\frac{\partial b_{\theta}}{\partial t} + \frac{1}{r} \frac{\partial}{\partial r} (r F_{r\theta}) + \frac{1}{r \sin \theta} \frac{\partial F_{\phi\theta}}{\partial \omega} = 0, \quad (A12)$$

$$\frac{\partial b_{\varphi}}{\partial t} + \frac{1}{r} \frac{\partial}{\partial r} (r F_{r\varphi}) + \frac{1}{r} \frac{\partial F_{\theta\varphi}}{\partial \theta} = 0, \tag{A13}$$

где тензор

$$F_{ik} = v_i b_k - v_k b_i. (A14)$$

Заметим, что при записи уравнений использована удобная для численного моделирования система единиц, в которой множитель 4π в выражении для электромагнитной силы не возникает.

Приложение В

МЕТОД КОНЕЧНОГО ОБЪЕМА

Введем в расчетной области разностную сетку, структура которой определяется массивом узлов $(r_i, \theta_j, \varphi_k)$. Расчетные сеточные величины будем относить к ячейкам c = (i+1/2, j+1/2, k+1/2), которые нумеруются полуцелыми индексами. Значения величин в момент времени t^n внутри ячеек считаются постоянными. Геометрические

факторы при этом будем рассматривать в каче-

стве переменных величин. Базовая схема строится на основе метода конечного (контрольного) объема (см., напр., [62]). Проекция контрольного объема на произвольную меридиональную плоскость φ = const изображена на рис. 6. Сам объем представляет собой трехмерную фигуру в пространстве.

Объем ячейки с номером c определяется выражением

$$\Delta V = \int_{r_1}^{r_2} dr \int_{\theta_1}^{\theta_2} d\theta \int_{\varphi_1}^{\varphi_2} d\varphi r^2 \sin \theta = r_c \overline{r} \sin \theta_c \Delta r \Delta \theta \Delta \varphi.$$
 (B1)

Здесь индексами 1 и 2 условно обозначены левая и правая границы ячейки по координатам r, θ и ϕ . Для обозначений арифметических средних используется черта сверху. Например,

$$\overline{r} = \frac{r_1 + r_2}{2}. (B2)$$

Дополнительные средние величины определяются выражениями

$$r_c = \frac{2r_1^2 + r_1r_2 + r_2^2}{3r_1 + r_2},$$
 (B3)

$$\sin \theta_c = -\frac{\cos \theta_2 - \cos \theta_1}{\theta_2 - \theta_1} = \frac{2}{\Delta \theta} \sin \left(\frac{\Delta \theta}{2}\right) \sin \overline{\theta}. \quad (B4)$$

Рассмотрим применение метода конечного объема к уравнению следующего вида:

$$\frac{\partial u}{\partial t} + \frac{1}{r^2} \frac{\partial}{\partial r} (r^2 F) + \frac{1}{r \sin \theta} \frac{\partial}{\partial \theta} (\sin \theta G) + \frac{1}{r \sin \theta} \frac{\partial H}{\partial \phi} = R,$$
(B5)

где $u(r, \theta, \varphi, t)$ — неизвестная функция, F, G, H — потоки в координатных направлениях r, θ , φ , а R — функция источников. По своему виду оно соответствует уравнению непрерывности (A1), но учитывает в правой части наличие локальных источников. Поскольку внутри объема физические величины считаются постоянными, то потоки F, G и H на соответствующих границах также следует считать постоянными. Чтобы избавиться от коэффициентов при пространственных производных, умножим обе части уравнения (B5) на $r^2 \sin \theta$. Приходим к следующему уравнению:

$$r^{2} \sin \theta \frac{\partial u}{\partial t} + \frac{\partial}{\partial r} (r^{2} \sin \theta F) + \frac{\partial}{\partial \theta} (r \sin \theta G) + \frac{\partial}{\partial \theta} (rH) = r^{2} \sin \theta R.$$
 (B6)

Проинтегрируем это уравнение по времени t на интервале от t^n до t^{n+1} , а также по координатам $r_1 \le r \le r_2$, $\theta_1 \le \theta \le \theta_2$ и $\phi_1 \le \phi \le \phi_2$. Имеем:

$$\int_{t^{n}}^{t^{n+1}} dt \int_{r_{1}}^{r_{2}} dr \int_{\theta_{1}}^{\theta_{2}} d\theta \int_{\varphi_{1}}^{\varphi_{2}} d\varphi r^{2} \sin \theta \frac{\partial u}{\partial t} =$$

$$= r_{c} \overline{r} \sin \theta_{c} \Delta r \Delta \theta \Delta \varphi \left(u_{c}^{n+1} - u_{c}^{n} \right),$$
(B7)

$$\int_{r^{n}}^{r^{n+1}} dt \int_{r_{1}}^{r_{2}} dr \int_{\theta_{1}}^{\theta_{2}} d\theta \int_{\varphi_{1}}^{\varphi_{2}} d\varphi \frac{\partial}{\partial r} (r^{2} \sin \theta F) =$$

$$= \Delta t \sin \theta_{c} \Delta \theta \Delta \varphi \Delta_{r} [r^{2} F],$$
(B8)

$$\int_{r'}^{r''+1} dt \int_{r_1}^{r_2} dr \int_{\theta_1}^{\theta_2} d\theta \int_{\varphi_1}^{\varphi_2} d\phi \frac{\partial}{\partial \theta} (r \sin \theta G) =$$

$$= \Delta t \overline{r} \Delta r \Delta \phi \Delta_{\theta} [\sin \theta G],$$
(B9)

$$\int_{t^n}^{t^{n+1}} dt \int_{r_1}^{r_2} dr \int_{\theta_1}^{\theta_2} d\theta \int_{\phi_1}^{\phi_2} d\phi \frac{\partial}{\partial \phi} (rH) = \Delta t \overline{r} \Delta r \Delta \theta \Delta_{\phi} [H], \quad (B10)$$

$$\int_{t^{n}}^{t^{n+1}} dt \int_{r_{1}}^{r_{2}} dr \int_{\theta_{1}}^{\theta_{2}} d\theta \int_{\varphi_{1}}^{\varphi_{2}} d\varphi r^{2} \sin \theta R =$$

$$= \Delta t r_{c} \overline{r} \sin \theta_{c} \Delta r \Delta \theta \Delta \varphi R_{c}^{n}.$$
(B11)

Потоки через границы ячеек в (В8)—(В10) определены с помощью правила усреднения по времени. Операторы Δ_r , Δ_θ и Δ_ϕ определяют разности величин на границах ячеек в соответствую-

щих координатных направлениях. Например, $\Delta_r[F] = F_2 - F_1$, $\Delta_{\theta}[G] = G_2 - G_1$ и т.д. При получении выражения (В11) считалось, что функция источника R определяется только физическими величинами и, следовательно, является постоянной внутри контрольного объема. Если же эта функция содержит геометрические факторы, то этот интеграл необходимо вычислять более корректным образом.

Собирая результаты интегрирования, приходим к соотношению баланса (интегральный закон сохранения):

$$r_{c}\overline{r}\sin\theta_{c}\Delta r\Delta\theta\Delta\varphi\left(u_{c}^{n+1}-u_{c}^{n}\right)+$$

$$+\Delta t\sin\theta_{c}\Delta\theta\Delta\varphi\Delta_{r}\left[r^{2}F\right]+$$

$$+\Delta t\overline{r}\Delta r\Delta\varphi\Delta_{\theta}\left[\sin\theta\ G\right]+\Delta t\overline{r}\Delta r\Delta\theta\Delta_{\varphi}\left[H\right]=$$

$$=\Delta tr_{c}\overline{r}\sin\theta_{c}\Delta r\Delta\theta\Delta\varphi R_{c}^{n}.$$
(B12)

Делим обе части на $\Delta V \Delta t$ и приходим к следующей разностной схеме:

$$\frac{u_c^{n+1} - u_c^n}{\Delta t} + \frac{\Delta_r \left[r^2 F \right]}{r_c \overline{r} \Delta r} + \frac{\Delta_{\theta} \left[\sin \theta \ G \right]}{r_c \sin \theta_c \Delta \theta} + \frac{\Delta_{\phi} \left[H \right]}{r_c \sin \theta_c \Delta \phi} = R_c.$$
(B13)

Полученная схема обладает свойством консервативности. В разностной схеме годуновского типа потоки вычисляются на основе решения задачи Римана о распаде произвольного разрыва. В данном случае разностная схема Роу-Эйнфельдта-Ошера имеет первый порядок аппроксимации по времени [63]. Поэтому без потери точности функции источников можно вычислять в момент времени t^n . К виду (В13) приводятся разностные схемы для уравнения непрерывности (А1), энергии (А2), массовых долей компонентов (А3), уравнение (А7) для радиальной скорости v_r , а также

При выводе разностной схемы (В13) считалось, что функции внутри ячейки являются постоянными. Однако функция источника R может содержать геометрические факторы. В этом случае соответствующий интеграл необходимо вычислять более корректным образом. Рассмотрим в качестве примера функцию вида R = 2P/r. Такая функция в сферическом случае возникает в уравнении движения (А7) для радиального ком-

уравнение индукции (А11) для радиального ком-

понента поля b_{r} .

316 ЖИЛКИН

понента скорости v_r . В этом случае можно получить

$$\int_{r'}^{r+1} dt \int_{r_1}^{r_2} dr \int_{\theta_1}^{\theta_2} d\theta \int_{\varphi_1}^{\varphi_2} d\varphi r^2 \sin \theta \frac{2P}{r} =$$

$$= 2\Delta t \overline{r} \sin \theta_2 \Delta r \Delta \theta \Delta \varphi P_0.$$
(B14)

После деления на $\Delta V \Delta t$ находим:

$$R_c = \frac{2P_c}{r_c}. (B15)$$

Это выражение, в частности, позволяет в точности скомпенсировать силы давления в случае однородной среды. В самом деле, оставляя в схеме (В13) для радиального компонента уравнения движения (А7) только члены с давлением, имеем

$$\frac{r_2^2 P_2 - r_1^2 P_1}{r_c \overline{r} \Delta r} = \frac{2P_c}{r_c}.$$
 (B16)

В однородной среде должно быть $P_1 = P_2 = P_c$ и это соотношение удовлетворяется тождественно.

Оставшиеся уравнения могут быть аппроксимированы аналогичным способом. Выпишем окончательные схемы без вывода:

$$\frac{(\rho v_{\theta})_{c}^{n+1} - (\rho v_{\theta})_{c}^{n}}{\Delta t} + \frac{\Delta_{r} \left[r^{3} \Pi_{r\theta}\right]}{\overline{r^{2}} \overline{r} \Delta r} + \frac{r_{c} \Delta_{\theta} \left[\sin \theta \Pi_{\theta\theta}\right]}{\overline{r^{2}} \sin \theta_{c} \Delta \theta} + \frac{r_{c} \Delta_{\phi} \left[\Pi_{\phi\theta}\right]}{\overline{r^{2}} \sin \theta_{c} \Delta \phi} = \frac{r_{c} \cot g \overline{\theta}}{\overline{r^{2}}} \Pi_{\phi\phi,c}, \tag{B17}$$

$$\frac{(\rho v_{\varphi})_{c}^{n+1} - (\rho v_{\varphi})_{c}^{n}}{\Delta t} + \frac{\Delta_{r} \left[r^{3} \Pi_{r\varphi}\right]}{\overline{r^{2}} \overline{r} \Delta r} + \frac{r_{c} \Delta_{\theta} \left[\sin^{2} \theta \Pi_{\theta\varphi}\right]}{\overline{r^{2}} \left\langle\sin^{2} \theta\right\rangle \Delta \theta} + \frac{r_{c} \sin \theta_{c} \Delta_{\varphi} \left[\Pi_{\varphi\varphi}\right]}{\overline{r^{2}} \left\langle\sin^{2} \theta\right\rangle \Delta \varphi} = 0,$$
(B18)

$$\frac{b_{\theta,c}^{n+1} - b_{\theta,c}^{n}}{\Delta t} + \frac{\Delta_r [rF_{r\theta}]}{\overline{r}\Delta r} + \frac{\Delta_{\varphi} [F_{\varphi\theta}]}{\overline{r}\sin\theta_c\Delta\varphi} = 0, \quad (B19)$$

$$\frac{b_{\varphi,c}^{n+1} - b_{\varphi,c}^{n}}{\Delta t} + \frac{\Delta_r \left[r F_{r\varphi} \right]}{\overline{r} \Delta r} + \frac{\Delta_{\theta} \left[F_{\theta\theta} \right]}{\overline{r} \Delta \theta} = 0.$$
 (B20)

Здесь обозначено

$$\left\langle \sin^2 \theta \right\rangle = \frac{1}{\Delta \theta} \int_{\theta_1}^{\theta_2} \sin^2 \theta d\theta = \frac{1}{2} (1 - \chi) + \chi \sin^2 \overline{\theta},$$

$$\chi = \frac{\sin \Delta \theta}{\Delta \theta}.$$
(B21)

ТЕСТОВЫЕ РАСЧЕТЫ

В тестовом расчете проводилось численное моделирование задачи об объемно распределенном взрыве в однородном магнитном поле. Начальные условия соответствуют ситуации, когда в объеме сферического облака радиусом R = 2 давление мгновенно возрастает в 10 раз по сравнению с давлением во внешней среде. В результате такого взрыва вещество облака начинает разлетаться во внешнюю среду. В начальный момент времени рассматривалось покоящееся (скорость $\mathbf{v} = 0$) вещество в однородном магнитном поле $B_x = 1/4$, $B_y = \sqrt{3}/4$, $B_z = 0$. Плотность и давление внутри облака задавались равными $\rho = 1$ и P = 1, а во внешней области $\rho = 0.125$, P = 0.1. Показатель адиабаты $\gamma = 5/3$. Рассматривалась двухкомпонентная смесь, состоящая из ионов водорода H⁺ и гелия He⁺. При этом считалось, что в начальный момент времени вещество облака состоит только из ионов гелия, а внешнее вещество только из ионов водорода.

Расчет проводился в области $1 \le r \le 5$ на тернарной сферической сетке с числом ячеек $N_r = 128, n_\theta = 32, n_\phi = 64$. На внутренней границе r = 1 задавались свободные граничные условия. В параллельной программе использовалось 2 радиальных слоя, что соответствует числу процессов P = 6. При вычислении граничных значений для сшивки секторов тернарной сетки применялась бикубическая интерполяция МГД величин. Использовалась разностная схема Роу-Эйнфельдта-Ошера, имеющая третий порядок аппроксимации по пространству. Поэтому в случае бикубической интерполяции порядок малости численных ошибок, обусловленных сшивкой секторов композитной сферической сетки, оказывается не меньше порядка аппроксимации основной схемы.

Результаты расчета тестовой задачи на момент времени t = 0.5 представлены на рис. 7, на котором показаны распределения плотности (цвет, изолинии), скорости (стрелки) и магнитного поля (линии). Как видно из рисунка, структура течения определяется сложной системой распространяющихся наружу сильных МГД разрывов (быстрая и медленная ударные волны, контактный разрыв), а также распространяющимися к центру быстрой и медленной МГД волнами разрежения. Наличие магнитного поля приводит к тому, что формируется анизотропная картина течения. В частности, контактная граница вдоль магнитного поля распространяется быстрее по сравнению с направлением поперек поля. В результате первоначально симметричное гелиевое

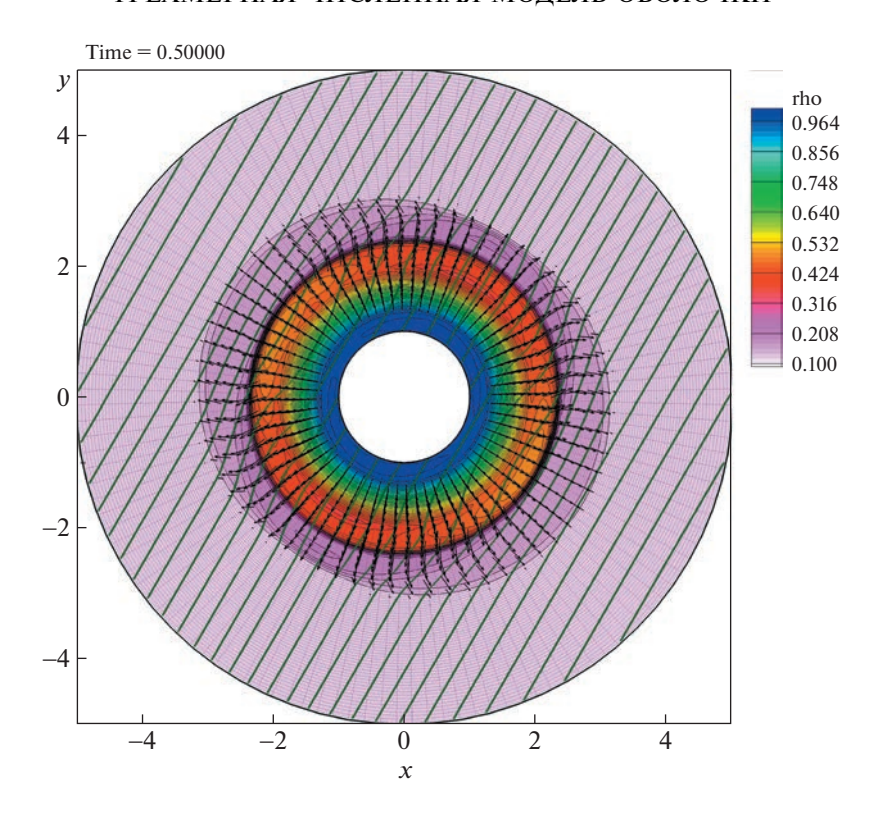


Рис. 7. Результаты тестового расчета задачи об объемно распределенном взрыве в однородном магнитного поле. На момент времени t = 0.5 показаны распределения в плоскости xy плотности (цвет, изолинии), скорости (стрелки) и магнитного поля (линии).

облако становится вытянутым вдоль магнитных силовых линий.

Анализ рисунка позволяет заключить, что использованная нами разностная схема довольно хорошо аппроксимирует все типы бегущих волн. Кроме того, можно отметить, что наличие границ между секторами в тернарной сферической сетке в полученном распределении величин практически никак не проявляются.

ФИНАНСИРОВАНИЕ

Работа выполнена при поддержке Российского научного фонда (проект 22-12-00364).

БЛАГОДАРНОСТИ

Автор благодарит Д.В. Бисикало за полезные обсуждения. Работа была выполнена с использованием вычислительных средств МСЦ РАН.

СПИСОК ЛИТЕРАТУРЫ

- 1. D. V. Bisikalo, V. I. Shematovich, P. V. Kaygorodov, and A. G. Zhilkin, Physics Uspekhi **64**(8), 747 (2021).
- 2. D. V. Bisikalo, V. I. Shematovich, P. V. Kaigorodov, and A. G. Zhilkin, Gaseous Envelopes of Exoplanets Hot Jupiters (Moscow: Nauka, 2020) [in Russian].

- 3. M. Mayor and D. Queloz, Nature 378, 355 (1995).
- 4. D. Lai, C. Helling, and E. P. J. van den Heuvel, Astrophys. J. **721**, 923 (2010).
- S.-L. Li, N. Miller, D. N. C. Lin, and J. J. Fortney, Nature 463, 1054 (2010).
- 6. A. Vidal-Madjar, A. Lecavelier des Etangs, J.-M. Desert, G. E. Ballester, et al., Nature 422, 143 (2003).
- 7. Vidal-Madjar, J.-M. Desert, A. Lecavelier des Etangs, G. Hebrard, et al., Astrophys. J. **604**, L69 (2004).
- 8. L. Ben-Jaffel, Astrophys. J. **671**, L61 (2007).
- 9. A. Vidal-Madjar, A. Lecavelier des Etangs, J.-M. Desert, G. E. Ballester, et al., Astrophys. J. 676, L57 (2008).
- L. Ben-Jaffel and S. Sona Hosseini, Astrophys. J. 709, 1284 (2010).
- 11. J. L. Linsky, H. Yang, K. France, C. S. Froning, et al., Astrophys. J. 717, 1291 (2010).
- A. Lecavelier des Etangs, V. Bourrier, P. J. Wheatley, H. Dupuy, et al., Astron. and Astrophys. 543, id. L4 (2012).
- 13. R. V. Yelle, Icarus 170, 167 (2004).
- 14. A. Garcia Munoz, Planet. Space Sci. 55, 1426 (2007).
- R. A. Murray-Clay, E. I. Chiang, and N. Murray, Astrophys. J. 693, 23 (2009).
- T. T. Koskinen, M. J. Harris, R. V. Yelle, and P. Lavvas, Icarus 226, 1678 (2013).
- 17. D. E. Ionov, V. I. Shematovich, and Ya. N. Pavlyuchenkov, Astron. Rep. **61**, 387 (2017).

- 18. D. V. Bisikalo, P. V. Kaigorodov, D. E. Ionov, and V. I. Shematovich, Astron. Rep. 57, 715 (2013).
- 19. A. A. Cherenkov, D. V. Bisikalo, and P. V. Kaigorodov, Astron. Rep. **58**, 679 (2014).
- D. V. Bisikalo and A. A. Cherenkov, Astron. Rep. 60, 183 (2016).
- A. Cherenkov, D. Bisikalo, L. Fossati, and C. Möstl, Astrophys. J. 846, 31 (2017).
- 22. A. A. Cherenkov, D. V. Bisikalo, and A. G. Kosovichev, Monthly Not. Roy. Astron. Soc. 475, 605 (2018).
- 23. D. V. Bisikalo, A. A. Cherenkov, V. I. Shematovich, L. Fossati, and C. Möstl, Astron. Rep. 62, 648 (2018).
- 24. I. F. Shaikhislamov, M. L. Khodachenko, H. Lammer, K. G. Kislyakova, et al., Astrophys. J. 832, 173 (2016).
- 25. M. L. Khodachenko, I. F. Shaikhislamov, H. Lammer, K. G. Kislyakova, et al., Astrophys. J. **847**, 126 (2017).
- I. F. Shaikhislamov, M. L. Khodachenko, H. Lammer, A. G. Berezutsky, I. B. Miroshnichenko, and M. S. Rumenskikh, Monthly Not. Roy. Astron. Soc. 481, 5315 (2018).
- 27. M. L. Khodachenko, I. F. Shaikhislamov, H. Lammer, A. G. Berezutsky, I. B. Miroshnichenko, M. S. Rumenskikh, K. G. Kislyakova, and N. K. Dwivedi, Astrophys. J. 885, 67 (2019).
- 28. I. F. Shaikhislamov, M. L. Khodachenko, H. Lammer, A. G. Berezutsky, I. B. Miroshnichenko, and M. S. Rumenskikh, Monthly Not. Roy. Astron. Soc. **491**, 3435 (2020).
- 29. K. G. Kislyakova, M. Holmström, H. Lammer, P. Odert, and M. L. Khodachenko, Science **346**, 981 (2014).
- 30. T. T. Koskinen, J. Y.-K. Cho, N. Achilleos, and A. D. Aylward, Astrophys. J. **722**, 178 (2010).
- 31. T. T. Koskinen, R. V. Yelle, P. Lavvas, and N. K. Lewis, Astrophys. J. **723**, 116 (2010).
- 32. G. B. Trammell, P. Arras, and Z.-Y. Li, Astrophys. J. 728, id. 152 (2011).
- 33. I. F. Shaikhislamov, M. L. Khodachenko, Y. L. Sasunov, H. Lammer, et al., Astrophys. J. 795, 132 (2014).
- 34. M. L. Khodachenko, I. F. Shaikhislamov, H. Lammer, and P. A. Prokhopov, Astrophys. J. 813, 50 (2015).
- 35. G. B. Trammell, Z.-Y. Li, and P. Arras, Astrophys. J. **788**, id. 161 (2014).
- T. Matsakos, A. Uribe, and A. Königl, Astron. and Astrophys. 578, id. A6 (2015).
- 37. M. L. Khodachenko, I. F. Shaikhislamov, H. Lammer, I. B. Miroshnichenko, M. S. Rumenskikh, A. G. Berezutsky, and L. Fossati, Monthly Not. Roy. Astron. Soc. 507, 3626 (2021).
- 38. A. S. Arakcheev, A. G. Zhilkin, P. V. Kaigorodov, D. V. Bisikalo, and A. G. Kosovichev, Astron. Rep. **61**, 932 (2017).

- D. V. Bisikalo, A. S. Arakcheev, and P. V. Kaigorodov, Astron. Rep. 61, 925 (2017).
- 40. A. G. Zhilkin and D. V. Bisikalo, Astron. Rep. **63**, 550 (2019).
- 41. A. G. Zhilkin, D. V. Bisikalo, and P. V. Kaygorodov, Astron. Rep. **64**, 159 (2020).
- 42. A. G. Zhilkin, D. V. Bisikalo, and P. V. Kaygorodov, Astron. Rep. **64**, 259 (2020).
- 43. A. G. Zhilkin and D. V. Bisikalo, Astron. Rep. **64**, 563 (2020).
- 44. A. G. Zhilkin, D. V. Bisikalo, and E. A. Kolymagina, Astron. Rep. **65**, 676 (2021).
- 45. *А. Г. Жилкин, Д. В. Бисикало*, Астрон. журн. **99**, 970 (2022).
- 46. A. G. Zhilkin and D. V. Bisikalo, Universe 7, 422 (2021).
- C. Ronchi, R. Iacono, and P. S. Paolucci, J. Comput. Phys. 124, 93 (1996).
- 48. V. Koldoba, M. M. Romanova, G. V. Ustyugova, and R. V. E. Lovelace, Astrophys. J. 576, L53 (2002).
- 49. *L. Ivan, H. De Sterck, S. A. Northrup, and C. P. T. Groth*, J. Comput. Phys. **255**, 205 (2013).
- G. Chesshire and W. D. Henshaw, J. Comput. Phys. 90, 1 (1990).
- 51. A. V. Usmanov, M. L. Goldstein, and W. H. Matthaeus, Astrophys. J. **754**, id. 40 (2012).
- 52. A. Kageyama and T. Sato, Geochemistry, Geophysics, Geosystems 5, 9005 (2004).
- X. S. Feng, L. P. Yang, C. Q. Xiang, S. T. Wu, Y. Zhou, and D. Zhong, Astrophys. J. 723, 300 (2010).
- 54. *X. Feng, M. Zhang, and Y. Zhou*, Astrophys. J. Suppl. **214**, id. 6 (2014).
- 55. D. V. Bisikalo, A. G. Zhilkin, and A. A. Boyarchuk, Gas Dynamics of Close Binary Stars (Moscow: Fizmatlit, 2013) [in Russian].
- A. G. Zhilkin, D. V. Bisikalo, and A. A. Boyarchuk, Physics Uspekhi 55, 115 (2012).
- 57. T. Tanaka, J. Comput. Phys. 111, 381 (1994).
- K. G. Powell, P. L. Roe, T. J. Linde, T. I. Gombosi, and D. L. de Zeeuw, J. Comput. Phys. 154, 284 (1999).
- 59. A. Dedner, F. Kemm, D. Kroner, C.-D. Munz, T. Schnitzer, and M. Wesenberg, J. Comput. Phys. 175, 645 (2002).
- 60. E. J. Weber and L. Davis, Jr., Astrophys. J. **148**, 217 (1967).
- 61. *M. J. Owens and R. J. Forsyth*, Liv. Rev. Solar Physics **10**, 5 (2013).
- 62. U. Ziegler, J. Comput. Phys. 230, 1035 (2011).
- 63. А. Г. Жилкин, А. В. Соболев, Д. В. Бисикало, М. М. Габдеев, Астрон. журн. **96**(9), 748 (2019).

НОВОЕ ЗНАЧЕНИЕ СКОРОСТИ АПСИДАЛЬНОГО ВРАЩЕНИЯ И ФИЗИЧЕСКИЕ ПАРАМЕТРЫ ТРОЙНОЙ ЗАТМЕННОЙ СИСТЕМЫ AS CAM

© 2023 г. И. М. Волков*

Московский государственный университет им. М.В.Ломоносова, Государственный астрономический институт им. П.К. Штернберга, Москва, Россия *E-mail: hwp@yandex.ru Поступила в редакцию 06.10.2022 г.

Поступила в редакцию 06.10.2022 г. После доработки 10.12.2022 г. Принята к публикации 24.01.2023 г.

Ключевые слова: тройные звездные системы, параметры компонентов системы, апсидальное вращение, AS Cam

DOI: 10.31857/S0004629923040059. **EDN:** UMSWXN

1. ВВЕДЕНИЕ

Звезда AS Cam в течение уже 40 лет привлекает особое внимание исследователей вследствие того, что наблюдаемая в системе скорость апсидального вращения в три раза меньше теоретического значения [1]. Рекордсменом по расхождению теории и наблюдений являлась до недавнего времени звезда DI Her, у которой наблюдаемое значение скорости апсидального вращения было ниже теоретического в четыре раза. При этом в DI Her, казалось, не оставалось места для релятивистского вклада в апсидальное вращение. Для объяснения наблюдаемой картины привлекалось множество гипотез, включая альтернативные эйнштейновской несимметричные теории гравитации, например, работы Моффата [2, 3]. Трудность в опровержении или подтверждении выдвинутой Моффатом гипотезы состояла в том, что как раз две упомянутых выше звезды, DI Her и AS Cam, и служили основой для калибровки его теории [4]. Естественно, что при таком условии теоретические предсказания Моффата совпадали с наблюдаемой скоростью вращения линий апсид. В то же самое время оставалась возможность объяснить наблюдаемое противоречие в рамках классической теории Ньютона, не затрагивая релятивистский вклад во вращение линии апсид.

Были предложены две наиболее вероятные гипотезы.

Первая — это предположение о наличии в системе третьего невидимого компонента, который мог бы влиять на эксцентриситет орбиты двойной. Эта гипотеза была высказана Мартыновым и Халиуллиным в той же работе, в которой они впервые измерили скорость апсидального вращения в DI Her [5]. Если эксцентриситет орбиты меняется, то обычные способы измерения апсидального вращения не годятся. Все они базируются на предположении постоянства эксцентриситета. Развитием гипотезы следует считать последовавшие работы, в которых было определено, что если орбита спутника значительно наклонена к плоскости орбиты двойной системы, то апсидальное вращение будет реально замедляться. Был опубликован ряд работ с численным моделированием, в которых было показано, что при некоторых условиях подобная конфигурация может оказаться устойчивой и замедлять апсидальное вращение до наблюдаемого значения [6-8]. Сложности, связанные с определением угла наклона орбиты третьего тела, не позволили пока что найти тройные системы, полностью удовлетворяющие рассчитанным критериям. Наличие третьего тела в системе должно также менять эксцентриситет и наклон орбиты двойной системы. Последнее как раз подтверждается, например, фактом исчезновения затмений в системах SS Lac [9], QX Cas [10], а также изменением глубин минимумов в недавно открытых тройных системах DX Vel и RW CrA [11, 12], в которых третий компонент хотя и находится на значительном удалении от затменной системы, но имеет сравнимую с ней массу и вполне может оказывать влияние на параметры орбиты двойной звезды.

Другую гипотезу предложил Шакура [13]. Суть ее в том, что значительный наклон осевого вращения компонентов к орбитальной плоскости может замедлить скорость апсидального вращения. Если оси вращения обоих компонентов DI Her лежат в плоскости орбиты, то теоретическое значение скорости апсидального вращения совпадет с наблюдаемым. Для применения данной гипотезы как для DI Her, так и AS Cam, существовала та сложность, что наблюдаемые в обеих системах $v \sin i$ осевого вращения были близки к условиям синхронизма. Поэтому получалось, что оси вращения должны быть направленными на наблюдателя. Это делало предложенную модель несколько искусственной. К тому же, такая модель противоречила гипотезе образования двойных звезд делением, при которой все моменты должны были бы быть коллинеарными. Как ни странно, но именно это предположение оказалось верным для случая DI Her. Через 24 года после публикации статьи Шакуры было проведено исследование, подтвердившее значительный наклон осей вращения компонентов DI Her к плоскости орбиты [14]. Были получены спектры высокого разрешения во время затмений и по изменению профилей линий сделана оценка величины наклона осей вращения. Наблюдение эффекта Росситера-Маклафлина является упрощенным вариантом данного подхода. Непосредственные измерения данного эффекта Маклафлиным [15] позволили Волкову [16] оценить угол наклона оси вращения главного компонента затменной звезды α CrB к плоскости ее орбиты в 40° и объяснить этим замедление скорости апсидального вращения системы. Особого внимания данная система не привлекла, так как в этом случае расхождение с условием синхронизма было невелико. Тем не менее это было первое наблюдательное подтверждение гипотезы Шакуры.

В работе Павловского и др. [17] была сделана попытка объяснить случай AS Сат этой же гипотезой. Были получены спектры высокого разрешения, из которых следовало отсутствие вращательного уширения линий. Это могло свидетельствовать об ориентации полюсов компонентов на наблюдателя. Эти наблюдения противоречат спектральным наблюдениям Хилдитча [18] и Малони и др. [19], из которых следует, что вращение

компонентов удовлетворяет условию синхронизма. Так как система AS Cam $(R_1/A = 0.15,$ $R_2/A = 0.1$) гораздо более тесная, чем DI Her $(R_{1.2}/A = 0.05)$, то отсутствие синхронизма в системе вызывает вопросы. Здесь А – большая полуось орбиты. В то же самое время, Козырева и др. [20, 21] показали, что в последовательности моментов минимумов в AS Cam наблюдается небольшое световое уравнение, что можно отнести на счет влияния невидимого спутника. Последовавшие наблюдения других авторов подтвердили найденный эффект [22], хотя и было отмечено, что он находится на пределе обнаружения [17]. В спектральных и фотометрических наблюдениях следов спутника обнаружено не было. Хилдитч [23] при решении своих кривых блеска вручную получил существенную долю третьего света во всех фотометрических полосах наблюдений. Но этот результат не может считаться убедительным, т.к. одновременно в этом решении было получено большее, чем у других авторов, значение угла наклона орбиты. А эти параметры, как известно, сильно связаны: добавляя в решение третий свет, мы, тем самым, увеличиваем угол наклона орбиты к лучу зрения.

Оценка угла наклона орбиты третьего тела AS Cam в 90°, сделанная в работе [8], является ошибочной, так как при вычислении sin i были перепутаны большая полуось орбиты затменной системы вокруг общего центра масс тройной системы, которая определяется из светового уравнения, и большая полуось орбиты третьего тела, определяемая из третьего закона Кеплера. Для вычисления синуса угла наклона орбиты третьего тела следовало уменьшить большую полуось орбиты третьего тела на фактор отношения массы третьего тела к сумме масс компонентов затменной звезды. Тогда плоскость орбиты третьего тела в данной оценке примерно совпадает с плоскостью орбиты затменной двойной и перпендикулярна картинной плоскости. Исследование Ходыкина и др. [8] проводилось в предположении солнечной массы третьего тела. Исчезающе малая доля третьего света делает невозможным присутствие в системе одиночной дополнительной звезды массы большей, чем солнечная. Но если третьим телом является маломассивная двойная звезда или релятивистский объект, то условие малой доли третьего света будет выполнено.

Таким образом, наблюдаемое в системе AS Cam противоречие теории с наблюдениями на начало данной работы точного объяснения не имело. Кроме того, оставалась некоторая неопределенность в параметрах орбиты, размерах и температурах звезд. Разные авторы получали значения эксцентриситета орбиты от 0.10 до 0.17. При меньшем из этих значений эксцентриситета получается большее значение скорости апсидального вра-

щения [22], и противоречие исчезает. Но в дальнейшем было показано, что меньшие значения эксцентриситета ошибочны. Козырева и др. [24] предположили постепенное увеличение эксцентриситета системы, которое, вероятно, связано с влиянием третьего компонента. Хилдитчем [23], Козыревой и Захаровым [25] было отмечено, что в системе наблюдаются небольшие физические изменения блеска.

Мною была предпринята попытка разобраться в процессах, происходящих в AS Cam. Поиск по литературе показал, что на данный момент опубликовано несколько фотоэлектрических кривых блеска системы, пригодных для решения и достаточно равномерно распределенных по интервалу в 50 лет. План был получить еще одну кривую блеска, затем решить каждую из имеющихся кривых одинаковым способом, получить из всех решений средние параметры системы, их ошибки, с учетом малости выборки, и непосредственно проследить за динамикой изменений долготы периастра и, возможно, эксцентриситета и угла наклона орбиты. Также для измерения температур можно воспользоваться точным расстоянием до системы из обзора GAIA DR3, а измерения эксцентриситета и долготы периастра дополнить значениями, полученными из спектральных наблюдений Хилдитча [18] и Павловского и др. [17].

2. ОПРЕДЕЛЕНИЕ ПАРАМЕТРОВ AS Cam НА ОСНОВЕ ФОТОМЕТРИЧЕСКИХ ДАННЫХ

2.1. Звездные величины и межзвездное поглощение

Звездные величины AS Cam неоднократно определялись разными авторами. Мною были собраны все доступные из литературы UBV оценки ее блеска [1, 23, 26, 27]. Также были использованы определения температур из спектральных наблюдений [17, 18], из которых с помощью калибровок Флауэра [28] можно независимо определить непокрасненные показатели цвета B - V. Затем было проведено сравнение друг с другом всех данных, найдены и отброшены выпадающие значения и получены средние величины, наилучшим образом удовлетворяющие всей совокупности данных. Результаты представлены в табл. 1. С помощью двуцветной диаграммы (U - B) - (B - V)(рис. 1) было определено значение межзвездного поглощения $E(B-V) = 0.086 \pm 0.008$, близкое к величине, которую дает обзор [31], E(B-V) = $= 0.10 \pm 0.02$. Одинаковое с обзором значение следует из *uvby*β фотометрии Лэси [32]. Величина, получаемая из UBV фотометрии, выглядит предпочтительнее, так как объединяет измерения многих авторов, полученных из привязок к большому количеству фотометрических стандартов, она и была принята за окончательную. Средние

Таблица 1. Звездные величины AS Cam на плато и каждого компонента в отдельности

Звезда	V	U - B	B-V
AS Cam	8.587	-0.269	-0.015
	0.005	0.012	0.012
AS Cam, "A"	8.955	-0.318	-0.029
	0.006	0.013	0.013
AS Cam, "B"	9.939	-0.131	0.019
	0.007	0.017	0.015

показатели цвета каждого из компонентов были определены после решения кривых блеска и обратного преобразования температур, полученных из спектров с помощью таблиц из работы [28], они также нанесены на рис. 1. Основой для их определения послужили относительные светимости компонентов, полученные из наблюдений Хилдитча, т.к. в них представлены наиболее полные кривые блеска в фотометрических полосах *UBV*.

2.2. Фотометрия AS Cam

Из литературных данных известны три полных кривых блеска [1, 23, 25]. Данные [33] неполны, но были использованы в той мере, в какой это представилось возможным. Также были использованы данные спутника TESS [34]. И, наконец, наиболее полная кривая блеска была получена в ходе данного исследования.

Была использована такая же методика наблюдений и редукции данных, что и в предыдущих работах [35—39]. Окончательные элементы искались методом дифференциальных поправок. Далее приводится более детальный разбор работы с каждым массивом данных.

2.2.1. Наблюдения Хилдитча. Наблюдения проводились с помощью фотоэлектрического одноканального фотометра, установленного в фокусе 40-см кассегрена равнинной обсерватории Сент-Эндрюсовского университета в Шотландии в 1968-1970 гг. Приемным элементом служил фотоумножитель RCA 1P21 с комплектом фильтров, обеспечивающим близкую к UBV инструментальную систему. Было получено порядка 860 измерений в каждой из трех фотометрических полос, полностью покрывших всю кривую блеска звезды. Была обнаружена внезатменная переменность звезды, синхронная с орбитальным периодом. Попытки ректификации кривой блеска за счет эффектов близости, отражения и вращения успеха не принесли, что вызвало недоумение, т.к. непонятной была связь физической переменности компонентов с движением по орбите. Разгадка была найдена в данном исследовании после

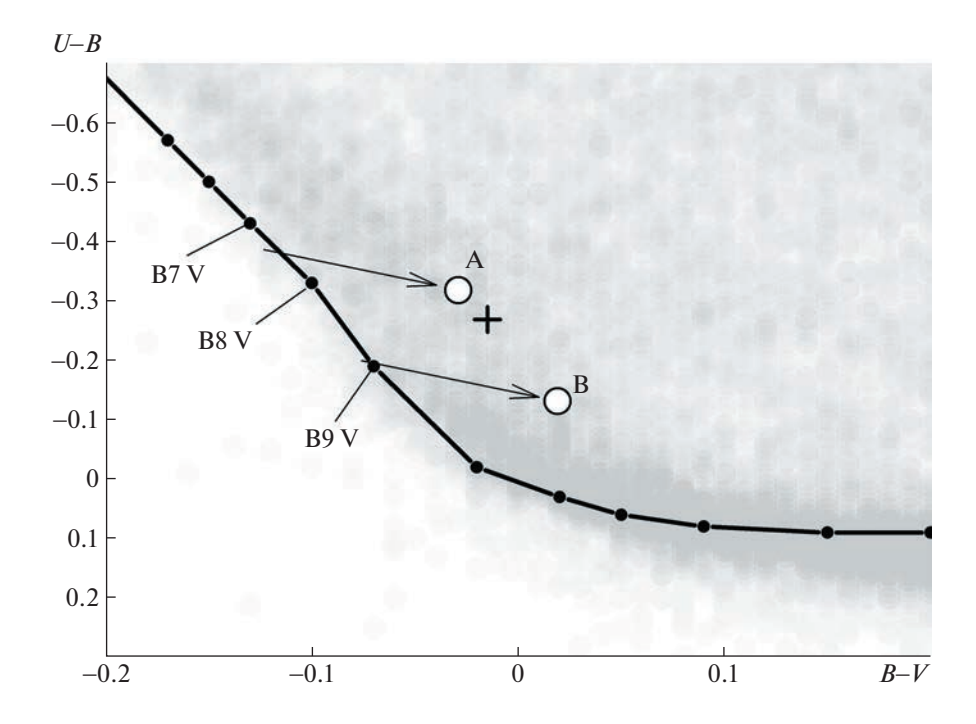


Рис. 1. Двухцветная диаграмма (U-B)-(B-V). Крестиком показано положение AS Cam. Кружки A и B — главный и вторичный компоненты соответственно. Сплошная линия соответствует нормальным показателям цвета звезд пятого класса светимости согласно [29]. Стрелками показано направление линии межзвездного покраснения. Серый фон — данные каталога [30].

решения кривой блеска TESS. В работе [40] предположенная Хилдитчем физическая переменность была подтверждена. В более поздней работе [25] был предложен близкий к суткам период пульсаций. Но достоверность найденного периода невелика, подтвержден он не был. Сводка результатов решения UBV кривых блеска приведена в табл. 2. Коэффициенты потемнения к краю выбирались для каждой из фотометрических полос в соответствии с опубликованными средними длинами волн [23] с помощью интерполяции таблиц в работе [41]. Обращает на себя внимание хорошее совпадение полученных параметров во всех фотометрических полосах. В двух последних строках табл. 2 даны количество наблюдательных точек в минимумах и среднее уклонение отдельной точки от модели. Полученные параметры отличаются от тех, что приведены в работе [23], где кривые блеска решались вручную. Они также значительно отличаются от тех данных, которые приведены в работе [1], в которой было получено независимое компьютерное решение этих же наблюдений. Такое расхождение объясняется недостатками предыдущих решений. В настоящей работе учтены ночные поправки, которые фактически компенсируют физическую переменность звезды. В случае наблюдений Хилдитча поправки существенно выше ошибок, представленных в последней строке табл. 2. Для полосы U они рав-

ны $\pm 0.035^m$, $B - \pm 0.020^m$, $V - \pm 0.017^m$. Отметим тот факт, что величины поправок монотонно уменьшаются в сторону более длинных волн. Эти поправки не имеют никакого отношения к точности наблюдений в каждой из полос, так как являются средними для отдельной наблюдательной ночи, когда количество наблюдений для каждой фотометрической полосы составляло несколько десятков. Данный факт прямо свидетельствует об увеличении амплитуды физических колебаний в сторону коротких длин волн и говорит в пользу определенного ниже класса физической переменности компонентов. Средневесовые значения параметров, полученных из наблюдений Хилдитча, приведены в первом столбце табл. 3.

2.2.2. Наблюдения Падалья и Шривастава, 1975 г. Наблюдения [26] получены в фотометрических полосах *UBV*, но, к сожалению, оригинальные данные недоступны. Приведены только индивидуальные моменты минимумов, имеющие недостаточную точность. Так как эти моменты очень близки между собой по времени, то была проведена линейная регрессия этих данных и получено два значения моментов минимумов: один главный и один вторичный, имеющие более высокую точность.

2.2.3. Наблюдения Халиуллина и Козыревой, **1983 г.** Наблюдения выполнены в Тянь-Шаньской высокогорной обсерватории ГАИШ МГУ на

Таблица 2.	Решение	кривых	блеска	Хилдитча	В	трех
фотометри	ческих по	лосах				

Параметр	V	В	U
r_1	0.1465(5)	0.1446(5)	0.1479(7)
<i>r</i> ₂	0.1088(5)	0.1081(6)	0.1113(7)
i , $^{\circ}$	88.339(2)	88.290(2)	88.160(2)
e	0.1377(20)	0.1374(24)	0.1403(31)
ω, °	224.54(2)	224.94(2)	225.82(2)
L_1	0.7122(11)	0.7212(13)	0.7545(16)
L_3	0.0	0.0	0.0
u_1	0.345	0.414	0.424
u_2	0.398	0.479	0.475
N	341	338	341
σ_{O-C} , ^m	0.0101	0.0114	0.0138

одноканальном электрофотометре и телескопе A3T-14 (D = 48 см, F = 7500 мм) в отличных фотометрических условиях [1]. Ошибка отдельного измерения в полосе V составляла $\pm 0.0040^m$, столь высокая точность обусловила то, что хотя наблюдения были проведены всего лишь в одном главном и в одном вторичном минимумах и только в одной фотометрической полосе V, параметры системы определяются достоверно. Полученные параметры приводятся во втором столбце табл. 3. Эти данные отличаются от тех, что приведены в работе [1], табл. III. Полученное значительное расхождение практически во всех параметрах связано с тем, что Халиуллин и Козырева не вносили ночных поправок в свои наблюдения, а учитывая, что звезда испытывает физическую переменность, это неизбежно приводило к ошибке. Уже при первом сравнении кривых блеска, приведенных в работах [23] и [1], видно, что у второй кривой главный минимум на 0.02^m глубже. Кроме того, в наблюдениях Халиуллина и Козыревой приняты ошибочные коэффициенты потемнения к краю. Для более горячего главного компонента линейный коэффициент потемнения к краю принят на 0.15 выше, чем для вторичного. Вероятно, такая ситуация возникла при включении коэффициентов потемнения в общий поиск решения. Формально у такого решения ошибки оказались меньше, и были приняты обратные значения коэффициентов потемнения. По какой-то причине этому факту должного внимания не уделили. Еще одной неизбежной ошибкой при решении Халиуллиным и Козыревой данных Хилдитча было то, что не учитывалось световое уравнение, которое смещало дату наблюдения до ±4 мин. При максимальной точности определения момента минимума в 10 с [42] подобная ошибка во времени наблюдения неприемлема. В свете сказанного не удивительно, что, приняв из своего ошибочного решения относительные размеры компонентов, угол наклона и эксцентриситет, было получено сильно завышенное значение долготы периастра для кривой блеска Хилдитча, $\omega = 235^{\circ}$. Из своих данных Халиуллин и Козырева получили $\omega =$ = 236.9°, что для 13 лет, прошедших со времени наблюдений Хилдитча, привело к заниженному значению скорости апсидального вращения. Указанные замечания были учтены мною при решении наблюдений Халиуллина и Козыревой и позволили получить более достоверные данные. Среднее уклонение отдельной точки в моем ре-

Таблица 3. Геометрические элементы для всех кривых блеска

Параметр	[23]	[1]	[25]	[34]	ДР	Среднее
2400000+	40204	44939	49341	58824	59630	
r_1	0.1460(5)	0.1452(2)	0.1469(4)	0.1449(3)	0.1423(3)	0.1451(8)
r_2	0.1088(5)	0.1079(4)	0.1099(7)	0.1094(2)	0.1080(5)	0.1088(4)
i , $^{\circ}$	88.30(3)	88.5(1)	88.6(2)	88.9(1)	89.1(1)	
e	0.1379(9)	0.1512(11)	0.1501(13)	0.1697(12)	0.1739(6)	
ω, °	224.8(4)	232.1(1)	234.0(4)	242.3(4)	243.7(1)	
L_{V1}		0.7036(6)	0.7065(6)	0.6991(7)	0.6804(3)	0.7007(70)
L_{V3}	0.00(1)	0.013(4)	0.00(1)	0.00(1)	0.034(5)	0.009(7)
u_{V1}		0.338	0.338	0.250	0.338	
u_{V2}		0.386	0.386	0.287	0.386	
N	1020	286	1418	177	1700	
σ_{O-C} , m		0.0041	0.0082	0.0026	0.0053	

Примечание. Во втором столбце приведены элементы кривой блеска Хилдитча [23], в третьем — Халиуллина и Козыревой [1], в четвертом — Козыревой и Захарова [25], в пятом — по данным TESS [34], в шестом — по данным настоящей работы (ДР). В седьмом столбце даны средние значения параметров r и L.

шении равно $\pm 0.0041^m$, что ниже значения $\pm 0.0047^m$, приводимого в статье Халиуллина и Козыревой, и практически равно заявленной ими ошибке наблюдений $\pm 0.0040^m$.

2.2.4. Наблюдения Козыревой, 2006 г. Следующей по времени кривой блеска являются наблюдения Козыревой 1991—2002 гг. в Тянь-Шаньской обсерватории. 11 лет наблюдений — это большой отрезок времени и за данный срок элементы орбиты могут измениться. Поэтому интервал наблюдений был разделен на части, для каждой было найдено свое решение. Результаты оказались практически одинаковыми. Затем было получено решение для всего интервала наблюдений. Изменение долготы периастра при этом учитывалось тем, что для вычисления фаз наблюдений использовались различные значения периодов следования главных и вторичных минимумов, которые тоже были включены в поиск решения. Полученное решение примерно совпало с решениями для отдельных интервалов времени. Поэтому для более точной привязки по времени интересующих нас в первую очередь параметров – долготы периастра и эксцентриситета, был выбран интервал времени от октября 1993 г. до марта 1995 г., в котором имелось максимальное количество измерений. Этот временной промежуток короче интервала наблюдений Хилдитча. Число наблюдательных точек сократилось в два раза, но осталось вполне достаточным для точного определения параметров (см. табл. 3). Точность индивидуального измерения в этом ряду хуже, чем в более ранних наблюдениях Халиуллина и Козыревой на той же обсерватории и с тем же телескопом, но приемная аппаратура была другой.

2.2.5. Данные спутника TESS. Это самые точные наблюдения, стандартное уклонение одной точки оказалось равным $\pm 0.0025^m$. Полоса наблюдений лежит в ближней инфракрасной области и для решения было принято, что наблюдения выполнены в системе I_C Казинса. Данные получены непрерывно в течение 25 сут в ноябре-декабре 2019 г. с равномерным распределением наблюдательных точек по времени. С одной стороны, такое распределение наблюдений уменьшило количество точек в минимумах, а с другой, позволило детально выяснить поведение звезды между минимумами. Главный компонент системы оказался физически переменной звездой. Были обнаружены накладывающиеся синусоидальные изменения блеска малой амплитуды и сделано предположение о наличии двух периодов пульсаций. Соответственно, еще шесть независимых параметров были добавлены в нашу программу поиска решений в следующем виде:

$$L_1 = L_{\text{mean}} (1 - A_1 \sin(2\pi (T - T_{01})/P_1) - A_2 \sin(2\pi (T - T_{02})/P_2)),$$
(1)

где T — начальные эпохи, отнесенные к нулевому аргументу конкретной синусоиды, P — периоды, $A_{1,2}$ — амплитуды. Были определены следующие значения параметров пульсаций: $T_{01} = T_{01} = 2458818.6165(5)$, $T_{02} = 2458818.8492(1)$, $P_{1} = 1.32273(1)$, $P_{2} = 1.15462(1)$, $A_{1} = 0.01547(2)$, $A_{2} = 0.01233(2)$. Геометрические параметры, полученные из решений, приведены в пятом столбце табл. 3. Значение P_{2} равно 1/3 орбитального периода, что объясняет найденную Хилдитчем связь физической переменности с орбитальным периодом.

Тип переменности – медленно пульсирующая звезда типа В Сер (SBC). Звезда полностью удовлетворяет критериям данного типа, а именно, пульсирует в двух модах, периоды близки суткам, амплитуды пульсаций соответствуют звездам данного типа и растут в сторону коротких длин волн, что следует из данных Хилдитча (см. выше). На диаграмме Герцшпрунга—Рассела [43] звезда попадает в область нестабильности для звезд SBC недалеко от нижней ее границы. Полученное для наблюдений TESS решение является единственным, в котором проведен правильный учет пульсаций главного компонента. Во всех остальных решениях пульсации устраняются только в первом приближении изменением нулевого уровня блеска в данную ночь. Так как продолжительность минимумов составляет для главного примерно 1/4, а вторичного примерно 1/5 от периодов пульсаций, то физические изменения блеска за время минимума могут достигать суммы амплитуд пульсаций главного компонента, пример-

но $\pm 0.020^m$ для общего блеска системы, что значительно превышает ошибки наблюдений для всех кривых блеска. Если каждый минимум наблюдался несколько раз, то такие ошибки усредняются и на геометрические параметры влияют слабо, но вносят существенную погрешность в определение точного момента конкретного минимума. График изменений блеска и его остаточных уклонений от модели приведен на рис. 2.

Попытка использовать формулу (1) для других фотометрических рядов успеха не принесла. Вероятно, кроме ошибок, связанных с пульсациями, в них содержатся еще и инструментальные ошибки того же порядка величины, что и пульсации. Их, например, можно видеть на графике остаточных уклонений в минимумах в наблюдениях [1].

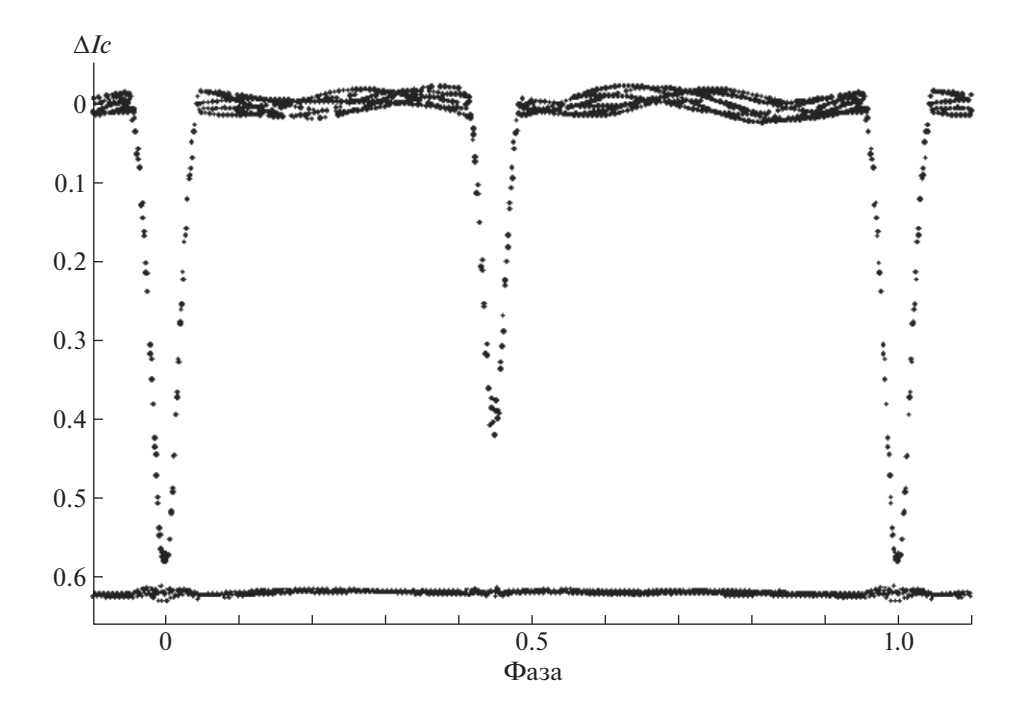


Рис. 2. Наблюдения TESS, свернутые с орбитальным периодом. Хорошо видны синусоидальные колебания на плато. Остаточные уклонения наблюдений от теоретической кривой блеска O-C представлены на нижней панели.

После того, как статья прошла рецензирование, стали доступны новые наблюдения TESS, которые не противоречат полученным результатам, но в данную работу не вошли. Отметим только, что в них не наблюдается периода $P_2 = 1.155$ сут для главного компонента, но появляются пульсации вторичного компонента с похожим периодом. Возможно, данный период, равный одной трети периода затменной системы, индуцируется орбитальным движением по эллиптической орбите и иногда проявляется у вторичного компонента, который в полосу нестабильности не попадает, но лежит близко к ее границе. Также в этих наблюдениях появилась заметная доля третьего света $L_3 = 0.037$ в полосе I_c .

2.2.6. Современные наблюдения. Наблюдения были проведены в 2021-2022 гг. на Звенигородской обсерватории ИНАСАН с помощью автоматического телескопа Celestron RASA 11', в кассегреновском фокусе которого установлена камера ZWO ASI 6200 MM PRO. Еще один минимум был получен в 2022 г. на обсерватории Словацкого астрономического института в Старой Лесне с помощью 60-см телескопа Цейсс-600 и ПЗС камеры G4-9000 Moravia. В качестве звезды сравнения была использована HD 35169 ($V = 8.27^m$, Sp К2). Эта звезда была выбрана вследствие малого расстояния до переменной (11') и близости к исследуемой звезде по яркости. Соблюдение этих условий при наблюдении с ПЗС оказывается более важным, чем близость звезд по пока-

зателю цвета, который в данном случае равен $\Delta(B-V)=1.5$. Проведенные ранее эксперименты показали, что при разности показателей цвета $\Delta(B-V)\approx 1.5$ поправки в разности блеска двух звезд для полосы V для равнинной обсерватории не превышают 0.002^m при изменении воздушной массы на 1.5. При этом для полосы В они составляют в среднем 0.06^{m} , но в этой полосе наблюдения не проводились. Так как звезда околополярная, ее воздушная масса за время самых длительных циклов непрерывных наблюдений изменялась медленно и не более чем на 0.39. Таким образом, максимальный дрейф за счет изменения воздушной массы в ходе моих наблюдений не превышал 0.0006^m , что в восемь раз меньше точности наблюдений. Поэтому выбор звезды сравнения оправдан.

Экспозиции вследствие яркости звезд составляли 8-10 с. Для уменьшения влияния атмосферных мерцаний при столь коротких экспозициях было проведено усреднение всего массива данных. Усреднение проводилось так, чтобы точность среднего была не хуже $\pm 0.005^m$. Для выполнения данного условия обычно усреднялось 3-5 десятисекундных экспозиций. В некоторых случаях, при прохождении облаков через область, количество усредненных кадров могло доходить до 10 и даже 20, но таких точек немного. Всего получено 1908 точек, каждая из которых считается

Таблица 4. Журнал наблюдений

Год	JD 2459 000+	N	Телескоп, аппаратура		
2021	558	515	1		
2021	560	274	1		
2022	596	495	1		
2022	673	301	1		
2022	690	52	1		
2022	716	281	2		

Примечание. N — количество измерений. В 4-м столбце указано под № I — Celestron RASA II" (Звенигородская обсерватория ИНАСАН, ZWO ASI 6200 MM Pro); под № 2 — Цейсс-600 (Словакия, Moravia G4-9000).

отдельным измерением, имеющим одинаковую точность. Результаты решения приведены в табл. 3 в шестом столбие.

Журнал наблюдений приведен в табл. 4. Все наблюдения получены в полосе V, они доступны в базе данных ${\rm CDS}^1$. Образец этой таблицы представлен в табл. 5. В первом столбце табл. 5 приведена Юлианская гелиоцентрическая дата наблюдения, отнесенная к середине экспозиции, во второй — звездная величина объекта. Небольшие ночные поправки, полученные при окончательном решении кривых блеска, учтены. Поэтому искать по этим данным периоды физической переменности не получится.

Средневзвешенные значения не меняющихся со временем параметров представлены в табл. 3 в седьмом столбце. Все индивидуальные решения считались имеющими одинаковый вес. График изменений блеска вблизи минимумов по моим наблюдениям представлен на рис. 3. Под графиком показаны остаточные уклонения от окончательной модели для всех кривых блеска участвовавших в решении.

3. СПЕКТРАЛЬНЫЕ НАБЛЮДЕНИЯ

3.1. Наблюдения Хилдитча

Фотографические спектры высокого разрешения были получены Хилдитчем в ноябре 1971—марте 1972 г. на телескопах обсерватории От Прованс и Доминионской астрофизической обсерватории. Использовались соответственно рефлекторы 152 и 180 см [18]. Данные были решены мною повторно и получены близкие к опубликованным значения параметров. Результаты решения содержатся во втором столбце табл. 6. В третьем столбце этой таблицы приведены для сравнения данные решения из работы [18]. Из

Таблица 5. Таблица индивидуальных наблюдений

${ m JD}_{hel}$	Зв. величина
2459558.38518	8.5857
2459558.38630	8.5815
2459558.38680	8.5841
2459558.38728	8.5837
2459558.38773	8.5861

сравнения второго и третьего столбцов таблицы видно, что принципиальных отличий двух решений нет. Разве что эксцентриситет в нашем решении имеет меньшее значение. Одновременно видно, что значения эксцентриситета и долготы периастра очень близки к тем, что получаются из фотометрии Хилдитча. Это служит основанием считать, что эксцентриситет и долгота периастра для эпохи наблюдений Хилдитча определены верно.

3.2. Наблюдения Павловского и др.

Авторами был получен 31 спектр высокого оптического и временного разрешения с помощью Северного оптического телескопа (2.6 м) обсерватории Ла Пальма, Канарские острова. Экспозиции составляли 10 мин, что позволило избежать искажения кривой лучевых скоростей орбитальным движением. Экспозиции при спектральных фотографических наблюдениях Хилдитча были длиннее, что, по мнению авторов, исказило профили линий орбитальным движением. Оригинальные данные о лучевых скоростях [17] опубликованы не были, в статье приведены достаточно точные значения параметров системы, которые представлены в последнем столбце табл. 6. Ошибки лучевой скорости авторами не приведены, но они, вероятно, должны быть порядка 1 км/с. Основываясь на измерениях ширин линий, авторы делают вывод о наклонном вращении компонентов AS Cam. Это довольно тенденциозно, так как наблюдений в минимумах они не представили и судить о наклоне осей вращения по изменению профилей спектральных линий нельзя. В качестве решающего аргумента в пользу гипотезы Шакуры авторы указывают на то, что осевые скорости вращения получаются из их наблюдений значительно ниже тех, что должны были бы быть при условии синхронизма. Это может указывать на то, что оси врашения компонентов перпендикулярны картинной плоскости и направлены на наблюдателя. В то же самое время данные Хилдитча [18] и Малони и др. [19] говорят о выполнении условий синхронизма. Объяснений расхождения данных разных авторов пока нет, возможна как прецессия звезд (тогда гипотеза Шакуры отчасти работает), так и невыявлен-

¹ через анонимный ftp cdsarc.u-strasbg.fr (130.79.128.5) или по ссылке https://cdsarc.unistra.fr/viz-bin/cat/J/AZh/100"

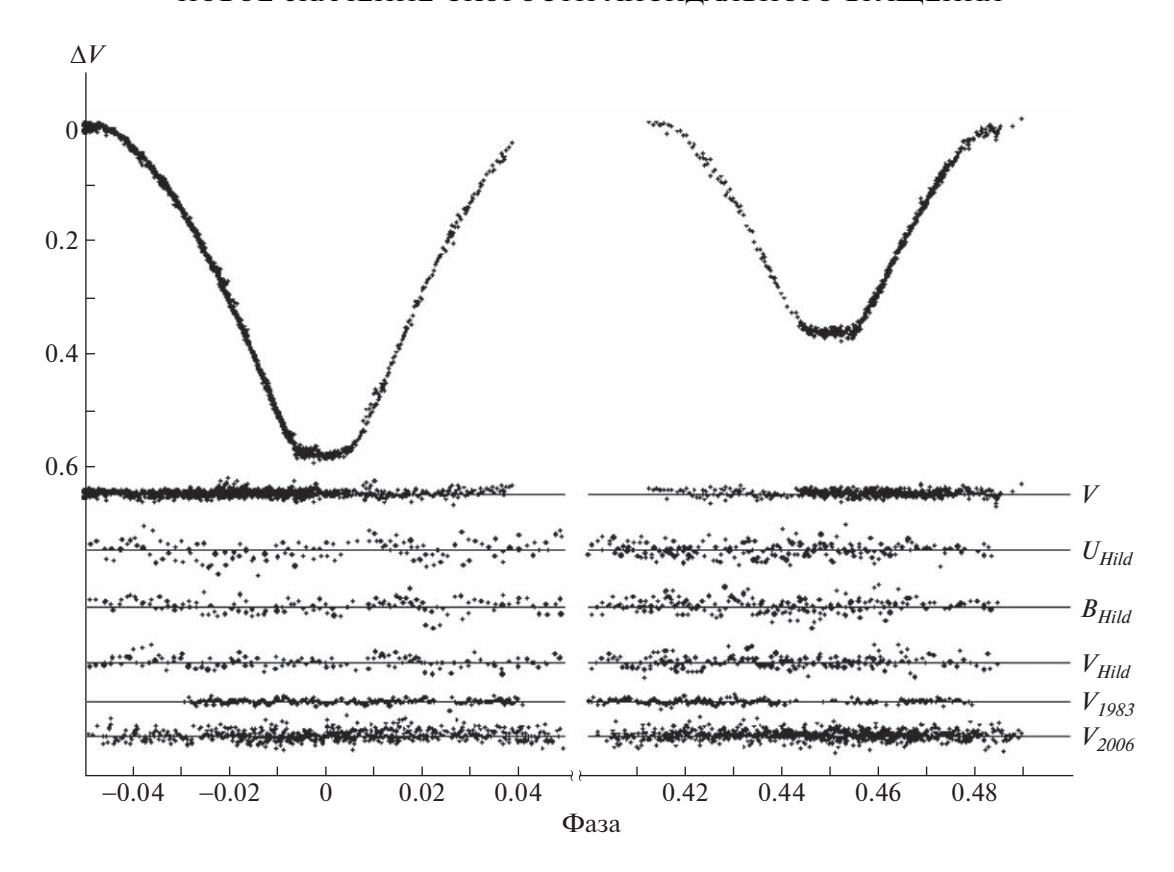


Рис. 3. Полученные в данной работе наблюдения в минимумах в полосе V (верхняя панель). Ниже представлены уклонения O-C наблюдаемых точек от модельных кривых для всех авторов, где V — наши наблюдения, UBV_{Hild} — наблюдения Хилдитча в соответствующей фотометрической полосе [23], V_{1983} — наблюдения Халиуллина и Козыревой [1], V_{2006} — наблюдения Козыревой и Захарова [25].

ные ошибки обработки. Необходимы дополнительные спектральные наблюдения.

Обращает на себя внимание значительное отличие амплитуды лучевых скоростей главного компонента в решениях Хилдитча и Павловского

и др., что приводит к довольно сильному расхождению оценок масс компонентов. Причины могут быть инструментального характера, например, в фотографических наблюдениях нередко присутствуют систематические ошибки.

Таблица 6. Орбитальные и физические параметры, полученные из лучевых скоростей AS Cam

Параметр	ДР для [18]	[18]	[17]
T_0 , HJD	2441001.6707(5)	2440205.688(33)	2454399.752(6)
P, d	3.431075(8)	3.4309714	3.430973
e	0.1323(2)	0.135(7)	0.164(4)
ω, °	225.4(5)	225.5(35)	241.5(19)
K_a , KM/C	110.2(2)	110.4(11)	106.2(8)
K_b , KM/C	145.3(2)	145.8(13)	146.9(5)
M_a,M_\odot	3.29(3)	3.3(1)	3.21(3)
M_b,M_\odot	2.49(3)	2.5(1)	2.32(3)
γ , km/c	-7.30(3)	-7.1(70)	
σ , km/c	4.03	4.2	

Примечание. Во втором столбце приведены решения, полученные автором по данным Хилдитча [18], обозначено ДР; в третьем — результаты из оригинальной работы [18]; в четвертом — результаты из работы Павловского и др. [17].

4. АБСОЛЮТНЫЕ ПАРАМЕТРЫ СИСТЕМЫ, СРАВНЕНИЕ РЕЗУЛЬТАТОВ НАБЛЮДЕНИЙ С ТЕОРИЕЙ

Средние размеры звезд, приведенные в табл. 3, расстояние до системы из обзора GAIA DR3 $(\pi = 0.00194 \pm 0.00005)$, а также массы из четвертого столбца табл. 6 позволили вычислить температуры звезд. Совокупность всех физических параметров приведена в табл. 7. Сравнение полученных температур с данными Павловского и др., полученных из спектральных наблюдений, говорит о хорошем совпадении. Но температура главного компонента оказалась примерно на 800 К выше, чем это следует из его показателя (B-V) и таблиц Флауэра. При этом температура вторичного компонента совпадает с калибровкой Флауэра идеально. Для соответствия найденному значению температуры главного компонента необходимо, чтобы его показатель цвета (B - V) был бы на 0.02^m меньше. Возможно, что для горячих звезд калибровка Флауэра имеет небольшую ошибку, но не исключено, что будучи переменной звездой SBC класса, главный компонент отличается от обычных звезд по показателю (B-V).

Данные табл. 7 получены из непосредственных измерений без каких бы то ни было предположений о температурах и массах звезд. Сравнение с эволюционными моделями [44] показывает, что параметры обоих компонентов соответствуют звездам с содержанием металлов Z = 0.0095 и возрастом 141-177 млн. лет. На рис. 4 (зависимость $\lg g - \lg T$) и рис. 5 ($\lg L - \lg T$, диаграмма Герцшпрунга-Рассела) нанесена соответствуюшая изохрона, полученная интерполяцией таблиц на данный химический состав и возраст главного компонента 141 млн. лет. Для вторичного компонента более подходит возраст 177 млн. лет. Можно сказать, что вторичный компонент имеет для возраста 141 млн. лет небольшую избыточную светимость и немного большие размеры. Причины расхождения пока не ясны, и, учитывая высокую точность полученных параметров звезд, скорее всего, реальны.

Определяемая из моделей металличность лежит на границе интервала значений, полученного Павловским и др. из спектров высокого разрешения: Z=0.01–0.02.

5. ВРАЩЕНИЕ ЛИНИИ АПСИД

Для вычисления скорости апсидального вращения обычно используют соотношение, приведенное в книге Мартынова [45], основными аргументами которого являются эксцентриситет и долгота периастра. В более удобном виде эта фор-

Таблица 7. Абсолютные параметры AS Cam

	Tuoiniga 7. 7100031101111100 Hapamerphi 710 Calif				
Параметр	Главный компонент	Вторичный компонент			
$Macca, M_{\odot}$	3.214 ± 0.03	2.324 ± 0.03			
Радиус, R_{\odot}	2.455 ± 0.013	1.841 ± 0.006			
Светимость, $\lg L_{\odot}$	2.148 ± 0.025	1.597 ± 0.03			
Эффективная	12980 ± 150	10850 ± 100			
температура, $T_{\rm eff}$, K					
Спектральный класс	B7.5 V	B9.0 V			
Гравитационное	4.164 ± 0.005	4.274 ± 0.004			
ускорение, $\lg g$, $cм/c^2$					
Болометрическая	-0.826	-0.396			
поправка, В.С., ^{<i>m</i>}					
Абс. визуальные	0.19 ± 0.03	1.13 ± 0.03			
величины, M_v , m					
Содержание тяжелых	0.0095 + 0.01/-0.005				
элементов, Z					
Большая полуось, a, R_{\odot}	16.92 ± 0.06				
Расстояние до	515 ± 14				
системы, пк					
Фотометрический	0.00194	± 0.00005			
параллакс, π , "					
Возраст системы,	140	± 20			
млн. лет					

мула представлена в работе Халиуллина и Халиуллиной [46]:

$$\dot{\omega} = \frac{\Delta P}{P^2 2e[f(e)\sin 3\omega - \sin \omega]},\tag{2}$$

где

$$f(e) = \frac{e^2 \left(1 + 3\sqrt{1 - e^2}\right)}{\left(1 + \sqrt{1 - e^2}\right)^3}, \quad \Delta P = P_2 - P_1.$$

В ней используется разность периодов следования отдельно главных и отдельно вторичных минимумов, значения которых определяются по ходу остаточных уклонений моментов минимумов от линейной формулы. Все доступные моменты минимумов собраны в табл. 8, 9. Моменты минимумов, для которых доступны оригинальные наблюдения, были заново определены с использованием модели двойной затменной звезды, найденной в данном исследовании. Они помечены в таблицах звездочкой. Такой подход снизил разброс уклонений O - C. Ряд опубликованных моментов оказался ошибочным. Некоторые моменты минимумов были отброшены на основании того, что их ошибки, приводимые в литературе, слишком велики (более $\pm 0.005^d$), а несколько моментов с заявленной точностью

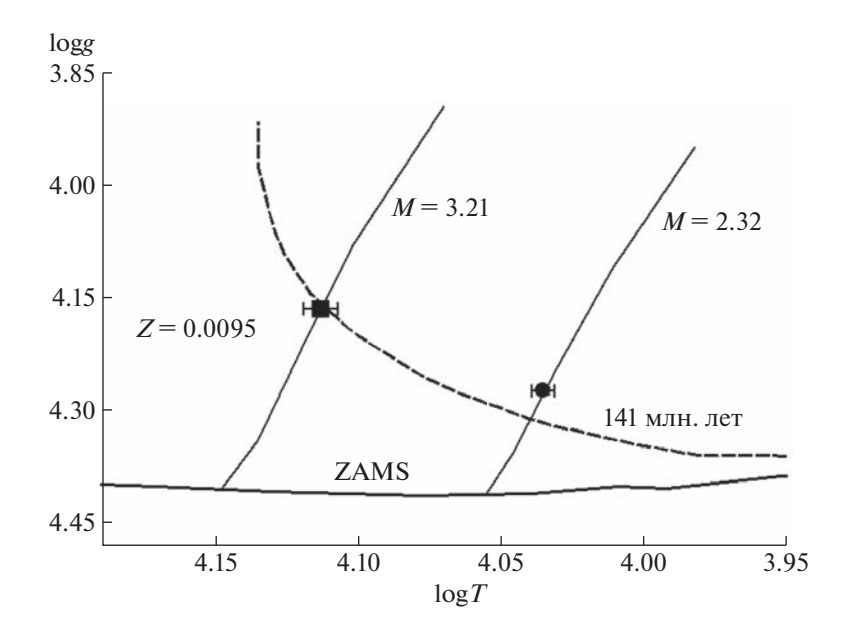


Рис. 4. Эволюционные треки, показывающие зависимость ускорения свободного падения от температуры звезды, построенные по данным [44] для избранных масс звезд. Сплошной жирной линией показано положение Начальной Главной Последовательности ZAMS. Главный компонент обозначен черным квадратом, вторичный — кружком. Показаны ошибки определения параметров. Сплошная кривая линия — изохрона для возраста 141 млн. лет.

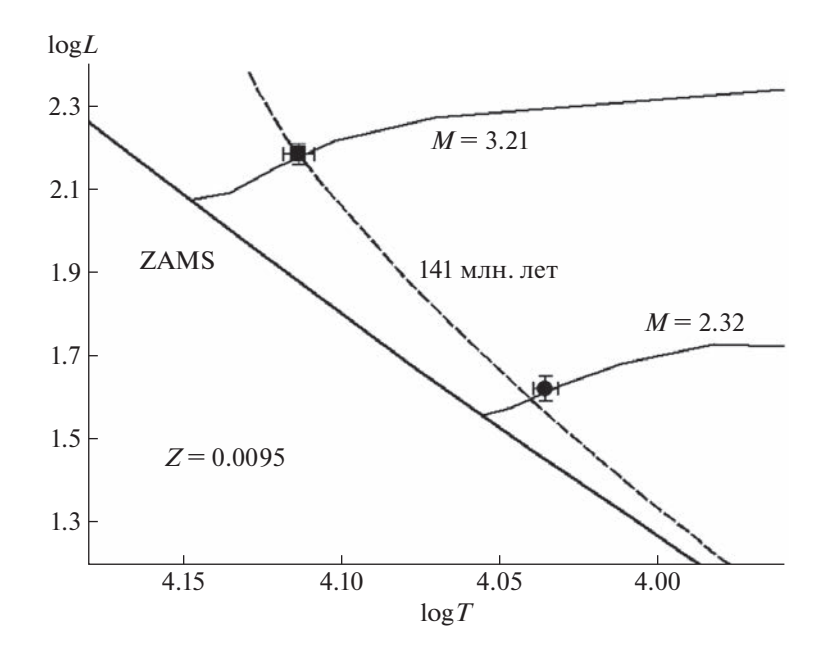


Рис. 5. Зависимость светимости звезд в солнечных единицах от температуры для избранных масс [44]. Обозначения те же, что и на рис. 4.

лучше $\pm 0.001^d$ показали гораздо бо́льшее уклонение, хотя близкие по времени моменты минимумов других авторов уклонений не показывают. Исходя из сказанного было решено опубликовать таблицы всех вошедших в данное решение моментов минимумов. Всего было использовано

83 индивидуальных момента минимумов, 38 из которых были либо получены, либо перевычислены в данном исследовании. Все полученные за более чем 50 лет наблюдений моменты минимумов хорошо представляются линейными формулами, что при обычном рассмотрении говорит о

возможности нахождения с высокой точностью периодов P_1 и P_2 (см. рис. 6). Линейная регрессия табл. 8, 9 приводит к следующим формулам:

HJD Min I =
$$2459558.5803(8) +$$

+ $3.4309634(2)^{d} E$. (3)

HJD Min II =
$$2459560.1243(7) +$$

+ $3.4309711(2)^{d} E$. (4)

Видимо поэтому динамике изменений отдельно эксцентриситета и отдельно долготы периастра должного внимания не уделялось. Предполагалось, что изменения экспентриситета кажушиеся. обусловлены ошибками определения. Скорость увеличения долготы периастра определялась при фиксированном эксцентриситете по формуле (2). Поэтому все работы по определению скорости апсидального вращения сводились, по сути, к уточнению значения экспентриситета. Чтобы достичь совпадения теории и наблюдения в работах Бозкурт и Дежирменчи [22], а также Кшесиньского и др. [47], эксцентриситет был уменьшен до e = 0.10. Учитывая надежно определенное значение экспентриситета в работе 1983 г. Халиуллина и Козыревой [1], следует признать, что меньшее значение эксцентриситета было принято исключительно с целью примирить теорию с наблюдениями. По мере добавления новых измерений моментов минимумов периоды P_1 , P_2 практически не менялись и все опубликованные работы подтверждали полученное Халиуллиным и Козыревой заниженное значение скорости апсидального вращения.

В современную эпоху значения эксцентриситета у разных исследователей получаются равными 0.16—0.18, что лишь немного превышает обычный разброс определения эксцентриситета из высокоточных фотометрических наблюдений. Вполне можно было бы предположить несовпадение значений разных авторов ошибками измерений. В пределах такой же ошибки в 4% отличаются и выводимые разными авторами значения скорости вращения линии апсид.

В данной работе было предположено, что небольшие реальные изменения эксцентриситета могут привести к значительному просчету в вычислении скорости апсидального вращения. Все измерения эксцентриситета и долготы периастра собраны для наглядности в табл. 10 и построен соответствующий график (см. рис. 7).

Сначала, наряду с монотонным изменением долготы периастра, была использована гипотеза о постоянной скорости изменения эксцентриситета. В соответствии с линейной регрессией данных из табл. 10 она была определена в +0.03 за 50 лет. При меняющемся эксцентриситете формулу (2) применять нельзя. Следует пользоваться исход-

Таблица 8. Индивидуальные моменты главных минимумов, использованные в работе

MyMOB, MCHOJIBSOI	ванные в рас		
HJD	ϵ_1 , d	ϵ_2 , d	Ссылка
2440204.51391	0.00010	0.00086	[23]*
2440269.70010	-0.00209	-0.00067	[23]*
2440626.52230	-0.00045	-0.00000	[48]
2440959.32643	-0.00009	-0.00007	[26]*
2441007.36000	-0.00005	0.00067	[48]
2441 580.33340	0.00201	-0.00090	[40]
2444939.24564	0.00044	-0.00047	[1]*
2446397.40850	0.00396	0.00159	[47]
2447 138.49560	0.00307	0.00235	[47]
2447443.84804	-0.00019	0.00040	[33]*
2447982.51180	0.00212	0.00049	[47]
2448191.80069	0.00217	0.00184	[49]
2448308.45010	-0.00122	0.00004	[50]
2448538.32323	-0.00271	-0.00092	[20]*
2448881.42389	0.00151	-0.00167	[20]*
2448998.07400	-0.00117	-0.00149	[20]
2449238.24048	-0.00220	-0.00027	[20]*
2449341.17014	-0.00147	0.00033	[20]*
2449557.32364	0.00128	0.00053	[20]*
2449622.51240	0.00172	-0.00071	[20]
2449749.45810	0.00174	0.00026	[51]
2449773.47322	0.00011	-0.00082	[20]*
2449852.38650	0.00121	0.00168	[52]
2449900.41770	-0.00108	-0.00002	[52]
2450418.49750	0.00313	0.00099	[20]
2450425.35691	0.00061	-0.00173	[20]*
2450562.59700	0.00214	0.00084	[53]
2450833.64000	-0.00102	0.00087	[53]
2452542.25841	-0.00258	-0.00070	[25]*
2453252.46730	-0.00314	-0.00124	[25]
2453266.19250	-0.00179	0.00014	[25]
2453410.29400	-0.00075	0.00084	[54]
2453760.25497	0.00195	0.00000	[55]
2454391.54986	-0.00040	-0.00114	[56]
2457757.32840	0.00365	0.00080	[24]
2458824.35300	-0.00101	0.00057	[34]*
2459558.57861	-0.00128	-0.00034	ДР
2459596.31717	-0.00330	-0.00198	ДР
2459716.40118	-0.00296	-0.00103	ДР

Примечание. Обозначено: ДР — данная работа; * — моменты минимумов, заново определенные из оригинальных наблюдений с использованием модели двойной затменной звезды, найленной в ланном исслеловании.

Таблица 9. Индивидуальные моменты вторичных минимумов, использованные в работе

нимумов, использованные в расоте						
HJD	$\epsilon_{\mathrm{l}},^{d}$	ϵ_2 , d	Ссылка			
2439890.36633	-0.00082	-0.00162	[23]*			
2440147.68926	-0.00059	-0.00067	[23]*			
2440185.43170	0.00118	0.00169	[23]*			
2440545.68050	-0.00183	-0.00046	[23]*			
2440590.28390	-0.00104	-0.00012	[23]*			
2441988.27557	-0.00189	-0.00142	[26]*			
2441 547.52780	0.00216	0.00022	[40]			
2444578.40650	0.00213	-0.00072	[40]			
2447937.32623	0.00012	-0.00084	[1]*			
2447002.51400	-0.00056	-0.00031	[57]			
2447465.95088	-0.00095	-0.00008	[33]*			
2447524.27580	-0.00252	-0.00108	[51]			
2447898.25280	-0.00124	-0.00109	[47]			
2448193.31730	-0.00016	-0.00046	[50]			
2448306.53920	-0.00028	0.00096	[50]			
2448481.51810	-0.00085	0.00110	[52]			
2448536.41409	-0.00038	0.00142	[20]*			
2448601.60190	-0.00100	0.00039	[49]			
2448639.34195	-0.00162	-0.00059	[51]			
2448869.22185	0.00328	-0.00014	[20]*			
2448982.44110	0.00051	-0.00011	[20]			
2449003.02680	0.00039	0.00016	[20]			
2449236.33162	-0.00076	0.00116	[20]*			
2449243.19312	-0.00120	0.00074	[25]*			
2449332.39750	-0.00205	-0.00021	[20]			
2449339.26000	-0.00149	0.00032	[20]*			
2449610.31099	0.00285	0.00078	[20]*			
2449634.32720	0.00227	-0.00052	[20]			
2449771.56360	-0.00014	-0.00111	[52]			
2449778.42637	0.00069	-0.00013	[20]*			
2450056.33201	-0.00226	-0.00031	[20]*			
2450063.19370	-0.00252	-0.00057	[20]			
2450423.45052	0.00242	0.00013	[20]*			
2450519.51780	0.00252	0.00008	[58]			
2452365.37530	-0.00214	-0.00065	[59]			
2452547.21702	-0.00186	0.00001	[25]*			
2452564.37100	-0.00274	-0.00094	[22]			
2453679.44360	0.00434	0.00110	[55]			
2453830.40500	0.00302	0.00266	[60]			
2457762.29730	0.00227	-0.00044	[24]			
2457769.16020	0.00323	0.00072	[24]			
2458825.89474	-0.00150	0.00009	[34]*			
2459560.12284	-0.00136	-0.00041	ДР			
2459673.34424	-0.00203	-0.00022	ДР			
	II.D.		<u> </u>			

Примечание. Обозначено: ДР — данная работа; * — моменты минимумов, заново определенные из оригинальных наблюдений с использованием модели двойной затменной звезды, найденной в данном исследовании.

ными формулами для предвычисления моментов минимумов при эллиптических орбитах:

$$T_{\min} = M_0 + PE \mp 2 \frac{P}{2\pi} e \cos \omega + \frac{P}{2\pi} \left(\frac{1 + 2\sqrt{1 - e^2}}{1 + \sqrt{1 - e^2}} \right)^2 \sin 2\omega \pm \frac{2}{3} \frac{P}{2\pi} e^3 \frac{1 + 3\sqrt{1 - e^2}}{\left(1 + \sqrt{1 - e^2} \right)^3} \cos 3\omega.$$
 (5)

В результате было получено несколько большее значение скорости апсидального вращения $\dot{\omega}_{\rm obs} = 0.27^{\circ}/{\rm год}$. При этом ситуация с разбросом остаточных уклонений O-C не улучшилась. Если брать скорость изменения эксцентриситета постоянной, то аппроксимирующая линия в пределах интервала времени наблюдений по-прежнему остается прямой линией. Прогрессивное увеличение эксцентриситета уменьшает ее наклон при постоянной скорости увеличения долготы периастра. Остаточные уклонения по-прежнему показывали систематические уклонения. Поэтому вместо каких-либо гипотез о законах изменения экспентриситета и долготы периастра были взяты эмпирические значения эксцентриситета и долготы периастра для каждой эпохи наблюдений (табл. 10) и построен соответствующий график (см. рис. 7).

Из этого графика видно, что в эпоху, лежащую между наблюдениями Хилдитча (1969 г.) и Халиуллина и Козыревой (1983 г.), эксцентриситет и долгота периастра менялись быстрее, чем в последующую эпоху, т.е. скорость изменения указанных параметров меняется. Этот факт подтверждается и графиком O-C для моментов минимумов. При включении в расчет O-C текущих значений е и ю, получаемых интерполяцией табл. 10, разброс уменьшается. Таким образом, в каждый момент времени мгновенная скорость апсидального вращения разная. За весь период фотоэлектрических наблюдений среднюю скорость апсидального вращения можно вычислить линейной регрессией табл. 10. Получено среднее значение $\dot{\omega}_{obs} = 0.38 \pm 0.02^{\circ}$ /год. Это значение на 14% меньше теоретического значения, вычисленного для параметров звезд-компонентов, полученных в данном исследовании, и для условия синхронизма в периастре: $\dot{\omega}_{theor} = 0.44 \pm$ $\pm 0.03^{\circ}$ /год. Расхождение, как видим, уже не такое критическое. К тому же это значение является средним для последних 54 лет наблюдений. Значение скорости апсидального вращения для другого интервала времени может оказаться ближе к теоретическому. Например, в интервале между наблюдениями Хилдитча (1970 г.) и

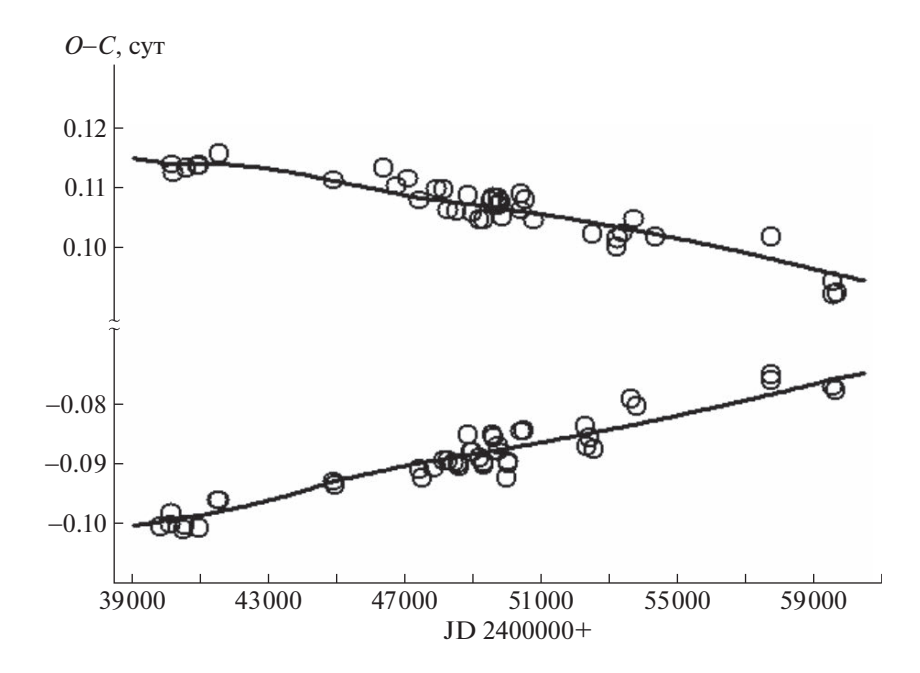


Рис. 6. Остаточные уклонения моментов минимумов AS Cam от линейной формулы при $P_1 = P_2 = P_s$, где P_s — сидерический период. Главные минимумы лежат выше, вторичные — ниже. Ошибки определения моментов меньше размеров кружков. Сплошные линии соответствуют эмпирическому закону изменений эксцентриситета и долготы периастра и визуально близки к прямым линиям. Световое уравнение на данном графике немного увеличивает разброс наблюдательных точек.

Халиуллина и Козыревой (1983 г.) скорость апсидального вращения была выше теоретической: $\dot{\omega}_{obs} = 0.56 \pm 0.05^{\circ}/\text{год}$.

6. ПАРАМЕТРЫ ОРБИТЫ ТРЕТЬЕГО ТЕЛА

Остаточные уклонения O-C после вычета апсидального вращения приведены в столбце ϵ_1 табл. 8,9 и на рис. 8. Воспользовавшись программой поиска периодов [61], в этих уклонениях был найден период, близкий к 805 сут, который, вероятно, связан с присутствием в системе третьего тела. После этого была применена программа поиска параметров орбиты спутника, как это было сделано при поиске невидимого спутника в работе [62]. В результате были получены параметры

орбиты третьего тела и оценка его массы. Данные приведены в табл. 11. Остаточные уклонения после вычета светового уравнения в моментах минимумов приведены в столбце ϵ_2 табл. 8, 9. Вероятно, наблюдаемые изменения эксцентриситета и угла наклона орбиты системы являются следствием влияния третьего тела. Причем в данном случае совсем не обязательно, чтобы орбиты третьего тела и двойной затменной системы были взаимно перпендикулярны. Замедления апсидального вращения нет. Реально наблюдаемое движение близко теоретическому. Вследствие того, что угол наклона двойной тоже меняется, орбита третьего тела скорее всего не лежит в одной плоскости с орбитой затменной системы. В спектральных наблюдениях линии спутника пока не обнаружены. Небольшое количество третьего

Таблица 10. Долгота периастра и эксцентриситета AS Cam, полученные в разные эпохи

JD	ω, °	e	Ссылка	
2440204	224.8(4)	0.1379(9)	[23], фотометрия	
2441000	225.4(5)	0.1323(10)	[18], спектры	
2444939	232.1(1)	0.1512(11)	[1], фотометрия	
2449341	234.0(4)	0.1501(13)	[25], фотометрия	
2454400	241.5(19)	0.164(4)	[17], спектры	
2458824	242.3(4)	0.1697(12)	TESS [34], фотометрия	
2459600	243.7(1)	0.1739(6)	ДР, фотометрия	

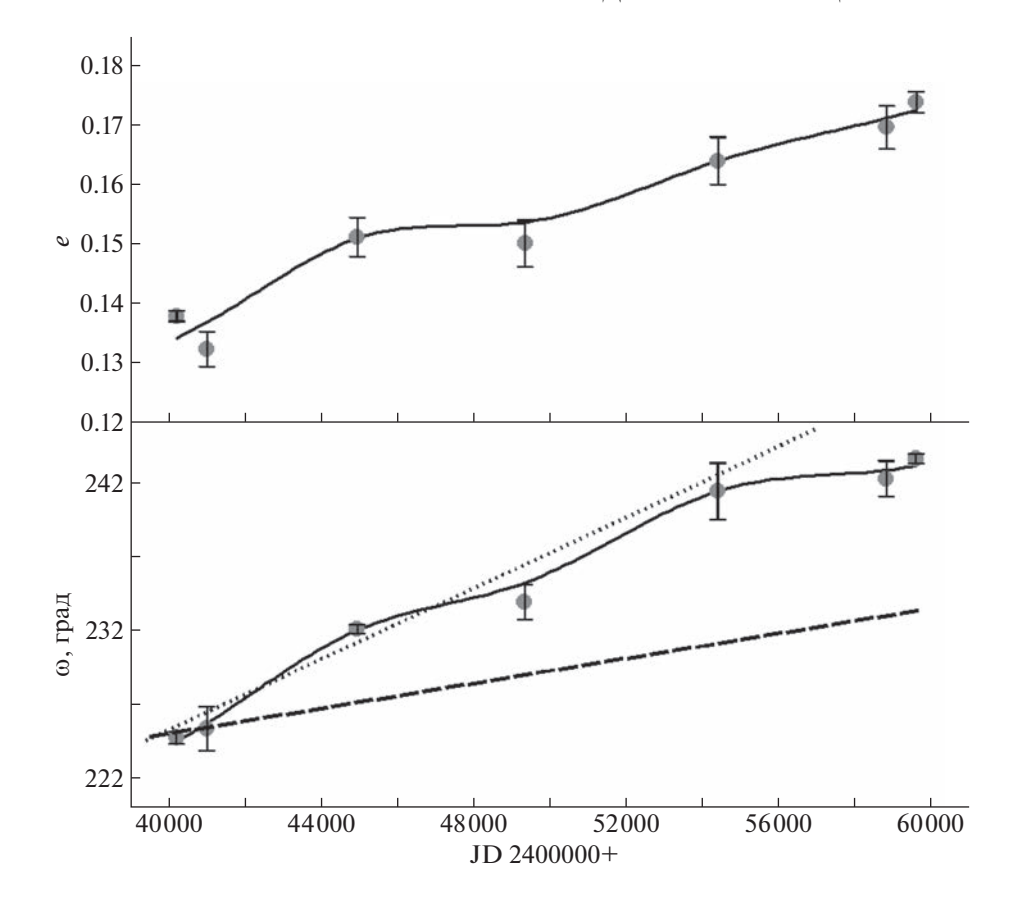


Рис. 7. Изменения эксцентриситета и долготы периастра со временем. Короткий пунктир — теоретическое значение скорости апсидального движения. Пунктир — старое значение.

света, обнаруженное в настоящей работе, возможно, действительно принадлежит невидимому спутнику. Исходя из светимостей компонентов двойной из табл. 7, доля третьего тела сол-

Таблица 11. Параметры апсидального движения и орбиты третьего тела AS Cam

Параметр	Величина		
T_0 , HJD	2459716.4227(9)		
P_s , сут	3.4309669(1)		
e	0.1739(6)		
ю́, °∕год	0.38(2)		
ω_0 , $^{\circ}$	243.5(1)		
U, годы	950±50		
P_3 , сут	805.8(2)		
ω_3 , $^{\circ}$	88.0(3)		
e_3	0.70(1)		
T_3 , HJD	2459 336.0(5)		
$a_{12} \sin i_3$, a.e.	0.471(6)		
$M_3 \sin i_3$, M_{\odot}	0.968(6)		
σ , сут	0.00093		

нечной массы должна была бы быть $L_{3V} = 0.01$. Среднее значение из полученных решений равно $L_{3V} = 0.009$, что на первый взгляд говорит о коллинеарности орбит. Но если принять возраст третьего тела равным возрасту двойной системы (140 млн. лет), то светимость тела солнечной массы будет меньше, и тогда масса третьего тела вполне может быть больше солнечной, и его орбита будет наклонена к орбите двойной. Противоречий в полученной динамической модели системы нет и для объяснения надежно измеренного в данной работе светового уравнения не нужно привлекать гипотезы с релятивистским объектом или выстраивать сложные четверные конструкции. Достаточно присутствия в системе обычной молодой звезды относительно небольшой массы.

7. ЗАКЛЮЧЕНИЕ

Анализ фотоэлектрических и спектральных наблюдений AS Сат показал, что в системе наблюдается увеличение эксцентриситета и долготы периастра и, возможно, угла наклона орбиты к лучу зрения. Ответственность за изменения параметров несет третье тело с массой, несколько пре-

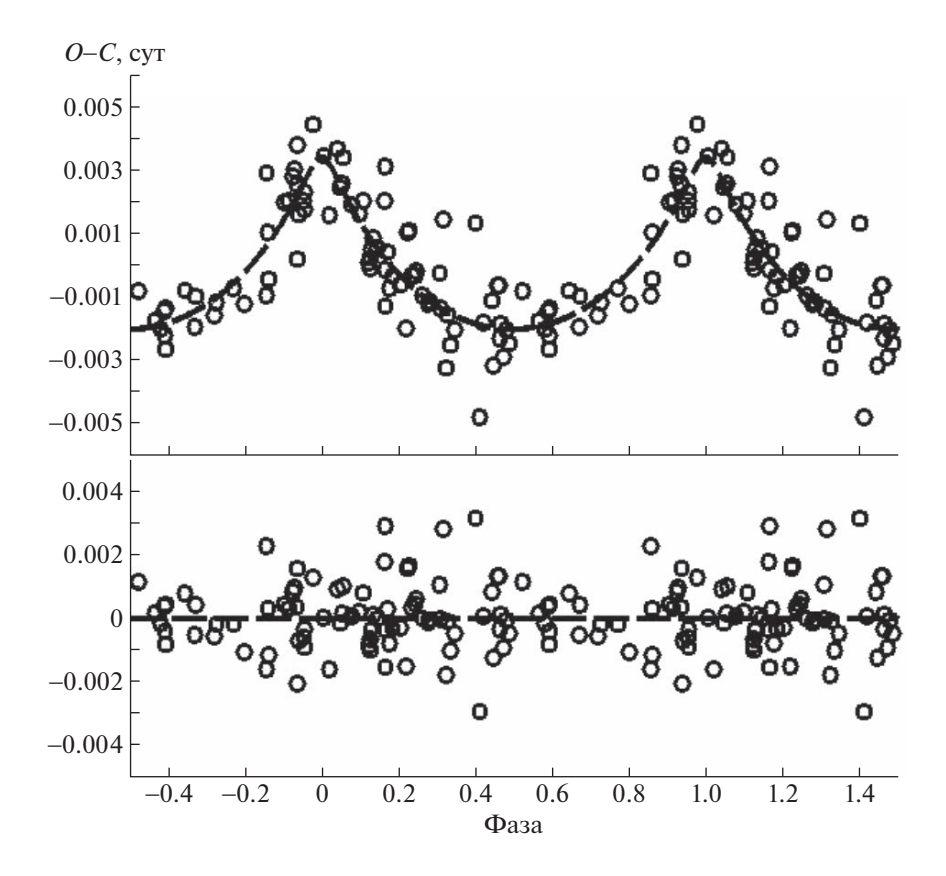


Рис. 8. Фазовая кривая остаточных уклонений моментов минимумов после вычитания апсидального вращения (верхняя панель). Черная штриховая линия соответствует полученным в данном исследовании параметрам орбиты третьего тела. Остаточные уклонения после вычитания светового эффекта представлены на нижней панели, разброс соответствует Гауссовому распределению ошибок с $\sigma = 0.00093$ сут. Отметим, что при линейной аппроксимации моментов минимумов среднее уклонение было в два раза больше: $\sigma_{\text{лин}} = 0.0020$ сут.

вышающей солнечную. Определены надежные геометрические и физические параметры затменной звезды, найдены параметры орбиты третьего тела. Показано, что противоречий между теоретической и наблюдаемой скоростями апсидального вращения не наблюдается. Непосредственные измерения долготы периастра показали, что долгота периастра увеличивается неравномерным образом и в среднем за 54 года наблюдений примерно соответствует теоретическому значению в условиях синхронизма. Главный компонент системы оказался переменной звездой типа SBC, пульсирующей в двух обертонах, один из которых может временами исчезать. Для мониторинга изменений параметров орбиты с целью построения точной математической модели требуются дальнейшие систематические наблюдения системы.

БЛАГОДАРНОСТИ

Наблюдения выполнены в основном на 27-см автоматическом телескопе обсерватории ИНАСАН. В работе использовались база данных SIMBAD Страсбург-

ского центра астрономических данных (Франция) и служба библиографических ссылок ADS (NASA, США). Приношу свою искреннюю благодарность анонимному рецензенту, чьи замечания позволили значительно улучшить качество статьи.

ФИНАНСИРОВАНИЕ

Работа была выполнена при поддержке стипендии Словацкого академического информационного агентства SAIA (www.saia.sk).

СПИСОК ЛИТЕРАТУРЫ

- 1. K. F. Khaliullin and V. S. Kozyreva, Astrophys. Space Sci. 94, 115 (1983).
- 2. J. W. Moffat, Phys. Rev. D 19, 3554 (1979).
- 3. J. W. Moffat, Astrophys. J. Letters 287, L77 (1984).
- 4. J. W. Moffat, Phys. Rev. D 39, 474 (1989).
- 5. D. I. Martynov and K. F. Khaliullin, Astrophys. Space Sci. 71, 147 (1980).
- 6. K. F. Khaliullin, S. A. Khodykin, and A. I. Zakharov, 375, 314 (1991).
- 7. S. A. Khodykin and V. G. Vedeneyev, 475, 798 (1997).

- S. A. Khodykin, A. I. Zakharov, and W. L. Andersen, 615, 506 (2004).
- 9. L. V. Mossakovskaya, Astron. Letters 19, 35 (1993).
- E. Guinan, M. Bonaro, S. Engle, and A. Prsa, J. AAVSO 40, 417 (2012).
- 11. I. M. Volkov, D. Chochol, J. Grygar, M. Jelinek, et al., Inform. Bull. Var. Stars № 6066, 1 (2013).
- I. M. Volkov, D. Chochol, J. Grygar, M. Mašek, and J. Juryšek, Contrib. Astron. Observ. Skalnate Pleso 47, 29 (2017).
- 13. N. I. Shakura, Soviet Astron. Letters 11, 224 (1985).
- 14. S. Albrecht, S. Reffert, I. A. G. Snellen, and J. N. Winn, Nature **461**, 373 (2009).
- 15. D. B. McLaughlin, Publ. Michigan Observ. 5, 91 (1934).
- 16. I. M. Volkov, Astrophys. Space Sci. 296, 105 (2005).
- 17. *K. Pavlovski, J. Southworth, and V. Kolbas*, Astrophys. J. Letters **734**, id. L29 (2011).
- 18. R. W. Hilditch, Publ. Astron. Soc. Pacific **84**, 519 (1972).
- F. P. Maloney, E. F. Guinan, and P. T. Boyd, Astron. J. 98, 1800 (1989).
- 20. V. S. Kozyreva, A. I. Zakharov, and K. F. Khaliullin, Inform. Bull. Var. Stars № 4690, 1 (1999).
- V. S. Kozyreva and K. F. Khaliullin, Astron. Rep. 43, 679 (1999).
- 22. *Z. Bozkurt and Ö. L. Değirmenci*, Monthly Not. Roy. Astron. Soc. **379**, 370 (2007).
- 23. R. W. Hilditch, Mem. Roy. Astron. Soc. 76, 1 (1972).
- 24. V. Kozyreva, A. Kusakin, and A. Bogomazov, Res. Astron. and Astrophys. **18**(1), id. 010 (2018).
- 25. V. S. Kozyreva and A. I. Zakharov, Astron. Letters 32, 313 (2006).
- T. D. Padalia and R. K. Srivastava, Astrophys. Space Sci. 38, 87 (1975).
- 27. C. H. Lacy, Astron. J. 104, 801 (1992).
- 28. P. J. Flower, 469, 355 (1996).
- 29. V. Straižys, Multicolor stellar photometry (Tucson: Pachart Pub. House, 1992).
- 30. *J. C. Mermilliod, M. Mermilliod, and B. Hauck*, Astron. and Astrophys. Suppl. Ser. **124**, 349 (1997).
- 31. G. M. Green, E. F. Schlafly, D. P. Finkbeiner, H.-W. Rix, et al., Astrophys. J. **810**, id. 25 (2015).
- 32. C. H. S. Lacy, Astron. J. 124, 1162 (2002).
- 33. *H. C. Lines, R. D. Lines, Z. Glownia, and E. F. Guinan*, Publ. Astron. Soc. Pacific **101**, 925 (1989).
- 34. K. G. Stassun, R. J. Oelkers, M. Paegert, G. Torres, et al., Astron. J. **158**(4), id. 138 (2019).
- 35. I. M. Volkov, N. S. Volkova, and D. Chochol, Astron. Rep. **54**, 418 (2010).
- I. M. Volkov, N. S. Volkova, I. V. Nikolenko, and D. Chochol, Astron. Rep. 55, 824 (2011).

- 37. *I. M. Volkov, D. Chochol, and A. S. Kravtsova*, Astron. Rep. **61**, 440 (2017).
- 38. *I. M. Volkov and A. S. Kravtsova*, Astron. Rep. **64**, 211 (2020).
- 39. M. A. Burlak, I. M. Volkov, and N. P. Ikonnikova, Contrib. Astron. Observ. Skalnate Pleso 48, 536 (2018).
- 40. O. Gulmen, C. Ibanoglu, S. Bozkurt, and N. Gudur, Inform. Bull. Var. Stars № 1090, 1 (1976).
- 41. *R. A. Wade and S. M. Rucinski*, Astron. and Astrophys. Suppl. Ser. **60**, 471 (1985).
- 42. L. A. Bagaev, I. M. Volkov, and I. V. Nikolenko, Astron. Rep. **62**, 664 (2018).
- 43. *P. De Cat*, in IAU Colloq. 185 *Radial and Nonradial Pulsations as Probes of Stellar Physics*, edited by C. Aerts, T. R. Bedding, and J. Christensen-Dalsgaard, Astron. Soc. Pacific Conf. Ser. **259**, 196 (2002).
- 44. *L. Girardi, A. Bressan, G. Bertelli, and C. Chiosi*, Astron. and Astrophys. Suppl. Ser. **141**, 371 (2000).
- 45. D. Y. Martynov, Eclipsing Variable Stars (New York: John Wiley and Sons, 1973).
- 46. K. F. Khaliullin and A. I. Khaliullina, Astron. Rep. 33, 41 (1989).
- 47. *J. Krzesinski, E. Kuczawska, and G. Pajdosz*, Inform. Bull. Var. Stars № 3495, 1 (1990).
- 48. *P. Battistini, A. Bonifazi, and A. Guarnieri*, Inform. Bull. Var. Stars № 951, 1 (1974).
- 49. *D. B. Caton and W. C. Burns*, Inform. Bull. Var. Stars № 3900, 1 (1993).
- 50. *W. Ogoza*, Inform. Bull. Var. Stars № 4263, 1 (1995).
- 51. *T. Hegedus, I. B. Biro, T. Borkovits, and Z. Paragi*, Inform. Bull. Var. Stars № 4340, 1 (1996).
- 52. M. Wolf, L. Sarounova, and R. Diethelm, Astron. and Astrophys. Suppl. Ser. 116, 463 (1996).
- 53. G. Samolyk, J. AAVSO 39, 177 (2011).
- 54. *R. Diethelm*, Inform. Bull. Var. Stars № 5653, 1 (2005).
- 55. *I. B. Biro, T. Borkovits, S. Csizmadia, T. Hegedus, et al.*, Inform. Bull. Var. Stars № 5684, 1 (2006).
- L. Brát, L. Šmelcer, H. Kuèáková, R. Ehrenberger, et al., Open European J. Var. Stars 0094(1), 1 (2008).
- E. Pohl, E. Hamzaoglu, N. Gudur, and C. Ibanoglu, Inform. Bull. Var. Stars № 2385, 1 (1983).
- 58. *I. B. Biro, T. Borkovits, T. Hegedus, and Z. Paragi*, Inform. Bull. Var. Stars № 4555, 1 (1998).
- T. Borkovits, I. B. Biro, T. Hegedus, S. Csizmadia, et al., Inform. Bull. Var. Stars № 5313, 1 (2002).
- 60. *I. B. Biro, T. Borkovits, T. Hegedus, Z. T. Kiss, et al.*, Inform. Bull. Var. Stars № 5753, 1 (2007).
- 61. I. M. Volkov, Peremennye Zvezdy 42, 1 (2022).
- 62. I. M. Volkov, A. S. Kravtsova, and D. Chochol, Astron. Rep. 65, 184 (2021).

ЗВЕЗДНАЯ СТРУКТУРА СЕВЕРНОЙ ЧАСТИ ОБЛАСТИ МЕЧА ОРИОНА

© 2023 г. С. В. Верещагин^{1,*}, Н. В. Чупина¹

¹ Институт астрономии РАН, Москва, Россия
*E-mail: svvs@ya.ru
Поступила в редакцию 12.08.2022 г.
После доработки 20.01.2023 г.
Принята к публикации 24.01.2023 г.

По данным каталогов Gaia DR3 проанализирована принадлежность звезд группы 189 ([1]), расположенных в северной части области Меча Ориона, к рассеянному звездному скоплению (P3C) NGC 1977. Для этого по собственным движениям (СД) и параллаксам проведена ревизия звездного состава северной части области Меча Ориона (вокруг центра P3C NGC 1977). При этом захвачена часть P3C NGC 1981, также расположенная в рассмотренной области. Представленный каталог (n = 1041) включает звезды-кандидаты как в состав NGC 1977, так в NGC 1981 с соответствующими вероятностями. Статус звезд группы 189 (Oricat 2836 и Oricat 2914) позволяет говорить об их вкладе в обнаруженное в этой области рентгеновское излучение. Рассмотрен вопрос о возможной гравитационной связанности пары NGC 1977—NGC 1981.

Ключевые слова: рассеянные звездные скопления, астрометрия, NGC 1977, NGC 1981, каталог Gaia DR3 **DOI:** 10.31857/S0004629923040047, **EDN:** QIMIWA

1. ВВЕДЕНИЕ

Весьма примечательно, что в пределах 1.5° вокруг Туманности Ориона есть несколько смежных и, вероятно, перекрывающихся в пространстве рассеянных звездных скоплений (РЗС) и групп молодых звезд (young stellar objects, YSO), выделяющихся по собственным движениям (СД). К последним относится хорошо известная группировка молодых звезд σ Orionis, (Caballero et al. 2019 [2]). Авторы [3] (Großschedl et al. 2021) проанализировали 6D фазовое пространство южного комплекса молекулярных облаков Ориона, используя данные Gaia и наблюдаемые YSO. Эти объекты все еще находятся близко к их родительскому облаку, имеют в среднем ту же радиальную скорость, что и газ. Расширение облаков в масштабе 100 пк [3] свидетельствует об их возникновении в начале формирования комплекса Ориона во время события большого взрыва в Орионе (Orion-BB).

Благодаря тесному соседству расположенных цепочкой РЗС NGC 1981, NGC 1977, NGC 1976, NGC 1980, не только некоторые звезды имеют спорную принадлежность к разным скоплениям, но и сами скопления сохраняют неоднозначность своих наименований (например, NGC 1977 и UBC 621). Исследование РЗС NGC 1981 и NGC 1977 проводилось (Tarricq, et al. 2021 [4], Castro-Ginard, et al. 2020 [5], Pang, et al. 2022 [6]). Ранее нами по пластинкам Таутенбургского астрографа

получен каталог Oricat [7], включающий собственные движения (СД) звезд в этой области.

В северной части области Меча Ориона расположена группа 189 ([1]). Именно в этой области обнаружено рентгеновское излучение (рис. 4 в Bouy, et al. 2014 [8]), что вызвало наш интерес к уточнению статуса группы 189. В данной работе рассмотрена задача определения статуса звезд группы 189 как возможного источника концентрации наблюдаемого рентгеновского излучения. Для этого по собственным движениям и параллаксам проведена ревизия звездного состава северной части области Меча Ориона. Поскольку группа 189 непосредственно примыкает к NGC 1977, то рассмотрена область неба вокруг центра P3C NGC 1977. При этом часть P3C NGC 1981 оказалась в рассмотренной области. Детально рассмотрены свойства звезд группы 189 (Oricat 2836 и Oricat 2914) и, как оказалось, эти звезды вносят вклад в обнаруженное в этой области рентгеновское излучение.

Структура распределения звезд в северной части области Меча Ориона усложнена тем, что в непосредственной близости к NGC 1977 с севера примыкает скопление NGC 1981. Это примыкание настолько близкое, что эти скопления, как мы покажем ниже, проникают друг в друга в пространстве. Представляет интерес вопрос о происхождении и возможной гравитационной связи пары NGC 1981 и NGC 1977. Для исследования этого вопроса нами использована

Oricat	Gaia DR3 ID	Сп. класс	В	B-V	α (J2000) град	δ (J2000) град
17297		A 0	10.21	0.32	83.8221383	-4.6798409
17298			14.81		83.8221221	-4.6815076
17 318		A 0	10.41	0.20	83.8263369	-4.6765477
2914	3209578276615162112		14.12	0.90	83.8660846	-4.7509328
2836	3209577937308816896		14.90	0.70	83.8471445	-4.7238488

Таблица 1. Результат отождествления звезд группы 189 в каталогах Oricat и Gaia

Таблица 2. Данные Gaia DR3 для звезд Oricat 2836 и 2914

Oricat	2836	2914	
ID Gaia DR3	3209577937308816896	3209578276615162112	
$\pi\pm\sigma_{\pi}$, мсд	2.5087 ± 0.0136 , мс (398.61 пк)	2.5633 ± 0.0260 , мс (390.12 пк)	
α, J2000	83.86608464038	83.84714445919	
δ, J2000	-4.75093281765	-4.72384875977	
$\mu_{lpha}\pm\sigma_{\mu_{lpha}}$, мсд/год	1.768 ± 0.012	1.180 ± 0.021	
$\mu_\delta \pm \sigma_{\mu_\delta}$, мсд/год	-0.752 ± 0.011	-1.066 ± 0.017	
$V_{ m r}\pm\sigma_{V_{ m r}}$, KM/C	29.96 ± 32.70	22.15 ± 5.19	
G, mag	13.164274	12.561725	
BP-RP	1.52	1.52	
RUWE	1.055	1.868	
E(BP/RP)	1.276	1.285	

диаграмма, связывающая разности пространственных скоростей и положений скоплений пары в пространстве, позволяющая оценить статус этой пары РЗС [9].

Работа организована следующим образом. В Разделе 2 рассмотрена пространственно-кинематическая структура, включающая NGC 1981, NGC 1977 и группу звезд 189. В Разделе 3 по данным Gaia сделаны оценки вероятности принадлежности звезд выбранной области к NGC 1977, части скопления NGC 1981 и группе 189. Рассмотрено влияние звезд фона. В Разделе 4 содержится обсуждение результатов, статуса звезд Oricat 2836 и Oricat 2914, а также сформулированы основные выводы.

2. СТРУКТУРА СЕВЕРНОЙ ОБЛАСТИ МЕЧА ОРИОНА

2.1. Группа 189

Группа звезд 189 (табл. 1) впервые выделена по СД из каталога Oricat [1]. Группа содержит 5 звезд. В результате отождествления звезд каталога Oricat (использован сервис X-Match) с Gaia DR2 [10] и Gaia DR3 [11] удалось найти данные Gaia только для двух звезд из группы 189. Это — Oricat 2836 и 2914. Звезды Oricat 17297, 17298, 17318, хотя и более яркие, в Gaia не найдены. В колонках табл. 1

приведены номера по каталогам [1] и [11], спектральный класс, звездная величина B, показатель цвета B–V, экваториальные координаты α , δ (J2000).

Данные для звезд Oricat 2836 и 2914 дополнены данными SIMBAD, см. табл. 2. В табл. 2 содержатся номер Oricat [1], ID Gaia DR3 [11], параллакс с ошибкой $\pi \pm \sigma_{\pi}$, экваториальные координаты α , δ (J2000), компоненты собственного движения с ошибками $\mu_{\alpha} \pm \sigma_{\mu\alpha}$, $\mu_{\delta} \pm \sigma_{\mu\delta}$, лучевая скорость с ошибкой $Vr \pm \sigma_{Vr}$, звездная величина G, показатель цвета BP—RP, астрометрический параметр RUWE (Renormalised Unit Weight Error), избыток цвета E(BP/RP).

2.2. Данные GAIA для NGC 1981 и NGC 1977

В табл. 3 и 4 для скоплений NGC 1981 и NGC 1977 приведены экваториальные координаты центра скопления (α , δ , (J2000)), лучевая скорость с ошибкой ($Vr \pm \sigma_{Vr}$), компоненты собственного движения с ошибками ($\mu_{\alpha} \pm \sigma_{\mu\alpha}$, $\mu_{\delta} \pm \sigma_{\mu\delta}$), параллакс с ошибкой ($\pi \pm \sigma_{\pi}$), радиус сферы, включающей 50% звезд скопления (r_{50}). Использована база данных SIMBAD.

Параметр	Значение	Источник
α, J2000	83.8480, град	Cantat-Gaudin et al. (2020) [12]
δ, J2000	— 04.4860, град	Cantat-Gaudin et al. (2020) [12]
$V_{ m r}\pm\sigma_{V_{ m r}}$	27.9 ± 2.4 , км/с	Conrad et al. (2017) [13]
$\mu_{lpha}\pm\sigma_{\mu_{lpha}}$	1.086 ± 0.199 , мсд/год	Cantat-Gaudin et al. (2020) [12]
$\mu_\delta \pm \sigma_{\mu_\delta}$	0.555 ± 0.474 , мсд/год	Cantat-Gaudin et al. (2020) [12]
$\pi\pm\sigma_{\pi}$	2.544 ± 0.070 , мсд (393.08 пк)	Cantat-Gaudin et al. (2020) [12]
r	$0.232^{\circ} (0.8 \text{ Hy mag } d = 400 \text{ Hy})$	Cantat-Gaudin et al. (2020) [12]

Таблица 3. Параметры NGC 1981 (UBC 207, MWSC 0579)

Таблица 4. Параметры NGC 1977 (UBC 621, MWSC 0587)

Параметр	Значение	Источник
α, J2000	83.8150	SIMBAD
δ, J2000	-04.8190	SIMBAD
$V_{ m r} \pm \sigma_{V_{ m r}}$	$24.2 \pm 2.0 \text{ km/c}$	Conrad et al. (2017) [13]
$\mu_{lpha}\pm\sigma_{\mu_{lpha}}$	1.271 ± 0.471 , мс/год	Cantat-Gaudin et al. (2020) [12]
$\mu_\delta \pm \sigma_{\mu_\delta}$	-0.753 ± 0.503 , мс/год	Cantat-Gaudin et al. (2020) [12]
$\pi\pm\sigma_{\pi}$	2.521 ± 0.069 , мс ($d = 396.67$ пк)	Cantat-Gaudin et al. (2020) [12]
r_{50}	$0.128 \deg (0.4 \text{ пк для } d = 400 \text{ пк})$	Cantat-Gaudin et al. (2020) [12]

2.3. Пространственно-кинематическая структура

На рис. 1 показано положение в пространстве звезд группы 189 и рассмотренных скоплений. Звезды Oricat 2836 и 2914 близки в пространстве как друг к другу (~0.2 пк), так и к скоплению NGC

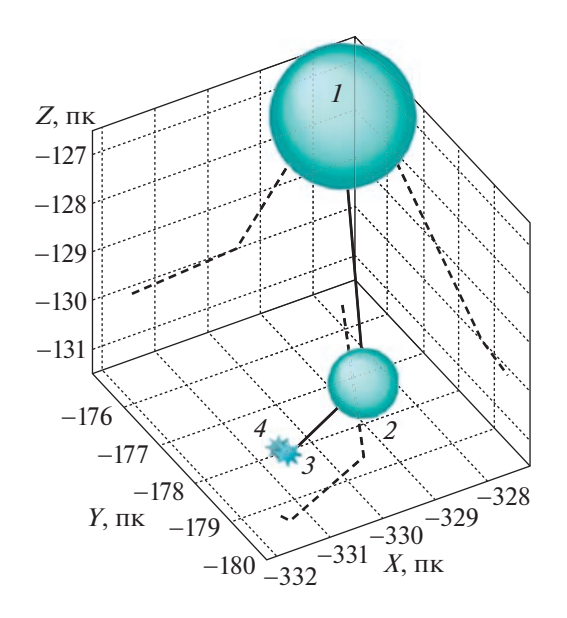


Рис. 1. Положения в пространстве NGC 1981 подписано цифрой I, NGC 1977 — 2, Oricat 2836 — 3 и Oricat 2914 — 4. Точки соединены между собой для наглядности. Штриховыми линиями показаны проекции соединения точек на плоскости XY, YZ, XZ. Скопления представлены "шарами" с радиусами r_{50} , взятыми из табл. 3 и 4 соответственно.

1977 (~2 пк), рис. 1. Относительные ошибки расстояний скоплений от Солнца составляют ~2.7%. Использована прямоугольная галактическая гелиоцентрическая система координат, в которой ось X направлена к Центру Галактики ($l=0^\circ$, $b=0^\circ$), ось Y- в направлении вращения Галактики ($l=90^\circ$, $b=0^\circ$), ось Z- на Северный полюс Галактики ($b=90^\circ$). Та же система координат и для пространственных скоростей.

Пространственные координаты XYZ (пк) и компоненты пространственной скорости UVW (км/с) рассмотренных объектов приведены в табл. 5. Они получены по данным табл. 2—4. Как видно на рис. 2, звезды и оба скопления движутся в пространстве приблизительно в одинаковом направлении. Следует отметить, что r_{50} представляют центральные части скоплений, полные их размеры в разы больше. Относительные ошибки расстояний скоплений от Солнца составляют ~2.7%.

2.4. Диаграмма δV - δR

Очевиден вопрос о том, каков статус рассмотренной пары РЗС. Наблюдаемые пары скоплений можно разделить на визуально двойные (ВДРС) и тесные двойные (ТДРС), (Vereshchagin, et al. 2022 [9]). Для этого используется диаграмма $\delta V - \delta R$, где δV — разность пространственных скоростей РЗС в паре, δR — разность положений центров скоплений в пространстве. Отметим, что ТДРС — это физически связанные скопления, к ним отнесены пары скоплений, расстояния между кото-

Имя объекта	<i>X</i> , пк	<i>Y</i> , пк	<i>Z</i> , пк	<i>U</i> , км/с	<i>V</i> , км/с	<i>V</i> , км/с
NGC 1981	-327.74	-175.53	-127.63	23.91	-12.81	-6.91
NGC 1977	-329.45	-178.65	-129.98	19.41	-13.19	-6.53
Oricat 2836	-331.34	-179.38	-130.12	24.25	-16.29	-7.58
Oricat 2914	-331.44	-179.18	-130.14	17.39	-12.59	-6.22

Таблица 5. Компоненты пространственных координат и скоростей рассмотренных объектов

рыми и относительные скорости допускают гравитационную связанность пары.

По данным табл. 5 получены следующие параметры для пары NGC 1981—NGC1977: $\delta R = 4.26$ пк (lg $\delta R = 0.63$); $\delta V = 4.54$ км/с (lg $\delta V = 0.66$). На рис. 3 приведена диаграмма $\delta V - \delta R$. Величина R_R представляет собой радиус сферы Роша пары РЗС в поле гравитации Галактики (см. [9]). Его значение получено, исходя из условия гравитационной связи двойного скопления в системе "двойное скопление—Галактика". Радиус R_R равен:

$$R_{\rm R} \cong 0.4 (2m/M_{\rm Gal})^{1/3} R \, (\Pi \kappa),$$
 (1)

где m — масса скопления, $M_{\rm Gal}$ — масса Галактики $(1.0 \times 10^{11} \ M_{\odot}; \ {\rm Carraro}, \ {\rm Chiosi} \ 1994 \ [14]; \ {\rm Bonatto}$

еt al. 2005 [15]; Тауlог, et al. 2016 [16]) в пределах ее радиуса R. При суммарной массе двойного скопления, равной $2m=10^3~M_\odot$ и $M_{\rm Gal}=10^{11}~M_\odot$, из (1) получено $R_{\rm R}\approx 7~$ пк. Очевидно, $R_{\rm R}$ может в несколько раз превосходить размеры самих скоплений. Таким образом, появляется шанс для рождения и существования ТДРС. Радиус сферы Роша для скоплений в физической паре рассмотрен также (Angelo, et al. 2021 [17]).

Важный фактор для оценки происхождения ТДРС — возраст скоплений в паре. Возраст NGC 1981 согласно (Cantat-Gaudin et al. 2020 [12]) составляет $\lg t = 7.18$ (15.14 млн лет), согласно каталогу одиночных звездных скоплений MWSC (Milky Way Star Clusters, Харченко и др. [18]) $\lg t = 7.11 \pm 0.001$ (12.8 млн. лет). Возраст NGC 1977

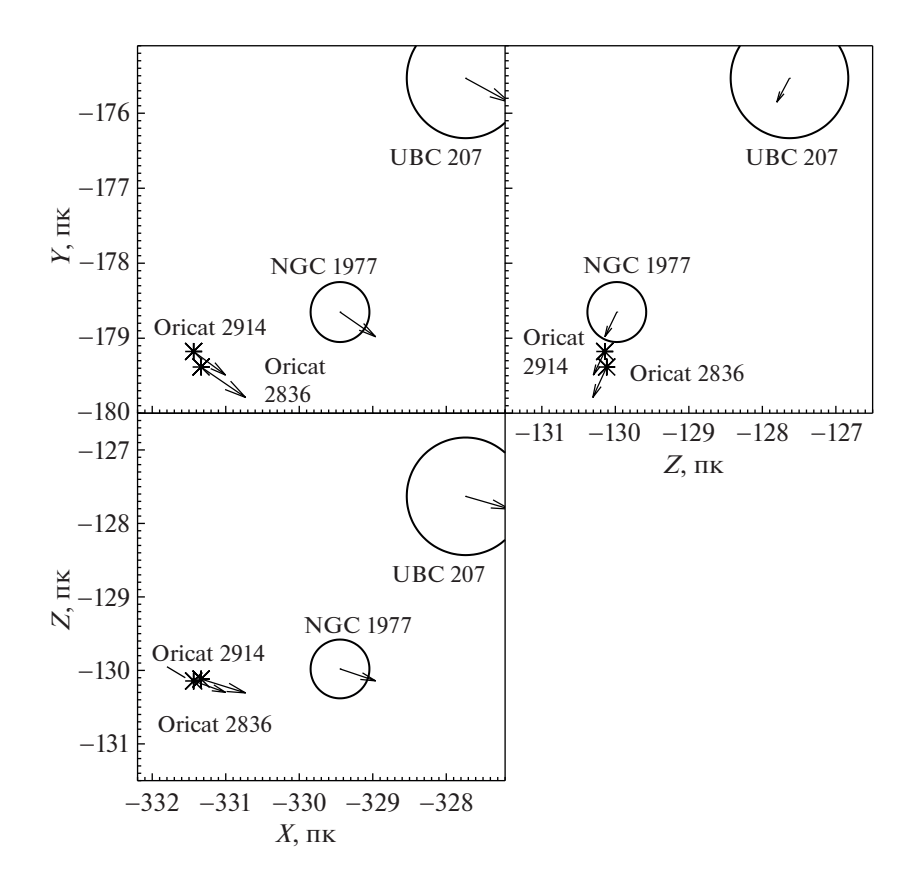


Рис. 2. Положения и компоненты вектора пространственной скорости исследуемых объектов в проекциях XY, YZ и XZ. Круги имеют радиусы r_{50} , взятые из табл. 3 и 4.

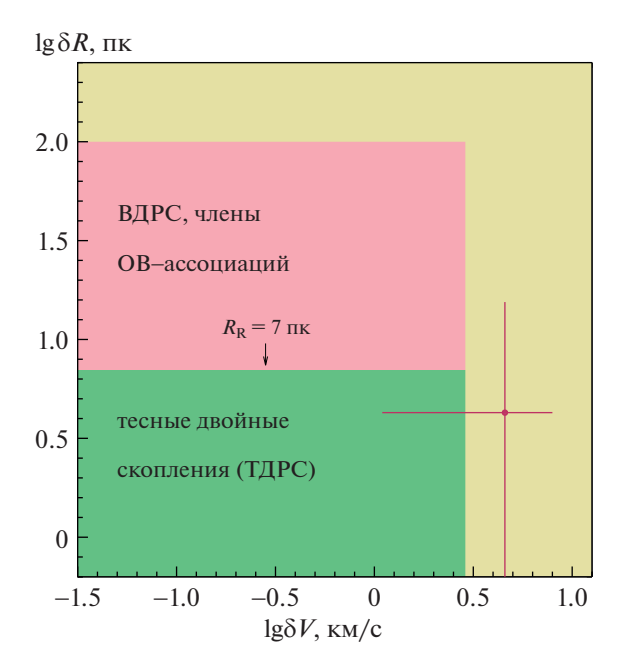


Рис. 3. Диаграмма, позволяющая идентифицировать пары РЗС. Закрашены разным цветом области, в которых расположены пары РЗС различного статуса: тесные двойные скопления — гравитационно связанные пары (зеленый цвет), визуально-двойные пары — члены одной ассоциации (розовый цвет) и случайно визуально близко расположенные пары (коричневая область справа и вверху). Точкой ($\lg \delta R = 0.63$, $\lg \delta V = 0.66$) с барами ошибок показано положение пары NGC 1981-NGC 1977. Бары ошибок ($0.58 \le \lg \delta R \le 0.67$; $0.61 \le \lg \delta V \le 0.70$) получены, исходя из ошибок параллакса и скорости, приведенных в табл. 3 и 4, ($\sigma_{\delta R} = (2\sigma_{\pi}/\pi^2)^{1/2}$ и $\sigma_{\delta V} = (2\sigma_{\delta V})^{1/2}$. Отметим, что бары ошибок носят оценочный характер, отражая качество измерений, вероятно, по минимуму.

согласно [12] $\lg t = 7.99$ (97.7 млн лет). Другая оценка составляет 3 млн лет, [6]. По MWSC [18] возраст скопления NGC 1977 $\lg t = 6.600$ (4 млн лет). Близкая оценка $\lg t = 6.721 \pm 0.064$ (5.3 млн лет) получена (Monteiro, et al. 2020 [19]). Очевидно, что приведенные оценки не позволяют говорить о сходстве этих P3C по возрасту и, следовательно, природа их возможной физической связанности нуждается в уточнении из-за неопределенности оценок возраста.

3. ВЫБОР ЗВЕЗД СЕВЕРНОЙ ОБЛАСТИ МЕЧА ОРИОНА И ОЦЕНКА ВЕРОЯТНОСТИ ПРИНАДЛЕЖНОСТИ К РЗС

3.1. Диаграмма параллакс-звездная величина

Данный раздел включает последовательность шагов выбора звезд на небе, анализ распределения звезд по параллаксам и диаграммы собствен-

ных движений. Итогом является оценка вероятности принадлежности звезд РЗС.

Шаг 1. Сделан отбор звезд по положению на небе (экваториальным координатам) и параллаксам. Из каталога Gaia DR3 выбраны звезды в области неба с центром $\alpha=83.815^\circ$, $\delta=-4.819^\circ$ (центр NGC 1977, табл. 4) и радиусом 0.35° (≈ 2.5 пк на расстоянии 400 пк), [1]. Взяты звезды, для которых в Gaia определены параллакс и звездная величина G. Число таких звезд оказалось равным n=2349.

Выбранные звезды на диаграмме "параллакс—звездная величина" показаны на рис. 4а. На рис. 4а хорошо заметны две группы звезд, выделяющиеся по максимумам распределения: звезды поля и звезды скоплений. С помощью этой диаграммы первоначальная выборка ограничена интервалом расстояний звезд от Солнца (d) в пределах $200 \le d \le 600$ пк ($\pi = 1.67-5.0$ мсд). Расстояния получены по параллаксам Gaia DR3 как величина, обратная параллаксу. В результате выборка уменьшилась до n = 1041.

Выбранные звезды на диаграмме " $\alpha - \delta$ " показаны на рис. 4б. На рис. 4б выделены звезды скоплений UBC 207 (NGC 1981 согласно SIMBAD) и UBC 621 (NGC 1977 согласно SIMBAD), данные о которых взяты из (Castro-Ginard, et al. 2020 [5]) — для UBC 621 и UBC 207, и скопления NGC 1977 — из (Tarricq, et al. 2021 [4]), где они отобраны машинным методам. Имена скоплений даны согласно авторам указанных статей.

Диаграмма "параллакс — звездная величина" для нашей выборки (после исключения звезд поля) приведена на рис. 5, где также нанесены звезды из списков (Castro-Ginard, et al. 2020 [5] и Tarricq, et al. 2021 [4]).

- 1) Сравнение показало, списки авторов Тагricq, et al. (2021) [4] и Castro-Girard, et al. (2020) [5] не содержат звезды с $G > 17^{\text{m}}$.
- 2) На рис. 5 P3C NGC 1977 (UBC 621 в [5]) и NGC 1981(UBC 207 в [5]) имеют близкие параллаксы и не имеют четкой границы раздела по параллаксам.
- **UBC 621** это **NGC 1977?** Проведено отождествление звезд списков UBC 621 (Castro-Ginard, et al. 2020 [5]) (UBC 207 также входит в [5], о чем речь пойдет ниже) и NGC 1977 (Tarricq, et al. 2021 [4]) с нашей выборкой (n = 1041). Оказалось, что:
- 1) Список звезд NGC 1977 из [4] (n=74) полностью входит в список звезд UBC 621 из [5], (n=115).
- 2) Из списка [4] для NGC 1977 (n = 74) попали в нашу выборку 68 звезд.
- 3) Из списка [5] для UBC 621 (n = 115) попали в нашу выборку 107 звезд.

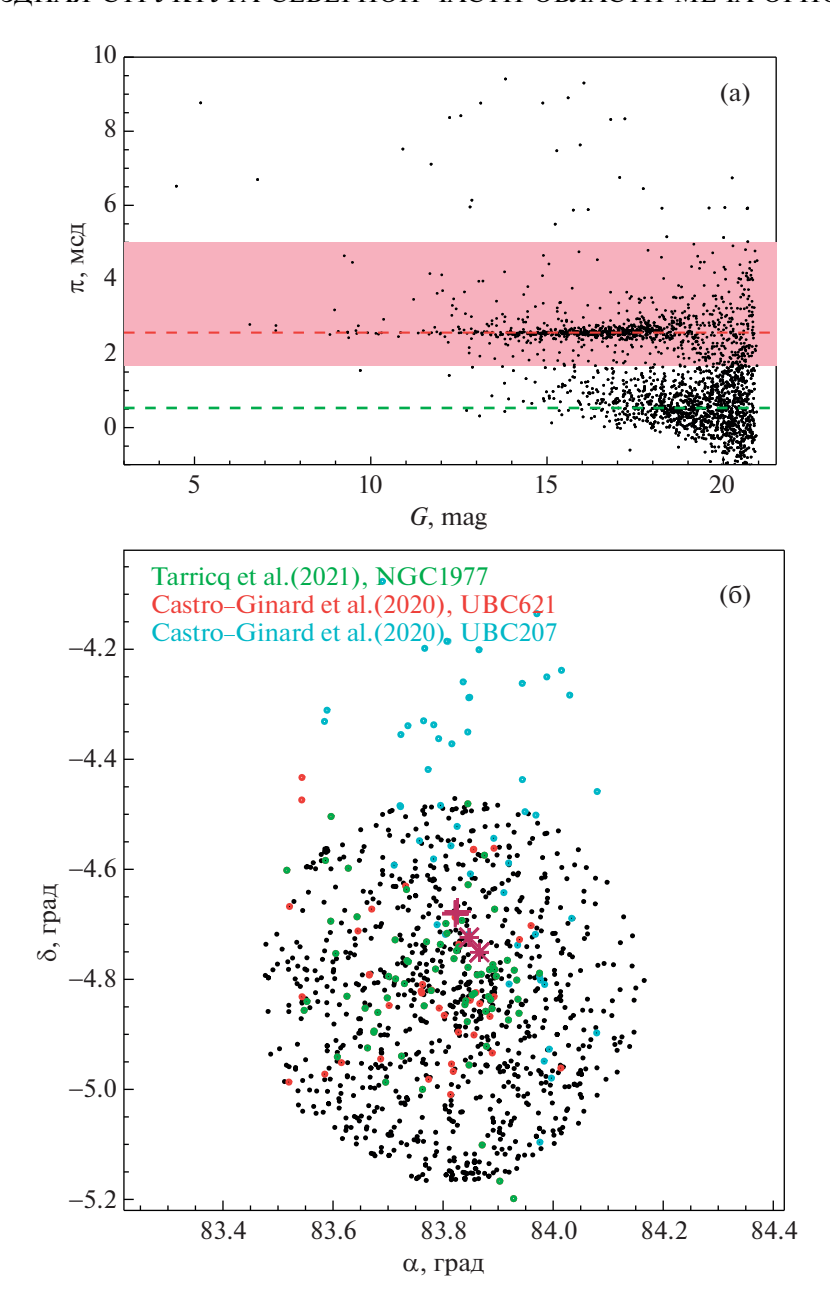


Рис. 4. а) Диаграмма "параллакс — звездная величина" для звезд в области с центром $\alpha=83.815^\circ$, $\delta=-4.819^\circ$ и радиусом 0.35° . Зеленая штриховая линия, проведенная через максимум нижнего распределения, соответствует $\pi=0.53$ мсд $(d=1886\ \mathrm{nk})$, это звезды поля. Красная заливка показывает границы ($\pi=1.67-5.0\ \mathrm{мсд}$), использованные для отбора звезд для дальнейшего исследования. Положение максимума распределения показано красной штриховой линией ($\pi=2.56\ \mathrm{мсд}$, $d=390.6\ \mathrm{nk}$). б) Распределение звезд (n=1041) на небесной сфере в экваториальной системе координат. Черные точки — звезды нашей выборки, n=1041. Красными, зелеными и голубыми точками (поверх черных в случае совпадения координат) нанесены звезды из списков авторов, указанных соответствующим цветом вверху рисунка. Приведены имена P3C, данные авторами соответствующих работ, ссылки на которые приведены на рисунке.

Таким образом, можно говорить о дублировании названий NGC 1977 и UBC 621. Отметим, что по (Monteiro, et al. 2020 [19]) P3C UBC 621 и NGC 1977 представляют собой одно и то же скопление. Список (Pang, et al. 2022 [6]) для NGC 1977 и сравнение его данных с нашими и других авторов также представляет интерес, хотя он попал в наше поле зрения после завершения данной работы.

UBC 207 – это NGC 1981? Оказалось, что звезды UBC 207 выходят за рамки выбранной нами области неба, что хорошо видно на рис. 46. Скорее всего они входят в состав NGC 1981, центр которого располагается примерно на 20' севернее центра NGC 1977 (рис. 1). Из списка (Castro-Ginard, et al. 2020 [5]) для UBC 207 (n = 55) попали в нашу выборку 28 звезд.

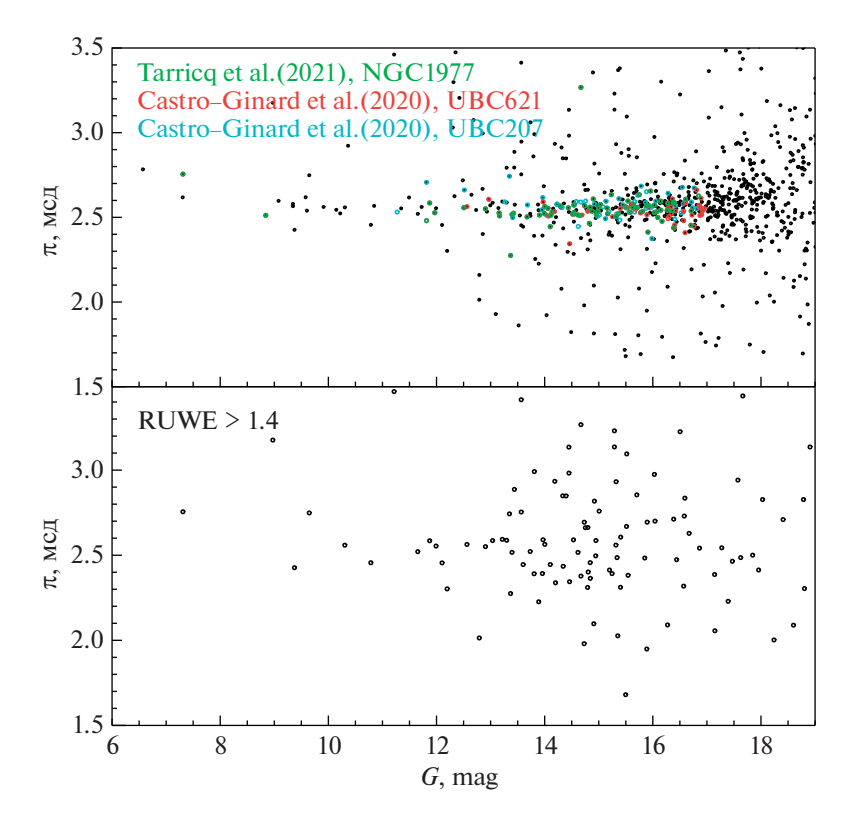


Рис. 5. Диаграмма "параллакс — звездная величина". На верхней панели цветом показаны точки, представляющие звезды из списков разных авторов (подписаны в левом верхнем углу). Черными точками показаны звезды нашей выборки (n = 1041). Отметим, что в случае совпадения координат черные точки закрашены соответствующим цветом. На нижней панели — звезды с RUWE ≥ 1.4 (n = 127).

Шаг 2. Диаграмма СД выборки, полученной на Шаге 1 (n = 1041), показана на рис. 6. Там же нанесены звезды из списков (Castro-Ginard et al. 2020 [5] и Tarricq et al. 2021 [4]). Как видно на рис. 6, в верхней части располагается NGC 1981 (UBC 207), в нижней – NGC 1977 (UBC 621). Разделение этих скоплений можно заметить по СД (рис. 6), тогда как на небесной сфере (рис. 4б) они пересекаются. На рис. 7 показана диаграмма СД, где показаны положения средних СД. Использованные нами положения СД РЗС (рис. 7) в пределах ошибки совпадают с приведенными средними СД SIMBAD соответствующих скоплений в табл. 3 и 4: для NGC 1977: $\overline{\mu}_{\alpha}=1.277$ мсд/год, $\overline{\mu}_{\delta} = -0.800$ мсд/год. Для NGC 1981: $\overline{\mu}_{\alpha} =$ = 1.152 мсд/год, $\overline{\mu}_{\delta}$ = 0.524 мсд/год. На рис. 7 на правой панели также показаны звезды с RUWE > > 1.4. Очевидно их влияние не велико.

Следует отметить, что средние положения выбранных центров РЗС влияют на процесс определения вероятностей на Шаге 3. Как могут повлиять звезды с RUWE ≥ 1.4 на средние СД? Значение перенормированной ошибки единичного веса (RUWE), определяемой Lindegren, et al. [20], приведено в каталогах Gaia, и рекомендовано звезды с RUWE > 1.4 исключить из выборки. У таких

звезд возможна неразрешенная двойственность или присутствуют проблемы с определением астрометрических параметров, которые не укладываются в модель одиночной звезды. Поскольку в группе 189 могут быть звезды с RUWE > 1.4 (что будет видно ниже), мы решили не исключать их из нашего каталога. Это обусловлено также тем, что 1) использованные нами оценки средних СД практически совпадают с данными SIMBAD и 2) присутствие этих звезд не влияет на вычисление вероятности принадлежности звезды скоплению.

Шаг 3. Оценка вероятности принадлежности звезды к РЗС. Вероятность P_{μ}^{i} вхождения i-й звезды в состав скопления, определенная по СД, вычислена с помощью классической методики изложенной (Kharchenko, et al. 2004 [21], Kharchenko, et al. 2012 [22], Vasiliev 2019 [23]):

$$P_{\mu} = e^{-\frac{1}{2} \left(\left(\frac{\mu_{\alpha} - \overline{\mu}_{\alpha}}{\varepsilon_{\mu}} \right)^{2} + \left(\frac{\mu_{\delta} - \overline{\mu}_{\delta}}{\varepsilon_{\mu}} \right)^{2} \right)}, \tag{2}$$

где средние значения СД $\overline{\mu}_{\alpha}$, $\overline{\mu}_{\delta}$ определены нами выше для NGC 1977 и NGC 1981. Величины μ_{α} , μ_{δ} представляют собой индивидуальные СД по прямому восхождению и склонению соответственно.

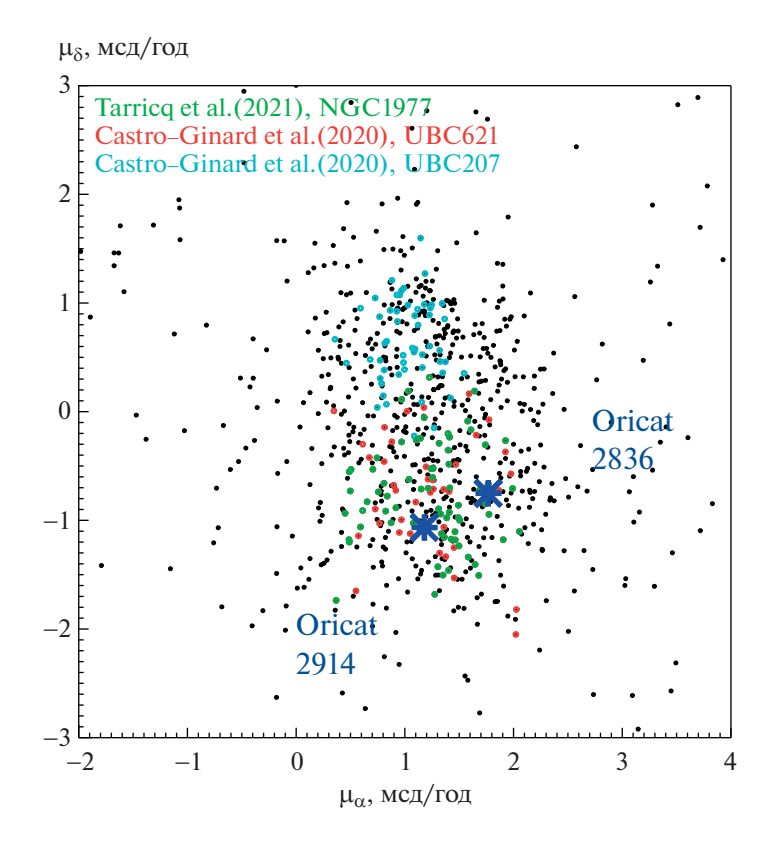


Рис. 6. Диаграмма собственных движений. Использованы звезды, попавшие в область вокруг центра NGC 1977, ("круг") занятый черными точками на рис. 46). Это означает, что в нашу область NGC 1981 попало лишь частично. Цветами обозначены звезды, входящие в состав разных РЗС по данным авторов, указанных вверху рисунка. Синими звездочками показаны звезды Oricat 2836 и 2914. По СД эти звезды расположены ближе к центру области NGC 1977 — зеленые точки (UBC 621 — красные точки).

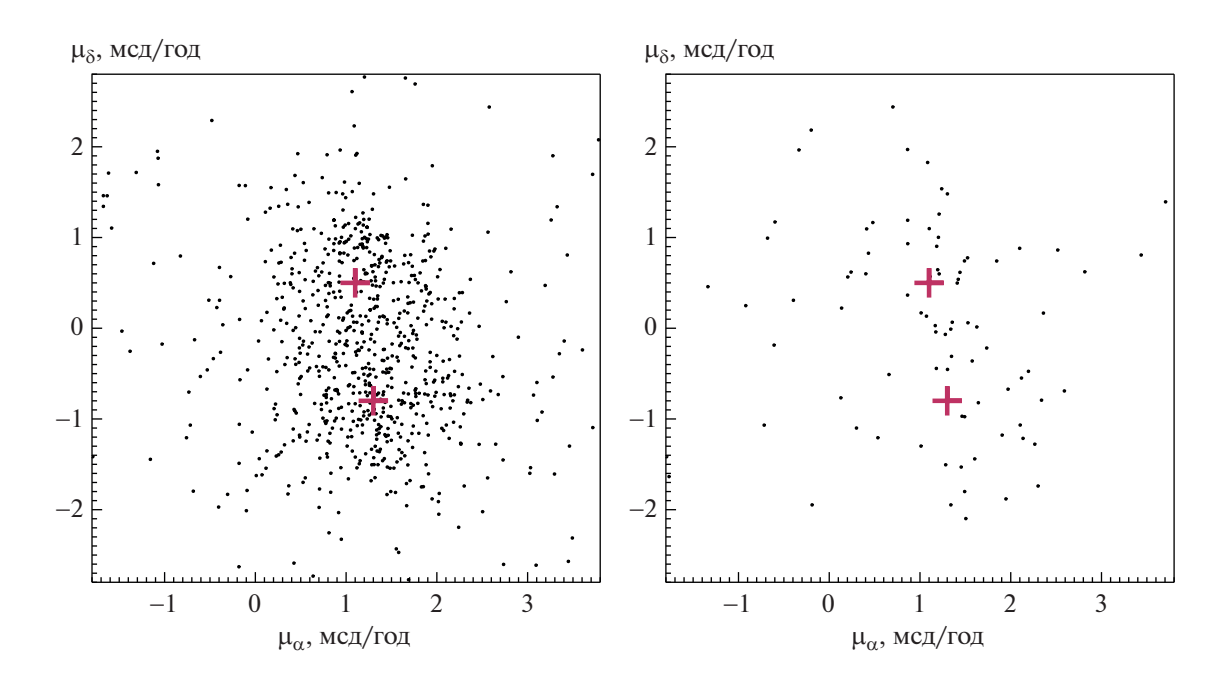


Рис. 7. На левой панели диаграмма СД для звезд нашей выборки (n = 1041. Вверху — область NGC 1981 (UBC 207), внизу — NGC 1977 (UBC 621). Крестиками показаны центры областей сгущения точек. Положение центров на диаграмме СД использовано на Шаге 3 для определения вероятностей вхождения звезд в состав скопления. На правой панели показаны звезды с RUWE ≥ 1.4.

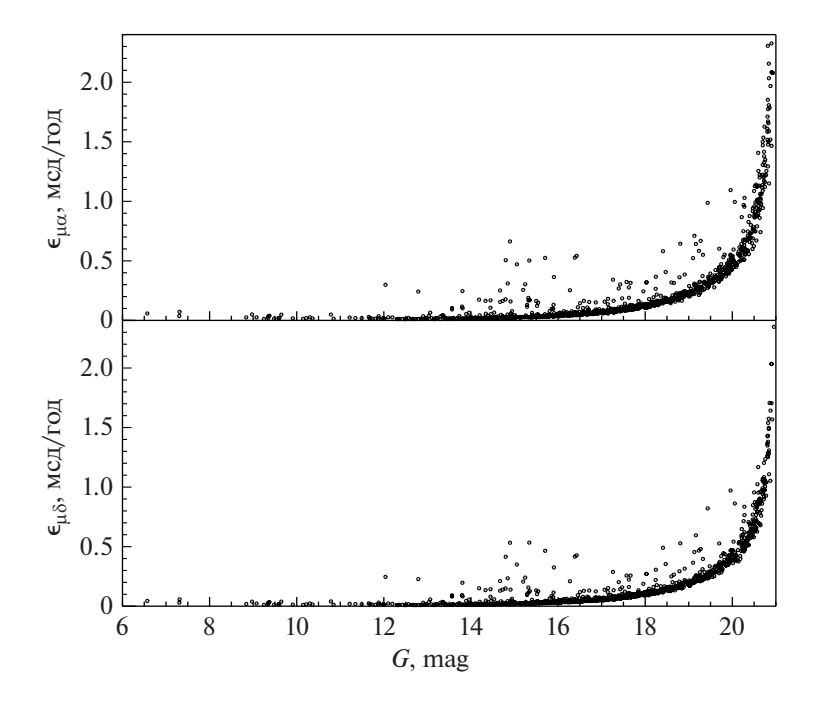


Рис. 8. Зависимость ошибки собственных движений Gaia от величины G для звезд нашей выборки.

Возможен вариант, в котором суммируются два распределения, отдельно для каждого РЗС, и величина P_{μ} оценивается исходя из суммы распределений для каждого скопления. В этом случае шкала вероятностей изменится, распределения будут иметь более узкую форму с быстрым падением P_{μ} от среднего СД. Как и в случае с выбором ε_{μ} , это приведет к изменению шкалы вероятностей, что повлияет на P_{μ}^{i} , в том числе и для звезд группы 189.

Значение ϵ_{μ} определяется дисперсией пекулярных скоростей (движения звезд внутри скоплений) и ошибками измерений Gaia. В наших расчетах использовано значение $\varepsilon_{\parallel} = 0.7 \text{ мсд/год.}$ Учитывая сказанное о показателе степени в (2), на расстоянии от Солнца рассмотренной звездной группировки ≈400 пк указанное значение соответствует ~2 км/с. Это согласуется со средней оценкой дисперсии в рассеянных звездных скоплениях, которая обычно принимается равной 1— 3 км/с (Чумак и Расторгуев (2006) [24]). Указанное значение включает ошибку СД, которая в среднем для нашей выборки составляет 0.1 мсд/год для звезд $G \le 17^{\rm m}$, рис. 8. Отметим также, что попытка использовать индивидуальные ошибки для каждой звезды в $\varepsilon_{\rm u}$ привела к разбросу значений P_{\shortparallel}^{i} по радиусу.

Результирующая картина распределения вероятностей P_{μ}^{i} представлена на рис. 9. Отметим, что для оценки вероятности принадлежности звезды

скоплениям (2) использованы звезды во всем диапазоне RUWE. Их присутствие не повлияло на значения P_{μ}^{i} . Зависимость распределения P_{μ} от ε_{μ} показана на рис. 15. От ε_{μ} зависит оценка вероятности P_{μ} для каждой звезды, которая увеличивается при увеличении ε_{μ} , что понятно из (2) и детально показано на рис. 15.

3.3. Влияние звезд фона

Для отбора звезд кандидатов в состав скоплений нами использованы тригонометрические параллаксы и собственные движения. На основе последних определены вероятности принадлежности звезд к скоплениям. Очевидно, что в процессе оценки вероятности звезды фона, имеющие СД, и параллаксы, попавшие на интервалы отбора, также попали в наш каталог, получив оценки P по формуле (2). Имея сходные со скоплением параллаксы, положения на небе и собственные движения звезды фона по этим параметрам не отличаются от звезд скопления. Однако можно оценить процент таких звезд. Для этого мы взяли пробные выборки звезд в трех областях поля вне скопления (рис. 10). Проведено сравнение диаграмм СД для выбранных областей и наших РЗС. Посчитаны числа звезд поля и РЗС в выделенных на правой панели рис. 10 ячейках. Их соотношение дало оценку процента звезд фона относительно звезд РЗС (включающих звезды поля).

На правой панели рис. 10 показана таблица, с помощью которой можно оценить процентное со-

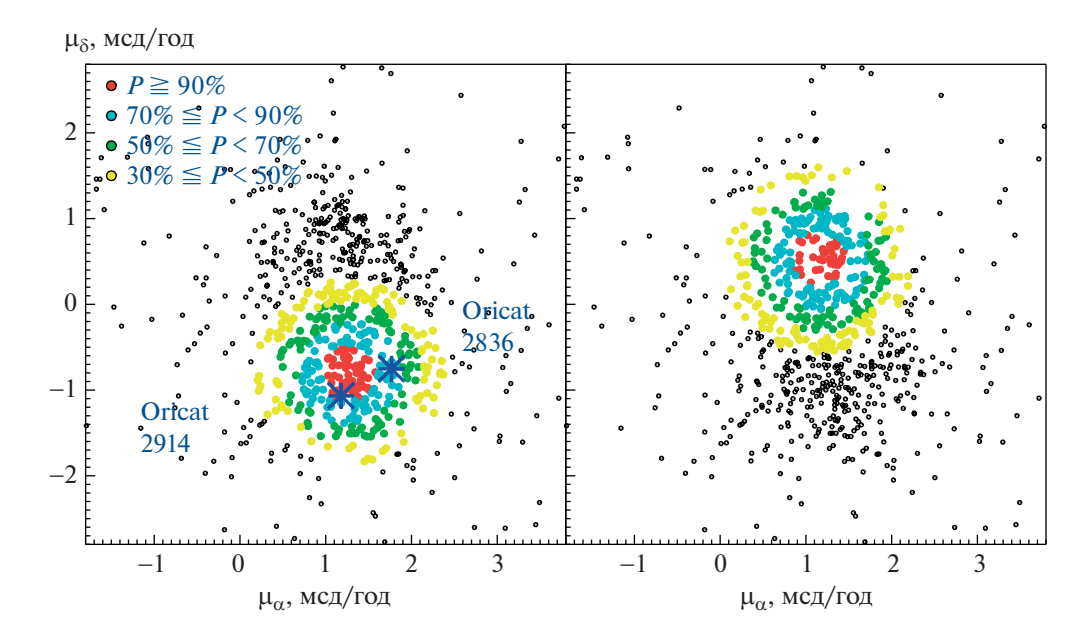


Рис. 9. Диаграмма СД для звезд нашей выборки (n = 1041) с указанием в верхней части интервалов P_{μ} . Вверху — область NGC 1981 (UBC 207), внизу — NGC 1977 (UBC 621). На левой панели синими звездочками обозначены звезды группы 189, найденные в Gaia.

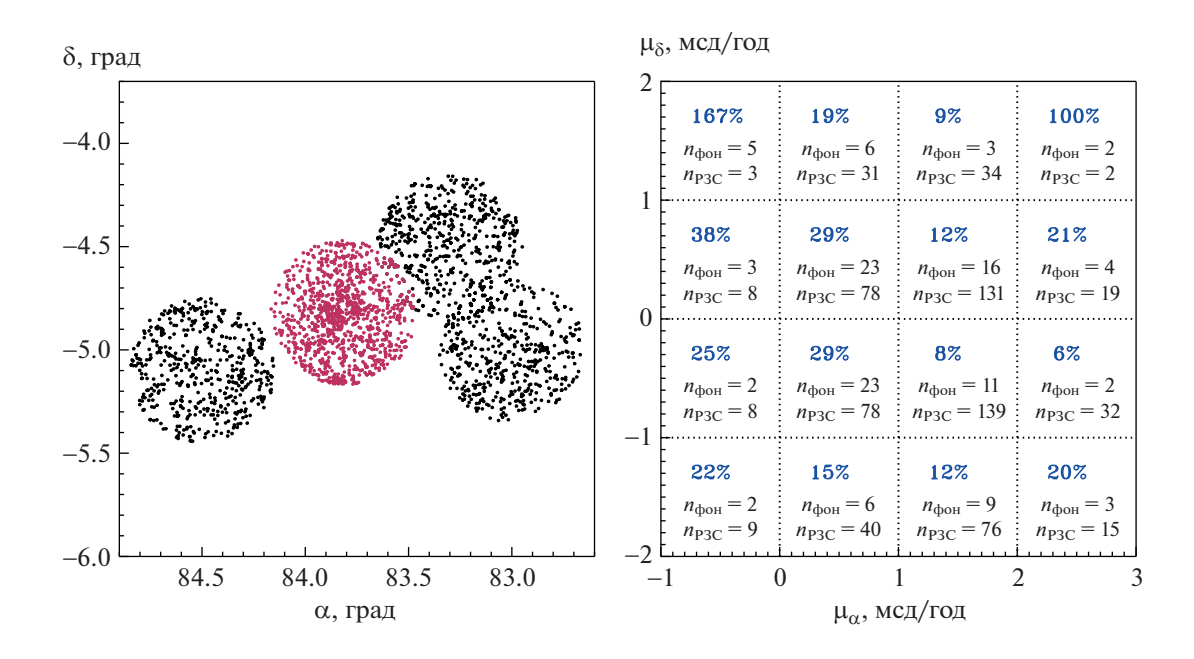


Рис. 10. Распределение звезд, выбранных для оценки фона — слева и оценка процентного содержания звезд фона в показанных на правой панели ячейках. Процентный уровень принадлежности звезды к полю подписан синим цветом на правой панели.

держание звезд фона в изученных РЗС. Это можно сделать путем сравнения положения на диаграмме СД (рис. 6) любой звезды из нашего каталога с диаграммой на правой панели рис. 9. Попадание звез-

ды в избранный квадрат даст указанный процентный уровень принадлежности звезды фону.

Oricat	ID Gaia DR3	NGC 1977 Tarricq et al. (2021) [4]	UBC621 (NGC 1977) Castro- Ginard et al. (2020) [5]	UBC207 (NGC 1981) Castro- Ginard et al. (2020) [5]	NGC 1981 Andersen, Reiz (1983) [24]	NGC 1977, данная работа	NGC 1981, данная работа
2836	3209577937308816896	1	1	0	1	78%	13%
2914	3209578276615162112	0	1	0		92%	7%

Таблица 6. Оценки принадлежности звезд группы 189 к РЗС по данным разных авторов

3.4. Статус звезд группы 189

В Gaia DR3 [11] найдены данные для Oricat 2836 (GEDR3 3209577937308816896) и Oricat 2914 (GEDR3 3209578276615162112). Положения этих звезд в декартовой системе координат показаны на рис. 1 и 2. Их место на диаграмме СД показано на рис. 6 и рис. 9. В табл. 6 приведены оценки вероятности их принадлежности к NGC 1977 и NGC 1981, как полученные в данной работе, так и различные оценки их принадлежности к РЗС, полученные другими авторами. В колонках табл. 6 даны номер Oricat, ID Gaia DR3, флажки равны 1 в том случае, если звезда включена в указанный в описании колонки каталог. В последних двух колонках приведены полученные нами вероятности вхождения звезд в скопления NGC 1977 и NGC 1981 соответственно. Как видим из табл. 6, Oricat 2914 согласно (Tarricq et al. 2021 [4]) не входит в состав скопления NGC 1977. Отметим, что ее астрометрические параметры Gaia могут быть отягощены ошибками, так как параметр RUWE превышает 1.4 и равен 1.868 (см. табл. 2). По Andersen, Reiz (1983) [25] эта звезда принадлежит скоплению NGC 1981. Наши оценки согласуются с оценками, полученными в [5], и свидетельствуют о принадлежности этих звезд NGC 1977, с вероятностью более 70%.

Приводим физические параметры Oricat 2836 (GEDR3 3209577937308816896) и Oricat 2914 (GEDR3 3209578276615162112) по оценкам разных авторов. Оценка массы выполнена с помощью диаграммы "цвет—звездная величина", приведенной на рис. 11. Положения этих звезд на рис. 11 свидетельствуют о том, что они обладают массами около 1.1 M_{\odot} . В каталоге [26] (VizieR Online Data Catalog: I/355/paramp) приводится масса Oricat 2914 оцененная в 1.131 M_{\odot} .

Особенностью этих звезд является наличие рентгеновского излучения. Обе звезды есть в каталоге "Chandra X-ray observations of young clusters" (Ramirez et al. (2004) [27]): Oricat 2836 — под номером CXORRS J053527.8-044503, Oricat 2914 — под номером CXORRS J053523.3-044325. Oricat 2836 входит в каталог "The Spitzer (SEIP) source list (SSTSL2)" [28] под номером SSTSL2 J053527.86-044503.4. X-излучение в северной ча-

сти NGC 1977 (Fig. 4, Bouy et al. 2014 [8]), включающей группу 189, обусловлено, по крайней мере частично, этими звездами.

Необходимо добавить, что Oricat 2836 и Oricat 2914 являются переменными звездами типа Orion Variable. Их номера V* V1738 Ori и V* V413 Ori соответственно в каталоге ОКПЗ Samus, et al. (2017) [29]. Звезда V* V413 Ori (Oricat 2914) является неправильной эруптивной переменной звездой (тип переменности IN в [29]). Такие переменные звезды связаны с яркими или темными диффузными туманностями (или наблюдаются в областях таких туманностей).

4. ОБСУЖДЕНИЕ И ВЫВОДЫ

Для определения возможной принадлежности группы 189 к P3C NGC 1977 по данным Gaia DR3 [11] рассмотрена область неба вокруг центра NGC 1977. В исследуемой области пространства расположена также часть P3C NGC 1981. Для определения вероятности принадлежности звезды к РЗС NGC 1977, NGC 1981 использована методика (Kharchenko, et al. [21, 22], Vasiliev 2019 [23]). Проведено сравнение нашей выборки со списками, полученными машинным методом для NGC 1981 (Castro-Ginard, et al. 2020 [5] и NGC 1977 Tarricq, et al. 2021 [4]). Каталоги звезд кандидатов в состав РЗС, полученные с помощью алгоритмов машинного обучения (DBSCAN), служат эффективным способом поиска звездных скоплений. Отбор звезд в РЗС проводится по концентрации звезд на небе, СД и параллаксам, т.е. аналогично примененной нами процедуре. Число каталогизированных звездных скоплений Gaia увеличилось более, чем до шести тысяч. Эти методы перспективны, позволяют использовать комплекс данных о звездах при анализе членства в РЗС, (He et al. 2022 [30]). Полученный нами каталог приведен в Приложении 2, начальные пять записей даны в табл. 7.

Звезды, входящие в состав P3C UBC 207 (n = 55) и UBC 621 (n = 115), приведены в каталоге [12]. В этом каталоге даны вероятности вхождения в состав скопления в колонке proba. В указанных P3C для всех звезд proba = 1. Каталог [12] компилятивный, включает списки звезд скопле-

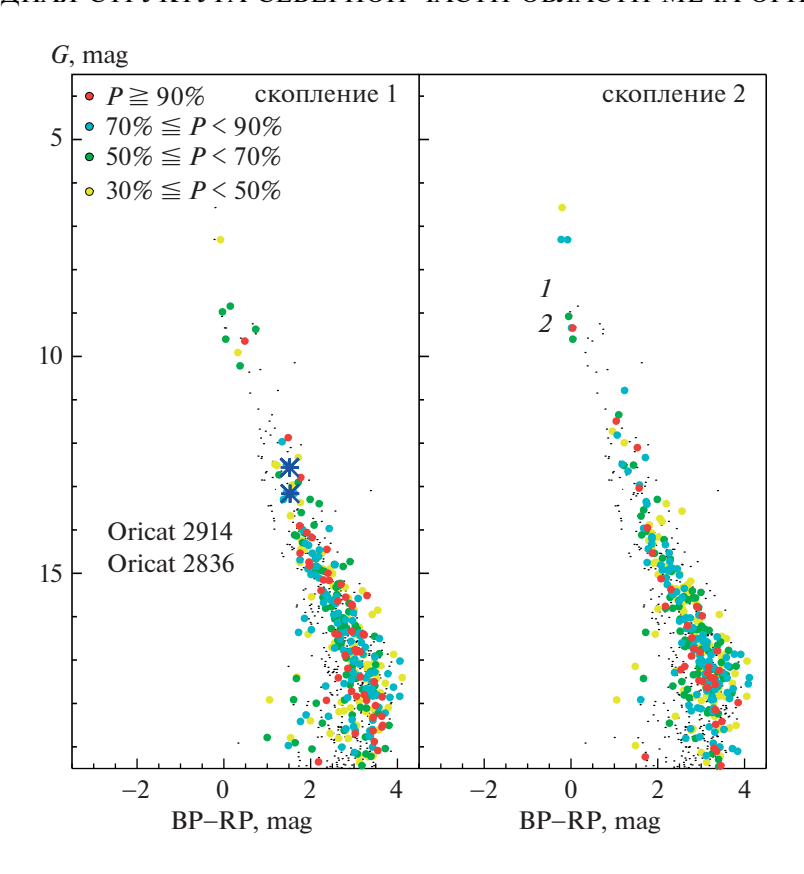


Рис. 11. Диаграмма "цвет — звездная величина" (n = 1041) для NGC 1977 (скопление 1, левая панель) и NGC 1981 (скопление 2, правая панель). Отмечены положения звезд Oricat 2836 и 2914, данные фотометрии этих звезд приведены в табл. 2. Цвета точек соответствуют интервалам вероятности P_{ii} (%), указанным в верхней части рисунка и на рис. 9.

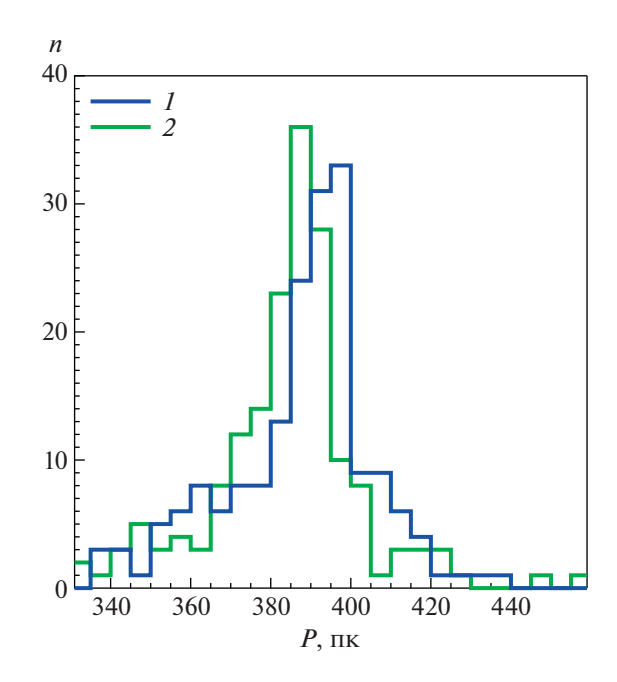


Рис. 12. Распределение звезд скоплений NGC 1977 (скопление 1) и NGC 1981 (скопление 2) по расстояниям от Солнца. Из списка n=1041 выбраны звезды с $P_{\mu} \ge 60\%$. Удалены звезды с RUWE > 1.4 (127 звезд), в остатке n=914 звезд, приведенные на гистограмме. Из них скопление 1 включает n=195 звезд, для которых $R_{\text{среднее}}=386.1$ пк, $\sigma_1=28.7$. Скопление 2 включает n=180, $R_{\text{среднее}}=381.5$ пк, $R_{\text{cpc}}=381.5$ пк,

	$h_{ m lt}$ скопление 2, %	40	0	∞	61	08	66
_	$b^{ m lr}$ скопление 1, %	4	0	52	1	9	41
1041)	Cantat-Gaudin, UBC207						
II	Cantat-Gaudin, NGC1977						
) //(UBC207	0	0	0	0	0	0
C 15	UBC621	0	0	0	0	0	0
NG	E _{Vr} , <u>kM/c</u> Tarricq	0	29 0	0	0	0	0
ПЛЯ	3/MX "3		-9.27 0.29				
нами	√г, км/с		-9.2				
в площадке неба, выбранной нами для NGC 1977 (п	BP-RP, mag	3.499704	0.654221	2.907890	2.281364	3.366627	2.949003
неба, вы	<i>G</i> , mag	0.565 0.061 17.065514	9.248130	-0.731 0.029 14.731222	14.908166	0.854 0.043 16.464312 3.366627	17.470312
цадке	εμδ	0.061		0.029	1.222 0.139	0.043	0.599 0.158
и в пло	μδ, ΜCД/ ΓΟД	0.565	-22.172 0.011	-0.731	1.222	0.854	0.599
3C 198	εμα	0.204 0.073	0.013	2.080 0.035	1.105 0.159	1.485 0.050	1.211 0.185
ино М	$\mu_{\alpha},$ mca/	0.204	10.364	2.080	1.105	1.485	1.211
части	ε _π , мед	0.0746	0.0143	0.0358	0.1789	0.0564	0.2011
1977 и	π,	2.5556	4.6377 0.0143 10.364 0.013	2.6938 0.0358	2.0973	2.5852 0.0564	2.4643 0.2011
Начальные пять записей каталога РЗС NGC 1977 и частично NGC 1981	8, град	-05.09832694926 2.5556 0.0746	-05.06161859312		-05.15906041402		-05.16225702574
э пять записей ка	α, град	084.00191102603	084.04597278611	083.76929067443	083.75597275475	083.75357828466	083.75166657471
Таблица 7. Начальные	ID GDR3	3017376501554622464	3017400037975399040	3209522716912905728* 083.76929067443 -05.16551887558	3209522789928942592* 083.75597275475	3209522789928942976 083.75357828466 -05.16083495156	3209522789928943360* 083.75166657471

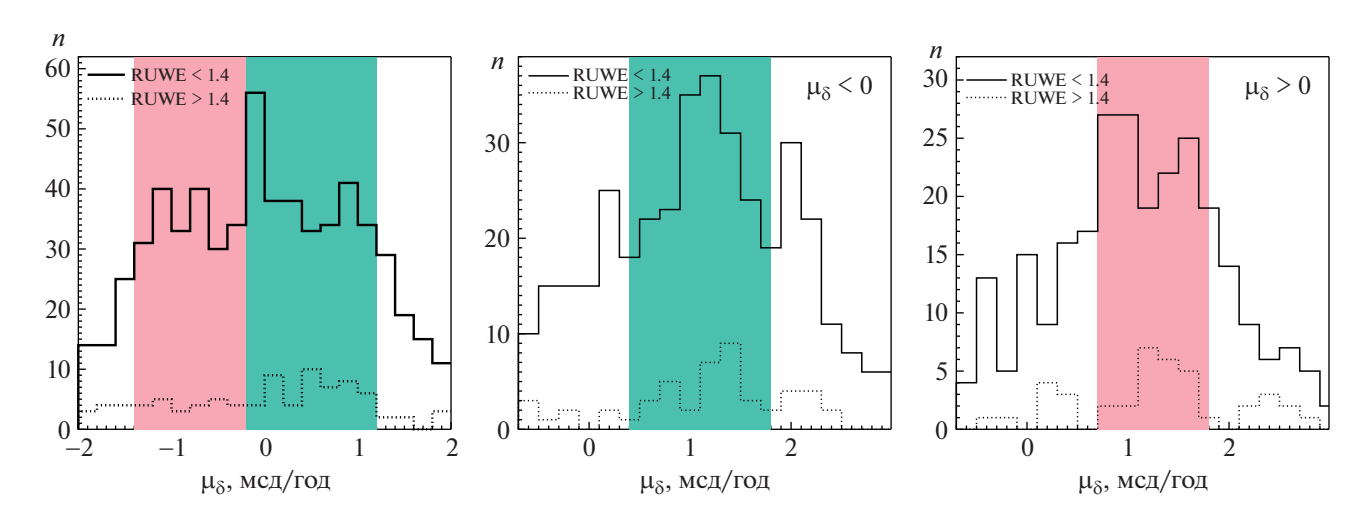


Рис. 13. Распределения звезд выборки (n = 1041, рис. 7) по компонентам СД. Сплошной линией для звезд с RUWE < 1.4, штриховой — для звезд с RUWE ≥ 1.4. Цветные полосы показывают границы скоплений NGC 1977 — красный и NGC 1981 — зеленый принятые в данной работе.

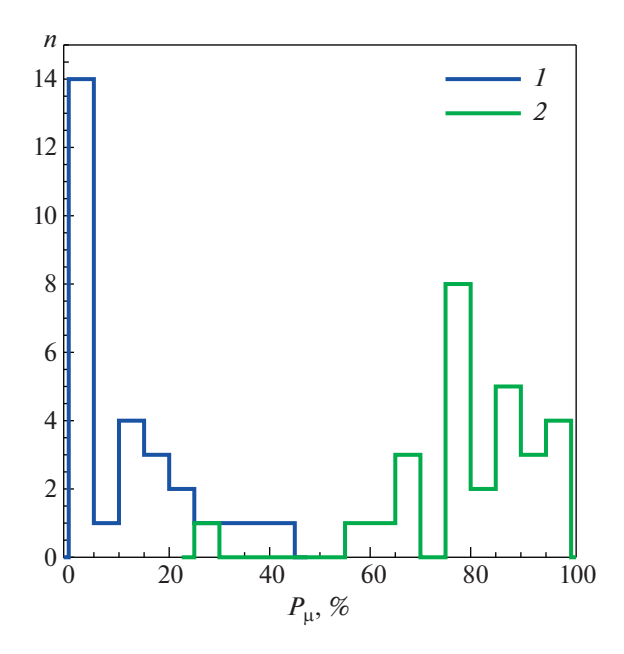


Рис. 14. Распределение вероятности P_{μ} звезд-кандидатов UBC 207 (Castro-Ginard et al. 2020 [5]) по нашим результатам. Обозначено 1 — вероятность принадлежности к NGC 1977, 2 — к NGC 1981.

ний разных авторов. Данные о звездах-кандидатах в UBC 207 и UBC 621 приводятся в каталоге (Castro-Ginard, et al. 2020 [5]). Это подтверждает сравнение принадлежности звезд [5] и [12] по колонкам "UBC 621", "UBC 207" и "Cantat-Gaudin NGC 1977" и "Cantat-Gaudin UBC 207" соответственно в нашем каталоге, приведенном в Приложении 1. В Приложении 2 приведены вероятности членства по данным [5, 12] и полученные на-

ми для UBC 621 и UBC 207. Рассмотрение Приложения 2 позволяет сделать вывод о том, что в [12] все звезды из [5] взяты с вероятностью 100% (proba = 1). Наши оценки для части этих звезд отличаются от 100%, что хорошо видно на рис. 6 (полезен также рис. 9). Это очевидно свидетельствует о том, что наши оценки получены по более дифференцированной шкале вероятностей (2).

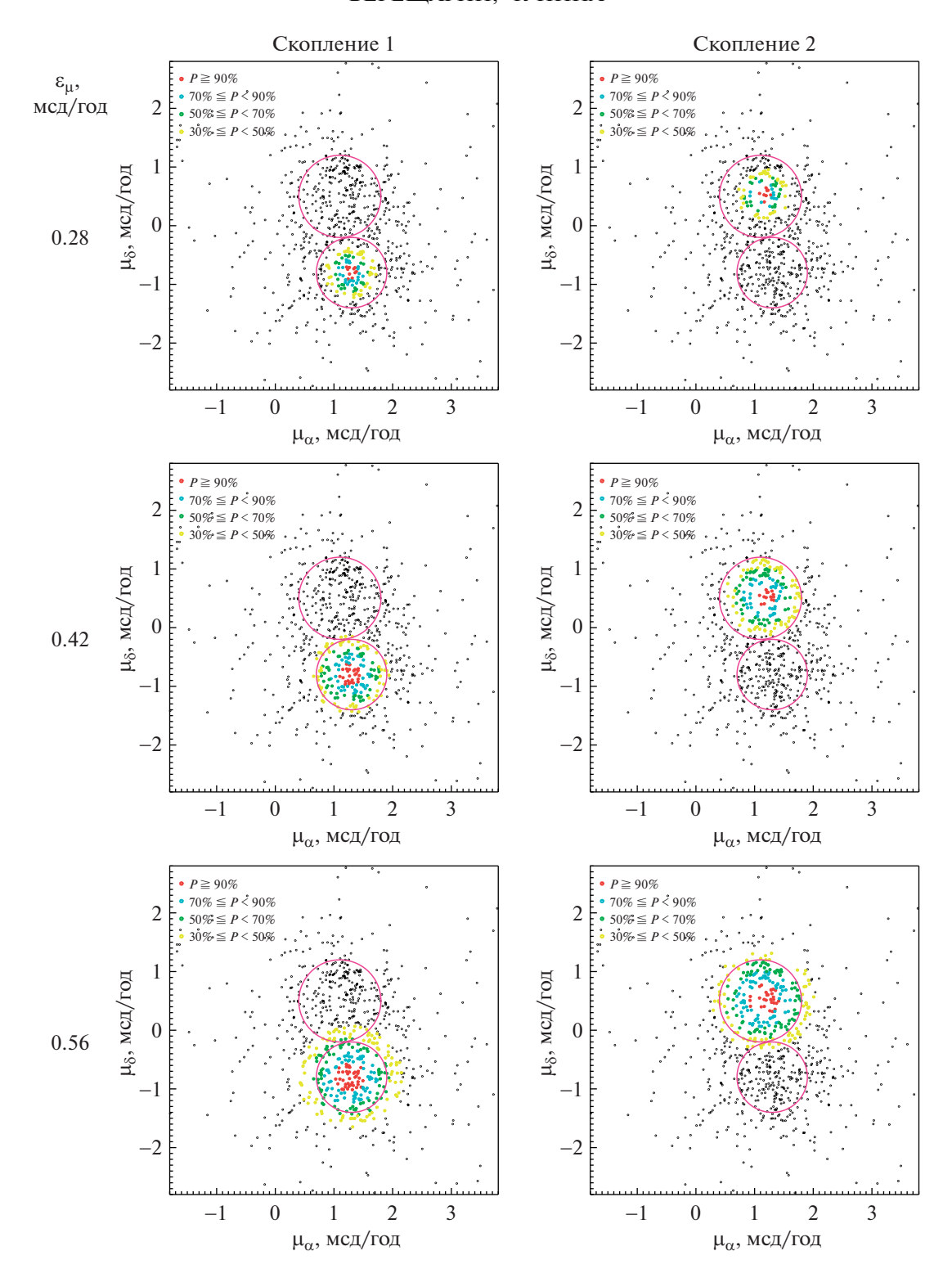


Рис. 15. Зависимость распределения P_{μ} от величины ϵ_{μ} . Диаграммы собственных движений с оценками вероятности принадлежности звезд к скоплениям. На парных панелях, расположенных сверху вниз, показаны результаты расчетов для различных значений величины ϵ_{μ} по формуле (2). Расчеты выполнены для $\epsilon_{\mu} = 0.28, 0.42, 0.56, 0.70, 1.41, 2.82, 4.23 мсд/год. Цветом показаны интервалы шкалы полученных оценок вероятности принадлежности звезды скоплению <math>P_{\mu}$ для NGC 1977 (левая панель) и NGC 1981 (правая панель). Например, внутри выбранной "реперной" окружности радиусом 0.70 мсд/год NGC 1981 и 0.49 мсд/год для NGC 1977 оказались следующие значения вероятности $P_{\mu} \ge 70\%$.

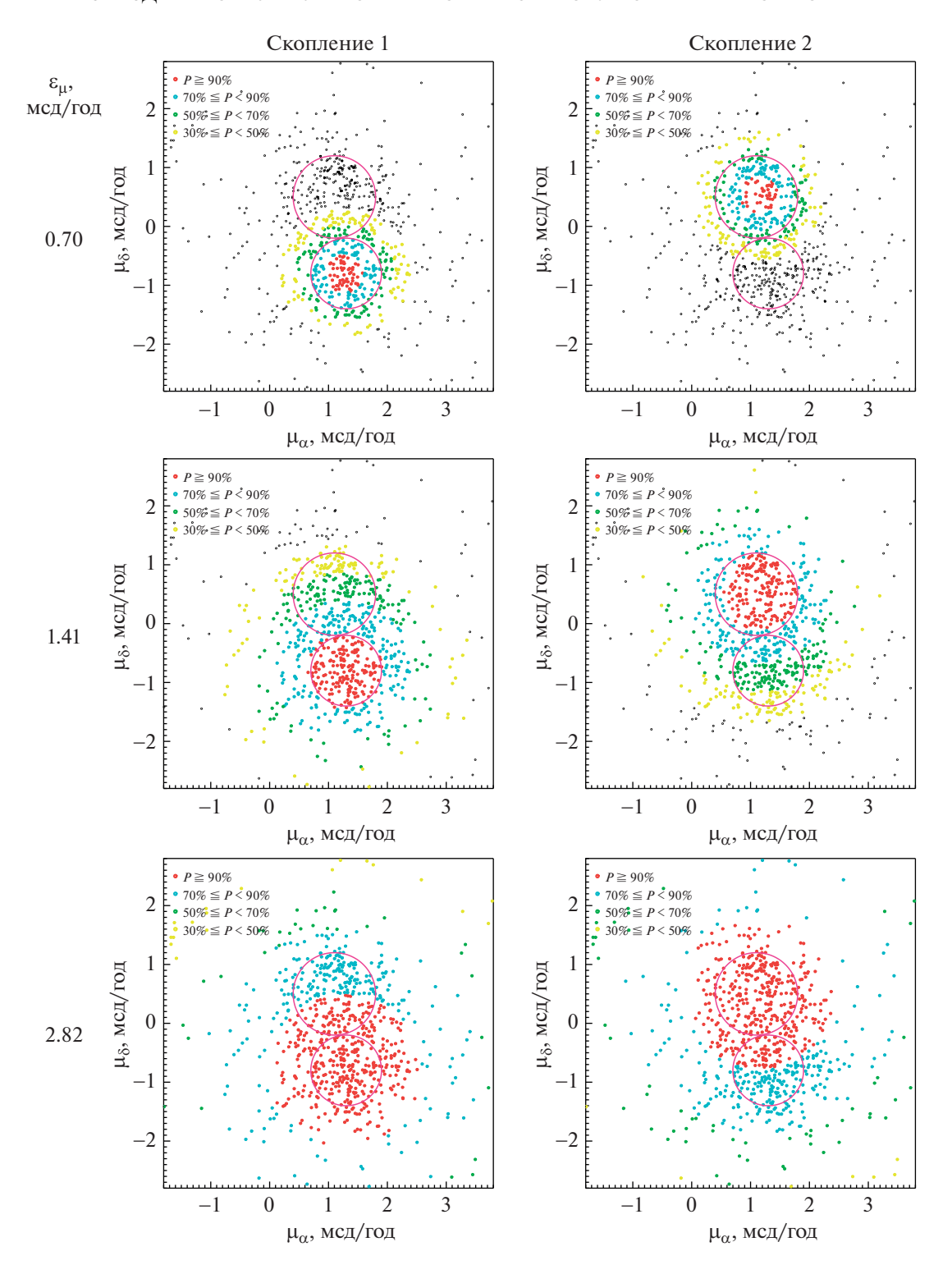


Рис. 15. Продолжение

Отметим, всего в [12] 55 звезд кандидатов в состав РЗС UBC 207 (NGC 1981). В нашем списке оказались лишь 27 звезд в силу того, что наша область, как сказано выше, не захватывает полностью UBC 207. Всего в [12] содержится 115 звезд

P3C UBC 621 (NGC 1977). Не найдено в нашем списке 6 звезд.

Колонки в табл. 7 содержат ID Gaia DR3 (звезды с RUWE \geq 1.4 отмечены индексом "звездочка"), прямое восхождение α (J2000) и склонение δ

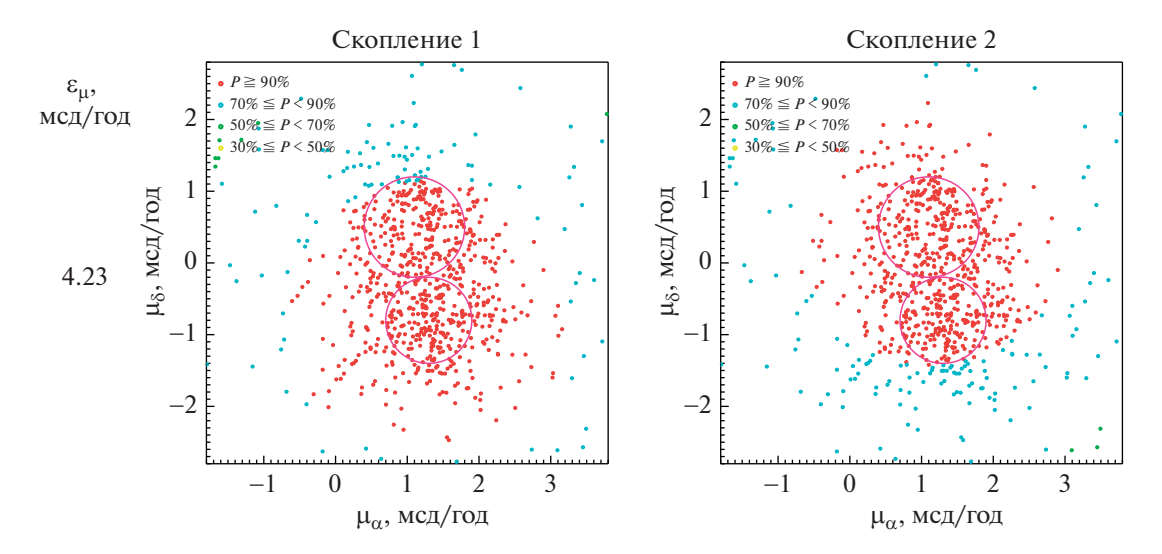


Рис. 15. Окончание

(J2000), параллакс с ошибкой, собственные движения μ_{α} и μ_{δ} с ошибкой, звездная величина G, показатель цвета BP-RP, лучевая скорость $V_{\rm r}$ с ошибкой

(Gaia EDR3). Далее флаги Tarricq — если звезда присутствует в списке NGC 1977 VizieR On-line Data Catalog: J/A+A/647/A19/rv-stars [4], колонки UBC 621, UBC 207 — если звезда есть в списках VizieR On-line Data Catalog: J/A+A/635/A45/table2 [5], колонки Cantat-Gaudin NGC 1977 и Cantat-Gaudin UBC 207 содержат значения ргова из [12], колонки " $P\mu$ скопление 1" и " $P\mu$ скопление 2" — оценки вероятности принадлежности к NGC 1977 и NGC 1981, полученные в данной работе.

Центры P3C NGC 1981 и NGC 1977 расположены в пределах области неба размером \sim 0.5 (\sim 5 пк). По расстояниям их центры расположены от Солнца в пределах \sim 10 пк. На рис. 12 хорошо видно, что скопления в пространстве практически полностью перекрываются друг с другом. По СД они располагаются, примыкая друг к другу по μ_{δ} , и не разделяются по μ_{α} , рис. 13.

выводы

- 1) Получен список звезд северной области Меча Ориона с оценками вероятности членства звезд в скоплениях NGC 1977 и частично NGC 1981 (P3C NGC 1977 и NGC 1981 перекрываются в пространстве), выполненными по единой методике. Список приведен в Приложении 1.
- 2) Звезды Oricat 2836 и 2914, согласно использованной нами методике, являются кандидатами в состав NGC 1977. Проведено сравнение с данными других авторов, см. табл. 6. Сделаны оценки вероятности принадлежности к P3C для звезд

Огісаt 2836 и 2914. Как оказалось, эти звезды можно рассматривать кандидатами в состав NGC 1977 с P = 78% и 92% соответственно. Применяя таблицу (рис. 10, правая панель), можно оценить вероятность их принадлежности фону, которая составляет 8%.

- 3) В наблюдаемую концентрацию рентгеновского излучения в северной области NGC 1977 дают вклад звезды Oricat 2836 и 2914. Для Oricat 2914 этот факт нуждается в дополнительном подтверждении.
- 4) Отметим, что Oricat 2914 имеет металличность [Fe/H] = -0.5973 [26] (VizieR Online Data Catalog: I/355/paramp), что значительно ниже оценки металличности скопления NGC 1977 [Fe/H] = -0.184, (Monteiro et al. 2020 [18]).
- 5) Для понимания статуса пары скоплений NGC 1981—NGC 1977 определено положение пары на диаграмме $\delta V \delta R$. Кинематические свойства NGC 1977 и NGC 1981 различаются, причем различие их пространственных скоростей таково, что они могут оказаться гравитационно не связаны.
- 6) NGC 1977 и UBC 621 представляют собой одно и то же P3C.
- 7) Из списка звезд кандидатов UBC 207 (Castro-Ginard et al. 2020 [5]) 50% звезд попали в наш список NGC 1981. На рис. 14 звезды [5] (UBC 207) практически все имеют $P \ge 50\%$ принадлежности к скоплению 2 (NGC 1981). И, одновременно, имеют P < 50% принадлежности скоплению 1, NGC 1977. Отметим, что несколько звезд расположены на интервале вероятности 20—50%.

Приложение 1. Каталог РЗС NGC 1977 и NGC 1981 в избранной площадке неба, выбранной для NGC 1977 (n=1041)

Harmon Figure Figure Harmon Figure Harmon H				·				•			,						
0.073 0.565 0.061 17.066 3.500 -9.27 0.29 0 0 0 4 0.013 -22.172 0.011 9.248 0.654 -9.27 0.29 0 0 0 0 0 0.050 0.22.172 0.019 19.248 0.654 -9.27 0.29 0 0 0 0 0 0 0 0 0 0 0 0 0 0 0 0 0 0 0 0 0 0 0 0 0 0 0 0 0 0 0 0 0 0 0 0 0 0 0 0 0 0 0 0 0 0 0 0 0 0 0 0 0 0 0 0 0 0 0 0 0 0 0 0 0 0 0 0 0 0 <	lpha, град eta , eta	$\epsilon_{\pi},$ MCД		Ž	μ _α , сд/год	εμα	μ _δ , мсд/год	εμδ	<i>G</i> , mag	BP- RP, mag	V, KM/C			NBC507	NGC1977	UBC207	% 'і әинәи
0.013 -22.172 0.011 9.248 0.654 -9.27 0.29 0 0 0 0 0 0 0 0 0 0 0 0 0 0 0 0 0 0 0 0 0 0 0 0 0 0 0 0 0 0 0 0 0 0 0 0 0 0 0 0 0 0 0 0 0 0 0 0 0 0 0 0 0 0 0 0 0 0 0 0 0 0 0 0 0 0 0 0 0 0 0 0 0 0 0 0 0 0 0 0 0 0 0 0 0 0 0 0 0 0 0 0 0 0 0 0 0 0 <th< td=""><td>84.00191 -5.09833 2.5556 0.0746</td><td>0.0746</td><td></td><td></td><td>0.204</td><td>0.073</td><td>0.565</td><td>0.061</td><td>17.066</td><td>3.500</td><td></td><td></td><td>0 0</td><td>0</td><td></td><td></td><td></td></th<>	84.00191 -5.09833 2.5556 0.0746	0.0746			0.204	0.073	0.565	0.061	17.066	3.500			0 0	0			
0.035 -0.731 0.029 14.731 2.908 -0.731 0.029 14.731 2.908 0.281 0.020 14.730 2.281 0 0 0 0 0 0 0 0 0 0 0 0 0 0 0 0 0 0 0 0 0 0 0 0 0 0 0 0 0 0 0 0 0 0 0 0 0 0 0 0 0 0 0 0 0 0 0 0 0 0 0 0 0 0 0 0 0 0 0 0 0 0 0 0 0 0 0 0 0 0 0 0 0 0 0 0 0 0 0 0 0 0 0 0 0 0 0 0 0 0 0	84.04597 -5.06162 4.6377 0.0143 1	0.0143		_	0.364	0.013	-22.172	0.011	9.248	0.654	-9.27		0 0	0			
0.159 1.222 0.139 14.908 2.281 0 0 0 0 0 0 0 0 0 0 0 0 0 0 0 0 0 0 0 0 0 0 0 0 0 0 0 0 0 0 0 0 0 0 0 0 0 0 0 0 0 0 0 0 0 0 0 0 0 0 0 0 0 0 0 0 0 0 0 0 0 0 0 0 0 0 0 0 0 0 0 0 0 0 0 0 0 0 0 0 0 0 0 0 0 0 0 0 0 0 0 0 0 0 0 0 0 0 0 0 0	83.76929 -5.16552 2.6938 0.0358	0.0358			2.080	0.035	-0.731	0.029	14.731	2.908			0 0	0		·	
0.050 0.854 0.043 16.464 3.367 9 0 0 0 0 0 0 0 0 0 0 0 0 0 0 0 0 0 0 0 0 0 0 0 0 0 0 0 0 0 0 0 0 0 0 0 0 0 0 0 0 0 0 0 0 0 0 0 0 0 0 0 0 0 0 0 0 0 0 0 0 0 0 0 0 0 0 0 0 0 0 0 0 0 0 0 0 0 0 0 0 0 0 0 0 0 0 0 0 0 0 0 0 0 0 0 0 0 0 0 0	83.75597 -5.15906 2.0973 0.1789		0.1789		1.105	0.159	1.222	0.139	14.908	2.281			0 0	0			1 6
0.185 0.599 0.158 1.7470 2.949 9 0 0 0 14 0.028 -1.140 0.024 15.492 2.602 9 0 0 0 0 0 0 0 0 0 0 0 0 0 0 0 0 0 0 0 0 0 0 0 0 0 0 0 0 0 0 0 0 0 0 0 0 0 0 0 0 0 0 0 0 0 0 0 0 0 0 0 0 0 0 0 0 0 0 0 0 0 0 0 0 0 0 0 0 0 0 0 0 0 0 0 0 0 0 0 0 0 0 0 0 0 0 0 0 </td <td>83.75358</td> <td></td> <td>0.0564</td> <td></td> <td>1.485</td> <td>0.050</td> <td>0.854</td> <td>0.043</td> <td>16.464</td> <td>3.367</td> <td></td> <td></td> <td>0 0</td> <td>0</td> <td></td> <td></td> <td></td>	83.75358		0.0564		1.485	0.050	0.854	0.043	16.464	3.367			0 0	0			
0.028 -1.440 0.024 15.492 2.602 6.02 0 0 0 0 0 0 0 0 0 0 0 0 0 0 0 0 0 0 0 0 0 0 0 0 0 0 0 0 0 0 0 0 0 0 0 0 0 0 0 0 0 0 0 0 0 0 0 0 0 0 0 0 0 0 0 0 0 0 0 0 0 0 0 0 0 0 0 0 0 0 0 0 0 0 0 0 0 0 0 0 0 0 0 0 0 0 0 0 0 0 0 0 0 0 0 0 0 0 0 0 </td <td>83.75167 -5.16226 2.4643 0.2011</td> <td></td> <td>0.2011</td> <td></td> <td>1.211</td> <td>0.185</td> <td>0.599</td> <td>0.158</td> <td>17.470</td> <td>2.949</td> <td></td> <td></td> <td>0 0</td> <td>0</td> <td></td> <td>_</td> <td></td>	83.75167 -5.16226 2.4643 0.2011		0.2011		1.211	0.185	0.599	0.158	17.470	2.949			0 0	0		_	
0.072 -0.145 0.064 17.316 2.923 9 0 0 0 0 0 57 0.028 -0.068 0.025 15.554 2.283 0 0 0 0 0 0 0 0 0 0 0 0 0 0 0 0 0 0 0 0 0 0 0 0 0 0 0 0 0 0 0 0 0 0 0 0 0 0 0 0 0 0 0 0 0 0 0 0 0 0 0 0 0 0 0 0 0 0 0 0 0 0 0 0 0 0 0 0 0 0 0 0 0 0 0 0 0 0 0 0 0 0 0 0 0 0 0<	83.74251 -5.15767 2.5166 0.0310		0.0310		1.603	0.028	-1.440	0.024	15.492	2.602			0 0	0		·	6
0.0028 -0.068 0.025 15.554 2.283 0 0 0 0 0 0 0 0 0 0 0 0 0 0 0 0 0 0 0 0 0 0 0 0 0 0 0 0 0 0 0 0 0 0 0 0 0 0 0 0 0 0 0 0 0 0 0 0 0 0 0 0 0 0 0 0 0 0 0 0 0 0 0 0 0 0 0 0 0 0 0 0 0 0 0 0 0 0 0 0 0 0 0 0 0 0 0 0 0 0 0 0 0 0 0 0 0 0 0 0 0 <td>83.70215 -5.11971 2.8892 0.0848</td> <td></td> <td>0.0848</td> <td></td> <td>0.927</td> <td>0.072</td> <td>-0.145</td> <td>0.064</td> <td>17.316</td> <td>2.923</td> <td></td> <td></td> <td>0 0</td> <td>0</td> <td></td> <td><i>γ</i></td> <td></td>	83.70215 -5.11971 2.8892 0.0848		0.0848		0.927	0.072	-0.145	0.064	17.316	2.923			0 0	0		<i>γ</i>	
0.016 -1.078 0.015 14.354 1.952 9 0 0 0 74 0.021 -0.150 0.018 9.602 0.042 3.118 0 0 0 0 0 0 0 0 0 0 0 0 0 0 0 0 0 0 0 0 0 0 0 0 0 0 0 0 0 0 0 0 0 0 0 0 0 0 0 0 0 0 0 0 0 0 0 0 0 0 0 0 0 0 0 0 0 0 0 0 0 0 0 0 0 0 0 0 0 0 0 0 0 0 0 0 0 0 0 0 0 0 0 0 0 0 0 <td< td=""><td>83.70124 -5.12039 2.8631 0.0324</td><td></td><td>0.0324</td><td></td><td>1.279</td><td>0.028</td><td>-0.068</td><td>0.025</td><td>15.554</td><td>2.283</td><td></td><td></td><td>0 0</td><td>0</td><td></td><td>· ·</td><td></td></td<>	83.70124 -5.12039 2.8631 0.0324		0.0324		1.279	0.028	-0.068	0.025	15.554	2.283			0 0	0		· ·	
0.021 -0.150 0.018 9.602 0.042 0.042 0.015 0.018 9.602 0.042 0.042 0.043 0.023 0.089 0.225 19.202 3.118 0 0 0 0 0 0 0 0 0 0 0 0 0 0 0 0 0 0 0 0 0 0 0 0 0 0 0 0 0 0 0 0 0 0 0 0 0 0 0 0 0 0 0 0 0 0 0 0 0 0 0 0 0 0 0 0 0 0 0 0 0 0 0 0 0 0 0 0 0 0 0 0 0 0 0 0 0 0 0 0 0 0 0 0 0 0	83.68743 -5.11377 2.5819 0.0194		0.0194		1.740	0.016	-1.078	0.015	14.354	1.952			0 0	0			
0.253 0.089 0.225 19.202 3.118 9 0 0 4 0.064 -1.214 0.055 17.100 3.307 0 0 0 0 0 40 0.085 -0.240 0.070 17.600 2.346 0 0 0 0 0 0 0.020 1.279 0.017 13.216 1.494 0 0 0 0 0 0 0 0 0 0 0 0 0 0 0 0 0 0 0 0 0 0 0 0 0 0 0 0 0 0 0 0 0 0 0 0 0 0 0 0 0 0 0 0 0 0 0 0 0 0 0 0 0 0 0 0 0 0 0 0 0 0 0 <t< td=""><td>83.67617</td><td></td><td>0.0260</td><td></td><td>1.197</td><td>0.021</td><td>-0.150</td><td>0.018</td><td>9.602</td><td>0.042</td><td></td><td></td><td>0 0</td><td>0</td><td></td><td>9</td><td></td></t<>	83.67617		0.0260		1.197	0.021	-0.150	0.018	9.602	0.042			0 0	0		9	
0.064 -1.214 0.055 17.100 3.307 0 0 0 0 40 0.085 -0.240 0.070 17.600 2.346 0 0 0 0 0 0 0 0.020 1.279 0.017 13.216 1.494 0 0 0 0 0 0 0 0 0 0 0 0 0 0 0 0 0 0 0 0 0 0 0 0 0 0 0 0 0 0 0 0 0 0 0 0 0 0 0 0 0 0 0 0 0 0 0 0 0 0 0 0 0 0 0 0 0 0 0 0 0 0 0 0 0 0 0 0 0 0 0 0 0 0	83.67309 -5.11734 2.4841 0.2995		0.2995		0.963	0.253	0.089	0.225	19.202	3.118			0 0	0		4	
0.085 -0.240 0.070 17.600 2.346 9 0 0 0 0 0 0 0 0 0 0 0 0 0 0 0 0 0 0 0 0 0 0 0 0 0 0 0 0 0 0 0 0 0 0 0 0 0 0 0 0 0 0 0 0 0 0 0 0 0 0 0 0 0 0 0 0 0 0 0 0 0 0 0 0 0 0 0 0 0 0 0 0 0 0 0 0 0 0 0 0 0 0 0 0 0 0 0 0 0 0 0 0 0 0 0 0 0 0 0 0	83.68779 -5.10563 2.6854 0.0785		0.0785		2.135	0.064	-1.214	0.055	17.100	3.307			0 0	0		4	0
0.020 1.279 0.017 13.216 1.494 0 0 0 0 0 0 0 0 0 0 0 0 0 0 0 0 0 0 0 0 0 0 0 0 0 0 0 0 0 0 0 0 0 0 0 0 0 0 0 0 0 0 0 0 0 0 0 0 0 0 0 0 0 0 0 0 0 0 0 0 0 0 0 0 0 0 0 0 0 0 0 0 0 0 0 0 0 0 0 0 0 0 0 0 0 0 0 0 0 0 0 0 0 0 0 0 0 0 0 0 0	83.66937 -5.11631 2.6171 0.0911		0.0911		1.133	0.085	-0.240	0.070	17.600	2.346			0 0	0			
0.044 -0.432 0.038 16.030 2.571 0 0 0 0 68 0.092 0.076 0.081 13.566 2.560 14.60 9.76 0 0 0 25 0.015 -0.312 0.013 12.993 1.695 10.78 10.19 0 0 0 13 0.0242 -1.005 0.227 12.790 1.771 A 0 0 0 0 41 0.242 -1.005 0.227 12.790 1.771 A 0 0 0 0 0 0 0.289 0.301 0.078 17.216 3.242 A 0 0 0 0 0 0 0 0 0 0 0 0 0 0 0 0 0 0 0 0 0 0 0 0 0 0 0 0 0 0 0 0 0	83.85723 -5.16373 2.5932 0.0208		0.0208		0.1111	0.020	1.279	0.017	13.216	1.494			0 0	0			
0.092 0.076 0.081 13.566 2.560 14.60 9.76 0 0 0 25 0.015 -0.312 0.013 12.993 1.695 10.78 10.19 0 0 0 13 0.097 -1.036 0.085 15.850 3.545 1.0.19 0 0 0 41 0.242 -1.005 0.227 12.790 1.771 8 0 0 0 94 0.299 1.399 0.246 12.038 1.766 8 0 0 0 0 94 0.088 0.301 0.078 17.216 3.242 8 0 0 0 0 0 0 0 0 0 0 0 0 0 0 0 0 0 0 0 0 0 0 0 0 0 0 0 0 0 0 0 0 0 0 0	83.83992 -5.16380 2.5302 0.0482		0.0482		0.777	0.044	-0.432	0.038	16.030	2.571			0 0	0		9	
0.015 -0.312 0.013 12.993 1.695 10.78 10.19 0 0 0 13 0.097 -1.036 0.085 15.850 3.545 -0.019 0 0 0 0 41 0.242 -1.005 0.227 12.790 1.771 -0 0 0 0 94 0.088 0.301 0.078 17.216 3.242 - 0 0 0 0 94 0.184 -0.814 0.758 18.692 2.448 - 0 0 0 0 0 0 0.184 -0.814 0.158 18.692 2.448 - 0 0 0 0 0 0 0 0 0 0 0 0 0 0 0 0 0 0 0 0 0 0 0 0 0 0 0 0 0 0 0 0 0	83.91990 -5.15043 2.7537 0.0996		3.0996		2.059	0.092	0.076	0.081	13.566	2.560	14.60	9.76	0 0	0		(4	
0.097 -1.036 0.085 15.850 3.545 0 0 0 0 41 0.242 -1.005 0.227 12.790 1.771 0 0 0 0 0 0 0 0.299 1.399 0.246 12.038 1.766 0 0 0 0 0 0 0 0 0 0 0 0 0 0 0 0 0 0 0 0 0 0 0 0 0 0 0 0 0 0 0 0 0 0 0 0 0 0 0 0 0 0 0 0 0 0 0 0 0 0 0 0 0 0 0 0 0 0 0 0 0 0 0 0 0 0 0 0 0 0 0 0 0 0	83.91283 -5.14900 2.5707 0.0153		0.0153		2.616	0.015	-0.312	0.013	12.993	1.695	10.78	10.19	0 0	0			
0.242 -1.005 0.227 12.790 1.771 0 0 0 0 94 0.299 1.399 0.246 12.038 1.766 0 0 0 0 0 0 0 0.088 0.301 0.078 17.216 3.242 0 0 0 0 0 0 0 0.184 -0.814 0.158 18.692 2.448 0 0 0 0 0 0 16 0 0 0 0 0 0 0 0 0 0 0 0 0 0 0 0 0 0 0 0 0 0 0 0 0 0 0 0 0 0 0 0 0 0 0 0 0 0 0 0 0 0 0 0 0 0 0 0 0 0 0 0 0 <	83.86447 -5.16226 2.4836 0.1060		0.1060		2.184	0.097	-1.036	0.085	15.850	3.545			0 0	0		4	
0.299 1.399 0.246 12.038 1.766 0 0 0 0 0 0 0 0 0 0 0 0 0 0 0 0 0 0 0 0 0 0 0 0 0 0 0 0 0 0 0 0 0 0 0 0 0 0 0 0 0 0 0 0 0 0 0 0 0 0 0 0 0 0 0 0 0 0 0 0 0 0 0 0 0 0 0 0 0 0 0 0 0 0 0 0 0 0 0 0 0 0 0 0 0 0 0 0 0 0 0 0 0 0 0 0 0 0 0 0 0	83.88320		0.1446		1.137	0.242	-1.005	0.227	12.790	1.771			0 0	0		6	
0.088 0.301 0.078 17.216 3.242 0 0 0 0 16 0.184 -0.814 0.158 18.692 2.448 0 0 0 0 0 32 0.332 0.807 0.320 19.683 3.250 0 0 0 0 0 0 0 0.038 0.133 0.125 18.102 2.919 0 0 0 0 0 0 0 0 0 0 0 0 0 0 0 0 0 0 0 0 0 0 0 0 0 0 0 0 0 0 0 0 0 0 0 0 0 0 0 0 0 0 0 0 0 0 0 0 0 0 0 0 0 0 0 0 0 0 0 0 0 <t< td=""><td>83.88313 -5.15772 3.6971 0.3006</td><td></td><td>0.3006</td><td></td><td>3.927</td><td>0.299</td><td>1.399</td><td>0.246</td><td>12.038</td><td>1.766</td><td></td><td></td><td>0 0</td><td>0</td><td></td><td></td><td></td></t<>	83.88313 -5.15772 3.6971 0.3006		0.3006		3.927	0.299	1.399	0.246	12.038	1.766			0 0	0			
0.184 -0.814 0.158 18.692 2.448 0 0 0 0 32 0.332 0.807 0.320 19.683 3.250 0 0 0 0 0 0 0 0 0 0 0 0 0 0 0 0 0 0 0 0 0 0 0 0 0 0 0 0 0 0 0 0 0 0 0 0 0 0 0 0 0 0 0 0 0 0 0 0 0 0 0 0 0 0 0 0 0 0 0 0 0 0 0 0 0 0 0 0 0 0 0 0 0 0 0 0 0 0 0 0 0 0 0 0 0 0 0 0 0 </td <td>83.87543 -5.15262 2.3692 0.0928</td> <td></td> <td>0.0928</td> <td></td> <td>0.526</td> <td>0.088</td> <td>0.301</td> <td>0.078</td> <td>17.216</td> <td>3.242</td> <td></td> <td></td> <td>0 0</td> <td>0</td> <td></td> <td>_</td> <td></td>	83.87543 -5.15262 2.3692 0.0928		0.0928		0.526	0.088	0.301	0.078	17.216	3.242			0 0	0		_	
0.332 0.807 0.320 19.683 3.250 0 0 0 0 0 0 0 0 0 0 0 0 0 0 0 0 0 0 0 0 0 0 0 0 0 0 0 0 0 0 0 0 0 0 0 0 0 0 0 0 0 0 0 0 0 0 0 0 0 0 0 0 0 0 0 0 0 0 0 0 0 0 0 0 0 0 0 0 0 0 0 0 0 0 0 0 0 0 0 0 0 0 0 0 0 0 0 0 0 0 0 0 0 0 0 0 0 0 0 0 0	83.85426		0.1998		2.334	0.184	-0.814	0.158	18.692	2.448			0 0	0		<u></u> ео	
0.138 0.135 0.125 18.102 2.919 0 0 0 0 40 0.094 0.699 0.082 17.490 3.034 0 0 0 0 10 0.082 0.739 0.073 17.220 2.534 0 0 0 10 0.644 0.060 0.528 18.804 2.645 0 0 0 0 44 0.075 0.0220 0.064 16.881 3.227 0 0 0 0 35	83.86429 -5.15104 3.0528 0.3763		0.3763		3.437	0.332	0.807	0.320	19.683	3.250			0 0	0			0
0.084 0.699 0.082 17.490 3.034 0 0 0 0 0 10 0 0 0 0 0 0 0 0 0 0 0 0 0 0 0 0 0 0 0 0 0 0 0 0 0 0 0 0 0 0 0 0 0 0 0 0 0 0 0 0 0 0 0 0 0 0 0 0 0 0 0 0 0 0 0 0 0 0 0 0 0 0 0 0 0 0 0 0 0 0 0 0 0 0 0 0 0 0 0 0 0 0 0 0 0 0 0 0 0 0 0 0 0 0 0	83.89748 -5.14633 2.7309 0.1488		0.1488		1.071	0.138	0.133	0.125	18.102	2.919			0 0	0		4	
0.082 0.539 0.073 17.220 2.534 0 0 0 0 0 16 0 0 16 0 0 0 0 0 0 0 0 0 0 0 0 0 0 0 0 0 0 0 0 0 0 0 0 0 0 0 0 0 0 0 0 0 0 0 0 0 0 0 0 0 0 0 0 0 0 0 0 0 0 0 0 0 0 0 0 0 0 0 0 0 0 0 0 0 0 0 0 0 0 0 0 0 0 0 0 0 0 0 0 0 0 0 0 0 0 0 0 0 0 0 0 0 0 0 0 0 0 0 0 0 0 0 0 </td <td>83.89112 -5.15166 2.5979 0.0984</td> <td></td> <td>3.0984</td> <td></td> <td>1.317</td> <td>0.094</td> <td>0.699</td> <td>0.082</td> <td>17.490</td> <td>3.034</td> <td></td> <td></td> <td>0 0</td> <td>0</td> <td></td> <td>_</td> <td></td>	83.89112 -5.15166 2.5979 0.0984		3.0984		1.317	0.094	0.699	0.082	17.490	3.034			0 0	0		_	
0.644 0.060 0.528 18.804 2.645 0 0 0 0 0 44 0.075 0.020 0.064 16.881 3.227 0 0 0 0 0 35	83.88339 -5.13497 2.6284 0.0834		0.0834		1.421	0.082	0.539	0.073	17.220	2.534			0 0	0			
0.075 0.220 0.064 16.881 3.227 0.075 35	83.81488 -5.16423 2.3039 0.7060		0907.0		1.528	0.644	090.0	0.528	18.804	2.645			0 0	0		4	
	83.82283 -5.16365 2.5409 0.0806		9080°C		1.308	0.075	0.220		16.881	3.227			0 0	0		m	

 $_{
m h}^{
m h}$ скоп-0 0 0 41 72 57 60 0 9 63 3 80 1 88 P_{μ} скоп-Cantat-Gaudin, UBC207 NGC1977 0 Cantat-Gaudin, 0 0 0 0 0 0 0 NBC501 0 0 0 0 0 0 0 0 0 0 0 0 0 0 0 0 0 0 0 0 0 0 0 0 0 0 0 0 0 0 0 0 0 Larricq KM/C 99 $\epsilon_{\rm Vr}$ 7.21 19 39.38 22.67 KM/C 2.902 2.819 2.946 2.200 2.699 3.299 2.522 3.301 2.784 2.836 3.194 1.163 15.963 20.468 6.312 14.294 15.513 18.660 4.930 6.256 9.850 17.922 15.401 11.653 6.503 18.627 17.013 *G*, mag 0.0900.265 0.342 0.065 0.020 0.0400.082 0.132 0.035 0.030 0.105 0.727 0.102 0.054 0.024 0.196 0.082 0.272 0.061 0.031 $\epsilon_{\mu\delta}$ -0.0250.723 -1.5390.778 -1.383-0.1201.202 2.455 мсд/год -0.038-0.137-0.635-0.040-0.879-1.299-0.51028.811 -1.599-1.095-0.307-0.6610.035 0.023 0.063 0.029 0.315 960.0 0.154 0.072 0.0390.3900.110 0.119 0.768 0.077 0.367 0.037 0.144 0.221 0.171 0.091 $\epsilon_{\mu\alpha}$ 0.412 0.660 3.718 2.249 1.410 0.9981.688 3.024 1.690 2.353 1.025 0.712 1.270 -0.0840.898 2.118 мсд/год 0.717 1.391 0.787 3.461 2.301 0.0992 0.0300 0.1119 0.1256 0.0239 0.0804 0.03880.0675 3.4856 0.2515 2.7902 0.4165 2.5549 0.0126 0.0431 ϵ_{π} , MCI 2.5764 2.5872 3.8347 2.5297 2.5207 2.5297 2.4233 2.3116 3.2255 2.6013 2.5184 2.6072 2.6319 2.7767 2.5347 3.5187 2.4300 2.5578 2.6688 2.5027 3.5035 2.6451 2.7501 я, ИСД -5.14445 -5.15077-5.16079-5.15549-5.15884-5.15526-5.15474-5.14397-5.14777-5.12989-5.12952-5.14386-5.13246-5.13257-5.13827-5.13476-5.11754-5.12994-5.14980-5.15529-5.14189-5.15188-5.13236град ó, 83.84313 83.83912 83.85776 83.84336 83.86582 83.84356 83.83940 83.83990 83.80552 83.81478 83.81734 83.81504 83.80544 83.82697 83.76303 83.77458 83.81113 83.85035 83.85719 83.85857 83.85642 83.85690 83.85954 83.85710 83.87096 83.82023 83.83611 83.81202 83.84401 209528905962364544* 3209528493645507200* 209528905962364160* 3209528940322103424* 3209529146478270976* 3209528493645506048 3209529009039304704 3209528493645505920 209528905962363904 3209528523709076864 209528665444202240 3209528905960092160 209528940319836416 3209528489348781056 3209528493643267328 3209528523708699392 3209528528005247488 209528562364982912 209528901666689024 209529077761055232 3209528528005247104 3209528528005247616 3209528734163677056 209528768523413248 209528871602627200 209528901666688512 209529112120792320 209528699801711232 ID GDR3

	D
	⇌
	-
- !	т:
- 5	
- 5	Ų
- 3	¥
- 1	$^{\sim}$
- 1	≂
,	~
- 3	Ų,
	╗
-	7
	⋍
3	\Box
\mathbf{r}	=
ь	_
_	_
	_
. 1	
1	
1	
	1.10жение 1
1	1.10жение 1

α, град 83.81993 - 83.84116 - 83.93371 - 83.93541 - 83.95690 - 83.95690 - 83.95692 - 83.95692 - 83.95692 - 83.95692 - 83.95692 - 83.95692 - 83.95692 - 83.95692 - 83.95692 - 83.95692 - 83.95692 - 83.95692 - 83.95692 - 83.95692 - 83.95692 - 83.95692 - 83.95692 - 83.95692 - 83.957789 - 83.97789 - 83.97789 - 83.97789		$\mu_{\alpha},$:							, uib		6		
83.81993 -5.12424 83.84116 -5.11718 83.9371 -5.14378 83.93692 -5.12547 83.93541 -5.12547 83.96290 -5.11946 83.95692 -5.11946 83.95692 -5.11080 83.95692 -5.10080 83.95692 -5.10080 83.95692 -5.10080 83.95692 -5.10080 83.91262 -5.11626 83.92103 -5.10703 83.93147 -5.09483 83.97789 -5.10773		мсд/год	εμα	μδ, мсд/год	εμδ	<i>G</i> , mag	BP- RP, mag	$V_{ m r}$	EVr.	NBC621	UBC207	NGC1977 Cantat-Gaud	UBC207	Р _µ скоп- ление 1, % ление 2, %	мение 2, %
83.84116 –5.11718 83.93371 –5.14378 83.93692 –5.12138 83.96290 –5.11915 83.94809 –5.11946 83.95692 –5.11080 83.95692 –5.11086 83.95692 –5.11086 83.95692 –5.11086 83.95692 –5.11086 83.95692 –5.11086 83.91062 –5.11626 83.92103 –5.11626 83.93147 –5.10889 83.97789 –5.10773		0.483 (0.267	0.613	0.228	19.157	3.255			0 0	0			7 63	3
83.93371 -5.14378 83.93692 -5.12138 83.93541 -5.12547 83.96290 -5.11915 83.94809 -5.11946 83.95692 -5.11080 83.95692 -5.11786 83.91262 -5.11786 83.92103 -5.10703 83.92103 -5.10889 83.93147 -5.09483 83.97789 -5.10773		0.345 (0.014	0.054	0.012	13.735	2.048			0 0	0		- 7	20 41	1
* 83.93692 –5.12138 * 83.93541 –5.12547 83.94809 –5.11915 83.95692 –5.11946 83.95692 –5.11080 83.95692 –5.11786 83.91262 –5.11786 83.92103 –5.11626 83.92103 –5.10703 83.92103 –5.10703 83.93147 –5.09483	_	1.339	0.111	-0.010	0.094	17.914	1.607			0 0	0		·v	53 72	7
* 83.93541 -5.12547 83.96290 -5.11915 83.94809 -5.11946 83.95692 -5.10080 83.91262 -5.11786 83.89811 -5.11626 83.92103 -5.10703 83.90702 -5.10889 83.90702 -5.10889 83.97789 -5.10773	248 0.0124	1.406	0.011	0.135	0.010	12.331	1.715	25.11	5.88	0 0	0		4	41 8	80
* 83.96290	862 0.0482	0.463	0.043	1.076	0.036	14.947	2.440			0 0	0			1	45
83.94809 –5.11946 83.95692 –5.10080 83.91262 –5.11786 83.89811 –5.11626 83.92103 –5.10703 83.90702 –5.10889 83.93147 –5.09483 83.97789 –5.10773	133 0.1115	0.356 (0.104	1.366	0.091	13.565	2.247			0 0	0			0 26	9
83.95692 –5.10080 83.91262 –5.11786 83.89811 –5.11626 83.92103 –5.10703 83.90702 –5.10889 83.93147 –5.09483 83.97789 –5.10773	357 0.6689	0.501	0.582	-5.036	0.550	20.355	2.149			0 0	0				0
83.91262 –5.11786 83.89811 –5.11626 83.92103 –5.10703 83.90702 –5.10889 83.93147 –5.09483 83.97789 –5.10773	0.0289	4.342	0.027	1.965	0.023	15.387	1.825			0 0	0			0	0
83.92103 –5.11626 83.92103 –5.10703 83.90702 –5.10889 83.93147 –5.09483 83.97789 –5.10773	571 0.0377	0.416	0.035	-0.024	0.031	15.481	2.670			0 0	0				43
83.92103 –5.10703 83.90702 –5.10889 83.93147 –5.09483 83.97789 –5.10773	548 0.0438	1.189	0.041	0.884	0.036	16.102	2.500			0 0	0			5 87	7
83.90702 –5.10889 83.93147 –5.09483 83.97789 –5.10773	0.0398	0.881	0.037	1.129	0.034	15.611	2.702			0 0	0			2 64	4
83.93147 —5.09483 83.97789 —5.10773	923 0.0470	1.165	0.045	0.405	0.040	15.760	2.176			0 0	0		7	23 98	∞
-5.10773	745 0.0268	0.432	0.027	0.827	0.021	14.539	1.925			0 0	0			3 54	4
	397 0.0793	1.874	920.0	0.746	0.064	17.161	3.663			0 0	0			99 9	9
3209530039833724032 83.97586 -5.09596 2.6775	775 0.0553	0.931	0.052	0.831	0.045	16.546	2.841			0 0		_	1.0	98 9	9
3209530108553199488 84.00136 -5.08328 2.6722	722 0.0391	1.735 0	0.038	-0.218	0.032	15.693	2.884			0 0	0		ν.	57 41	1
3209530138616229888 84.01178 -5.07324 2.5835	335 0.2490	1.522	0.230	0.304	0.200	19.102	3.839			0 0	0		7	27 83	3
3209530138617292544 84.01481 -5.07923 1.7793		3.419 0	0.556	-3.443	0.514	20.380	2.231			0 0	0			0	0
3209530211632414208 83.99976 -5.07524 2.4858	858 0.0994	0.975 0	0.094	0.828	0.078	17.550	4.086			0 0	0			88 9	∞
3209530276057350656 83.96963 -5.08558 2.5874	374 0.0755	0.403 (0.078	0.600	0.064	15.806	2.181			0 0	0				99
3209530280351892096 83.96928 -5.08489 2.5528	528 0.0205	0.390	0.020	0.483	0.018	11.346	1.099			0 0	0			8 55	5
3209530379132223360 83.97537 -5.07069 2.4531	531 0.0176	2.156 (0.017	1.092	0.014	13.565	1.610			0 0	0			1 26	9
3209530379132262784 83.98228 -5.07714 1.9449	149 0.4781	1.065	0.426	2.608	0.386	19.993	1.557			0 0	0			0	1
3209530383431106688* 83.97489 -5.07097 3.1350	350 0.1024	1.901	0.106	1.356	0.080	14.447	2.335			0 0	0			0 28	∞
3209530520870064896 83.89283 -5.10589 2.5792	792 0.0228	1.395	0.020	0.792	0.018	9.343	0.012			0 0	0			7 87	7
3209530550931890176 83.90403 -5.09064 2.7812	812 0.2306	1.679	0.208	0.169	0.186	18.805	2.869			0 0	0		<u></u> со	33 66	9
3209530727026200448* 83.90281 -5.07071 1.9801	301 0.1814	0.699	0.163	0.578	0.139	14.729	2.279			0 0	0		_	10 81	1
3209530727028493056 83.90252 -5.07744 2.5511	511 0.0456	1.646	0.042	0.803	0.036	15.259	2.219			0 0	0			9	7
3209530727028493184 83.90214 -5.07780 2.6552	552 0.0567	1.634	0.052	0.709	0.045	15.699	0			0 0	0			9	9

 $_{
m h}^{
m h}$ скоп-0 0 29 30 P_{μ} скоп-Cantat-Gaudin, UBC207 NGC1977 Cantat-Gaudin, 0 0 0 0 0 0 0 NBC501 0 0 0 0 0 0 0 0 0 0 0 0 0 0 0 0 0 0 0 0 0 0 0 0 0 0 0 0 0 0 0 0 0 0 0 0 Larricq KM/C 4.17 0.38 36 $\epsilon_{\rm Vr}$ 15. -6.8280.26 KM/C 17.60 3.190 3.056 3.604 1.620 2.006 2.790 2.565 0.8293.467 3.377 2.419 3.707 1.755 3.016 2.100 2.661 3.047 10.304 4.339 4.752 0.146 8.770 5.542 692.9 5.355 17.748 19.713 3.808 9.923 9.729 16.171 G, mag 0.0940.023 0.306 0.043 0.048 0.025 0.085 0.0530.332 0.162 0.082 0.360 0.313 0.124 0.023 0.012 0.227 0.017 0.051 0.011 0.111 $\epsilon_{\mu\delta}$ 1.481 0.749 0.719 0.655 0.109 0.202 7.173 6.129 0.671 1.791 -0.151-2.312 -0.737-1.650-3.730мсд/год -0.0260.393 0.0190.213 0.055 0.026 0.105 0.029960.0 0.013 090.0 0.102 0.343 0.1490.0260.995 0.366 0.0500.261 $\epsilon_{\mu\alpha}$ -0.5291.440 0.2590.404 1.580 0.263 0.127 7.622 1.313 3.493 3.065 2.559 0.530 1.087 мсд/год 1.302 1.267 -6.0881.851 1.977 -5.4211.901 0.1548 0.1310 0.2126 2.6629 0.5224 0.1525 0.0215 0.0604 0.0323 0.0700 3.5533 0.4085 0.4911 0.0294 2.6976 0.1120 2.6840 0.1060 2.5447 0.0139 0.0291 ϵ_{π} , MCI 2.6975 3.5918 2.8156 2.6496 1.7914 2.3819 1.9289 3.3738 2.7518 2.6615 3.1592 2.5678 4.5975 2.6091 2.5248 2.4699 1.7946 2.9912 2.5588 3.1867 -5.08216-5.10704-5.09793-5.05209-5.04294-5.02763-5.04362-5.02468-5.01105-5.09168-5.07678-5.07431-5.05224-5.05931-5.05926-5.06453-5.05809-5.13684-5.13794-5.12659-5.12040-5.09451-5.09454-5.08578-5.09269-5.11309-5.12141град ó, 83.89094 83.90916 83.89017 83.91675 83.75444 83.88125 83.89135 83.92209 83.92389 83.92942 83.97315 83.95408 83.93627 83.76792 83.76824 83.76836 83.78520 83.73833 83.75386 83.76422 83.81809 83.90087 83.95161 83.78811 83.74721 83.75281 83.81100 83.89171 α, град 3209530727028493568* 3209530830107709696* 209532165840788480* 1209532101417942656* 3209532135777678208* 209531792180390272* 209531650444835840 3209530933184633856 209532097122297984 (209532238856987520 3209530963251010432 3209531036263844992 3209531173705090048 209531242424627328 3209531517302471808* 209531586021948672 209531654739209216 209531757820652800 209531895259520512 209532135777678336 3209532135778560256 3209532371997088256 3209531031968260736 209531379863520512 209531723458682752 3209531135047466240 3209531139345352192 3209531036266138112 209531311144041856 ID GDR3

лоджение	
_	l
2)
2	١,
Ė	ľ
	1
_	
	٠
ď	•
Кение	
eHI.	
кент	
пожень	
кент	

D05522400C65016480 S3.22387 -5.06518 2.5661 0.0382 1.320 0.038 -6.020 0.038 0.045 0.039 0.039 0.039 0.039 0.039 0.039 0.039 0.039 0.039 0.039 0.039 0.039 0.039 0.039 0.039 0.039 0.039 0.039 0.039 0.039 0.039 0.039 0.039 0.039 0.039 0.039 0.039 0.039 0.039 0.039 0.039 0.039 0.039 0.039 0.039 0.039 0.039 0.039 0.039 0.039 0.039 0.039 0.039 0.039 0.039 0.039 0.039 0.039 0.039 0.039 0.039 0.039 0.039 0.039 0.039 0.039 0.039 0.039 0.039 0.039 0.039 0.039 0.039 0.039 0.039 0.039 0.039 0.039 0.039 0.039 0.039 0.039 0.039 0.039 0.039 0.039 0.039 0.039 0.039 0.039 0.039 0.039 0.039 0.039 0.039 0.039 0.039 0.039 0.039 0.039 0.039 0.039 0.039 0.039 0.039 0.039 0.039 0.039 0.039 0.039 0.039 0.039 0.039 0.039 0.039 0.039 0.039 0.039 0.039 0.039 0.039 0.039 0.039 0.039 0.039 0.039 0.039 0.039 0.039 0.039 0.039 0.039 0.039 0.039 0.039 0.039 0.039 0.039 0.039 0.039 0.039 0.039 0.039 0.039 0.039 0.039 0.039 0.039 0.039 0.039 0.039 0.039 0.039 0.039 0.039 0.039 0.039 0.039 0.039 0.039 0.039 0.039 0.039 0.039 0.039 0.039 0.039 0.039 0.039 0.039 0.039 0.039 0.039 0.039 0.039 0.039 0.039 0.039 0.039 0.039 0.039 0.039 0.039 0.039 0.039 0.039 0.039 0.039 0.039 0.039 0.039 0.039 0.039 0.039 0.039 0.039 0.039 0.039 0.039 0.039 0.039 0.039 0.039 0.039 0.039 0.039 0.039 0.039 0.039 0.039 0.039 0.039 0.039 0.039 0.039 0.039 0.039 0.039 0.039 0.039 0.039 0.039 0.039 0.039 0.039 0.039 0.039 0.039 0.039 0.039 0.039 0.039 0.039 0.039 0.039 0.039 0.039 0.039 0.039 0.039 0.039 0.039 0.039 0.039 0.039 0.039 0.039 0.039 0.039 0.039 0.039 0.039 0.039	Приложение 1. Продолжение	тжение																
83.82878 -5.06518 2.5661 0.038 0.446 -0.12 0.345 0.446 0.04 0.04 0.04 0.04 0.04 0.04 0.04 0.04 0.04 0.04 0.04 0.04 0.04 0.04 0.04 0.04 0.04 0.04 0.04 0.04 0.04 0.04 0.04 0.04 0.04 0.04 0.04 0.04 0.04 0.04 0.04 0.04 0.04 0.04 0.04 0.04 0.04 0.04 0.04 0.04 0.04 0.04 0.04 0.04 0.04 0.04 0.04 0.04 0.04 0.04 0.04 0.04 0.04 0.04 0.04 0.04 0.04 0.04 0.04 0.04 0.04 0.04 0.04 0.04 0.04 0.04 0.04 0.04 0.04 0.04 0.04 0.04 0.04 0.04 0.04 0.04 0.04 0.04 0.04 0.04 0.04 0.04 0.04 0.04 </td <td>ID GDR3</td> <td>а, град</td> <td>8, град</td> <td>π, мсд</td> <td></td> <td>$\mu_{lpha},$ ΜCД/ΓΟД</td> <td></td> <td>μδ, мсд/год</td> <td>εμδ</td> <td><i>G</i>, mag</td> <td>BP- RP, mag</td> <td>$V_{ m r}$</td> <td>ε_{Vr}, κm/c</td> <td></td> <td></td> <td></td> <td></td> <td>ление 2, %</td>	ID GDR3	а, град	8, град	π, мсд		$\mu_{lpha},$ ΜCД/ΓΟД		μδ, мсд/год	εμδ	<i>G</i> , mag	BP- RP, mag	$V_{ m r}$	ε _{Vr} , κm/c					ление 2, %
83.381873 5.007798 2.5277 0.0519 1.780 0.046 -0.121 0.039 15.948 3.418 9 0 0 0 0 0 0 0 0 0 0 0 0 0 0 0 0 0 0 0 0 0 0 0 0 0 0 0 0 0 0 0 0 0 0 0 0 0 0 0 0 0 0 0 0 0 0 0 0 0 0 0 0 0 0 0 0 0 0 0 0 0 0 0 0 0 0 0 0 0 0 0 0 0 0 0 0 0 0 0 0 0 0 0 0 0 0 0 0 0 0 0 0 0	3209532410656516480	83.82587	-5.06518		0.0382	1.330	0.033	0.465	0.029	9.345	0.041			0	0 (20	96
83.81887 -5.05844 2.539 0.0271 1.422 0.034 0.934 0.020 18.04 2.500 1.504 0.0 0 0 0 0 0 0 0 0 0 0 0 0 0 0 0 0 0 0 0 0 0 0 0 0 0 0 0 0 0 0 0 0 0 0 0 0 0 0 0 0 0 0 0 0 0 0 0 0 0 0 0 0 0 0 0 0 0 0 0 0 0 0 0 0 0 0 0 0 0 0 0 0 0 0 0 0 0 0 0 0 0 0 0 0 0 0 0 0 0 0 0 0	3209532479375154688	83.78643			0.0519	1.780	0.046	-0.121	0.039	15.948	3.418			0	0 (48	44
83.81185 -5.05724 2.6405 0.131 0.103 0.134 0.116 18.009 3.837 0.104 0.104 0.104 0.104 0.104 0.104 0.104 0.104 0.020 0.114 0.020 0.114 0.020 0.114 0.020 1.131 0.020 1.131 0.020 1.131 0.020 1.131 0.020 1.131 0.020 1.131 0.020 0.030 0.030 0.030 0.030 0.030 0.030 0.030 0.030 0.030 0.030 0.030 0.030 0.030 0.030 0.030 0.030 0.030 0.030 0.030 0.030 0.030 0.030 0.030 0.030 0.030 0.030 0.030 0.030 0.030 0.030 0.030 0.030 0.030 0.030 0.030 0.030 0.030 0.030 0.030 0.030 0.030 0.030 0.030 0.030 0.030 0.030 0.030 0.030 0.030 0.030 0.030 0.030	3209532616814106112	83.81873			0.0271	1.422	0.024	0.993	0.020	15.041	2.500						3	74
8.3.70164 -5.05351 2.566 0.00407 1.318 0.019 -1.647 0.067 1.7453 3.303 -9.01 0 0 0 0 0 0 0 0 0 0 0 0 0 0 0 0 0 0 0 0 0 0 0 0 0 0 0 0 0 0 0 0 0 0 0 0 0 0 0 0 0 0 0 0 0 0 0 0 0 0 0 0 0 0 0 0 0 0 0 0 0 0 0 0 0 0 0 0 0 0 0 0 0 0 0 0 0 0 0 0 0 0 0 0 0 0 0 0 0 0 0 0 0	3209532616814947840	83.81585	-5.05724		0.1510	1.232	0.136	3.543	0.116	18.009	3.837						0	0
83.71394 -5.11064 2.5.1064 2.5.1064 2.5.1064 2.5.1064 2.5.1064 2.5.1064 2.5.1064 2.5.1064 2.5.1064 2.5.1064 2.5.1064 2.5.1064 2.5.1064 2.5.1064 2.5.1064 2.5.1064 2.5.1064 2.5.1064 2.5.1064 2.5.1064 2.5.1064 2.5.1064 2.5.1064 2.5.1064 2.5.1064 2.5.1064 2.5.1064 2.5.1064 2.5.1064 2.5.1064 2.5.1064 2.5.1064 2.5.1064 2.5.1064 2.5.1064 2.5.1064 2.5.1064 2.5.1064 2.5.1064 2.5.1064 2.5.1064 2.5.1064 2.5.1064 2.5.1064 2.5.1064 2.5.1064 2.5.1064 2.5.1064 2.5.1064 2.5.1064 2.5.1064 2.5.1064 2.5.1064 2.5.1064 2.5.1064 2.5.1064 2.5.1064 2.5.1064 2.5.1064 2.5.1064 2.5.1064 2.5.1064 2.5.1064 2.5.1064 2.5.1064 2.5.1064 2.5.1064 2.5.1064 2.5.1064 2.5.1064 2.5.1064 2.5.1064 2.5.1064 2.5.1064 2.5.1064 2.5.1064	3209532685533583360	83.81112			0.0230	1.919	0.021	0.851	0.018	14.768	1.904						4	49
83.7393 -5.10048 2.9024 0.0344 1.359 0.029 -0.801 0.025 1.551 2.807 0 0 0 0 0 0 0 0 0 0 0 0 0 0 0 0 0 0 0 0 0 0 0 0 0 0 0 0 0 0 0 0 0 0 0 0 0 0 0 0 0 0 0 0 0 0 0 0 0 0 0 0 0 0 0 0 0 0 0 0 0 0 0 0 0 0 0 0 0 0 0 0 0 0 0 0 0 0 0 0 0 0 0 0 0 0 0 0 0 0 0 0 0 0 <th< td=""><td>3209532719893243776</td><td>83.71064</td><td></td><td></td><td>0.0907</td><td>1.318</td><td>0.079</td><td>-1.647</td><td>0.067</td><td>17.453</td><td>3.303</td><td></td><td></td><td></td><td></td><td></td><td>48</td><td>0</td></th<>	3209532719893243776	83.71064			0.0907	1.318	0.079	-1.647	0.067	17.453	3.303						48	0
83.70231 -5.09693 2.5967 0.0439 0.701 0.033 0.024 15.404 2.682 0 0 0 0 0 0 0 0 0 0 0 0 0 0 0 0 0 0 0 0 0 0 0 0 0 0 0 0 0 0 0 0 0 0 0 0 0 0 0 0 0 0 0 0 0 0 0 0 0 0 0 0 0 0 0 0 0 0 0 0 0 0 0 0 0 0 0 0 0 0 0 0 0 0 0 0 0 0 0 0 0 0 0 0 0 0 0 0 0 0 0 0 0 0 0 0<	3209532754252976000	83.73393			0.0344	1.359	0.029	-0.801	0.026	15.551	2.807						66	16
83.70510 -5.07724 2.5770 0.0306 0.023 0.027 -0.018 0.024 15.404 2.683 0.0 0 0 0 0 0 0 0 0 0 0 0 0 0 0 0 0 0 0 0 0 0 0 0 0 0 0 0 0 0 0 0 0 0 0 0 0 0 0 0 0 0 0 0 0 0 0 0 0 0 0 0 0 0 0 0 0 0 0 0 0 0 0 0 0 0 0 0 0 0 0 0 0 0 0 0 0 0 0 0 0 0 0 0 0 0 0 0 0 0 0 0 0 0	3209532754252977408	83.72391	-5.09693		0.0439	0.701	0.038	-0.309	0.033	16.223	2.715						99	40
83.70058 -5.08320 2.5135 0.0511 1.534 0.045 -1.036 0.038 16.517 2.085 0 0 0 0 0 0 0 0 0 0 0 0 0 0 0 0 0 0 0 0 0 0 0 0 0 0 0 0 0 0 0 0 0 0 0 0 0 0 0 0 0 0 0 0 0 0 0 0 0 0 0 0 0 0 0 0 0 0 0 0 0 0 0 0 0 0 0 0 0 0 0 0 0 0 0 0 0 0 0 0 0 0 0 0 0 0 0 0 0 0 0 0 0 0 <	3209533029130883328	83.70510	-5.07724		0.0306	0.203	0.027	-0.018	0.024	15.404	2.682						17	30
83.70174 -5.08370 2.6474 0.0320 1.421 0.028 -0.233 0.025 15.107 2.192 0 0 0 0 0 0 0 0 0 0 0 0 0 0 0 0 0 0 0 0 0 0 0 0 0 0 0 0 0 0 0 0 0 0 0 0 0 0 0 0 0 0 0 0 0 0 0 0 0 0 0 0 0 0 0 0 0 0 0 0 0 0 0 0 0 0 0 0 0 0 0 0 0 0 0 0 0 0 0 0 0 0 0 0 0 0 0 0 0 0 0 0 0 0 <	3209533029130884864	83.70658			0.0511	1.534	0.045	-1.036	0.038	16.517	2.685						88	7
83.3499 -5.08188 2.4562 0.0525 1.713 0.049 -0.876 0.042 1.841 2.141 2.141 0 0 0 0 0 4 83.71112 -5.06881 2.9748 0.0650 2.898 0.057 -0.099 0.050 1.028 3.057 0 0 0 0 0 0 0 0 0 0 0 0 0 0 0 0 0 0 0 0 0 0 0 0 0 0 0 0 0 0 0 0 0 0 0 0 0 0 0 0 0 0 0 0 0 0 0 0 0 0 0 0 0 0 0 0 0 0 0 0 0 0 0 0 0 0 0 0 0 0 0 0 0 0 </td <td>3209533029130885760</td> <td>83.70174</td> <td>-5.08370</td> <td></td> <td>0.0320</td> <td>1.421</td> <td>0.028</td> <td>-0.233</td> <td>0.025</td> <td>15.107</td> <td>2.192</td> <td></td> <td></td> <td></td> <td></td> <td></td> <td>71</td> <td>52</td>	3209533029130885760	83.70174	-5.08370		0.0320	1.421	0.028	-0.233	0.025	15.107	2.192						71	52
83.771112 -5.06881 2.9748 0.0650 2.898 0.057 -0.099 0.050 16.028 3.057 9 0 0 0 0 0 4 83.771113 -5.05754 2.5773 0.0187 0.0487 0.017 -0.111 0.015 14.243 1.793 0 0 0 0 0 0 0 0 0 0 0 0 0 0 0 0 0 0 0 0 0 0 0 0 0 0 0 0 0 0 0 0 0 0 0 0 0 0 0 0 0 0 0 0 0 0 0 0 0 0 0 0 0 0 0 0 0 0 0 0 0 0 0 0 0 0 0 0 0 0 0 0 0 0	3209533029131759104*	83.69979	-5.08188		0.0525	1.713	0.049	-0.876	0.042	14.841	2.141			0	0		82	10
83.7501 -5.05754 -5.07754 0.0187 0.487 0.017 -0.111 0.015 14.243 1.793 -1.793 0.0187 0.0187 0.017 -0.111 0.015 14.243 1.793 3.812 0.0 0 0 0 0 0 0 0 0 0 0 0 0 0 0 0 0 0 0 0 0 0 0 0 0 0 0 0 0 0 0 0 0 0 0 0 0 0 0 0 0 0 0 0 0 0 0 0 0 0 0 0 0 0 0 0 0 0 0 0 0 0 0 0 0 0 0 0 0 0 0 0 0 0 0 0 0 0 0 0 0 0 0	3209533132210095616*	83.71112	-5.06881		0.0650	2.898	0.057	-0.099		16.028	3.057			0	0		4	3
83.75911 -5.07736 3.1622 0.2344 -0.405 0.207 -1.971 0.168 18.358 3.812 9 9 9 9 9 9 9 9 9 9 9 9 9 9 9 9 9 9 9 9 9 9 9 9 9 9 9 9 9 9 9 9 9 9 9 9 9 9 9 9 9 9 9 9 9 9 9 9 9 9 9 9 9 9 9 9 9 9 9 9 9 9 9 9 9 9 9 9 9 9 9 9 9 9 9 9 9 9 9 9 9 9 9 9 9 9 9 9 9 9 9 9 9 9	3209533166569829504	83.72103	-5.05754		0.0187	0.487	0.017	-0.111		14.243	1.793						33	42
83.76203 -5.05102 3.2141 0.4696 2.465 0.394 -1.280 0.367 19.873 2.937 0 0 0 0 0 0 0 0 0 0 0 0 0 0 0 0 0 0 0 0 0 0 0 0 0 0 0 0 0 0 0 0 0 0 0 0 0 0 0 0 0 0 0 0 0 0 0 0 0 0 0 0 0 0 0 0 0 0 0 0 0 0 0 0 0 0 0 0 0 0 0 0 0 0 0 0 0 0 0 0 0 0 0 0 0 0 0 0 0 0 0 0 0 0 <	3209533269649037568	83.75911			0.2344	-0.405	0.207	-1.971		18.358	3.812						1	0
83.375808 -5.01202 2.9584 0.1099 0.776 0.093 -1.049 0.082 17.733 3.311 9 0 0 0 0 0 0 0 0 0 0 0 0 0 0 0 0 0 0 0 0 0 0 0 0 0 0 0 0 0 0 0 0 0 0 0 0 0 0 0 0 0 0 0 0 0 0 0 0 0 0 0 0 0 0 0 0 0 0 0 0 0 0 0 0 0 0 0 0 0 0 0 0 0 0 0 0 0 0 0 0 0 0 0 0 0 0 0 0 0 0 0 0 0	3209533372725529728	83.76203			0.4696	2.465	0.394	-1.280	0.367	19.873	2.937						19	0
83.8190 -5.04139 2.5722 0.1495 1.682 0.132 -1.241 0.117 18.226 3.559 0 0 0 0 0 0 0 0 0 0 0 0 0 0 0 0 0 0 0 0 0 0 0 0 0 0 0 0 0 0 0 0 0 0 0 0 0 0 0 0 0 0 0 0 0 0 0 0 0 0 0 0 0 0 0 0 0 0 0 0 0 0 0 0 0 0 0 0 0 0 0 0 0 0 0 0 0 0 0 0 0 0 0 0 0 0 0 0 0 0 0 0 0 0 <t< td=""><td>3209533780747351296</td><td>83.75808</td><td></td><td></td><td>0.1099</td><td>0.776</td><td>0.093</td><td>-1.049</td><td>0.082</td><td>17.733</td><td>3.311</td><td></td><td></td><td></td><td></td><td></td><td>73</td><td>7</td></t<>	3209533780747351296	83.75808			0.1099	0.776	0.093	-1.049	0.082	17.733	3.311						73	7
83.83485 -5.04073 2.6053 0.0315 1.742 0.028 0.025 15.440 2.995 0 0 0 0 0 0 46 83.81101 -5.04029 2.6557 0.0429 2.153 0.037 -0.743 0.032 16.057 2.819 0 0 0 0 0 0 0 0 0 0 0 0 0 0 0 0 0 0 0 0 0 0 0 0 0 0 0 0 0 0 0 0 0 0 0 0 0 0 0 0 0 0 0 0 0 0 0 0 0 0 0 0 0 0 0 0 0 0 0 0 0 0 0 0 0 0 0 0 0 0 0 0 0 0 0	3209534128640307840	83.83190			0.1495	1.682	0.132	-1.241	0.117	18.226	3.559						69	3
83.81101 -5.04029 2.6557 0.0429 2.153 0.037 -0.743 0.032 16.057 2.819 9 0 0 0 0 46 83.81138 -5.04106 2.6064 0.2412 1.174 0.209 -0.041 0.181 19.041 3.719 0 0 0 0 0 0 0 0 0 0 0 0 0 0 0 0 0 0 0 0 0 0 0 0 0 0 0 0 0 0 0 0 0 0 0 0 0 0 0 0 0 0 0 0 0 0 0 0 0 0 0 0 0 0 0 0 0 0 0 0 0 0 0 0 0 0 0 0 0 0 0 0 0 0 0 </td <td>3209534128642592896</td> <td>83.83485</td> <td></td> <td></td> <td>0.0315</td> <td>1.742</td> <td>0.028</td> <td>0.288</td> <td>0.025</td> <td>15.440</td> <td>2.995</td> <td></td> <td></td> <td>0</td> <td>0 (</td> <td></td> <td>24</td> <td>99</td>	3209534128642592896	83.83485			0.0315	1.742	0.028	0.288	0.025	15.440	2.995			0	0 (24	99
83.81138 -5.04106 2.6664 0.2412 1.174 0.209 -0.041 0.181 19.041 3.719 0 0 0 0 0 55 83.86016 -5.01586 3.4740 0.0992 0.256 0.091 -1.395 0.078 17.608 2.759 0 0 0 0 0 0 24 83.88560 -5.03607 2.5821 0.1450 0.1162 0.116 0.116 1.8206 3.264 0 0 0 0 0 0 24 83.890168 -5.02104 2.5859 0.0456 1.057 0.039 0.254 15.338 0 0 0 0 0 0 0 0 0 0 0 0 0 0 0 0 0 0 0 0 0 0 0 0 0 0 0 0 0 0 0 0 0 0 0 0 0	3209534163002212096	83.81101			0.0429	2.153	0.037	-0.743	0.032	16.057	2.819			0	0 (46	7
83.86016 -5.01586 3.4740 0.0992 0.256 0.091 -1.395 0.078 17.608 2.759 0.078 0.078 17.608 2.759 0.078 0.078 17.608 2.759 0.078 0.078 0.011 18.206 3.264 0.078 0.012 1.1162 0.111 18.206 3.264 0.088 0.089 0.0254 0.039 0.254 0.035 1.570 0.039 0.254 0.035 1.538 0.254 1.538 0.254 0.034 0.0534 1.538 0.254 0.054 0.054 0.056 0.056 0.056 0.056 0.056 0.056 0.056 0.056 0.056 0.056 0.056 0.056 0.056 0.056 0.056 0.056 0.056 0.056 0.056 0.056 0.056 0.056 0.056 0.056 0.056 0.056 0.056 0.056 0.056 0.056 0.056 0.056 0.056 0.056 0.056 0.056 0.056 0.056 0.056	3209534163002212224	83.81138	-5.04106		0.2412	1.174	0.209	-0.041	0.181	19.041	3.719						55	72
83.88560 -5.03607 2.5821 0.1450 0.1162 0.1116 18.206 3.264 0 0 0 0 0 0 0 0 0 0 0 0 0 0 0 0 0 0 0 0 0 0 0 0 0 0 0 0 0 0 0 0 0 0 0 0 0 0 0 0 0 0 0 0 0 0 0 0 0 0 0 0 0 0 0 0 0 0 0 0 0 0 0 0 0 0 0 0 0 0 0 0 0 0 0 0 0 0 0 0 0 0 0 0 0 0 0 0 0 0 0 0 0 0 0 0 0 <td>3209534261782730368</td> <td>83.86016</td> <td></td> <td></td> <td>0.0992</td> <td>0.256</td> <td>0.091</td> <td>-1.395</td> <td>0.078</td> <td>17.608</td> <td>2.759</td> <td></td> <td></td> <td></td> <td></td> <td></td> <td>24</td> <td>_</td>	3209534261782730368	83.86016			0.0992	0.256	0.091	-1.395	0.078	17.608	2.759						24	_
83.90168 -5.02104 2.5859 0.0456 1.057 0.039 0.254 0.035 13.036 1.570 24.28 9.88 9.88 9.88 9 9 31 83.90193 -5.02087 2.4858 0.1080 0.591 0.503 1.387 0.534 15.338 0 9 9 9 9 9 9 9 9 9 9 9 9 9 9 9 9 9 9 9 9 9 9 9 9 9 9 9 9 9 9 9 9 9 9 9 9 9 9 9 9 9 9 9 9 9 9 9 9 9 9 9 9 9 9 9 9 9 9 9 9 9 9 9 9 9 9 9 9 9 9 9 9 9	3209534364862893952	83.88560			0.1450	1.149	0.122	1.162	0.111	18.206	3.264						7	99
83.90193 -5.02087 2.4858 0.1080 0.534 15.33 0.534 15.338 0 0 0 0 0 0 0 0 0 0 0 0 0 0 0 0 0 0 0 0 0 0 0 0 0 0 0 0 0 0 0 0 0 0 0 0 0 0 0 0 0 0 0 0 0 0 0 0 0 0 0 0 0 0 0 0 0 0 0 0 0 0 0 0 0 0 0 0 0 0 0 0 0 0 0 0 0 0 0 0 0 0 0 0 0 0 0 0 0 0 0 0 0 0 0 0 0 0 0 0 0 0 0 0 0 0 0 0 0<	3209534399221611648*	83.90168			0.0456	1.057	0.039	0.254	0.035	13.036	1.570	24.28	9.88				31	92
83.89014 —5.01170 2.5902 0.0768 1.051 0.066 0.196 0.0196 0.058 14.532 2.264 0 0 0 0 0 35 83.91054 -4.99477 4.7457 0.4021 3.032 0.364 -1.537 0.325 15.905 2.949 0 0 0 0 0 2 83.86738 -5.01378 2.4455 0.0366 1.934 0.037 0.157 -0.192 0.134 18.506 3.805 0 0 0 0 0 0 0 0 0 0 0 0 0 0 0 0 0 0 0 0 0 0 0 0 0 0 0 0 0 0 0 0 0 0 0 0 0 0 0 0 0 0 0 0 0 0 0 0 0 0 0 0 0 0 0 0 0 0 0 0 0 0 0 <td< td=""><td>3209534403518194432*</td><td>83.90193</td><td>-5.02087</td><td></td><td>0.1080</td><td>0.591</td><td>0.503</td><td>1.387</td><td>0.534</td><td>15.338</td><td>0</td><td></td><td></td><td></td><td></td><td></td><td>0</td><td>34</td></td<>	3209534403518194432*	83.90193	-5.02087		0.1080	0.591	0.503	1.387	0.534	15.338	0						0	34
83.91054 -4.99477 4.7457 0.4021 3.032 0.364 -1.537 0.325 15.905 2.949 0 0 0 0 0 0 0 0 0 0 0 0 0 0 0 0 0 0 0 0 0 0 0 0 0 0 0 0 0 0 0 0 0 0 0 0 0 0 0 0 0 0 0 0 0 0 0 0 0 0 0 0 0 0 0 0 0 0 0 0 0 0 0 0 0 0 0 0 0 0 0 0 0 0 0 0 0 0 0 0 0 0 0 0 0 0 0 0 0 0 0 0 0 0 0 0 0 0 0 0 0 0 0 0 0 0	3209534472239972608*	83.89014			0.0768	1.051	990.0	0.196	0.058	14.532	2.264						35	88
83.86738 -5.01378 2.4455 0.0366 1.934 0.033 0.787 0.029 15.568 2.817 0 0 0 0 0 0 0 0 0 0 0 0 0 0 0 0 0 0 0	3209534609678988416*	83.91054			0.4021	3.032	0.364	-1.537	0.325	15.905	2.949						7	0
83.80397 -5.03577 2.3971 0.1801 1.591 0.157 -0.192 0.134 18.506 3.805 0 0 0 0 0 0 62	3209534644038666112	83.86738			0.0366	1.934	0.033	0.787		15.568	2.817						5	50
	3209534914618707712	83.80397			0.1801	1.591	0.157	-0.192		18.506	3.805						62	49

 $_{
m h}^{
m h}$ скоп-0 0 0 0 0 85 39 89 87 81 1 89 34 78 86 0 0 7 7 7 9 9 0 0 0 13 ление 1, % 16 50 29 16 0 0 20 20 5 87 46 ∞ 4 22 56 15 6 88 33 Cantat-Gaudin, UBC207 NGC1977 0:1 0.1 0.1 Cantat-Gaudin, 0 0 0 0 0 0 0 0 0 0 NBC501 0 0 0 0 0 0 0 0 0 0 0 0 0 0 0 0 0 0 0 0 0 0 0 0 0 0 0 0 0 0 0 Larricq KM/C $\epsilon_{\rm Vr}$ KM/C 3.585 2.864 3.243 3.030 3.342 3.278 3.045 2.830 3.439 3.314 2.154 1.910 3.647 2.820 2.601 2.351 20.490 20.203 16.362 5.488 16.433 929.91 20.843 15.743 19.658 16.396 6.857 18.916 17.849 8.322 6.357 18.772 8.122 17.425 17.837 18.661 *G*, mag 0.0430.335 0.5420.046 0.038 0.0490.043 0.010 980.0 0.162 0.183 0.024 0.162 0.091 0.128 0.038 0.153 1.108 0.102 $\epsilon_{\mu\delta}$ 0.010 0.923 -0.8800.743 0.948 -1.956 -1.530-1.1450.840 0.483 926.0 0.903 -1.074-0.970 -0.428мсд/год -0.5510.097 0.0460.208 0.049 0.049 0.0500.075 0.3820.596 0.054 0.059 0.027 0.044 090.0 0.175 1.150 0.107 0.171 0.141 $\epsilon_{\mu\alpha}$ 1.454 1.259 1.405 1.358 2.065 17.148 2.026 1.180 1.947 2.146 1.325 0.988 1.667 1.184 -3.0143.509 1.123 1.463 1.725 1.606 мсд/год 1.171 -0.0350.437 -6.0501.451 3.151 0.2123 0.1136 0.0662 0.0567 1.4336 0.11630.4483 0.7515 2.6090 0.0512 0.2344 0.0308 0.0516 0.03862.7215 0.1047 2.5912 0.1236 2.7664 0.0611 2.6682 0.0857 ϵ_{π} , MCI 2.5340 3.2041 2.4955 2.6613 3.3402 2.5511 2.4999 2.6829 2.6726 2.4897 2.5720 2.5746 2.5365 2.9640 1.6960 2.7217 2.5525 2.4903 2.7803 2.5372 2.5629 2.0798 3.4999 я, ИСД -5.02955-5.02016-4.96309 -5.00930 -5.08938-5.07209-5.06913 -5.06919-5.02885-5.01024-4.97618 -4.95576 -5.09919-5.08805-5.06815-4.99514-4.99485 -4.99110-4.98596-4.95598-4.95754-4.96724-4.96862-4.95511 -5.08811-5.07465-4.96867-4.94681-4.94177град ó, 83.65903 83.80333 83.81444 83.64239 83.81475 83.78952 83.86834 83.88003 83.85700 83.85022 83.64230 83.61699 83.66069 83.60314 83.63267 83.62446 83.62334 83.82749 83.84538 83.87747 83.83651 83.81840 83.81847 83.82147 83.84713 83.84037 83.81501 α, град 209535704894920448 209535704894920064 209535777909902976 3209535945409984896 209535984065460608 209538904646153344 3209538904646238848 3209535533095156992 209535842332803584 209535915348846976 209538801564337920 3209534918916455296 3209534948978451200 3209535125074880384 3209535296873574272 3209535365593047424 3209535812269642624 209535812269643264 209535880989110784 209538831630672128 3209539145164326656 209539179524061952 209539179524062720 3209539179524063488 3209535125074880896 3209535159434616192 3209535601812562176 3209534953276314112 ID GDR3

40	
\simeq	
Ξ	
- 1-	
_	
∙ 0	
- 12	
$\overline{}$	
лже	
-	
Ж	
$^{\circ}$	
ď	
$\overline{}$	
_	
_	
_	
1.	
<u>-</u>	
e 1. I	
ие 1. I	
ие 1.	
ние 1.	
ение 1.	
кение 1. 1	
жение 1.	
жение 1. I	
южение 1.	
ложение 1. 1	
ложение 1	
ложение 1	

Приложение 1. Продолжение	тжение																	
ID GDR3	α, град	δ, град	π, мсд	$arepsilon_{\pi},$ MCA	$\mu_{lpha},$ мсд/год	εμα	µδ, мсл/год	$\epsilon_{\mu\delta}$	G, mag	BP- RP, mag	$V_{ m r}$	εν _ι , κα/c	NBC621	UBC207	Cantat-Gaudin, NGC1977	Cantat-Gaudin, UBC207	ление 1, % ление 1, %	Р _µ скоп- ление 2, %
3209539282603274752	83.62345	-5.05204	2.3686	0.0854	2.014	0.075	0.322	0.063	17.260	2.406			0 0					45
3209540102941013888	83.61105	-5.03402	2.1532	0.2628	-4.169	0.228	-19.974	0.195	18.719	3.060			0 0	0			0	0
3209540175956476800	83.58206	-5.04157	2.3602	0.0475	21.736	0.040	-12.803	0.034	16.262	2.783			0 0				0	0
3209540175956478464	83.56912	-5.04348	4.1011	0.0242	12.835	0.020	-28.758	0.018	14.870	1.832			0 0				0	0
3209540206019871232	83.54485	-5.03970	2.5850	0.1358	2.222	0.111	-0.120	0.100	18.041	3.255			0 0				25	21
3209540240380356352	83.56480	-5.03097	1.6861	1.2701	3.279	1.023	-0.538	968.0	20.621	2.278			0 0	0			-	0
3209540309099093760	83.59185	-5.02582	2.6894	0.1213	1.684	0.125	-0.224	0.095	17.648	0			0 0				09	43
3209540313395426176	83.59207	-5.02627	2.5403	0.0944	1.734	0.080	-0.058	0.065	17.055	3.465			0 0				46	20
3209543165253717376	83.53705	-5.02834	2.5563	0.0249	1.248	0.022	0.081	0.018	14.897	2.449			0 0				45	81
3209543337049774720	83.57026	-5.00300	2.4782	0.7160	5.559	0.554	-4.274	0.523	20.300	2.506			0 0	0			0	0
3209543371412142720	83.55742	-5.00113	2.4693	0.1813	1.114	0.151	0.398	0.132	18.417	3.478			0 0	0			23	86
3209543470199515776	83.53629	-5.00261	3.0419	1.7019	-0.181	1.501	-2.629	1.276	20.832	1.940			0 0	0			0	0
3209543607639389056	83.54477	-4.98383	2.2812	0.5435	3.863	0.428	-3.431	0.387	19.978	2.621			0 0	0			0	0
3209543646290052480	83.51977	-4.98676	2.5434	0.0693	1.656	090.0	-0.215	0.050	16.910	3.479			0 1	0	1.0		61	44
3209544299125081728	83.51177	-4.98576	4.2432	1.6623	-11.504	1.584	20.289	1.366	20.802	2.312			0 0	0			0	0
3209544432268375296	83.53193	-4.96343	2.1377	0.5514	-0.718	0.485	-4.853	0.451	20.054	2.406			0 0	0			0	0
3209544500992542976	83.52005	-4.95878	1.9187	0.8041	0.426	0.648	-0.895	0.642	20.452	1.710			0 0	0			48	7
3209544505280881536	83.51521	-4.95592	3.3334	0.3303	1.729	0.286	0.683	0.259	19.457	3.404			0 0	0			6	69
3209544814521148416*	83.67520	-5.07548	2.5003	0.1873	0.276	0.164	0.915	0.134	17.846	3.560			0 0	0			_	39
3209544883238493952	83.66143	-5.06825	2.7965	0.4404	1.614	0.374	-1.370	0.344	19.738	2.931			0 0				64	7
3209544917600361344	83.66561	-5.05174	2.5189	0.0424	2.104	0.038	-1.067	0.032	16.039	2.850			0 0	0			46	3
3209545020679571968	83.67516	-5.04025	2.4827	9/90.0	1.643	990.0	-0.821	0.056	17.017	2.979			0 0	0			87	12
3209545055039401600*	83.68943	-5.03551	4.6479	0.7009	0.919	0.663	0.115	0.533	14.897	2.278			0 0				38	80
3209545085102536192	83.64362	-5.05192	2.5233	0.0228	1.308	0.019	-1.503	0.016	10.218	0.372			0 0				09	_
3209545089399054208	83.65144	-5.04844	4.0062	0.7867	-1.666	0.624	10.647	0.579	20.494	2.224			0 0				0	0
3209545089399056768	83.64776	-5.05741	2.6884	0.1051	1.433	0.091	1.002	0.076	17.673	3.324			0 0				3	73
3209545153822194944	83.63882	-5.04915	4.7857	0.1202	38.563	0.103	-236.767	0.086	17.864	2.809			0 0	0			0	0
3209545222542288128	83.68002	-5.03274	1.6938	0.5966	8.010	0.510	-3.536	0.471	20.264	2.008			0 0				0	0
3209545295557478784	83.66408	-5.02963	2.5730	0.0841	2.591	0.072	-0.691	0.057	16.598	3.678			0 0	0			17	2
							=					=	=					

Приложение 1. Продолжение

ление 2, % ление $^{\rm L}_{\mu}$ 1 3 3 0 26 68 34 34 0 0 34 34 22 24 28 80 4 P_{μ} скоп-5 1 3 3 60 60 77 77 67 0 1 18 47 47 46 45 33 12 0 0 0 0 32 1 Cantat-Gaudin, UBC207 NGC1977 0:1 0:1 Cantat-Gaudin, 0 0 0 0 NBC501 0 0 0 0 0 0 0 0 0 0 0 0 0 0 0 0 0 0 0 0 0 0 0 0 0 0 KM/C $\epsilon_{
m Vr}$ KM/C 2.293 2.524 3.359 2.006 2.724 2.504 3.140 3.144 3.236 1.569 3.300 1.153 1.866 6.282 4.983 18.985 5.289 15.903 13.958 20.605 18.097 20.583 16.810 15.703 15.007 15.320 20.775 3.982 17.637 17.811 *G*, mag 0.085 0.035 690.00.055 0.875 0.019 0.0480.465 0.1990.115 9/0.0 0.928 0.102 0.013 0.028 0.026 0.8840.071 $\epsilon_{\mu\delta}$ -0.793-2.032-0.530-0.0341.912 -0.275-1.1900.8610.498 -1.127-0.3000.067 -0.954 0.406 11.008 22.469 -1.177-0.644мсд/год -2.471-0.944-1.3340.045 0.058 0.525 0.044 0.088 0.0830.033 0.230 0.1680.102 0.0890.014 0.993 0.133 0.157 1.220 0.1300.031 $\epsilon_{
m m\alpha}$ 1.579 1.280 0.706 906.0 0.790 0.493 5.616 0.176 1.410 0.239 10.653 -7.143 2.339 -0.7172.296 0.917 2.074 1.999 1.083 0.4871.034 2.237 мсд/год 0.6750 2.3882 0.1067 0.2590 1.3920 0.0368 0.03490.0651 0.0499 0.1124 0.1511 0.0993 0.6461 0.1741 2.6836 0.0162 1.4291 ϵ_{π} , MCI 2.9319 2.5563 2.7557 2.5102 2.5340 2.7589 2.6827 1.8629 2.1854 2.6224 2.6155 3.1360 1.9332 2.8546 2.6916 3.0255 2.5800 2.4472 2.5432 2.7964 2.9332 3.7627 2.3923 2.6367 2.4551 2.5004 я, ИСД -5.02763-4.99255 -5.02458-5.01414-5.01530-4.99682-5.00360-4.97964 -4.96223-5.02479-5.01868-5.01548-5.00317-4.98694-4.98635-5.02160-5.01121-5.01683-5.00731-4.99312-4.97511-4.97718-4.99776-4.99650 -4.97775-4.96037-4.95722-4.95271град ó, 83.72345 83.65376 83.72883 83.73370 83.73400 83.61145 83.63715 83.58985 83.61316 83.63654 83.62588 83.62599 83.67563 83.66786 83.68313 83.66726 83.69732 83.68222 83.68860 83.69477 83.65166 83.73091 83.71421 83.69517 83.61051 83.61431 83.73561 83.69561 3209546562568993408* ,209546429428839680* 209545982753124352* 3209546184618984576* 209546287694329344 209546429428840704 209546253333854848 209546356413094528 3209546665648330368 209546704306837760 3209545845313264256 209546120191200512* 3209545398636670592 3209545772295088640 209546463788569216 209546704307621888 3209545394338912640 3209545398636673024 3209545467356145664 3209545845313264384 209546154548253824 209546218978729216 209546463788571008 209546498148302720 209546601224782336 3209546837447036160 3209545497417176960 3209545501715880192 3209545501716780160 ID GDR3

	POTOTIVELINE	
ŀ	۲	4
ŀ	-	4
,		•
	٥	٥
	MIN	
		5
	L	
	2	5

Приложение 1. Продолжение	тжение																	
ID GDR3	α, град	δ, град	π, мсд	$arepsilon_{\pi},$ мсд	$\mu_{lpha},$ ΜCД/ΓΟД	ωnα	μδ, мсд/год	$arepsilon_{\mu\delta}$	<i>G</i> , mag	BP- RP, mag	$V_{\rm r}$ KM/c	EVr.	NBC951	UBC207	Cantat-Gaudin, NGC1977	Cantat-Gaudin, UBC207	ление 1, % Р _µ скоп-	Р _µ скоп- ление 2, %
3209546876102699904	83.66887	-4.96131	2.7889	0.2381	-0.099	0.406	-2.011	0.354	18.469	0			0 0	0			3	0
3209546876105413632	83.67744	-4.95466	1.7745	0.6884	0.830	0.577	-1.808	0.527	20.147	2.120			0 0	0			29	0
3209546876105415168	83.66866	-4.96098	2.5565	0.0415	0.525	0.037	-1.699	0.030	15.935	2.531			0 0	0			25	0
3209546910465148928	83.68655	-4.94468	2.5133	0.0580	1.320	0.052	-1.301	0.044	16.723	2.550			0 1	0	1.0		77	3
3209547013544362624	83.76267	-4.99997	2.5587	0.0380	1.409	0.034	-0.926	0.029	15.715	2.946			1 1	0	1.0		96	11
3209547013544363136	83.76145	-5.00083	2.5710	0.0464	2.373	0.042	-0.820	0.037	16.243	3.118			0 0	0			30	3
3209547043605422976*	83.77369	-4.98166	2.3442	0.0609	1.866	0.053	-0.725	0.045	14.460	2.200			0 1	0	1.0		70	12
3209547077965168768	83.75271	-4.98142	3.2318	0.2263	0.141	0.200	37.489	0.183	19.012	2.707			0 0	0			0	0
3209547150983310208	83.77646	-4.97825	2.5627	0.0968	0.947	0.084	-2.326	0.072	17.536	3.187			0 0	0			∞	0
3209547219702787840	83.76922	-4.97474	2.4177	0.0802	1.008	920.0	-0.139	0.065	16.688	2.626			0 0	0			09	63
3209547421562591872	83.76250	-4.95112	2.4990	0.0923	0.995	080.0	1.439	0.070	17.457	3.413			0 0	0			0	42
3209547460218141952	83.76840	-4.95430	2.7693	0.2747	1.579	0.241	-0.793	0.218	19.086	3.547			0 0	0			91	14
3209547460220952832	83.76394	-4.94528	2.5356	0.0248	0.962	0.021	1.481	0.019	14.844	2.159			0 0	0			0	38
3209547593361280000	83.81521	-4.95388	2.5120	0.0713	0.949	0.065	-1.112	0.054	16.871	3.206			0 1	0	1.0		81	9
3209547593364392704	83.81613	-4.95315	2.3122	0.3110	1.888	0.285	-1.048	0.247	19.220	3.388			0 0	0			64	4
3209547627721019904	83.78944	-4.95325	2.7044	0.1042	0.279	960.0	0.088	0.085	17.698	2.598			0 0	0			16	38
3209547666380287360	83.80460	-4.93124	2.6376	0.5525	2.069	0.519	-0.363	0.467	20.004	2.417			0 0	0			44	19
3209547906894711936	83.77974	-4.93079	3.1518	0.4002	1.025	0.339	-1.660	0.302	19.541	3.218			0 0	0			44	0
3209547941257283328	83.77935	-4.91577	2.5970	0.0273	1.285	0.025	0.690	0.021	15.125	2.075			0 0	0			10	95
3209547975617016448	83.80994	-4.92286	2.5306	0.0376	1.706	0.032	0.281	0.029	15.771	2.485			0 0	0			25	69
3209548044337409280	83.79330	-4.91141	2.9816	0.2405	9.644	0.209	-2.653	0.189	19.003	2.648			0 0	0			0	0
3209548113055989120	83.72266	-4.95912	2.6120	0.0629	0.817	0.053	0.605	0.047	16.654	3.123			0 0	0			11	88
3209548147415725568	83.73051	-4.94985	2.6619	0.1600	1.370	0.140	0.125	0.128	18.184	3.270			0 0	0			42	81
3209548181775468032	83.70382	-4.95399	2.5535	0.0579	0.702	0.053	-1.975	0.045	16.559	2.776			0 0	0			18	0
3209548216135201408	83.72447	-4.93952	2.5671	0.0385	1.351	0.035	-1.504	0.030	15.885	2.878			1	0	1.0		09	_
3209548246196343040	83.73193	-4.93654	2.6278	0.0752	0.707	0.081	-1.772	0.071	17.046	3.850			0 0	0			28	0
3209548250494938368	83.73940	-4.94597	2.3937	0.7229	2.258	0.614	-1.087	0.538	20.163	3.206			0 0				35	7
3209548280556080512	83.75108	-4.93580	2.5224	0.2100	1.725	0.190	-1.160	0.168	18.766	3.369			0 0				71	4
3209548284851847936	83.75554	-4.93254	2.5019	0.2097	1.441	0.191	-1.191	0.172	18.748	3.348			0 0	0			83	4

 $_{
m h}^{
m h}$ скоп-13 13 6 0 0 30 23 0 0 0 6 6 6 7 7 7 7 80 P_{μ} скоп-39 12 83 17 35 12 1 Cantat-Gaudin, UBC207 NGC1977 0:1 0:1 0:1 0:1 Cantat-Gaudin, 0 0 0 0 0 0 0 0 0 0 0 0 0 NBC501 0 0 0 0 0 0 0 0 0 0 0 0 0 0 0 0 0 0 0 0 0 0 0 Larricq 0 KM/C 8.09 $\epsilon_{\rm Vr}$ 3.01 26.62 KM/C 25.98 2.586 2.346 1.269 2.206 3.406 2.197 3.024 2.598 2.715 1.942 1.863 3.094 2.496 3.639 1.960 3.082 1.718 15.879 16.346 6.403 14.156 6.003 20.598 20.577 8.148 20.213 20.670 16.760 16.548 5.580 17.290 8.295 19.185 *G*, mag 908.00.044 0.0000.040 0.245 0.009 0.2590.414 0.575 0.028 0.036 0.035 0.014 0.026 0.055 0.019 0.350 0.127 0.107 $\epsilon_{\mu\delta}$ 2.550 -0.281-0.4720.069 0.167 0.622 0.712 -0.1480.749 0.723 -0.0740.319 -1.011-0.524мсд/год -1.420-1.235-19.889-4.606-0.522-1.489-11.5830.044 0.044 0.0691.255 0.325 0.365 0.442 0.143 0.6130.054 0.0330.047 0.023 0.301 0.017 0.128 0.011 0.471 1.061 $\epsilon_{\mu\alpha}$ 0.191 0.011 3.142 2.270 1.492 2.360 2.816 1.262 0.292 2.148 1.774 1.574 1.498 1.242 1.656 мсд/год -3.5850.7001.101 -2.02618.325 0.541 1.161 0.0195 0.36690.7550 1.3520 0.0134 0.1508 0.5253 3.5563 0.3057 0.0631 0.0531 0.0797 0.02640.0697 1.2728 0.0392 2.5453 0.0731 ϵ_{π} , MCI 2.5880 2.4388 2.5514 2.3986 2.1602 1.8973 2.7247 2.5518 3.2405 2.4469 2.5190 2.9136 2.5120 3.0750 2.5435 2.5858 2.4555 2.5300 2.5153 3.7284 2.6082 3.5784 2.8401 2.5674 4.4173 2.7291 -4.93406 -4.92762-4.94096 -4.93313-4.97233 -4.92463-4.90578 -4.94609-4.89380-4.89062-4.87548-4.86606 -4.87190-4.98234-4.96140-4.95144-4.95142-4.94872-4.92192-4.93268 -4.92993-4.91995-4.87501-4.87827-4.98141-4.97601-4.92467град ó 83.68854 83.68766 83.68753 83.73230 83.76035 83.59479 83.58497 83.59270 83.55993 83.62653 83.60724 83.66268 83.64968 83.60786 83.58939 83.55014 83.73920 83.76417 83.76954 83.74884 83.75920 83.58477 83.61522 83.60768 83.61384 83.61831 83.63989 83.53185 α, град 3209548456653554432 209549315646870656 3209550071561984000* 209550208997286400 3209548452354779648 3209548456653372672 3209549036473421824 3209549109489298560 209549487445567488 209549831042934528 209550105920840704 209550312079289344 3209550342142765056 3209548525370038144 3209549006410084736 3209549070833161984 3209549105192900736 3209549139552638208 209549246924736768 3209549315646872960 209549418726081536 209549762323451776 209549831042932224 209549934122125568 209550002841603712 209550032902742144 3209550174640300032 209550037201361024 209549173912376960 ID GDR3

Приложение 1. Продолжение

													-	_	_			
ID GDR3	α, град	δ, град	π, мсд	$arepsilon_{\pi},$ MCA	$\mu_{lpha},$ мсд/год	$\epsilon_{\mu lpha}$	μδ, мсд/год	$arepsilon_{\mu\delta}$	G, mag	BP- RP, mag	$V_{ m r}$	$\epsilon_{ m Vr}$	UBC621	UBC207	Cantat-Gaudin, NGC1977	Cantat-Gaudin, UBC207	$^{ m h}_{ m h}$ скоп-	P_{μ} скоп-
3209550655674036864	83.50276	-4.92616	2.0129	0.3501	-1.675	0.324	1.343	0.284	19.254	3.427			0	0 0				0
3209550724393476992	83.53526	-4.91795	4.2980	1.4102	-1.621	1.160	6.187	1.058	20.746	2.806			0	0	_		0	0
3209550857538851584	83.58913	-4.92083	2.5663	0.3445	1.575	0.324	-0.361	0.277	19.692	2.451			0	0	_		75	38
3209550857540507392	83.58968	-4.92084	2.6515	0.4841	2.193	0.427	-0.734	0.368	19.863	1.875			0	0	_		43	9
3209550896194807424	83.60528	-4.91102	2.6558	0.0306	0.505	0.028	2.845	0.023	15.240	3.115			0	0	_		0	0
3209551102353232128	83.60159	-4.88123	2.8138	0.1136	1.564	0.103	986.0-	0.085	17.805	3.527			0	0	_		88	8
3209551372937064704	83.58950	-4.86474	2.2932	0.3034	1.934	0.273	-0.812	0.239	19.434	3.180			0	0	_		64	6
3209551514670084992	83.67412	-4.89617	2.5161	0.0253	1.608	0.022	-0.167	0.018	14.957	2.314			_	0	1.0		09	50
3209551544732354304	83.68658	-4.90140	2.5463	0.1366	1.456	0.119	-0.330	0.100	17.829	3.434			0	0	_		77	43
3209551544732356224	83.69341	-4.90056	2.4221	0.1752	1.617	0.156	-0.799	0.132	18.385	3.431			0	0 0	_		68	13
3209551549027019648	83.69088	-4.90135	4.4651	2.0361	-2.562	1.348	1.023	1.235	20.756	1.516			0	0	_		0	0
3209551583390462848	83.70016	-4.88877	2.4233	0.3183	2.727	0.283	-0.533	0.245	19.285	3.193			0	0	_		11	2
3209551613451841664	83.67452	-4.89396	2.5037	0.0337	1.740	0.028	-0.305	0.023	15.322	2.588				0	1.0		63	35
3209551647812473216	83.68468	-4.88354	2.9995	0.5877	0.206	0.467	-0.886	0.426	20.059	2.776			0	0 0	_		31	5
3209551686468779136	83.64959	-4.89278	4.0055	0.5862	-1.079	0.478	1.950	0.392	20.063	2.717			0	0	_		0	0
3209551686468780416	83.64949	-4.89734	2.5646	0.0452	0.867	0.039	1.193	0.030	15.787	2.941			0	0	_		1	58
3209551686468781056	83.64673	-4.89785	2.5932	0.0495	0.541	0.043	0.935	0.034	16.316	3.182			0	0	_		2	58
3209552197569352064	83.74279	-4.84769	2.9313	0.2228	1.215	0.190	-1.384	0.161	17.625	3.909			0	0 0	_		70	2
3209552304944061312	83.68134	-4.86010	2.5336	0.0445	0.838	0.040	-0.777	0.033	16.073	2.802				0	1.0		82	16
3209552339303795072	83.70186	-4.84760	2.5054	0.0525	0.917	0.046	-0.724	0.038	16.299	2.017			0	0	1.0		87	19
3209552373663530880	83.71758	-4.85075	2.9847	0.2120	2.176	0.194	-0.800	0.161	18.191	2.654			0	0	_		44	9
3209552442383007744	83.69849	-4.83369	2.6069	0.0677	0.592	0.064	-1.061	0.052	16.607	2.702			_	0	1.0		58	5
3209552472447257728	83.71871	-4.82790	2.9150	0.1816	-0.425	0.159	0.228	0.138	18.351	2.998			0	0			1	7
3209552545462236160*	83.64653	-4.87166	2.4131	0.2747	0.257	0.244	1.344	0.188	17.956	1.934			0	0	_		0	22
3209552614181714176	83.62412	-4.86324	2.5166	0.0530	1.028	0.054	-0.832	0.040	16.413	2.630			0	0	_		93	15
3209552648541450624	83.64993	-4.87167	2.6322	0.0715	0.929	990.0	-0.052	0.052	17.157	2.954			0	0	_		50	89
3209552678602713344	83.65822	-4.85247	2.5343	0.0356	1.578	0.033	-0.087	0.027	15.805	2.345				0	1.0		54	57
3209552889059620736*	83.61148	-4.84599	2.6942	0.1492	2.648	0.131	-1.278	0.114	15.895	2.662			0	0	_		12	0
3209553026498569344	83.62527	-4.83073	2.5566	0.0204	1.641	0.018	0.190	0.015	14.437	1.779				0	1.0		32	70

 $^{
m h}_{
m p}$ скоп-9 0 50 112 8 8 88 87 P_{μ} скоп-3 10 17 0 53 71 64 16 0 0 0 0 0 0 14 14 Cantat-Gaudin, UBC207 NGCI611 0:1 Cantat-Gaudin, 0 0 0 0 0 0 0 0 0 0 0 0 NBC501 0 0 0 0 0 0 0 0 0 0 0 0 0 0 0 0 0 0 0 0 0 0 0 0 0 0 0 0 0 KM/C $\epsilon_{\rm Vr}$ KM/C 2.698 2.770 3.070 3.480 3.253 3.265 2.502 3.579 2.539 1.753 1.562 3.116 3.578 2.430 2.247 2.654 2.590 16.863 18.043 17.342 16.942 19.234 20.594 18.005 8.860 16.932 16.854 17.259 20.647 17.958 19.012 8.621 20.511 20.301 13.181 *G*, mag 0.0490.094 0.2880.0990.064 0.206 0.543 0.014 0.144 0.185 0.124 999.0 0.89.00.0500.467 669.00.094 0.051 $\epsilon_{\mu\delta}$ 0.677 0.308 -0.459-0.276 0.368 26.239 2.313 2.049 -1.8330.460 -2.73215.619 6.847 1.193 мсд/год -1.000-4.944-15.222-0.78642.365 0.065 0.342 0.584 0.0600.017 0.0630.749 0.2560.237 0.110 0.741 0.120 0.061 0.891 0.151 $\epsilon_{\mu\alpha}$ 0.8091.879 2.195 1.475 1.763 0.88030.728 7.322 1.450 0.636 2.506 51.646 1.232 30.845 -0.3950.633 1.653 1.201 -3.8601.168 6.552 3.259 1.521 -2.182-3.614мсд/год 0.0822 0.6084 0.0178 0.8231 0.1219 0.1218 0.1886 0.2337 0.1218 0.8709 0.06480.0621 0.0666 0.3768 0.9716 0.0805 0.1257 0.7067 2.5416 0.1611 ϵ_{π} , MCI 2.4359 2.4903 2.5417 2.5715 2.8323 2.6164 2.4033 2.3511 2.3751 2.2779 1.9768 2.0329 2.5812 2.4808 3.9559 3.6552 2.4235 2.4128 2.5284 2.2196 2.9471 3.3781 2.3180 я, ИСД -4.84290-4.79225-5.06914-5.03536-5.00912-5.02468-4.84655 -4.80666-5.05330-5.03973-5.05255-5.03841-4.99402 -4.99265 -5.00730-4.81602-4.80997-4.80775-4.80578-4.78873-4.79109-5.00790-5.01065-5.01473град ó, 84.04342 84.00452 84.04916 83.66655 83.65775 83.69375 83.65406 83.65717 83.64633 83.64238 83.67505 83.68154 83.66904 83.66602 83.66584 84.01734 84.02138 84.05574 84.02639 84.02450 84.08028 84.07984 84.08114 84.05162 84.04872 83.99842 83.99514 83.98314 83.99481 1209554435247957632* 209554400888216320* 209553610614241664* 209554430953449728 1209553782413771264* 3209553709394630528 (209554538327249024 3209554744485606400 3209553056559843968 3209553473175156608* 209553576254369536 209553576254369792 209553881196504448 209554366528478848 209554366528479104 209554916284297344 209554916284297856 3209554946347333888 3209553198295665152 3209553365797521408 3209553365797526016 3209553438815424768 3209553438815425024 3209553503237547264 3209553571957060864 209554022928781312 209554022931100032 3209554538327171968 3209553129574956160 ID GDR3

лжение	
Продо	
ие 1.	
жен	
=	

0/ '7 OMHOU	1				_		_		_		_											_	_						. 1
Р _µ скоп- ление 2, %	0			79	0	46	0	0	0	0	0	0	0	0	0	0	77	15	0	0	14	0	0	7	5	0	81	0	0
ление I, % Р _µ скоп-	0	11	51	4	0	7	0	0	0	0	0	0	0	0	0	0	4	58	0	0	S	0	0	53	0	0	4	0	0
Cantat-Gaudin, UBC207																	1.0												
Cantat-Gaudin, NGC1977																		1.0											
UBC207	0	0	0	0	0	0	0	0	0	0	0	0	0	0	0	0		0	0	0	0	0	0	0	0	0	0	0	0
NBC621	0	0	0	0	0	0	0	0	0	0	0	0	0	0	0	0	0	1	0	0	0	0	0	0	0	0	0	0	0
Tarricq	0	0	0	0	0	0	0	0	0	0	0	0	0	0	0	0	0	0	0	0	0	0	0	0	0	0	0	0	0
E _{Vr} , KM/C																													
V _r , KM/C																													
BP- RP, mag	2.861	2.723	2.773	3.524	1.393	1.479	1.361	1.080	2.152	1.872	3.111	1.975	2.944	3.437	1.862	2.322	2.174	2.605	2.447	1.700	3.506	3.015	3.138	2.916	1.947	0.444	3.093	1.575	1.897
G, mag	19.259	16.047	20.749	18.599	20.683	17.147	14.615	13.436	16.154	15.358	19.160	20.243	19.564	18.201	20.660	20.660	15.123	15.939	19.572	20.697	17.880	18.786	18.883	16.799	20.819	19.750	17.319	20.782	20.468
ε _{μδ}	0.219	0.034	1.040	0.159	0.861	0.152	0.029	0.012	0.033	0.023	0.207	0.507	0.288	0.114	0.890	0.760	0.021	0.032	0.281	0.975	0.104	0.293	0.160	0.046	1.253	0.284	0.060	1.040	0.609
μδ. мсд/год	-6.382	-1.059	-1.537	0.954	-8.378	1.017	0.756	0.596	-17.817	-18.026	-19.586	-0.001	1.474	1.104	-3.684	-5.999	0.932	-0.572	2.136	-19.927	0.097	-12.180	4.600	-1.420	2.230	-24.769	0.941	3.800	-10.740
εμα	0.238	0.039	1.121	0.186	1.116	0.181	0.034	0.014	0.040	0.027	0.238	0.585	0.346	0.134	0.974	0.978	0.024	0.037	0.323	1.088	0.129	0.362	0.195	0.059	1.293	0.349	0.079	1.254	0.689
$\mu_{lpha},$ мсд/год	29.094	-0.177	0.942	0.934	6.895	1.869	12.171	12.059	8.749	8.761	-12.399	4.497	-1.982	-1.584	0.812	5.252	0.865	1.976	16.343	-4.562	-0.174	8.651	-2.332	0.794	1.089	-27.506	0.979	1.476	1.462
е _т , мсд	0.2678	0.0433	1.3174	0.1934	1.1894	0.1872	0.0392	0.0157	0.0449	0.0308	0.2691	0.7731	0.3944	0.1503	1.1966	1.1620	0.0258	0.0394	0.3752	1.5693	0.1301	0.3884	0.2029	0.0617	2.0575	0.4049	0.0824	1.8823	0.9119
π,	2.3216	2.5664	3.9946	2.6724	2.7902	2.0560	2.5166	2.7941	3.3012	3.3694	2.4361	1.7048	1.9183	2.3551	4.1686	2.1967	2.4921	2.5659	2.0354	2.7983	2.8778	2.8270	1.8706	2.8895	2.0213	4.1840	2.6198	4.1134	2.3785
δ, град	-5.01250	-5.00795	-4.98894	-4.98737	-4.97645	-4.97225	-4.99492	-4.99533	-4.99044	-4.99083	-4.97141	-4.97074	-4.97280	-4.97197	-4.96550	-4.96282	-4.97954	-4.96124	-4.96966	-4.96622	-4.95917	-4.95606 2.8270	-4.98166	-4.96857	-4.96083	-4.92902	-4.92204	-4.94286	-4.92997
а, град	83.94669	83.95355	83.97837	83.98689	83.98693	83.97819	84.02087	84.02132	84.03893	84.03807	84.04625	84.04860	84.05153	84.05135	84.04988	84.05923	83.99682	84.01398	84.00938	83.99088	84.01853	84.01307	84.09595	84.11627	84.07953	84.11614	84.13896	84.05413	84.08415
ID GDR3	320955504942444928	3209555053723252736	3209555118146026368	3209555152504634496	3209555221223160320	3209555225521941760*	3209555255590828544*	3209555259881678848	3209555294241416192	3209555294241416320	3209555393022836352	3209555393025008256	3209555393026123904	3209555427381596928	3209555427384746752	3209555431678023808	3209555534759586432	3209555569119322624	3209555569119323392	3209555603476737920	3209555672198537472	3209555740918014336*	3209555874058183808	3209556015795917184	3209556153232971392	3209556698691997056	3209556733051746048	3209556973569875072	3209557111009893120

ление 2, % ление $^{\rm L}_{\mu}$ P_{μ} скоп-0 0 0 0 0 0 0 0 0 3 0 0 0 0 0 0 0 0 Cantat-Gaudin, UBC207 1.0 NGCI611 Cantat-Gaudin, 0 NBC501 0 0 0 0 0 0 0 0 0 0 0 0 0 0 0 0 0 0 0 0 0 0 0 0 0 0 0 0 0 0 0 0 0 0 0 0 0 0 0 0 0 0 0 KM/C 5.89 $\epsilon_{\rm Vr}$ 18.92 KM/C 3.415 2.415 1.228 2.919 1.872 1.813 1.742 3.079 2.779 2.289 3.185 1.557 2.985 1.872 3.218 2.665 3.230 3.852 9.028 20.842 20.416 14.395 20.270 11.990 20.462 9.316 20.105 18.539 19.852 8.000 17.980 20.700 20.727 18.601 17.142 18.211 6.561 *G*, mag 0.072 0.050 0.2500.572 0.145 0.035 0.350 0.526 0.092 0.135 0.016 0.119 0.587 1.308 0.391 0.117 0.957 0.527 0.311 0.291 0.191 $\epsilon_{\mu\delta}$ 0.996 -7.299-3.871-3.2800.517 0.893 0.472 4.501 0.988 1.506 0.757 -1.0141.002 3.016 мсд/год -0.6280.4640.692 0.234 1.589 0.0600.318 0.0390.370 0.596 0.602 0.599 0.590 0.160 0.136 0.147 0.018 0.3190.133 $\epsilon_{\mu\alpha}$ 12.213 11.706 3.829 1.343 5.417 1.220 2.008 1.068 1.224 1.362 1.313 -2.227-1.7922.275 3.950 -7.7010.637 3.193 5.580 1.430 1.203 -1.982-6.609-0.279мсд/год -5.6890.5423 0.1816 0.4705 0.1519 0.1230 0.0193 2.6553 0.0836 0.0938 0.2618 0.4047 0.06692.0889 0.3413 0.8726 0.0443 0.7954 0.7581 0.4027 ϵ_{π} , MCI 2.5805 2.3597 3.9177 2.9070 2.3866 2.3577 1.8725 2.5537 2.6333 2.1496 2.7162 2.1008 2.5144 1.8211 2.6723 2.8481 1.6882 2.3036 2.6891 2.3791 2.6452 4.7176 1.8054 2.6661 -4.87966 -4.92678-4.92050-4.90464-4.88049-4.86583-4.96894 -4.95288 -4.91838-4.91430-4.89736-4.99939-4.99451 -4.98693-4.97652-4.97319-4.96192-4.96212-4.96699-4.95834-4.90701-4.88761-4.97129-4.96571град ó, 84.05445 84.04657 84.06577 84.06845 84.07749 84.07914 84.08772 84.08908 84.10664 83.93582 83.92715 83.92998 83.95862 83.97382 83.97763 83.92905 83.90969 83.90290 84.11216 84.12497 84.12159 84.11096 84.14690 83.91884 83.93627 83.95137 83.91183 α, град 209557832564508032* 209558180459440896* 209558008660753280* 3209558386617873536* 3209557626409149696 209557836859688448 3209557458904977664 209558004367801856 209558073083526272 ;209558111740029696* 209558352255825920 3209557282807552768 3209557287106237056 3209557424545189504 3209557488966014848 3209557493264664576 3209557557685488256 3209557798204759936 209557802502310912 3209557974298636160 209558107444337024 209558146099703424 209558244881145344 3209558313601696384 3209558352255824128 209558352258136192 3209557317168350848 209558176161657344

	(D)	
	=	
	Ξ	
	┰	
	S.	
	⊻	
	лже	
	⊏	
	\sim	
	\mathbf{u}	
	ĕ	
	$\overline{}$	
	ă	
ъ	∸	
- 1	- 1	
۲		
•	_	
•	_	
•		
,		
,	-	
,	Е. I.	
,	ие I.	
,	ние І.	
,	эние І.	
•	ение І.	
•	кение 1.	
•	жение 1.	
,	ожение 1.	
•	тожение 1.	
•	пожение 1.	
•	оиложение 1.	

Приложение 1. Продол	Продолжение																	
ID GDR3	α, град	δ, град	л, мсд	$arepsilon_{\pi},$ MCA	$\mu_{lpha},$ мсд/год	$^{\circ}$	μ _δ , мсд/год	$\epsilon_{\mu\delta}$	<i>G</i> , mag	BP- RP, mag	$V_{\rm r}$ KM/C	ε _{Vr} , κm/c	Tarricq	NBC507	Cantat-Gaudin, NGC1977	Cantat-Gaudin, UBC207	P_{μ} скоп- ление 1, %	Р _и скоп- ление 2, %
3209558386617873792	83.91681	-4.95811	2.3977	0.0319	0.318	0.028	0.224	0.024	15.182	2.760			0	0			13	45
3209558386617873920*	83.91639	-4.95874	2.9342	0.1993	0.528	0.174	1.605	0.150	14.187	2.314			0	0 0	_		0	21
3209558420977611008	83.93487	-4.95472	2.6497	0.0659	1.792	0.059	0.500	0.050	16.658	3.380				0 0			14	99
3209558489697088000	83.92353	-4.94842	3.8057	0.0207	7.897	0.018	-26.378	0.016	14.455	1.569				0 0	_		0	0
3209558524056824960	83.93758	-4.93416	2.3714	0.0867	2.369	920.0	0.539	990.0	17.060	3.259			0	0 0	_		5	22
3209558592776300032	83.98366	-4.94867	2.6167	0.0164	1.178	0.015	0.987	0.013	13.963	1.673			0	0		1.0	4	80
3209558695855512704	84.00272	-4.93528	2.9228	0.0193	-10.007	0.016	-1.341	0.014	10.364	0.574	11.53	1.09	0	0 0	_		0	0
3209558764574989696	83.99295	-4.92685	2.5594	0.0656	1.144	0.057	1.597	0.048	16.855	2.858			0	0		1.0	0	31
3209558833294517632	83.96326	-4.94104	2.4563	0.1085	1.882	0.091	0.432	0.080	17.496	2.553			0	0 0	_		15	58
3209559176891717504	83.87931	-4.95557	2.5369	0.0317	0.932	0.025	0.821	0.022	14.876	2.327			0	0 0	_		9	87
3209559211251444992	83.88940	-4.93383	2.5543	0.0568	0.813	0.048	-0.144	0.043	16.280	3.068			0	1 0	1.0		52	57
3209559279971069440	83.91833	-4.92889	2.6009	0.0598	1.845	0.053	0.741	0.047	16.334	2.515			0	0 0	_		9	59
3209559310034114560	83.90896	-4.92806	2.7026	0.2112	1.303	0.180	-0.454	0.163	18.584	2.811			0	0 0	_		88	37
3209559417409874944	83.88345	-4.92659	2.6479	0.0953	1.211	0.083	-0.581	0.073	17.193	2.856			0	0 0	_		94	59
3209559451769623552	83.86080	-4.93522	2.5431	0.0266	2.265	0.022	-1.278	0.020	14.584	2.258			0	0 0	_		29	1
3209559486126473216	83.86338	-4.92185	2.8817	0.1940	2.229	0.162	-0.005	0.147	18.547	2.687			0	0 0	_		21	23
3209559486129350912	83.87874	-4.92166	2.5296	0.0183	1.905	0.016	-1.178	0.014	14.136	1.675			_	1 0	1.0		28	3
3209559486129352576	83.86923	-4.91773	3.2053	0.0142	7.660	0.012	-11.026	0.011	12.422	1.120	9.21	12.76	0	0 0	_		0	0
3209559520489084544	83.89089	-4.91677	2.5548	0.1056	1.356	0.088	0.679	0.077	17.244	3.418			0	0 0	_		11	93
3209559584909834752	83.87983	-4.90421	2.5972	0.0302	1.711	0.025	0.810	0.022	9.078	-0.053			0	0 0	_		9	29
3209559584913086336	83.88168	-4.91040	2.1935	0.5834	1.544	0.467	-1.810	0.430	20.017	2.350			0	0 0	_		33	0
3209559619272852480	83.89167	-4.89947	2.8492	0.1230	0.849	0.110	-1.101	0.100	17.658	3.283			0	0 0	_		9/	9
3209559623568295552	83.89180	-4.90315	2.6441	0.0440	0.236	0.039	0.326	0.033	15.651	2.608			0	0 0	_		6	41
3209559687992302080	83.94143	-4.91060	1.6977	0.5667	0.807	0.449	1.492	0.389	20.029	2.005			0	0 0	_		0	34
3209559692287927040	83.94822	-4.90667	2.4643	0.2153	4.774	0.170	-0.290	0.163	18.551	2.635			0	0 0	_		0	0
3209559791070461312	83.95655	-4.90341	2.5286	0.2856	1.019	0.243	0.807	0.210	19.104	3.357			0	0 0	_		7	06
3209559791071547392	83.95430	-4.89724	2.8197	0.1417	1.027	0.118	1.154	0.100	17.870	2.725			0	0 0	_		7	99
3209559795367140864	83.96627	-4.90298	1.8225	0.0207	11.393	0.018	-3.593	0.016	14.489	2.185			0	0 0	_		0	0
3209559864086618240	83.95242	-4.89682	2.5734	0.1839	0.990	0.154	-0.180	0.132	18.454	2.269			0	0 0	_		62	59
																_	_	

 $_{
m h}^{
m h}$ скоп- P_{μ} скоп-0 0 23 0 0 0 0 0 2 4 5 0 0 Cantat-Gaudin, UBC207 NGC1977 0.1 Cantat-Gaudin, 0 0 0 0 0 0 0 **NBC501** 0 0 0 0 0 0 0 0 0 0 0 0 0 0 0 0 0 0 0 0 0 0 0 0 0 0 0 0 0 0 0 0 0 0 0 0 Larricq KM/C 3.33 $\epsilon_{\rm Vr}$ KM/C 17.65 5.669 1.904 1.212 0.212 2.533 1.191 3.175 1.428 2.265 2.467 3.017 1.575 2.283 3.653 3.598 2.694 1.411 1.941 6.397 19.413 13.064 20.415 20.503 17.095 20.645 17.889 20.693 20.128 13.795 17.572 20.713 19.694 19.589 20.697 17.415 15.517 13.439 17.278 20.595 *G*, mag 0.093 0.056 0.270 0.055 0.253 0.257 1.068 0.854 0.719 0.3580.300 1.053 0.102 0.073 0.660 0.014 0.611 0.961 0.471 $\epsilon_{\mu\delta}$ -1.175-1.122-0.9751.323 14.591 16.873 0.997 2.077 -4.232 1.018 -4.161 0.245 860. 0.958 0.645 2.290 1.018 мсд/год -19.417-1.419-9.023-5.392-20.4120.065 0.728 0.443 0.018 0.300 0.320 0.323 0.960 990.0 1.025 0.050 0.957 0.361 1.500 0.119 0.084 0.122 0.051 $\epsilon_{\mu\alpha}$ 3.146 13.910 3.084 3.782 0.572 1.439 5.983 12.333 1.458 18.007 1.052 -0.41813.528 1.003 1.195 -11.84224.953 1.867 -1.068-0.480мсд/год -0.0011.6553 1.9927 1.1484 0.4703 0.4223 1.7580 0.0198 0.0756 2.7904 | 1.4245 0.3461 0.3457 1.0165 1.2242 0.0764 2.8949 1.4899 ϵ_{π} , MCI 2.2716 2.6324 2.6556 2.3664 2.5419 2.9413 1.8756 2.6107 2.5554 4.2046 3.9505 2.4072 1.9139 3.9867 2.8867 2.6844 2.2031 2.5854 3.7247 1.8056 2.5355 1.9816 2.6619 1.9941 3.0952 2.7327 2.6307 я, Ксд -4.88514-4.88350-4.88606 -4.90005-4.88800-4.87014-4.85778 -4.85078-4.87029-4.86900-4.83339-4.83866-4.87707-4.87394-4.86164-4.92007-4.89185-4.88779-4.85683-4.85769-4.86555-4.85602-4.83599-4.88780-4.85238-4.85111-4.90031град ó 83.95015 83.96569 83.90674 83.91462 83.93842 83.93790 84.00703 84.00734 84.02222 84.02206 84.03188 84.06848 84.08763 84.08345 84.03673 83.96579 83.98752 83.98620 84.02143 84.01103 84.01403 83.95468 83.91873 84.09177 84.05358 84.06227 83.98103 84.02781 84.05571 α, град 209560482561906304* 209560620000858624* 3209561925670914944* 3209560482559561856* 209560619998508544 209561856951438720* 3209560035882164480 3209560138964360064 3209560207681655040 3209560654361440512 209560856226409600 209561509056541056 3209559898446184960 3209560031589714048 3209560070241870848 3209560104601572480 3209560173324262016 (209560890581245568 209560890582102144 209560963598238208 209561028025035264 209561062379940480 209561307193284352 3209561753868926592 209561925670914816 3209560375185129984 209561234178648064 3209561375914929920 209561371619512704 ID GDR3

	(D)	
	=	
	Ξ	
	┰	
	S.	
	⊻	
	лже	
	⊏	
	\sim	
	\mathbf{u}	
	ĕ	
	$\overline{}$	
	ă	
ъ	∸	
- 1	- 1	
۲		
•	_	
•	_	
•		
,		
,	-	
,	Е. I.	
,	ие I.	
,	ние І.	
,	эние І.	
•	ение І.	
•	кение 1.	
•	жение 1.	
,	ожение 1.	
•	тожение 1.	
•	пожение 1.	
•	оиложение 1.	

Приложение 1. Продол	Продолжение																	
ID GDR3	α, град	8, град	π, мсд	$arepsilon_{\pi},$ мсд	μα, мсд/год	$\epsilon_{\mu\alpha}$	μδ, мсд/год	$\epsilon_{\mu\delta}$	<i>G</i> , mag	BP- RP, mag	$V_{\rm r}$, ${ m KM/c}$	$\epsilon_{ m V_{ m r}}$	Tarricq	OBC507	Cantat-Gaudin, NGC1977	Cantat-Gaudin, UBC207	P_{μ} скоп-	ление 7, $\%$
3209561925670915328	84.00552	-4.83634	1.9223	0.0170	-1.381	0.016	-0.254	0.013	14.034	1.493	33.58	5.05	0	0			0	0
3209561925671759616	84.01372	-4.82991	1.8380	0.3872	9.949	0.333	-2.551	0.273	19.499	2.886			0	0	0		0	0
3209562161891597056	84.01338	-4.82224	1.9858	0.2477	5.450	0.205	-2.754	0.173	18.861	2.819			0	0	0		0	0
3209562230612972416	84.00645	-4.80773	4.1779	1.1903	3.912	0.947	-11.019	0.717	20.554	2.319				0	0		0	0
3209562264973785472	84.02687	-4.80964	3.4739	1.4568	-4.786	1.224	-6.431	0.943	20.694	1.539				0			0	0
3209562299332464128	84.03148	-4.79230	3.5219	1.0382	-2.304	0.783	4.214	0.694	20.492	2.122			0	0	0		0	0
3209563982958560768	84.14703	-4.83789	4.3313	0.5237	22.192	0.447	-13.315	0.362	20.016	2.713			0	0	0		0	0
3209566873473235968	84.10751	-4.83887	2.6511	0.0200	0.787	0.017	0.128	0.014	14.329	1.858			0	0	0		33	74
3209566972253921792	84.15017	-4.81572	2.5843	0.2482	-1.618	0.214	1.710	0.169	19.025	3.405			0	0	0		0	0
3209567006615545344	84.12160	-4.81872	2.7897	1.0367	6.629	0.877	-2.943	0.693	20.397	2.411			0	0	0		0	0
3209567075335016192	84.08251	-4.82931	2.4935	0.5665	2.735	0.487	-2.603	0.391	19.953	3.029			0	0	0		0	0
3209567384573728640	84.16537	-4.80203	2.8510	0.5864	0.810	0.492	0.982	0.376	20.144	2.301			0	0	0		3	72
3209567663744835712	84.14341	-4.77574	1.8981	0.6274	2.262	0.501	9.221	0.397	20.185	2.276			0	0	0		0	0
3209568140486168192	84.09245	-4.77115	1.8544	0.9638	1.688	0.873	-2.772	0.650	20.534	1.906			0	0	0			0
3209568174846656384	84.04971	-4.78399	1.7148	0.9375	9.437	0.730	14.554	809.0	20.411	2.074			0	0	0		0	0
3209568449726721664	84.10955	-4.77339	2.1142	1.1596	0.982	0.891	1.611	0.708	20.511	1.144			0	0 0			0	29
3209568797618582144	84.08235	-4.74869	2.5732	0.0206	0.989	0.018	1.137	0.014	13.681	1.615			0	0		1.0	7	99
3209568866338114944	84.12213	-4.73333	2.7185	0.0633	1.131	0.056	1.149	0.044	16.748	3.009			0	0	0		7	29
3209570167709722496	84.14419	-4.72087	3.0780	0.2095	5.748	0.179	-25.871	0.137	18.570	2.960			0	0	0		0	0
3209571301580843776*	83.84129	-4.90205	2.3379	0.0446	1.119	0.043	1.926	0.037	14.200	1.925			0	0			0	13
3209571305879349248	83.85604	-4.90110	2.5518	0.0848	1.925	0.075	-0.370	990.0	16.952	2.819			0		1.0		54	24
3209571335943607552	83.87061	-4.90566	2.9639	0.5355	2.098	0.472	0.881	0.429	19.947	2.761			0	0			3	35
3209571408955636992	83.86139	-4.88928	2.7624	0.7194	0.558	0.595	-1.245	0.542	20.027	2.911			0	0	0		48	3
3209571477678049408	83.82763	-4.89600	2.5861	0.0629	1.020	0.059	0.004	0.050	16.605	2.554			0	-	0 1.0		49	74
3209571477678050560	83.82961	-4.90216	2.5478	0.0952	1.012	0.084	0.169	0.070	17.039	2.955			0	0	0		36	98
3209571512034873472	83.84063	-4.88665	2.5613	0.0192	1.967	0.016	0.851	0.015	11.724	0.955	23.73	3.35	0	0	0		4	46
3209571546394647680	83.82443	-4.89343	2.8318	0.4355	1.137	0.377	-0.551	0.328	19.592	3.106			0	0	0		92	31
3209571580755095296	83.82572	-4.88570	2.7338	0.5352	0.321	0.472	-1.285	0.419	19.745	1.828			0	0	0		31	-
3209571580757259648	83.83013	-4.88545	2.6810	0.0901	1.289	0.081	1.311	690.0	17.011	3.008			0	0	0		_	52

 $_{
m h}^{
m h}$ скоп-ление 1, % 13 0 67 0 0 16 43 3 65 97 63 39 0 Cantat-Gaudin, UBC207 NGC1977 0:1 0:1 0.1 0: 0: 0. 0:1 0. Cantat-Gaudin, 0 0 0 0 0 0 0 0 0 0 0 0 0 0 0 0 0 0 **NBC501** 0 0 0 0 0 0 0 0 0 0 0 0 0 0 0 0 Larricq 0 KM/C 4.63 $\epsilon_{\rm Vr}$ 22.70 KM/C 1.529 1.685 2.078 3.028 2.626 1.813 2.019 2.929 3.482 1.805 1.894 3.580 3.720 1.142 2.957 1.220 3.160 16.569 13.992 6.943 9.823 20.899 5.535 17.392 9.434 8.627 7.534 8.266 5.641 *G*, mag 0.044 0.015 2.346 0.077 0.023 0.202 0.202 0.073 0.122 0.4380.127 0.029 0.016 0.038 2.036 0.057 0.104 0.821 1.574 0.101 0.121 $\epsilon_{\mu\delta}$ мсд/год -4.480 5.472 -1.2451.964 1.190 0.417 -0.8370.467 -0.207-0.995-3.509-0.335-0.942-1.5070.0900.2680.0530.210 0.094 0.552 0.165 0.0330.018 0.044 0.0182.410 0.052 0.026 0.987 2.084 0.143 1.807 0.0610.115 0.130 0.141 0.071 $\epsilon_{\mu\alpha}$ мсд/год -0.4630.825 1.6091.049 1.680 896.0 1.902 1.329 1.402 1.403 0.927 1.931 0.591 0.8010.417 0.934 1.427 0.0277 0.0387 0.0522 2.6926 0.2578 9680.0 0.1410 0.1808 2.8720 0.0228 3.0619 0.5356 0.5670 0.08383.5402 0.2519 2.2263 0.0578 0.0201 ϵ_{π} , MCI 2.5998 2.4570 2.4550 2.5765 2.6308 2.6521 2.6721 2.4990 3.1454 2.3702 1.7340 2.6153 2.6545 1.6735 2.5676 2.5561 4.4775 3.9878 2.6124 2.5668 2.4806 2.5817 2.6181 2.5229 2.7123 я, ИСД -4.88988-4.87697 -4.84892-4.84413-4.87612-4.86697-4.86389-4.87490-4.85928-4.85582-4.87112-4.85925-4.86527-4.85837-4.85896 -4.85319-4.85808-4.85574-4.83961 -4.84699-4.85029-4.83755-4.83663-4.88441-4.86741-4.86158-4.83991град ó 83.82662 83.86502 83.85985 83.84390 83.85344 83.83878 83.90839 83.88504 83.91558 83.90096 83.86900 83.86662 83.86857 83.86595 83.88036 83.88892 83.87012 83.86660 83.89026 83.88756 83.88480 83.88898 83.88635 83.82317 83.91725 83.92051 83.87723 83.85631 83.88221 α, град 3209571885699451520* 209571958715287680* 3209572233589255680 (209572233592263424 3209571649474988800 3209571683836467584 3209571855635149824 209571988778667264 3209572023138401664 209572027433842816 (209572027433843328 209572027434768896 209572057498140928 209572061793579264 209572096153320192 3209572164872788736 (209572164872789760 209572233592263168 3209572233592263808 209571889993150720 3209571580757261056 3209571580757261952 3209571645181278976 3209571718196203776 3209571786915670016 209572061793574912 209572130513055104 3209571718196200832 209572130511321088 ID GDR3

Приложение 1. Продолжение

$_{ m h}^{ m h}$ скои-	0	0	0	0	53	1	19	4	28	5	11	0	70	4	69	0	4	1	7	6	1	20	0	0	9	0	7	23	11
P_{μ} скоп-	0	28	0	Т	15	65	26	62	23	0	82	0	3	54	11	0	92	55	73	91	27	77	18	0	90	14	89	26	86
Cantat-Gaudin, UBC207																													
Cantat-Gaudin, NGC1977		1.0					1.0							1.0					1.0	1.0			1.0				1.0		
UBC207	0	0	0	0	0	0	0	0	0	0	0	0	0	0	0	0	0	0	0	0	0	0	0	0	0	0	0	0	0
UBC621	0	1	0	0	0	0	1	0	0	0	0	0	0	1	0	0	0	0	1	1	0	0	1	0	0	0	1	0	0
Tarricq	0	0	0	0	0	0	0	0	0	0	0	0	0	0	0	0	0	0	0	1	0	0	1	0	0	0	1	0	0
EVr. KM/C																				4.46									
$V_{\rm r}$																				23.01									
BP- RP, mag	2.190	1.993	1.637	1.961	1.462	0.734	2.033	0.998	2.526	1.989	3.340	1.790	2.663	2.484	2.797	2.084	1.509	3.421	1.753	1.482	1.987	1.893	2.014	-0.206	2.638	2.628	2.180	2.599	2.373
<i>G</i> , mag	20.424	14.794	19.922	19.959	20.518	9.373	14.180	18.785	18.846	19.957	17.326	19.816	16.272	15.773	15.405	15.983	20.279	17.253	14.689	11.873	16.134	18.264	14.102	20.352	17.409	16.488	14.877	17.458	14.449
εμδ	0.647	0.019	0.426	0.971	0.874	0.035	0.014	0.207	0.192	0.468	0.080	0.387	0.209	0.039	0.035	0.033	0.621	0.070	0.041	0.015	090.0	0.177	0.024	0.580	690.0	990.0	0.021	0.089	0.142
μ _δ , мсд/год	8.542	-1.649	2.891	-1.207	0.394	-1.437	-0.735	-1.177	0.020	1.574	-0.830	-6.200	1.031	-1.143	0.582	2.161	-1.199	-1.543	-1.027	-1.026	-1.365	989.0-	-1.737	-3.373	-1.106	-1.827	-1.338	-0.082	-0.934
εμα	0.802	0.021	0.508	1.094	1.128	0.039	0.017	0.228	0.211	0.552	960.0	0.440	0.253	0.047	0.041	0.039	0.658	0.085	0.046	0.016	0.077	0.217	0.026	0.709	0.085	0.073	0.025	0.112	0.168
$\mu_{lpha},$ мсд/год	-4.060	0.550	3.696	-0.759	1.927	1.421	1.407	0.705	2.156	-0.179	1.713	6.845	1.451	0.573	1.752	-5.401	1.599	1.484	0.767	1.079	0.284	0.782	0.368	0.192	1.365	0.359	1.583	2.185	1.284
£π, мсд	1.0480	0.0252	0.5927	1.3049	0.9948	0.0466	0.0184	0.2352	0.2431	0.6179	0.1041	0.5118	0.2877	0.0521	0.0496	0.0439	0.8364	0.0991	0.0533	0.0187	0.0855	0.2410	0.0304	0.9398	0.0993	0.0890	0.0303	0.1161	0.1973
π, мсд	2.0361	2.5360	1.8541	1.9611	3.8289	2.4265	2.5339	2.8230	2.3048	3.5220	2.7327	2.1965	2.0903	2.5258	2.6062	2.1770	3.1239	2.5895	2.5136	2.5849	2.5839	3.0382	2.4451	1.7453	2.6095	2.5727	2.5365	2.5120	2.9824
8, град	-4.82415	-4.83147	-4.82343	-4.87145	-4.87204	-4.86248	-4.86545	-4.86207	-4.85889	-4.84991	-4.84845	-4.84064	-4.84194	-4.85228	-4.84042	-4.84689	-4.82454	-4.82507	-4.83794	-4.84591	-4.83586	-4.83045	-4.83881	-4.83624	-4.82511	-4.83103	-4.82862	-4.82054	-4.83113
α, град	83.89361	83.89260	83.88853	83.82166	83.80272	83.80561	83.80214	83.82362	83.83455	83.81827	83.81572	83.82201	83.82658	83.79209	83.78020	83.81255	83.80090	83.79910	83.84923	83.83964	83.85059	83.83602	83.84103	83.83269	83.85062	83.84617	83.85281	83.87056	83.87480
ID GDR3	3209572263656572160	3209572267951998080	3209572267952916608	3209572332376041856*	3209572405388103808	3209572405390979840*	3209572405390981760	3209572435455257344	3209572474110447232	3209572504174733312	3209572508470187264	3209572538534472192	3209572542829921408*	3209572611549411200	3209572680268887296*	3209572714628617984	3209572813412377088	3209572817707830272	3209572847772120320	3209572852067565568*	3209572882131858944	3209572916491595392	3209572916491595904*	3209572920784077056	3209572950851335808	3209572955143797632	3209572955146774656	3209572985210019712	3209572989506724352*

 $_{
m h}^{
m h}$ скоп-0 0 0 17 79 ление 1, % 70 7 76 66 10 11 5 0 0 3 3 3 27 27 27 26 0 0 37 Cantat-Gaudin, UBC207 1.0 1:0 NGC1977 0:1 Cantat-Gaudin, 0 0 0 0 0 0 0 0 0 0 0 NBC501 0 0 0 0 0 0 0 0 0 0 0 0 0 0 0 0 0 0 0 0 0 0 0 0 0 0 0 0 0 0 0 0 0 0 Larricq KM/C 2.80 $\epsilon_{\rm Vr}$ 22.08 KM/C 2.600 2.945 2.997 1.765 1.326 2.682 2.286 1.666 3.631 2.397 2.920 3.463 2.188 2.444 15.774 8.415 16.295 14.670 17.213 20.276 18.088 16.506 20.273 20.240 20.627 14.996 17.502 15.447 16.275 17.841 *G*, mag 0.026 0.043 0.118 0.895 0.130 0.067 0.835 0.0880.146 0.052 0.020 0.513 0.072 0.518 0.274 0.024 0.051 $\epsilon_{\mu\delta}$ 4.434 16.505 0.939 -1.452-1.1580.445 -1.5430.873 -0.6530.188 0.274 5.000 -0.9570.874 мсд/год -1.427-10.936 -8.2040.032 0.602 0.343 0.322 1.223 0.155 0.955 0.0630.025 0.052 0.602 0.0860.302 0.060090.0 0.111 0.179 0.013 0.171 0.081 $\epsilon_{\mu\alpha}$ 1.304 1.657 0.832 1.633 0.923 0.416 6.789 .854 1.255 -1.250-3.4041.068 2.729 0.117 -0.0921.978 .503 1.504 1.682 2.098 -37.287 0.767 -1.1211.011 1.801 мсд/год 0.0970 0.0708 0.0573 0.09030.1997 0.9809 0.1214 0.4170 2.5838 0.0715 2.1477 0.0360 4.9055 0.7313 2.4390 0.0731 ϵ_{π} , MCI 2.6934 2.2805 2.5979 2.6175 2.7838 2.1701 2.4349 2.8518 2.3774 2.7256 2.9585 3.8369 2.1428 1.8282 1.7187 1.6926 2.6161 2.5573 2.6755 3.3007 2.6150 2.5151 2.5739 я, ИСД -4.82538-4.80544-4.80465-4.80830-4.79042-4.79006-4.84603 -4.84506 -4.83634 -4.82401-4.83903-4.83606 -4.84106 -4.82089-4.80457-4.81795-4.81428-4.81806-4.80503-4.80972-4.80765-4.81692-4.82074-4.80893-4.81559-4.81601-4.80927град ó, 83.85704 83.85969 83.86956 83.84700 83.83003 83.82590 83.83232 83.84642 83.84886 83.84500 83.83926 83.83908 83.94390 83.93639 83.95029 83.93594 83.96709 83.92504 83.89335 83.89440 83.92033 83.90846 83.81943 83.84177 83.94189 83.92411 83.91984 83.84551 83.97171 3209573092585717504* 209573264384416768* 3209573161305203200* 3209573745420744448 209573775484007040 3209573058225987712 3209573058226152064 3209573225728190592 3209573230025608832 3209573260087930880 3209573260088980224 209573264382572544 209573264384415360 3209573367460601856 209573367463628544 (209573401823357568 209573401823357952 209573436180020096 209573436183095296 209573470542837120 209573569326633600 209573573622040320 3209573706764525184 209573745417694464 309573779777386496 3209573779780478592 3209573436183093120 3209573161305206784 3209573191368451712 ID GDR3

Продолжени	
-	
риложение	

α, град 83.93427 83.93389 83.91991 83.97698 83.97698 83.9772 83.96664 83.97524		л, мсд 2.2571 0 2.4646 0 2.1889 0 2.7070 0 1.9813 0 2.2964 0 2.2964 0 2.2550 0 2.5550 0		μα. 6.844 (6.844 (1.493 (1.715 (2.126 (2.1294 (1.553 1.1553 (1.553 1.1553 1.156 (1.553 1.156 (1.553 1.156 (1.553 1.156 (1.553 1.156 (1.553 1.156 (1.553 1.156 (1.553 1.156 (1.553 1.156 (1.553 1.156 (1.553 1.156 (1.553 1.156 (1.553 1.156 (1.553 1.156 (1.553 1.156 (1.553 1.156 (1.553 1.156 (1.553 1.156 (1.553 1.156 (1.553 1.156 (1.553 1.156 (1.553 1.156 (1.553 1.156 (1.553 1.156 (1.553 1.156 (1.553 1.156 (1.553 1.156 (1.553 1.156 (1.553 1.156 (1.553 1.156 (1.553 1.156 (1.553 1.156 (1.553 1.156 (1.553 1.156 (1.553 1.156 (1.553 1.156 (1.553 1.156 (1.553 1.156 (1.553 1.156 (1.553 1.156 (1.553 1.156 (1.553 1.156 (1.553 1.156 (1.553 1.156 (1.553 1.156 (1.553 1.156 (1.553 1.156 (1.553 1.156 (1.553 1.156 (1.553 1.156 (1.553 1.156 (1.553 1.156 (1.553 1.156 (1.553 1.156 (1.553 1.156 (1.553 1.156 (1.553 1.156 (1.553 1.156 (1.553 1.156 (1.553 1.156 (1.553 1.156 (1.553 1.156 (1.553 1.156 (1.553 1.156 (1.553 1.156 (1.553 1.156 (1.553 1.156 (1.553 1.156 (1.553 1.156 (1.553 1.156 (1.553 1.156 (1.553 1.156 (1.553 1.156 (1.553 1.156 (1.553 1.156 (1.553 1.156 (1.553 1.156 (1.553 1.156 (1.553 1.156 (1.553 1.156 (1.553 1.156 (1.553 1.156 (1.553 1.156 (1.553 1.156 (1.553 1.156 (1.553 1.156 (1.553 1.156 (1.553 1.156 (1.553 1.156 (1.553 1.156 (1.553 1.156 (1.553 1.156 (1.553 1.156 (1.553 1.156 (1.553 1.156 (1.553 1.156 (1.553 1.156 (1.553 1.156 (1.553 1.156 (1.553 1.156 (1.553 1.156 (1.553 1.156 (1.553 1.156 (1.553 1.156 (1.553 1.156 (1.553 1.156 (1.553 1.156 (1.553 1.156 (1.553 1.156 (1.553 1.156 (1.553 1.156 (1.553 1.156 (1.553 1.156 (1.553 1.156 (1.553 1.156 (1.553 1.156 (1.553 1.156 (1.553 1.156 (1.553 1.156 (1.553 1.156 (1.553 1.156 (1.553 1.156 (1.553 1.156 (1.553 1.156 (1.553 1.156 (1.553 1.156 (1.553 1.156 (1.553 1.156 (1.553 1.156 (1.553 1.156 (1.553 1.156 (1.553 1.156 (1.553 1.156 (1.553 1.156 (1.553 1.156 (1.553 1.156 (1.553 1.156 (1.553 1.156 (1.553 1.156 (1.553 1.156 (1.553 1.156 (1.553 1.156 (1.553 1.156 (1.553 1.156 (1.553 1.156 (1.553 1.156 (1.553 1.156 (1.553 1.156 (1.553 1.156 (1.553 1.156 (1.553 1.156 (1.553 1.156 (ε _{μα} _N 0.711 0.023 0.420 0.015 0.790 0.022 1.062 0.025	μδ, мсд/год —2.555 —0.861 0.028 0.889 —0.532 0.870 —2.432 —0.712 0.953	ε _{μδ} 0.455 0.020 0.338 0.012 0.627 0.017 0.017 0.062 0.020 0.020	G, mag 19.129 14.826 19.688 11.814 20.569 14.423 20.637 15.153 14.920	BP- RP, mag 1.712 1.973 2.673 1.064 1.326 1.603 0.450 2.295 2.105	V _г , км/с	εν _τ , κΜ/c _F	O O O O O Tarricq	○ UBC207	Cantat-Gaudin, NGC1977	Cantat-Gaudin, UBC207	-по: %,1 э	% '
83.93427 - 83.93389 - 83.91991 - 83.97698 - 83.97772 - 83.96664 - 83.97524 - 83.97524 - 83.97524 - 83.97524 - 83.97524 - 83.97524 - 83.97524 - 83.97524 - 83.97524 - 83.97524 - 83.97524 - 83.97524 - 83.97524 - 83.97524 - 83.97524 - 83.97524 - 83.97524 - 83.97524 - 83.97524 - 83.97524 - 83.97524 - 83.97524 - 83.97524 - 83.97524 - 83.97524 - 83.97524 - 83.97524 - 83.97524 - 83.97524 - 83.97524 - 83.97524 - 83.97524 - 83.97524 - 83.97524 - 83.97524 - 83.97524 - 83.97524 - 83.97524 - 83.97524 - 83.97524 - 83.97524 - 83.97524 - 83.97524 - 83.97524 - 83.97524 - 83.97524 - 83.97524 - 83.97524 - 83.97524 - 83.97524 - 83.97524 - 83.97524 - 83.97524 - 83.97524 - 83.97524 - 83.97524 - 83.97524 - 83.97524 - 83.97524 - 83.97524 - 83.97524 - 83.97524 - 83.97524 - 83.97524 - 83.97524 - 83.97524 - 83.97524 - 83.97524 - 83.97524 - 83.97524 - 83.97524 - 83.97524 - 83.97524 - 83.97524 - 83.97524 - 83.97524 - 83.97524 - 83.97524 - 83.97524 - 83.97524 - 83.97524 - 83.97524 - 83.97524 - 83.97524 - 83.97524 - 83.97524 - 83.97524 - 83.97524 - 83.97524 - 83.97524 - 83.97524 - 83.97524 - 83.97524 - 83.97524 - 83.97524 - 83.97524 - 83.97524 - 83.97524 - 83.97524 - 83.97524 - 83.97524 - 83.97524 - 83.97524 - 83.97524 - 83.97524 - 83.97524 - 83.97524 - 83.97524 - 83.97524 - 83.97524 - 83.97524 - 83.97524 - 83.97524 - 83.97524 - 83.97524 - 83.97524 - 83.97524 - 83.97524 - 83.97524 - 83.97524 - 83.97524 - 83.97524 - 83.97524 - 83.97524 - 83.97524 - 83.97524 - 83.97524 - 83.97524 - 83.97524 - 83.97524 - 83.97524 - 83.97524 - 83.97524 - 83.97524 - 83.97524 - 83.97524 - 83.97524 - 83.97524 - 83.97524 - 83.97524 - 83.97524 - 83.97524 - 83.97524 - 83.97524 - 83.97524 - 83.97524 - 83.97524 - 83.97524 - 83.97524 - 83.97524 - 83.97524 - 83.97524 - 83.97524 - 83.97524 - 83.97524 - 83.97524 - 83.97524 - 83.97524 - 83.97524 - 83.97524 - 83.97524 - 83.97524 - 83.97524 - 83.97524 - 83.97524 - 83.97524 - 83.97524 - 83.97524 - 83.97524 - 83.97524 - 83.97524 - 83.97524 - 83.97524 - 83.97524 - 83.97524 - 83.97524 - 83.97524 - 83.97524 - 83.97524 - 83.97524 -			6371 0272 5002 0166 9663 – 0219 – 2460 0310		3.711 3.023 3.420 3.015 3.730 3.022 3.029 3.029	-0.855 -0.861 0.028 0.889 -0.532 0.870 -2.432 -0.712 0.953		19.129 14.826 19.688 11.814 20.569 14.423 20.637 15.153 14.920	1.712 1.973 2.673 1.064 1.326 1.603 0.450 2.295 2.105	26.44							ление 7,
83.93389 83.91991 83.97698 83.98500 83.97172 83.96664 83.97524			0272 5002 0166 02192460 0310).023).420).015).022 (.062).029).029	0.028 0.028 0.889 -0.532 0.870 -2.432 -0.712 0.953		14.826 19.688 11.814 20.569 14.423 20.637 15.153 14.920	1.973 2.673 1.064 1.326 1.603 0.450 2.295 2.105	26.44						0	0
83.97698 83.97698 83.98500 83.97172 83.96664 83.97524			5002 0166 9663 – 0219 – 2460 0310).420).015).022 (.062).029).029	0.028 0.889 -0.532 0.870 -2.432 -0.712 0.953		19.688 11.814 20.569 14.423 20.637 15.153 14.920	2.673 1.064 1.326 1.603 0.450 2.295 2.105	26.44			0	1.0		95	13
83.97698 - 83.98500 - 83.97172 - 83.96664 - 83.97524 - 83.97524 - 83.97524 - 83.97524 - 83.97533			0166 9663 – 0219 – 2460 0310).015).022).022).022).029).025	0.889 -0.532 0.870 -2.432 -0.712 0.953		11.814 20.569 14.423 20.637 15.153 14.920 20.545	1.064 1.326 1.603 0.450 2.295 2.105	26.44			0			4	99
83.98500 - 83.97172 - 83.96664 - 83.97524 -			9663 – 1.0219 – 2.2460 1.0310).790).022 (.062).029).025	0.870 0.870 -2.432 -0.712 0.953		20.569 14.423 20.637 15.153 14.920 20.545	1.326 1.603 0.450 2.295 2.105				Т		1.0		87
83.97172 - 83.96664 - 83.97524 - 83.97524			0219 – 2460 0310 0268).022 .062 .029 .025	0.870 -2.432 -0.712 0.953		14.423 20.637 15.153 14.920 20.545	1.603 0.450 2.295 2.105				0			7	1
83.96664			.2460 .0310		1.062	-2.432 -0.712 0.953		20.637 15.153 14.920 20.545	0.450 2.295 2.105				0			0	0
83.97524			.0310		0.029	0.953		15.153 14.920 20.545	2.295			0 0	0				0
00 00			.0268		0.025	0.953		14.920	2.105			1	0	1.0		26	21
32095/40546583/1200 83.9/533 -					140	-5.923		20.545	,			0 0	1		1.0		82
3209574084720879616 84.00224	-4./8302		1.3099	3.058	2111	:			1.889			0 0				0	0
3209574089014927744 84.00261 —	-4.79104	2.4400 0	0.3950	-1.313 (0.330	1.717	0.268	19.535	2.983			0 0				0	0
3209574187800872832 84.00813	-4.77451	2.0001 1	1.4606 -	-1.028	1.013	-0.175	0.796	20.573	1.448			0 0	0			0	0
3209574226453935360 83.95782	-4.79575	2.3151 0	0.2203	17.004 0	0.206	-27.182	0.160	18.830	2.544			0 0	0			0	0
3209574329536277504 83.95776 —	-4.77568	2.5968 0	0.0547	0.445	0.045	-0.398	0.036	15.845	3.005			0 0	0			42	25
3209574428318307712 83.96120		2.6021 0	0.7884	10.734 0	0.630	9.211	0.488	20.274	2.123			0 0	0				0
3209574428319043840 83.97466	-4.75828	2.7097 0	0.1774	1.342	0.154	0.239	0.117	18.172	2.772			0 0	0			33	88
3209574501331931392 83.88761 -	-4.80813	1.9929	1.0873	-0.530	0.911	-0.459	0.734	20.530	0.732			0 0	0			3	2
3209574535691644160 83.89544	-4.79689	3.4842 0	0.5703	3.325 0	0.542	1.339	0.422	19.960	1.815			0 0	0				0
3209574535694898048* 83.90629	-4.79869	2.8488 0	0.1895	2.563	0.164	1.059	0.135	14.334	1.454			0 0	0			0	10
3209574570051399680 83.88070	-4.79477	2.7403 1	1.8332	0.010	1.306	-1.624		20.698	2.350			0 0	0			10	0
3209574570051402496 83.88563	-4.80234	2.4776 0	0.2065	0.782	0.167	-0.732	0.139	18.378	2.955			0 0	0			77	18
3209574604414198272 83.89676	-4.79437	2.5213 0	0.0302	1.038	0.025	-0.622	0.022	15.164	2.426			1	0	1.0			56
3209574604414199296 83.88997 -	-4.79247	2.6185 0	0.1014	0.821	0.082	-1.158	0.068	17.278	2.972			0 0	0			71	5
3209574604414200192 83.89276	-4.79773	2.0093 0	0.6064	2.203	0.476	-3.975	0.393	19.933	1.792			0 0	0			0	0
3209574673133667712 83.92927 —	-4.78343	2.5424 0	0.0520	0.918	0.045	-0.884	0.037	16.147	2.619			1	0	1.0		87	13
3209574707493411712 83.89377	-4.78192	2.6336 0	0.0468	1.310	0.041	-0.894	0.035	15.747	2.957			1	0	1.0		66	13
3209574707494332288 83.90514	-4.78320	2.5125 0	0.1228	0.862	0.104	0.398	980.0	17.162	3.173			0 0	0			70	06
3209574741853143552 83.91676 —	-4.76539	2.5532 0	0.0183	1.413	0.016	-0.701	0.013	14.060	1.912			1	0	1.0		26	20
3209574776209846144 83.86049	-4.78924	1.9530 0	0.9012	3.093	0.673	-2.612	0.555	20.331	0.865			0 0	0			0	0

Приложение 1. Продолжение

 $_{
m h}^{
m h}$ скоп-4 2 5 ление 1, % Р_µ скоп-0 0 0 0 0 13 6 97 51 49 54 1478741060 91 83 62 77 Cantat-Gaudin, UBC207 1.0 NGC1977 0. 0.1 0.1 0:1 0.1 0: 0.1 0: Cantat-Gaudin, 0 0 0 0 0 0 0 0 0 0 0 0 0 0 0 0 **NBC501** 0 0 0 0 0 0 0 0 0 0 0 0 0 0 0 0 0 0 0 0 0 0 Larricq KM/C 3.16 $\epsilon_{\rm Vr}$ 20.93 KM/C 2.698 2.548 2.458 1.915 1.693 1.515 3.299 1.155 2.243 2.070 3.026 1.642 2.070 2.419 2.427 3.338 2.123 2.087 2.793 2.577 14.919 20.216 20.564 20.528 14.943 15.254 14.809 18.694 906.81 14.544 14.794 13.969 14.959 688.91 16.775 15.909 19.886 20.279 17.415 20.208 15.699 18.228 14.669 *G*, mag 0.018 0.0180.392 0.765 0.6480.829 0.081 0.8180.062 0.024 0.018 0.1690.315 0.1490.594 0.029 0.023 0.020 0.052 0.113 0.021 0.211 $\epsilon_{\mu\delta}$ мсд/год 0.672 -3.2734.743 0.608996.0 0.728 0.502 -0.6830.083-0.5070.981 -0.632-0.591-0.935-0.471-1.111 -0.8230.024 0.015 0.0191.029 0.8670.0780.0290.385 0.024 0.643 0.034 0.059 0.097 0.217 0.137 0.061 0.991 0.021 0.251 0.061 1.121 $\epsilon_{\mu\alpha}$ 1.195 2.065 0.450 0.785 5.883 6.793 3.102 1.215 1.193 1.443 1.028 1.269 0.804 1.760 1.646 мсд/год -8.227 1.377 12.869 0.577 1.377 0.067 0.417 1.358 0.0885 1.5154 0.2140 0.8198 0.0243 0.0693 0.1127 0.0344 0.0416 0.9436 0.0250 0.2458 0.0283 2.7034 0.3127 1.9287 | 1.2321 ϵ_{π} , MCI 2.5273 2.5597 2.6589 2.7485 2.4962 2.5728 2.8583 2.5258 2.3903 2.7978 2.6132 2.8176 2.5511 2.4126 1.7290 2.5036 3.1358 2.3106 2.5908 2.5554 2.2841 2.5401 3.2671 2.5747 2.4551 я, ИСД -4.79073-4.78013-4.73896 -4.73776-4.72644-4.82116-4.82483-4.82035-4.81939-4.82092-4.76948 -4.75796-4.74035 -4.73933-4.73101-4.73462-4.72768-4.71587-4.84807-4.83657-4.82790-4.82057-4.81204-4.82820-4.75411-4.74057град ó, 83.86203 83.89040 83.90378 83.93434 83.91596 83.93882 83.93546 83.93885 83.76110 83.78966 83.77083 83.77442 83.77894 83.86938 83.88458 83.88427 83.94027 83.95205 83.92147 83.89717 83.91787 83.92671 83.76547 83.74733 83.76491 83.75998 83.77147 83.97131 83.72961 α, град 3209575429047904768* 3209575703925864576* 209575562189789184* 1209575669566133632* 3209575807002165248* 3209575222886272512* 209575429045733504 209575463407640960 3209574948011576192* 209575463407638400 209575699629346816 3209575807005070848 3209574776212894976 3209574810572628352 3209574913651840640 3209575085450709120 3209575149873550336 3209575257250246016 209575493471996672 3209575600846656128 209575703925862912 3209575772645331328 209575807005072000 209575807005074560 3209575875724566144 3209574776212896384 3209574806276162816 209575356030175744 209575394688171008 ID GDR3

	a	
		=
	1	4
		-i
		ч
	'n	ń
	9	٠,
	2	4
	I DAY II	٧
	Н	-
	Н	,
	^	٦
	2	5
	7	ч
	-	٦
	-	_
	-	٦
	٠	1
н	_	4
ı		_
,		:
,	_	•
,	_	
,	9	; 2
,	ΔE	1
,	DIN	INC I.
,	OMIN	HING I.
,	ONLINE	CHIC I.
,	OMINO	CHICA I.
,	OMINO	PCHAC I.
,	OKINOZK	ACRINC I.
,	OMINON	JACHNO I.
,	ONLOWE	CACHINE I.
,	OMIT ON OTHER	TOWCHING I.
,	Ì	LICACING I.
,	ONITION OF THE	MINIORCHIC I.

ID GDR3	α, град	δ, град	π, мсд	$\epsilon_{ au},$ мсд	$\mu_{lpha},$ мсд/год	εμα	μ _δ , мсд/год	ξμό	G, mag	BP- RP, mag	$V_{\rm r}$	$\epsilon_{ m V_{ m r}}$	Tarricq UBC621	UBC207	Cantat-Gaudin, NGC1977	Cantat-Gaudin, UBC207	<i>Р</i> _µ скоп-	h_{μ} скоп-
3209575905788826624	83.74737	-4.82480	2.1382	0.2542	1.934	0.224	-13.222	0.185	18.829	2.468			0	0 0			0	0
3209575910084299520	83.74132	-4.82021	2.5769	0.0439	2.099	0.037	0.067	0.031	15.816	2.569			0	0			23	33
3209575978803771008	83.73680	-4.80199	2.4980	0.1249	0.611	0.109	0.083	0.098	17.805	2.606			0	0 0			29	61
3209575978803775488*	83.72975	-4.80771	2.2749	0.0449	1.275	0.040	-1.681	0.033	13.369	1.764	35.09	1.58		0	1.0		46	0
3209576013160606336	83.75223	-4.80994	2.5350	0.1605	1.665	0.142	-1.712	0.115	18.400	1.994			0	0 0			37	0
3209576013163656064	83.76243	-4.80911	2.5161	0.0519	2.021	0.044	-2.050	0.036	15.890	2.033			0	0	1.0		12	0
3209576013164433408	83.76429	-4.81321	2.1882	0.4895	0.690	0.390	0.416	0.345	19.747	2.613				0 0			16	42
3209576043226740992	83.76568	-4.79771	2.5743	0.1405	1.380	0.120	-0.783	0.103	17.928	2.363				0 0			86	17
3209576047523236992*	83.77188	-4.80080	2.5594	0.2311	1.881	0.189	-1.505	0.157	15.317	2.792				0 0			42	0
3209576077585664640	83.74488	-4.80120	2.0389	0.1785	3.270	0.158	10.378	0.133	18.161	2.223			0	0			0	0
3209576116242714624	83.75870	-4.79192	2.7716	0.1187	1.264	0.109	-0.824	0.091	17.390	3.146			0	0			66	16
3209576146305954560	83.80212	-4.80600 2.3256		0.3536	1.805	0.289	-0.717	0.216	19.007	2.719			0	0			75	13
3209576322401123200	83.84520	-4.77820	2.5699	0.0430	0.756	0.036	-0.738	0.031	15.920	2.639				0	1.0		75	17
3209576459840087936*	83.79827	-4.77608	2.3920	0.3695	1.526	0.303	-1.542	0.240	15.245	2.629			0	0 (54	_
3209576459840091008	83.79575	-4.78682	2.7041	0.0440	1.560	0.036	-1.474	0.030	16.046	2.558			0	0			58	_
3209576459840251776	83.78625	-4.78124	2.5383	0.0624	1.144	0.051	-0.245	0.041	16.362	1.721				0	1.0		72	55
3209576494199830784	83.76954	-4.77276	2.3345	0.2550	1.196	0.213	0.512	0.218	19.231	1.710			0	0 0			17	66
3209576494199832704	83.77008	-4.78584	2.4564	0.1450	1.154	0.126	-0.853	0.099	17.718	2.943			0	0			86	15
3209576528559565184	83.78149	-4.76533	2.7262	0.1396	1.506	0.126	-0.174	0.103	17.679	3.199			0	0			64	54
3209576528559728000	83.78059	-4.76528	2.5917	0.1246	0.781	0.117	-0.763	0.099	17.868	2.853			0	0			78	16
3209576597279031680*	83.81973	-4.76239	2.5638	0.0368	0.808	0.030	-0.659	0.025	14.002	1.817			_	0	1.0		78	21
3209576631638777472	83.79520	-4.76738	2.5027	0.0876	-0.170	0.074	-0.568	0.061	17.195	2.882			0	0			=======================================	5
3209576665998511232	83.79869	-4.75192	1.7047	0.1341	-6.175	0.124	-5.755	0.099	18.046	1.907			0	0 (0	0
3209576696059883904	83.71065	-4.81033	2.9263	0.1855	0.684	0.168	0.668	0.158	18.772	2.966			0	0			8	78
3209576696060945536	83.71151	-4.80568	2.7559	0.3735	0.744	0.332	-0.991	0.286	19.607	1.975			0	0 0			72	∞
3209576769077759744*	83.71368	-4.79919	2.5503	0.0378	0.653	0.035	-0.829	0.029	12.904	1.713				0			29	12
3209576769077761152*	83.70098	-4.79449	2.5169	0.0205	0.744	0.019	-0.425	0.015	13.395	2.195			_	0	1.0		65	34
3209576769077761792	83.70264	-4.79722	2.5948	0.0440	1.693	0.042	0.504	0.034	16.059	2.612			0	0 0			15	74
320957683779723168	07 77 500	11001						,	0	1			,		_			i

 $_{
m h}^{
m h}$ скоп-0 10 10 31 81 13 ление 1, % 54 38 0 0 57 0 46 39 0 38 45 22 48 15 97 Cantat-Gaudin, UBC207 NGC1977 0.1 0:1 0.1 0:1 Cantat-Gaudin, 0 0 0 0 0 0 0 0 0 0 **NBC501** 0 0 0 0 0 0 0 0 0 0 0 0 0 0 0 0 0 0 0 0 0 0 0 0 0 0 0 0 0 Larricq KM/C 1.37 $\epsilon_{\rm Vr}$ 29.24 KM/C 1.526 1.487 3.235 3.343 3.328 2.489 1.538 1.052 1.573 0.324 2.128 2.467 2.924 2.647 2.127 -0.0783.024 18.970 16.709 8.335 7.310 6.833 8.722 19.129 18.408 7.804 19.230 20.816 18.914 7.918 9.184 8.791 *G*, mag 0.240 0.359 0.103 0.240 1.432 0.193 0.207 0.160 0.4690.113 0.128 0.1090.057 0.255 0.055 0.019 0.788 0.100 0.051 $\epsilon_{\mu\delta}$ -1.616-3.245 -0.8280.214 -0.92215.512 мсд/год -0.473-4.393-1.200-1.432-4.910-0.752-0.434-0.637-0.345-0.339-0.217-0.441-0.431-8.7810.236 0.0630.244 0.0640.294 0.8790.5460.423 0.125 0.274 1.853 0.538 0.143 0.072 0.277 0.186 0.0800.176 0.131 $\epsilon_{\mu\alpha}$ 0.581 0.710 4.842 1.790 0.485 1.216 0.073 0.746 1.458 4.104 1.790 1.988 2.139 1.484 0.4890.144 1.926 0.575 -0.4672.190 2.553 1.768 мсд/год -0.434-0.8590.971 1.197 0.0769 0.3180 0.6343 1.8084 0.2570 2.7075 0.2795 2.9113 0.2103 0.3405 2.7092 0.6280 0.1205 0.1351 0.33800.0677 0.1485 2.3036 0.1630 0.1391 ϵ_{π} , MCI 2.6084 2.6170 3.5595 3.0063 3.1189 2.4681 2.5382 2.6172 1.7712 2.4119 1.6941 2.7552 2.4186 2.5121 2.5481 2.5061 2.5445 2.4736 1.9144 2.5087 3.6628 2.4381 2.1421 2.1169 я, ИСД -4.77912 -4.77462 -4.76800-4.78740 -4.79465 -4.74704-4.71876 -4.76059-4.75300 -4.78261-4.77004-4.76092-4.77133-4.73633-4.74712-4.75119-4.73631-4.73798-4.76737-4.75512-4.75826-4.73110-4.77181-4.75197-4.74091-4.73871-4.73184град ó, 83.73675 83.73433 83.72642 83.72697 83.75736 83.76196 83.79014 83.79505 83.76577 83.76719 83.73953 83.76284 83.76995 83.74595 83.83758 83.83588 83.86999 83.87343 83.86609 83.86755 83.75193 83.73159 83.69277 83.71710 83.74399 83.75067 83.69541 83.68631 83.84551 α, град (209577868589347840* (209577692491953024* 3209576872157880192* 3209576940876434048 (209577902949083264 209577726854986240 3209577868589348992 3209576936579178496 3209576940876434176 3209576970937813888 3209576970939677312 3209577039659060736 3209577147031948032 3209577147034864896 (209577421909729920 209577451977080576 209577524989010432 209577555056294528 3209577623774015360 209577658135510400 3209577933013419904 209577937308816896 3209578040384913536 3209577108377878016 209577451977080320 209577937305713792 209577353191123840 3209577421912751616 209577250111114240 ID GDR3

ധ	
=	
-	
Продолжени	
_	
യ	
ЖКО	
-	
-5	
\circ	
\simeq	
\circ	
$\overline{}$	
\Box	
Ξ	
$\overline{}$	
кение 1.	
ложение 1.	
кение 1.	

α. The color of the	приложение 1. продол	Продолжение																	
83.82795 4.74893 2.4436 0.1451 1.262 0.119 -0.509 0.098 17.392 3.289 0 0 0 0 0 0 0 0 0 0 0 0 0 0 0 0 0 0 0 0 0 0 0 0 0 0 0 0 0 0 0 0 0 0 0 0 0 0 0 0 0 0 0 0 0 0 0 0 0 0 0 0 0 0 0 0 0 0 0 0 0 0 0 0 0 0 0 0 0 0 0 0 0 0 0 0 0 0 0 0 0 0 0 0 0 0 0 0 0 0 0 0 0 0 <t< td=""><td>ID GDR3</td><td>а, град</td><td>8, град</td><td>π, мсд</td><td>$arepsilon_{\pi},$ MCμ</td><td>$\mu_{lpha},$мсд/год</td><td></td><td>μδ, мсд/год</td><td>$\epsilon_{\mu\delta}$</td><td>G, mag</td><td>BP- RP, mag</td><td>$V_{ m r}$</td><td>ε_{Vr},</td><td></td><td></td><td>Cantat-Gaudin,</td><td>Cantat-Gaudin,</td><td></td><td>$b^{ m lt}$ скоп-</td></t<>	ID GDR3	а, град	8, град	π, мсд	$arepsilon_{\pi},$ MC μ	$\mu_{lpha},$ мсд/год		μδ, мсд/год	$\epsilon_{\mu\delta}$	G, mag	BP- RP, mag	$V_{ m r}$	ε _{Vr} ,			Cantat-Gaudin,	Cantat-Gaudin,		$b^{ m lt}$ скоп-
83.82441 -4.74793 2.5136 0.0183 1.255 0.002 1.7860 3.827 0.01 0.01 0.01 0.01 0.01 0.01 0.01 0.01 0.01 0.01 0.01 0.01 0.01 0.01 0.01 0.01 0.01 0.01 0.01 0.01 0.01 0.01 0.01 0.01 0.01 0.01 0.01 0.01 0.01 0.01 0.01 0.01 0.01 0.01 0.01 0.01 0.01 0.01 0.01 0.01 0.01 0.01 0.01 0.01 0.01 0.01 0.01 0.01 0.01 0.02 0.02 0.02 0.02 0.02 0.02 0.02 0.02 0.02 0.02 0.02 0.02 0.02 0.02 0.02 0.02 0.02 0.02 0.02 0.02 0.02 0.02 0.02 0.02 0.02 0.02 0.02 0.02 0.02 0.02 0.02 0.02 0.02 0.02 0.02	320957807474777408	83.82795	-4.74895	2.4436	0.1451	1.262	0.119	-0.509	0.098	17.929	3.289							91	33
83.834605 -4.736/4 2.7782 0.1372 0.903 0.115 0.002 17.86 3.827 7.88 0 0 0 0 0 0 0 0 0 0 0 0 0 0 0 0 0 0 0 0 0 0 0 0 0 0 0 0 0 0 0 0 0 0 0 0 0 0 0 0 0 0 0 0 0 0 0 0 0 0 0 0 0 0 0 0 0 0 0 0 0 0 0 0 0 0 0 0 0 0 0 0 0 0 0 0 0 0 0 0 0 0 0 0 0 0 0 0 0 0 0 0 0 0 <th< td=""><td>320957807474777792</td><td>83.82441</td><td>-4.74793</td><td>2.5136</td><td>0.0183</td><td>1.255</td><td>0.015</td><td>-0.605</td><td>0.012</td><td>13.904</td><td>1.746</td><td></td><td></td><td></td><td>$\frac{1}{0}$</td><td>1.0</td><td></td><td>96</td><td>27</td></th<>	320957807474777792	83.82441	-4.74793	2.5136	0.0183	1.255	0.015	-0.605	0.012	13.904	1.746				$\frac{1}{0}$	1.0		96	27
83.832865 -47440 24531 0.111 1.461 0.090 -1.105 0.040 10.785 1.224 35.77 7.88 0 0 0 0 0 0 0 0 0 0 0 0 0 0 0 0 0 0 0 0 0 0 0 0 0 0 0 0 0 0 0 0 0 0 0 0 0 0 0 0 0 0 0 0 0 0 0 0 0 0 0 0 0 0 0 0 0 0 0 0 0 0 0 0 0 0 0 0 0 0 0 0 0 0 0 0 0 0 0 0 0 0 0 0 0 0 0 0 0 0 0 0	3209578109107510400	83.84005		2.7282	0.1372	0.903	0.115	-0.692	960.0	17.860	3.827							85	21
83.83294 -4.74526 2.4558 0.0505 1.311 0.049 0.812 0.040 1.0785 1.224 35.77 7.88 0 0 0 0 0 0 0 0 0 0 0 0 0 0 0 0 0 0 0 0 0 0 0 0 0 0 0 0 0 0 0 0 0 0 0 0 0 0 0 0 0 0 0 0 0 0 0 0 0 0 0 0 0 0 0 0 0 0 0 0 0 0 0 0 0 0 0 0 0 0 0 0 0 0 0 0 0 0 0 0 0 0 0 0 0 0 0 0 0 0 0 0	3209578109107513856	83.82865		2.4531	0.1117	1.461	0.090	-1.105	0.072	16.704	3.261				$\frac{1}{0}$			88	9
83.82244 -4.73553 2.4252 0.9427 1.643 0.027 -0.089 0.706 0.0531 1.659 2.559 0.09 0.050 0.050 0.050 0.050 0.050 0.050 0.050 0.050 0.050 0.050 0.050 0.050 0.050 0.050 0.050 0.050 0.050 0.050 0.050 0.050 0.050 0.050 0.050 0.050 0.050 0.050 0.050 0.050 0.050 0.050 0.050 0.050 0.050 0.050 0.050 0.050 0.050 0.050 0.050 0.050 0.050 0.050 0.050 0.050 0.050 0.050 0.050 0.050 0.050 0.050 0.050 0.050 0.050 0.050 0.050 0.050 0.050 0.050 0.050 0.050 0.050 0.050 0.050 0.050 0.050 0.050 0.050 0.050 0.050 0.050 0.050 0.050 0.050 0.050 0.050 0.050	3209578143467255680*	83.81304	-4.74526	2.4558	0.0505	1.311	0.049	0.812	0.040	10.785	1.234	35.77	7.88			_		7	68
83.82894 -4.73033 2.5201 0.0630 -0.277 0.056 0.056 0.056 0.056 0.056 0.056 0.057 0.059 1.6295 3.167 0 0 0 0 0 0 0 0 0 0 0 0 0 0 0 0 0 0 0 0 0 0 0 0 0 0 0 0 0 0 0 0 0 0 0 0 0 0 0 0 0 0 0 0 0 0 0 0 0 0 0 0 0 0 0 0 0 0 0 0 0 0 0 0 0 0 0 0 0 0 0 0 0 0 0 0 0 0 0 0 0 0 0 0 0 0 0 0	3209578173530529024	83.82244	-4.73553	2.4252	0.9427	1.643	0.827	-0.089	90.70	20.371	1.601					_		52	53
83.82837 44.73615 24095 0.0839 0.0870 0.070 0.0576 0.0576 0.0593 3.167 0 0 0 0 0 0 0 0 0 0 0 0 0 0 0 0 0 0 0 0 0 0 0 0 0 0 0 0 0 0 0 0 0 0 0 0 0 0 0 0 0 0 0 0 0 0 0 0 0 0 0 0 0 0 0 0 0 0 0 0 0 0 0 0 0 0 0 0 0 0 0 0 0 0 0 0 0 0 0 0 0 0 0 0 0 0 0 0 0 0 0 0 0 0	3209578177827165184	83.82994		2.5201	0.0630	-0.272	0.056	0.569	0.047	16.295	2.559					_		_	13
83.84090 -4.73060 2.8988 0.1333 5.441 0.101 -3.023 0.085 17.732 2.443 0 0 0 0 0 0 0 0 0 0 0 0 0 0 0 0 0 0 0 0 0 0 0 0 0 0 0 0 0 0 0 0 0 0 0 0 0 0 0 0 0 0 0 0 0 0 0 0 0 0 0 0 0 0 0 0 0 0 0 0 0 0 0 0 0 0 0 0 0 0 0 0 0 0 0 0 0 0 0 0 0 0 0 0 0 0 0 0 0 0 0 0 0 0 <	3209578177827165568	83.82857	-4.73615	2.4095	0.0859	0.897	0.072	929.0-	0.059	16.595	3.167			0	$\frac{1}{0}$			85	22
83.83521 4.72588 2.9255 0.8971 -0.396 0.740 0.0570 0.0260 1.550 1.550 1.515 0 0 0 0 0 0 0 0 0 0 0 0 0 0 0 0 0 0 0 0 0 0 0 0 0 0 0 0 0 0 0 0 0 0 0 0 0 0 0 0 0 0 0 0 0 0 0 0 0 0 0 0 0 0 0 0 0 0 0 0 0 0 0 0 0 0 0 0 0 0 0 0 0 0 0 0 0 0 0 0 0 0 0 0 0 0 0 0 0 0 0 0 0	3209578207889587328	83.84090		2.8988	0.1233	5.413	0.101	-3.023	0.085	17.753	2.443							0	0
83.84484 44.72385 2.5633 0.0260 1.180 0.021 -1.066 0.017 1.5562 1.515 9 9 9 83.84484 44.7238 2.4568 0.0828 1.385 0.067 -0.977 0.053 16.592 2.556 1 1 0 1 0 1 0 0 1 0 0 0 0 0 0 0 0 0 0 0 0 0 0 0 0 0 0 0 0 0 0 0 0 0 0 0 0 0 0 0 0 0 0 0 0 0 0 0 0 0 0 0 0 0 0 0 0 0 0 0 0 0 0 0 0 0 0 0 0 0 0 0 0 0 0 0 0 0 <td>3209578276609745280</td> <td>83.83521</td> <td>-4.72588</td> <td>2.9255</td> <td>0.8971</td> <td>-0.396</td> <td>0.749</td> <td>0.670</td> <td>0.604</td> <td>20.252</td> <td>2.295</td> <td></td> <td></td> <td></td> <td>0 0</td> <td>_</td> <td></td> <td>0</td> <td>∞</td>	3209578276609745280	83.83521	-4.72588	2.9255	0.8971	-0.396	0.749	0.670	0.604	20.252	2.295				0 0	_		0	∞
83.84484 -4.72389 2.4368 0.0828 1.385 0.067 -0.977 0.053 16.392 2.562 1 1 1 0 1 1 0 95 83.84683 -4.71750 2.5765 0.0218 0.969 0.019 1.114 0.017 14.224 2.145 0.145 1.815 0.019 1.114 0.017 14.224 2.145 0.160 0.019 0.019 0.019 0.019 0.019 0.019 0.019 0.019 0.019 0.019 0.019 0.019 0.019 0.019 0.019 0.019 0.019 0.019 0.019 0.019 0.019 0.019 0.019 0.019 0.019 0.019 0.019 0.019 0.019 0.019 0.029 0.029 0.026 0.029 0.029 0.029 0.029 0.029 0.029 0.029 0.029 0.029 0.029 0.029 0.029 0.029 0.029 0.029 0.029 0.029 0.029 0.029	3209578276615162112*	83.84715	-4.72385	2.5633	0.0260	1.180	0.021	-1.066	0.017	12.562	1.515			0	$\frac{1}{0}$	1.0		92	7
83.84683 -4.71750 2.5766 0.018 0.046 0.011 1.114 0.017 14.224 2.145 0.05 0.0150 1.114 0.011 14.224 2.145 0.05 0.0150 0.0150 0.0150 0.0150 0.0150 0.0150 0.0150 0.0150 0.0150 0.0150 0.0150 0.0150 0.0150 0.0150 0.0150 0.0150 0.0150 0.0150 0.0150 0.0150 0.0150 0.0150 0.0150 0.0150 0.0150 0.0150 0.0150 0.0150 0.0150 0.0150 0.0150 0.0150 0.0150 0.0150 0.0150 0.0150 0.0150 0.0150 0.0150 0.0150 0.0150 0.0150 0.0150 0.0150 0.0150 0.0150 0.0150 0.0150 0.0150 0.0150 0.0150 0.0150 0.0150 0.0150 0.0150 0.0150 0.0150 0.0150 0.0150 0.0150 0.0150 0.0150 0.0150 0.0150 0.0150 0.0150 0.0150 0.0150	3209578280906199168	83.84484	-4.72389	2.4368	0.0828	1.385	0.067	-0.977	0.053	16.392	2.562				1 0	1.0		95	6
83.88754 -4.73306 2.5109 0.0157 1.815 0.013 0.012 13.539 1.675 25.36 16.09 0 0 0 0 0 0 0 0 0 0 0 0 0 0 0 0 0 0 0 0 0 0 0 0 0 0 0 0 0 0 0 0 0 0 0 0 0 0 0 0 0 0 0 0 0 0 0 0 0 0 0 0 0 0 0 0 0 0 0 0 0 0 0 0 0 0 0 0 0 0 0 0 0 0 0 0 0 0 0 0 0 0 0 0 0 0 0 0 0 0 0 0 0	3209578315265936128	83.84683		2.5765	0.0218	0.969	0.019	1.114	0.017	14.224	2.145				$\frac{1}{0}$		1.0	7	89
83.90799 -4.70268 2.4164 0.1983 9.873 0.173 2.681 0.142 18.504 2.396 0 0 0 0 0 0 0 0 0 0 0 0 0 0 0 0 0 0 0 0 0 0 0 0 0 0 0 0 0 0 0 0 0 0 0 0 0 0 0 0 0 0 0 0 0 0 0 0 0 0 0 0 0 0 0 0 0 0 0 0 0 0 0 0 0 0 0 0 0 0 0 0 0 0 0 0 0 0 0 0 0 0 0 0 0 0 0 0 0 0 0 0 0 0 <t< td=""><td>3209578345330280448</td><td>83.88754</td><td>-4.73306</td><td>2.5109</td><td>0.0157</td><td>1.815</td><td>0.013</td><td>0.610</td><td>0.012</td><td>13.539</td><td>1.675</td><td>25.36</td><td>16.09</td><td></td><td></td><td>_</td><td></td><td>10</td><td>63</td></t<>	3209578345330280448	83.88754	-4.73306	2.5109	0.0157	1.815	0.013	0.610	0.012	13.539	1.675	25.36	16.09			_		10	63
83.91219 -4.69271 2.5343 0.1140 1.869 0.092 -0.568 0.076 17.413 3.068 0 0 0 0 0 0 0 0 0 0 0 0 0 0 0 0 0 0 0 0 0 0 0 0 0 0 0 0 0 0 0 0 0 0 0 0 0 0 0 0 0 0 0 0 0 0 0 0 0 0 0 0 0 0 0 0 0 0 0 0 0 0 0 0 0 0 0 0 0 0 0 0 0 0 0 0 0 0 0 0 0 0 0 0 0 0 0 0 0 0 0 0 0 0 <	3209578555780913024	83.90799	-4.70268	2.4164	0.1983	9.873	0.173	2.681	0.142	18.504	2.396					_		0	0
83.88213 4.68548 2.4156 0.0826 1.830 0.074 0.412 0.606 16.669 2.744 0 0 0 0 0 16 16 16 1 1 1 1 1 1 1 1 1 1 1 1 1 1 1 1 1 1 1 1 1 1 1 1 1 1 1 1 1 1 1 1 1 1 1 1 1 1 1 1 1 1 1 1 1 1 1 1 1 1 1 1 1 1 1 1 1 1 1 1 1 1 1 1 1 1 1 1 1 1 1 1 1 1 1 1 1 1 1 1 1 1 1 1 1 1	3209578590143827456	83.91219		2.5343	0.1140	1.869	0.092	-0.568	0.076	17.413	3.068					_		99	18
83.89364 -4.67244 2.5963 0.0379 1.105 0.026 0.026 15.539 2.598 1 1 0 1.0 1.0 72 83.80192 -4.74054 2.3909 0.2772 1.851 0.246 -1.746 0.197 13.804 2.246 0 0 0 0 0 0 0 0 0 0 0 0 0 0 0 0 0 0 0 0 0 0 0 0 0 0 0 0 0 0 0 0 0 0 0 0 0 0 0 0 0 0 0 0 0 0 0 0 0 0 0 0 0 0 0 0 0 0 0 0 0 0 0 0 0 0 0 0 0 0 0 0 0 0 0 0 <td>3209578830662000384</td> <td>83.88213</td> <td></td> <td>2.4156</td> <td>0.0826</td> <td>1.830</td> <td>0.074</td> <td>0.412</td> <td>090.0</td> <td>16.669</td> <td>2.744</td> <td></td> <td></td> <td></td> <td></td> <td>_</td> <td></td> <td>16</td> <td>62</td>	3209578830662000384	83.88213		2.4156	0.0826	1.830	0.074	0.412	090.0	16.669	2.744					_		16	62
83.80192 -4.74054 2.3909 0.2772 1.851 0.246 -1.746 0.197 13.804 2.246 0 0 0 0 0 0 0 0 0 0 0 0 0 0 0 0 0 0 0 0 0 0 0 0 0 0 0 0 0 0 0 0 0 0 0 0 0 0 0 0 0 0 0 0 0 0 0 0 0 0 0 0 0 0 0 0 0 0 0 0 0 0 0 0 0 0 0 0 0 0 0 0 0 0 0 0 0 0 0 0 0 0 0 0 0 0 0 0 0 0 0 0 0 0 <	3209578865021733760	83.89364	-4.67244	2.5963	0.0379	1.105	0.032	-0.261	0.027	15.539	2.598				1 0	1.0		72	53
83.79431 -4.71372 1.9900 0.4002 -0.481 0.393 2.948 0.291 19.496 2.651 0 0 0 0 0 0 0 0 0 0 0 0 0 0 0 0 0 0 0 0 0 0 0 0 0 0 0 0 0 0 0 0 0 0 0 0 0 0 0 0 0 0 0 0 0 0 0 0 0 0 0 0 0 0 0 0 0 0 0 0 0 0 0 0 0 0 0 0 0 0 0 0 0 0 0 0 0 0 0 0 0 0 0 0 0 0 0 0 0 0 0 0 0 0 <	3209578899381500928*	83.80192		2.3909	0.2772	1.851	0.246	-1.746	0.197	13.804	2.246					_		29	0
83.80711 -4.71633 2.5283 0.0209 0.824 0.019 -0.915 0.016 14.538 2.035 1 1 0 1.0 1.0 2 83.80430 -4.71827 2.5966 0.0466 0.727 0.040 1.046 0.032 16.055 2.515 0 0 0 1 1 0 0 0 0 0 0 0 0 0 0 0 0 0 0 0 0 0 0 0 0 0 0 0 0 0 0 0 0 0 0 0 0 0 0 0 0 0 0 0 0 0 0 0 0 0 0 0 0 0 0 0 0 0 0 0 0 0 0 0 0 0 0 0 0 0 0 0 0 0 0	3209578998165308032	83.79431	-4.71372	1.9900	0.4002	-0.481	0.393	2.948	0.291	19.496	2.651			0	0 0	_		0	0
83.80430 -4.71827 2.5966 0.0466 0.0727 0.040 1.046 0.032 16.055 2.515 0 0 0 0 0 0 0 0 0 0 0 0 0 0 0 0 0 0 0 0 0 0 0 0 0 0 0 0 0 0 0 0 0 0 0 0 0 0 0 0 0 0 0 0 0 0 0 0 0 0 0 0 0 0 0 0 0 0 0 0 0 0 0 0 0 0 0 0 0 0 0 0 0 0 0 0 0 0 0 0 0 0 0 0 0 0 0 0 0 0 0 0 0 0 0 0 0 0 0 0 0 0 0 0 0 0	3209579002460710144	83.80711	-4.71633	2.5283	0.0209	0.824	0.019	-0.915	0.016	14.538	2.035				1 0	1.0		80	Ξ
83.83068 -4.71601 2.9445 0.1672 -1.267 0.116 18.318 2.240 0 0 0 0 0 0 0 0 0 0 0 0 0 0 0 0 0 0 0 0 0 0 0 0 0 0 0 0 0 0 0 0 0 0 0 0 0 0 0 0 0 0 0 0 0 0 0 0 0 0 0 0 0 0 0 0 0 0 0 0 0 0 0 0 0 0 0 0 0 0 0 0 0 0 0 0 0 0 0 0 0 0 0 0 0 0 0 0 0 0 0 0 0 0 0 0 0 <td>3209579002460711168</td> <td>83.80430</td> <td>-4.71827</td> <td>2.5966</td> <td>0.0466</td> <td>0.727</td> <td>0.040</td> <td>1.046</td> <td>0.032</td> <td>16.055</td> <td>2.515</td> <td></td> <td></td> <td></td> <td>$\frac{1}{0}$</td> <td></td> <td>1.0</td> <td>7</td> <td>63</td>	3209579002460711168	83.80430	-4.71827	2.5966	0.0466	0.727	0.040	1.046	0.032	16.055	2.515				$\frac{1}{0}$		1.0	7	63
83.82309 -4.71048 3.3089 1.6012 2.262 1.216 -0.451 0.015 20.739 2.220 0 0 0 0 0 0 0 0 0 0 0 0 0 0 0 0 0 0 0 0 0 0 0 0 0 0 0 0 0 0 0 0 0 0 0 0 0 0 0 0 0 0 0 0 0 0 0 0 0 0 0 0 0 0 0 0 0 0 0 0 0 0 0 0 0 0 0 0 0 0 0 0 0 0 0 0 0 0 0 0 0 0 0 0 0 0 0 0 0 0 0 0 0 0 <	3209579032523358720	83.83068		2.9445	0.1672	-3.150	0.146	-10.974	0.116	18.318	2.240					_		0	0
83.84307 -4.70213 2.4696 0.0205 1.447 0.019 -0.451 0.016 14.167 2.007 0 0 0 0 0 0 0 0 0 0 0 0 0 0 0 0 0 0 0 0 0 0 0 0 0 0 0 0 0 0 0 0 0 0 0 0 0 0 0 0 0 0 0 0 0 0 0 0 0 0 0 0 0 0 0 0 0 0 0 0 0 0 0 0 0 0 0 0 0 0 0 0 0 0 0 0 0 0 0 0 0 0 0 0 0 0 0 0 0 0 0 0 0 0 0 0 0 0 0 0 0 0 0 0 0 0	3209579036817344768	83.82309		3.3089	1.6012	2.262	1.216	-1.267	0.972	20.739	2.220					_		30	_
83.81301 -4.71305 2.1435 0.3179 5.412 0.276 -10.280 0.225 19.169 2.928 0 0 0 0 0 0 0 0 0 0 0 0 0 0 0 0 0 0 0 0 0 0 0 0 0 0 0 0 0 0 0 0 0 0 0 0 0 0 0 0 0 0 0 0 0 0 0 0 0 0 0 0 0 0 0 0 0 0 0 0 0 0 0 0 0 0 0 0 0 0 0 0 0 0 0 0 0 0 0 0 0 0 0 0 0 0 0 0 0 0 0 0 0 0 0 0 0 0 0 0 0 0 0 0 0 0	3209579071180411648	83.84307	-4.70213	2.4696	0.0205	1.447	0.019	-0.451	0.016	14.167	2.007					_		98	35
83.78905 -4.70066 2.6734 0.0710 1.246 0.064 0.982 0.052 16.764 2.836 0 0 0 0 1 0 0 1 0 0 1 0 0 1 0 0 1 0 0 0 0 0 0 0 0 0 0 0 0 0 0 0 0 0 0 0 0 0 0 0 0 0 0 0 0 0 0 0 0 0 0 0 0 0 0 0 0 0 0 0 0 0 0 0 0 0 0 0 0 0 0 0 0 0 0 0 0 0 0 0 0 0 0 0 0 0 0 0 0 0 0 0 0 0 0 0 0 0 0 0 0 0 0 0 0 0	3209579105540844160	83.81301	-4.71305	2.1435	0.3179	5.412	0.276	-10.280	0.225	19.169	2.928					_		0	0
83.80500 -4.69848 2.4768 0.0497 0.505 0.047 -0.532 0.037 16.169 2.764 1.778 0.016 0.038 0.013 12.965 1.578 1.0 1 0 1.0 1.0	3209579208619140480	83.78905	-4.70066	2.6734	0.0710	1.246	0.064	0.982	0.052	16.764	2.836				0		1.0	4	80
83.82173 -4.68711 2.6065 0.0165 1.175 0.016 0.038 0.013 12.965 1.578 0 1 0 1.0	3209579311698352128	83.80500	-4.69848	2.4768	0.0497	0.505	0.047	-0.532	0.037	16.169	2.764				$\frac{1}{0}$			51	21
	3209579341762702464	83.82173		2.6065	0.0165	1.175	0.016	0.038	0.013	12.965	1.578			0	1 0			49	78

 $_{h}^{
m h}$ скоп-32 21 72 29 0 59 19 76 $\frac{b_{\mu}}{1}$ скоп-0 1 1 0 0 0 16 38 2 552 39 38 38 0 0 0 31 Cantat-Gaudin, UBC207 1.0 NGC1977 0:1 0:1 Cantat-Gaudin, 0 0 0 0 0 0 0 0 0 0 0 0 NBC501 0 0 0 0 0 0 0 0 0 0 0 0 0 0 0 0 0 0 0 0 0 0 0 Larricq KM/C $\epsilon_{\rm Vr}$ 28 5 KM/C 1.43 3.020 1.458 2.492 3.564 3.613 0.4822.718 1.896 1.406 0.323 2.422 1.935 3.183 3.412 1.446 2.996 2.322 2.472 15.883 20.873 12.196 4.035 20.258 9.911 17.214 20.614 17.508 0.670 17.792 16.256 17.274 20.441 19.127 18.147 13.731 *G*, mag 0.0260.020 0.029 0.058 0.078 0.0790.445 0.134 1.053 0.014 0.225 0.8580.897 0.104 0.013 0.714 0.034 0.113 0.631 $\epsilon_{\mu\delta}$ -1.00916.976 0.204 -0.9241.002 -1.679-0.6130.309 16.720 0.780 1.271 -0.4460.378 -0.6221.033 мсд/год -2.527-5.007-3.437-0.4590.025 0.038 0.3090.054 0.0330.165 0.7391.518 0.077 1.204 0.0160.969 0.1380.037 0.017 1.131 0.140 0.091 0.170 0.531 $\epsilon_{\mu\alpha}$ 24.686 .926 0.219 1.246 8.614 .185 .498 .912 .213 3.158 0.993 1.338 0.949 1.704 10.247 0.472 -0.239-0.086-0.5130.393 0.522 1.356 0.467 .262 1.265 7.251 мсд/год 0.1903 1.3263 0.1495 2.5216 0.0415 1.3626 0.1605 0.0196 0.1186 2.6071 0.1225 0.9588 0.02880.0462 2.3950 0.1638 2.5617 0.0197 0.3320 2.5423 2.2177 ϵ_{π} , MCI 2.5958 3.4670 2.5876 2.7553 2.4879 2.1592 2.6248 4.0261 2.5122 1.6829 2.4208 2.5346 2.0264 2.7485 2.5435 2.4414 1.7878 2.5162 2.6283 2.3021 2.2189 я, ИСД -4.68803-4.69262-4.75903-4.72946 -4.69290-4.67246 -4.68219-4.74428 -4.72578 -4.70794-4.70536-4.72310-4.68670-4.67570-4.66213-4.66675-4.75490-4.75160-4.75212-4.71745 -4.71803 -4.71188-4.71635-4.71667-4.69627град ó, 84.00085 83.84298 83.84113 83.83416 83.81989 83.82685 83.83876 83.82680 84.03498 84.02980 84.01508 84.01822 84.06246 84.08955 84.06136 83.96773 83.96202 83.97840 84.00362 83.99904 83.97032 83.95980 83.79180 83.85651 83.84788 84.01487 84.05671 84.08141 α, град 3209579827094418944* 3209579724015206272* 3209579724015206528* 1209580308130729984* (209581235843659392* 3209579380417829376* 309580101969074176 3209579483497032960 209580028956397696 209580376850206848 209580097675154048 209581403345336576 3209579444841918976 3209579449137299072 3209579517856776832 3209579547921134464 3209580101972304256 209580613071284480 209580750511968256 209580853590125312 3209581201480692864 3209581235843660416 209581476361838592 3209581579441040256 209580651729016192 209580784871720192 209581167124200960 3209579758371773184 209581167124196736 ID GDR3

ല	
Ξ	
0	
×	
лже	
Ħ	
\simeq	
Ipc	
_	
1.	
1. I	
1e 1. I	
не 1.	
ние 1	
кение 1. 1	
жение 1	
ние 1	
ложение 1	
жение 1	

DGDR33 Ca. TPM1 Nat. N	Приложение 1. Продолжение	тжение																
84.02679 4.67441 2.6442 0.1038 1.561 0.082 -0.319 0.065 17.40 3.273 0.09 0.01 0 0 0 0 0 0 0 0 0 0 0 0 0 0 0 0 0 0 0 0 0 0 0 0 0 0 0 0 0 0 0 0 0 0 0 0 0 0 0 0 0 0 0 0 0 0 0 0 0 0 0 0 0 0 0 0 0 0 0 0 0 0 0 0 0 0 0 0 0 0 0 0 0 0 0 0 0 0 0 0 0 0 0 0 0 0 0 0 0 0 0 0	ID GDR3	а, град	8, град	π, мсд		$\mu_{lpha},$ мед/год		µъ, мсд/год	$\epsilon_{\mu\delta}$	G, mag	BP- RP, mag	$V_{ m r}$	ε _{Vr} , κm/c					ление 2, %
84,03679 -4.69829 2.3640 0.3958 1.886 0.310 -1.371 0.234 6.901 2.016 0 0 0 0 0 0 0 0 0 0 0 0 0 0 0 0 0 0 0 0 0 0 0 0 0 0 0 0 0 0 0 0 0 0 0 0 0 0 0 0 0 0 0 0 0 0 0 0 0 0 0 0 0 0 0 0 0 0 0 0 0 0 0 0 0 0 0 0 0 0 0 0 0 0 0 0 0 0 0 0 0 0 0 0 0 0 0 0 0 0 0 0 0 0 <t< td=""><td>3209581613800774144</td><td>83.97938</td><td>-4.67441</td><td></td><td>0.1038</td><td>1.561</td><td>0.082</td><td>-0.319</td><td>0.065</td><td>17.410</td><td>3.273</td><td></td><td></td><td></td><td></td><td></td><td>73</td><td>41</td></t<>	3209581613800774144	83.97938	-4.67441		0.1038	1.561	0.082	-0.319	0.065	17.410	3.273						73	41
84,03603 -4,68948 2.7595 0,0762 13.475 0,064 -57.520 0,046 1,253 1,873 1,873 0 0 0 0 0 0 0 0 0 0 0 0 0 0 0 0 0 0 0 0 0 0 0 0 0 0 0 0 0 0 0 0 0 0 0 0 0 0 0 0 0 0 0 0 0 0 0 0 0 0 0 0 0 0 0 0 0 0 0 0 0 0 0 0 0 0 0 0 0 0 0 0 0 0 0 0 0 0 0 0 0 0 0 0 0 0 0 0 0 0 0 0 0	3209581648157181312*	84.02679	-4.69829	2.3640	0.3958	1.865	0.310	-1.371		14.843	2.749			0 0	0		51	_
84.03369 2.5723 0.0440 0.944 0.021 0.016 14.335 1.873 1.873 1.873 1.873 1.873 1.873 1.873 1.873 1.873 1.873 1.873 1.873 1.873 1.873 1.873 1.873 1.873 1.873 1.873 1.873 1.873 1.873 1.873 1.873 1.873 1.873 1.873 1.873 1.873 1.873 1.873 1.873 1.873 1.873 1.873 1.873 1.873 1.873 1.873 1.873 1.873 1.873 1.873 1.873 1.873 1.873 1.873 1.873 1.873 1.873 1.873 1.873 1.873 1.873 1.873 1.873 1.873 1.873 1.873 1.873 1.873 1.873 1.873 1.873 1.873 1.873 1.873 1.873 1.873 1.873 1.873 1.873 1.873 1.873 1.873 1.873 1.873 1.873 1.873 1.873 1.873	3209581682520242176	84.03603	-4.68948	2.7595	0.0762	13.475	0.064	-57.520	0.049	16.901	2.016						0	0
84.03546 -4.65848 2.0416 0.8967 2.5364 0.612 -2.022 0.467 2.0243 2.427 0.243 2.427 0.249 0.1460 0.2238 0.2691 1.163 0.138 1.8866 3.228 0.6091 0.168 0.188 0.188 0.1460 0.158 1.886 3.273 0.049 0.110 0.1490 2.703 0.049 0.111 0.1490 2.703 0.049 0.111 0.023 0.049 0.017 1.4908 2.038 0.017 0.017 0.017 0.017 0.017 0.017 0.017 0.017 0.017 0.017 0.017 0.017 0.017 0.017 0.017 0.017 0.017 0.017 0.017 0.017 0.017 0.017 0.017 0.017 0.017 0.017 0.017 0.017 0.017 0.017 0.017 0.017 0.017 0.017 0.017 0.017 0.017 0.017 0.017 0.017 0.017 0.017 0.010 0.0107 0	3209581682520242560	84.03369			0.0240	0.944	0.021	0.342	0.016	14.535	1.873					1.0	24	92
84.01335 4.66693 2.2228 0.2691 -1.633 0.219 1.460 0.158 18.806 3.223 0.2691 0.2680 0.310 1.2680 0.310 1.2680 0.320 1.2680 0.320 1.2680 0.310 1.2680 0.320 1.2680 0.310 1.2680 0.320 1.2680 0.310 1.2680 0.320 1.2680 0.320 1.2680 0.310 1.2680 0.320 1.2680 0.310 1.2680 0.310 1.2680 0.310 1.2680 0.310 0.310 0.310 0.310 0.310 0.310 0.310 0.310 0.310 0.310 0.310 0.310 0.310 0.310 0.310 0.310 0.310 0.310 0.310 0.310 0.310 0.310 0.310 0.310 0.310 0.310 0.310 0.310 0.310 0.310 0.310 0.310 0.310 0.310 0.310 0.310 0.310 0.311 0.310 0.310 0.310 0.310 0.310	3209581888679585408	84.05546	-4.65848		0.8967	2.504	0.612	-2.022		20.243	2.427						4	0
83.98864 -4.66042 2.3700 0.3900 12.680 0.310 -2.1043 0.230 19.403 2.753 0.754 1.010 0 0 0 0 0 0 0 0 0 0 0 0 0 0 0 0 0 0 0 0 0 0 0 0 0 0 0 0 0 0 0 0 0 0 0 0 0 0 0 0 0 0 0 0 0 0 0 0 0 0 0 0 0 0 0 0 0 0 0 0 0 0 0 0 0 0 0 0 0 0 0 0 0 0 0 0 0 0 0 0 0 0 0 0 0 0 0 0 0 0 0 0	3209581953101216768	84.01335	-4.66953		0.2691	-1.633	0.219	1.460	0.158	18.806	3.228						0	0
84.12805 -4.68633 3.4987 1.6663 1.0103 2.306 -2.25 1.282 20.814 1.101 0.017 14.908 2.308 -0.017 14.908 2.308 -0.017 14.908 2.308 -0.017 14.908 2.308 -0.017 14.908 -0.023 -8.877 0.023 -8.877 0.023 -5.608 0.017 14.908 2.308 0.017 14.908 2.308 0.017 14.908 2.308 0.017 14.908 2.308 0.017 0.017 17.51 0.017 14.908 2.308 0.017 14.908 2.308 0.017 14.908 2.308 0.017 14.908 2.308 0.017 14.908 2.308 0.017 0.017 0.017 0.017 0.017 0.017 0.017 0.017 0.017 0.017 0.017 0.017 0.017 0.017 0.017 0.017 0.017 0.017 0.017 0.017 0.017 0.017 0.017 0.017 0.017 0.017 0.017	3209581991757890688	83.98864	-4.66042		0.3900	12.680	0.310	-31.043	0.239	19.403	2.753						0	0
84.08894 -4.68323 1.8146 0.023 -8.877 0.023 -5.608 0.017 14.908 2.308 0 0 0 0 0 0 0 0 0 0 0 0 0 0 0 0 0 0 0 0 0 0 0 0 0 0 0 0 0 0 0 0 0 0 0 0 0 0 0 0 0 0 0 0 0 0 0 0 0 0 0 0 0 0 0 0 0 0 0 0 0 0 0 0 0 0 0 0 0 0 0 0 0 0 0 0 0 0 0 0 0 0 0 0 0 0 0 0 0 0 0 0 0 0 <	3209582227981814144	84.12805	-4.68635		1.6663	10.103	2.306	-2.525	1.282	20.814	1.101						0	0
84.08067 -4.66234 2.6027 0.1231 0.034 1.112 0.072 17.514 3.186 -9.08 0.06 0.048 1.112 0.073 1.813 0.0773 51.859 0.065 -18.63 0.048 1.6883 2.408 0 0 0 0 0 0 0 0 0 0 0 0 0 0 0 0 0 0 0 0 0 0 0 0 0 0 0 0 0 0 0 0 0 0 0 0 0 0 0 0 0 0 0 0 0 0 0 0 0 0 0 0 0 0 0 0 0 0 0 0 0 0 0 0 0 0 0 0 0 0 0 0 0 0 0 0 0 0 0 0 <td>3209582472794213504</td> <td>84.08894</td> <td>-4.68323</td> <td></td> <td>0.0253</td> <td>-8.877</td> <td>0.023</td> <td>-5.608</td> <td>0.017</td> <td>14.908</td> <td>2.308</td> <td></td> <td></td> <td></td> <td></td> <td></td> <td>0</td> <td>0</td>	3209582472794213504	84.08894	-4.68323		0.0253	-8.877	0.023	-5.608	0.017	14.908	2.308						0	0
84.07653 -4.66270 1.1813 0.0773 51.8.59 0.065 -18.636 0.048 16.885 2.408 0.083 -2.408 0.083 2.615 0.0 0 0 0 0 0 0 0 0 0 0 0 0 0 0 0 0 0 0 0 0 0 0 0 0 0 0 0 0 0 0 0 0 0 0 0 0 0 0 0 0 0 0 0 0 0 0 0 0 0 0 0 0 0 0 0 0 0 0 0 0 0 0 0 0 0 0 0 0 0 0 0 0 0 0 0 0 0 0 0 0 0 0 0 0 0 0 0 0	3209582541513687680	84.08067	-4.66234		0.1231	1.232	0.094	1.112	0.072	17.514	3.186			0 0	0		7	70
84,08587 -4,64208 2,1157 0.9076 0.4734 0.366 19,883 2.615 0.9 0 0 0 0 0 0 0 0 0 0 0 0 0 0 0 0 0 0 0 0 0 0 0 0 0 0 0 0 0 0 0 0 0 0 0 0 0 0 0 0 0 0 0 0 0 0 0 0 0 0 0 0 0 0 0 0 0 0 0 0 0 0 0 0 0 0 0 0 0 0 0 0 0 0 0 0 0 0 0 0 0 0 0 0 0 0 0 0 0 0 0 0 0 0 0 0 </td <td>3209582541513688320</td> <td>84.07653</td> <td>-4.66277</td> <td></td> <td>0.0773</td> <td>51.859</td> <td>0.065</td> <td>-18.636</td> <td>0.048</td> <td>16.885</td> <td>2.408</td> <td></td> <td></td> <td></td> <td></td> <td></td> <td>0</td> <td>0</td>	3209582541513688320	84.07653	-4.66277		0.0773	51.859	0.065	-18.636	0.048	16.885	2.408						0	0
84,09797 -4,62333 4,0318 2,5105 1,779 1,712 -11,226 1,349 2,0808 2,263 9,080 2,263 9,080 2,263 9,080 2,263 9,080 2,263 9,080 0,11 18,302 3,408 0,00 0 0 0 0 0 0 0 0 0 0 0 0 0 0 0 0 0 0 0 0 0 0 0 0 0 0 0 0 0 0 0 0 0 0 0 0 0 0 0 0 0 0 0 0 0 0 0 0 0 0 0 0 0 0 0 0 0 0 0 0 0 0 0 0 0 0 0 0 0 0 0 0 0 0 0 0 0 0 0<	3209583434863456128	84.08587	-4.64208		0.5922		0.476	-4.734		19.883	2.615			0 0	0		0	0
84,08929 -4,61901 2.9971 0.2053 0.443 0.165 -0.909 0.121 18.302 3.408 9 0 0 0 0 0 48 8 4,08597 -4,63982 4.6265 0.7943 0.618 0.628 -2.255 0.480 19.273 2.726 0 0 0 0 0 0 0 0 0 0 0 0 0 0 0 0 0 0 0 0 0 0 0 0 0 0 0 0 0 0 0 0 0 0 0 0 0 0 0 0 0 0 0 0 0 0 0 0 0 0 0 0 0 0 0 0 0 0 0 0 0 0 0 0 0 0 0 0 0 0 0 0 0 0<	3209583469223157760	84.09797			2.5105	15.797	1.712	-11.226		20.808	2.263						0	0
* 84,05597 -4,63982 4,6265 0.7943 0.811 0.668 -2.255 0.480 19.273 2.726 0 0 0 0 0 0 0 0 0 0 0 0 0 0 0 0 0 0 0 0 0 0 0 0 0 0 0 0 0 0 0 0 0 0 0 0 0 0 0 0 0 0 0 0 0 0 0 0 0 0 0 0 0 0 0 0 0 0 0 0 0 0 0 0 0 0 0 0 0 0 0 0 0 0 0 0 0 0 0 0 0 0 0 0 0 0 0 0 0 0 0 0 0 0	3209583537946089984	84.08929			0.2052	0.434	0.165	-0.909	0.121	18.302	3.408			0 0	0		48	_
* 84,07687 4,61609 4,3460 0,6178 3.511 0.523 0.2825 0.365 19.099 2.572 0 0 0 0 0 0 0 0 0 0 0 0 0 0 0 0 0 0 0 0 0 0 0 0 0 0 0 0 0 0 0 0 0 0 0 0 0 0 0 0 0 0 0 0 0 0 0 0 0 0 0 0 0 0 0 0 0 0 0 0 0 0 0 0 0 0 0 0 0 0 0 0 0 0 0 0 0 0 0 0 0 0 0 0 0 0 0 0 0 0 0 0 0 0	3209583572302443136*	84.05597	-4.63982		0.7943		899.0	-2.255		19.273	2.726						6	0
83.93404 -4.67253 2.3797 0.2469 1.324 0.188 0.523 0.158 18.483 3.335 9 0 0 0 0 0 17 83.93832 -4.67728 2.6151 0.1424 0.891 0.115 -0.991 0.090 17.730 3.351 0 0 0 0 0 0 0 0 0 0 0 0 0 0 0 0 0 0 0 0 0 0 0 0 0 0 0 0 0 0 0 0 0 0 0 0 0 0 0 0 0 0 0 0 0 0 0 0 0 0 0 0 0 0 0 0 0 0 0 0 0 0 0 0 0 0 0 0 0 0 0 0 0 0 <td>3209583739806514304*</td> <td>84.07687</td> <td>-4.61609</td> <td></td> <td>0.6178</td> <td>3.511</td> <td>0.523</td> <td>2.825</td> <td>0.365</td> <td>19.099</td> <td>2.572</td> <td></td> <td></td> <td></td> <td></td> <td></td> <td>0</td> <td>0</td>	3209583739806514304*	84.07687	-4.61609		0.6178	3.511	0.523	2.825	0.365	19.099	2.572						0	0
83.98382 -4.67728 2.6151 0.1424 0.891 0.115 -0.991 0.091 1.7659 3.408 9 0 0 0 0 83 83.99110 -4.67706 2.4146 0.1364 1.415 0.120 -0.357 0.090 17.730 3.351 0 0 0 0 0 0 0 0 0 0 0 0 0 0 0 0 0 0 0 0 0 0 0 0 0 0 0 0 0 0 0 0 0 0 0 0 0 0 0 0 0 0 0 0 0 0 0 0 0 0 0 0 0 0 0 0 0 0 0 0 0 0 0 0 0 0 0 0 0 0 0 0 0 0 0 </td <td>3209584500018812672</td> <td>83.93404</td> <td>-4.67253</td> <td></td> <td>0.2469</td> <td>1.324</td> <td>0.188</td> <td>0.523</td> <td>0.158</td> <td>18.483</td> <td>3.335</td> <td></td> <td></td> <td></td> <td></td> <td></td> <td>17</td> <td>26</td>	3209584500018812672	83.93404	-4.67253		0.2469	1.324	0.188	0.523	0.158	18.483	3.335						17	26
83.9410 -4.67696 2.4146 0.1364 1.415 0.136 0.037 0.037 0.037 0.037 0.037 0.037 0.037 0.037 0.037 0.037 0.037 0.037 0.037 0.037 0.037 0.037 0.037 0.037 0.037 0.037 0.037 0.037 0.037 0.037 0.037 0.037 0.037 0.037 0.037 0.037 0.037 0.037 0.037 0.037 0.037 0.037 0.037 0.037 0.037 0.037 0.037 0.037 0.037 0.037 0.037 0.037 0.037 0.037 0.037 0.037 0.037 0.037 0.037 0.037 0.037 0.037 0.037 0.037 0.037 0.037 0.037 0.037 0.037 0.037 0.037 0.037 0.037 0.037 0.037 0.037 0.037 0.037 0.037 0.037 0.037 0.037 0.037 0.037 0.037 0.037 0.037 0.037	3209584500018812928	83.93832	-4.67728		0.1424	0.891	0.115	-0.991	0.091	17.659	3.408			0 0	0		83	6
83.91457 -4.67206 2.6131 0.0378 1.875 0.031 0.469 0.026 15.626 2.488 0 0 0 0 0 0 13 83.91570 -4.67343 2.4014 0.0359 1.501 0.025 0.024 14.804 2.562 0 0 0 0 0 0 0 0 0 0 0 0 0 0 0 0 0 0 0 0 0 0 0 0 0 0 0 0 0 0 0 0 0 0 0 0 0 0 0 0 0 0 0 0 0 0 0 0 0 0 0 0 0 0 0 0 0 0 0 0 0 0 0 0 0 0 0 0 0 0 0 0 0 0 0	3209584534378541952	83.96110	-4.67696		0.1364	1.415	0.120	-0.357	0.090	17.730	3.351			0 0	0		80	42
83.91570 -4.67343 2.4014 0.0359 1.501 0.029 -0.550 0.024 14.804 2.562 0 0 0 0 0 0 0 0 0 0 0 0 0 0 0 0 0 0 0 0 0 0 0 0 0 0 0 0 0 0 0 0 0 0 0 0 0 0 0 0 0 0 0 0 0 0 0 0 0 0 0 0 0 0 0 0 0 0 0 0 0 0 0 0 0 0 0 0 0 0 0 0 0 0 0 0 0 0 0 0 0 0 0 0 0 0 0 0 0 0 0 0 0 0 <	3209584671817510912	83.91457	-4.67206		0.0378	1.875	0.031	0.469	0.026	15.626	2.488			0 0	0		13	59
83.93981 -4.65710 3.063 0.1393 0.236 0.116 -0.478 0.090 17.966 2.705 0 0 0 0 0 33 83.94327 -4.65115 2.0979 1.6040 0.350 1.200 -0.324 0.904 20.627 2.579 0 0 0 0 0 0 33 83.98964 -4.65253 2.5013 0.0231 1.384 0.019 1.023 0.015 14.208 1.866 0 0 0 0 0 0 0 0 0 0 0 0 0 0 0 0 0 0 0 0 0 0 0 0 0 0 0 0 0 0 0 0 0 0 0 0 0 0 0 0 0 0 0 0 0 0 0 0 0 0 0 0 0 0	3209584671817511040*	83.91570	-4.67343		0.0359	1.501	0.029	-0.550	0.024	14.804	2.562			0 0	0		68	27
83.98964	3209584809256448512	83.93981	-4.65710		0.1393	0.236	0.116	-0.478	0.090	17.966	2.705			0 0	0		30	15
83.98964	3209584839320845568	83.94327	-4.65115		1.6040	0.350	1.200	-0.324	0.904	20.627	2.579			0 0	0		33	25
83.98955 4.63848 2.7883 0.2561 0.822 0.202 -1.265 0.156 18.758 3.375 9.686 9.375 9.687 0.300 0.076 17.675 2.686 9.375 9.687 0.257 0.257 0.257 0.257 0.257 0.257 0.257 0.257 0.257 0.257 0.257 0.257 0.257 0.257 0.257 0.257 0.257 0.257 0.257 0.257 0.257 0.257 0.257 0.257 0.257 0.257 0.257 0.257 0.257 0.257 0.257 0.257 0.257 0.257 0.257 0.257 0.257 0.257 0.257 0.257 0.257 0.257 0.257 0.257 0.257 0.257 0.257 0.257 0.257 0.257 0.257 0.257 0.257 0.257 0.257 0.257 0.257 0.257 0.257 0.257 0.257 0.257 0.257 0.257 0.257 0.257 0.257 0.257 0.257 0.257 0.257 0.257 0.257 0.257 0.257 0.257 0.257 0.257 0.257 0.257 0.257 0.257 0.257 0.257 0.257 0.257 0.257 0.257 0.257 0.257 0.257 0.257 0.257 0.257 0.257 0.257 0.257 0.257 0.257 0.257 0.257 0.257 0.257 0.257 0.257 0.257 0.257 0.257 0.257 0.257 0.257 0.257 0.257 0.257 0.257 0.257 0.257 0.257 0.257 0.257 0.257 0.257 0.257 0.257 0.257 0.257 0.257 0.257 0.257 0.257 0.257 0.257 0.257 0.257 0.257 0.257 0.257 0.257 0.257 0.257 0.257 0.257 0.257 0.257 0.257 0.257 0.257 0.257 0.257 0.257 0.257 0.257 0.257 0.257 0.257 0.257 0.257 0.257 0.257 0.257 0.257 0.257 0.257 0.257 0.257 0.257 0.257 0.257 0.257 0.257 0.257 0.257 0.257 0.257 0.257 0.257 0.257 0.257 0.257 0.257 0.257 0.257 0.257 0.257 0.257 0.257 0.257 0.257 0.257 0.257 0.257 0.257 0.257 0.257 0.257 0.257 0.257 0.257 0.257 0.257 0.257 0.257 0.257 0.257 0.257 0.257 0.257 0.257 0.257 0.257 0.257 0.257 0.257 0.257 0.257 0.257 0.257 0.257 0.257 0.257 0.257 0.257 0.257 0.257 0.257 0.257 0.257 0.257 0.257 0.257 0.257 0.257 0.257 0.257 0.257 0.257 0.257 0.257 0.257 0.257 0.257 0.257 0.257 0.257 0.257 0.257 0.257 0.257 0.257 0.257 0.257 0.257 0.257 0.257 0.257 0.257 0.257 0.257 0.257 0.257 0.257 0.257 0.257 0.257 0.257 0.257 0.257 0.257 0.257 0.257 0.257 0.257 0.257 0.257 0.257 0.257 0.257 0.257 0.257 0.257 0.257 0.257 0.257 0.257 0.257 0.257 0.257 0.257 0.257 0.257 0.257 0.257 0.257 0.257 0.257 0.257 0.257 0.257 0.257 0.257 0.257 0.257 0.257 0.257 0.257 0.257 0.257 0.257 0.257 0.257 0.257 0.257 0.257 0.257 0.257 0.257 0.257 0.257 0.257 0.257 0.	3209584981055126528	83.98964	-4.65253		0.0231	1.384	0.019	1.023	0.015	14.208	1.866						3	73
\$83.97892 -4.61603 2.1920 0.1366 1.889 0.097 0.0306 17.675 2.686 9.536 0.57 0 0 0 0 0 0 0 0 0 0 0 0 0 0 0 0 0 0 0 0 0 0 0 0 0 0 0 0 0 0 0 0 0 0 0 0 0 0 0 0 0 0 0 0 0 0 0 0 0 0 0 0 0 0 0 0 0 0 0 0 0 0 0 0 0 0 0 0 0 0 0 0 0 0 0 0 0 0 0 0 0 0 0 0 0 0 0 0 0 0 0 0 0	3209585148556923136	83.98955	-4.63848		0.2561	0.822	0.202	-1.265	0.156	18.758	3.375						65	3
83.98488 —4.60836 3.4613 0.0306 3.318 0.024 18.145 0.020 11.215 0.024 15.36 0.024 11.215 0.045 16.664 2.905	3209585359012242688	83.97892	-4.61603		0.1366	1.889	0.097	0.300	920.0	17.675	2.686						20	55
83.98519	3209585393371978624*	83.98488	-4.60836		0.0306	3.318	0.024	18.145	0.020	11.215	0.784	55.36	0.57				0	0
83.88342 -4.64285 2.8384 0.1266 1.230 0.108 1.114 0.087 17.796 2.901 0 0 0 0 0 0	3209585393371979392	83.98519	-4.61407		0.0670	0.172	0.054	1.550	0.045	16.664	2.905						0	13
	3209585560872622720	83.88342	-4.64285		0.1266	1.230	0.108	1.114	0.087	17.796	2.901						7	70

 $_{h}^{
m h}$ скоп-59 0 47 6 0 55 75 97 44 84 0 0 79 35 8 4 0 $\frac{b_{\mu}}{1}$ скоп-0 0 72 43 87 74 51 0 0 15 4 Cantat-Gaudin, UBC207 1.0 1.0 NGC1977 Cantat-Gaudin, 0 0 0 0 0 0 0 0 0 0 0 **NBC501** 0 0 0 0 0 0 0 0 0 0 0 0 0 0 0 0 0 0 0 0 0 0 0 0 0 0 0 0 0 0 0 0 0 0 0 0 KM/C 0.84 $\epsilon_{\rm Vr}$ 39.84 KM/C 2.015 0.816 2.873 2.663 1.675 2.995 2.626 2.083 1.205 1.787 2.897 2.370 1.947 099.1 2.981 2.561 20.699 19.624 20.509 19.504 9.325 20.629 16.540 15.479 14.447 16.810 11.677 17.694 15.561 20.915 16.217 *G*, mag 0.095 0.059 0.286 0.0431.568 1.642 0.015 0.0800.025 0.023 0.016 0.628 0.264 0.013 0.049 0.397 0.373 0.014 1.057 0.031 1.497 $\epsilon_{\mu\delta}$ -0.488 -0.616-0.3210.125 -1.021-0.1631.572 -1.1543.462 0.252 мсд/год 54.440 -0.649-0.047-2.570-11.577-1.445-17.527-18.600-15.8510.335 1.968 0.0990.018 1.470 0.103 0.074 0.3660.029 0.016 0.062 0.8600.091 0.0200.874 0.5000.041 0.050 0.031 0.051 0.551 $\epsilon_{\mu\alpha}$ 2.479 0.8831.095 3.449 0.625 -0.1104.060 6.442 0.788 1.593 4.014 24.536 мсд/год -5.690-1.618-3.3721.597 -3.667-0.68411.947 -4.9810.861 1.421 0.0212 1.5879 0.1193 0.0814 0.0458 2.6234 0.0945 2.4942 0.0837 0.4243 0.0388 0.0243 1.6914 | 1.0961 0.6652 0.0199 1.2360 2.5076 0.0599 2.5763 0.1035 1.0441 0.0349 ϵ_{π} , MCI 2.5300 3.0618 4.2984 2.5564 2.8048 4.1571 2.9979 2.5318 1.8823 4.0453 2.4835 1.7176 2.5755 2.5731 2.2105 2.2290 2.8536 2.2543 2.5762 2.0763 3.2391 2.7590 2.5358 -4.65002-4.63494-4.63906 -4.60804-4.53440-4.63900 -4.60698 -4.58859-4.59175-4.57485-4.57735-4.61700-4.59680-4.59192-4.56432-4.57864-4.55230-4.93587-4.87144-4.61027-4.59661-4.57141-4.54391град ó, 83.54204 83.89397 83.89028 83.90705 83.87246 83.87278 83.93685 83.93525 83.93467 83.92055 84.02490 84.06016 84.03907 84.00734 84.04569 83.98075 83.95754 83.96252 83.98499 83.98854 84.00942 83.48668 83.87758 83.91857 83.92750 83.91898 83.91977 84.01569 α, град 209587695471058304* 209586355444660992 3209586522946964736 209587072704882048 3209585599530439168 3209585633890383872 209586355444661504 209586527243350400 209586905200458752 209587420596523392 3209585565170712704 3209585599530441600 3209585732675063424 3209585771325940864 3209586114926495488 3209586144989360512 209586149286232448 209586595962815872 209586767761497728 209586797823251200 209588069135192576 3209588073431562496 209588515812860544 209591715564025984 3209598239618760448 3209585698312753152 3209588142151032704 3209585771329141120

Приложение 1. Продолжение

ление 2, % ление 2, %	43	0	39	40	68	82	21	20	26	0	93	92	0	0	25	20	92	0	0	32	0	43	98	7	0	0	0	28	46
$_{ m h}^{ m h}$ скоп-	08	0	14	62	15	6	34	77	26	0	20	28	0	0	94	20	8	0	0	12	0	84	41	1	0	0	0	69	26
Cantat-Gaudin, UBC207																													
Cantat-Gaudin, NGC1977	1.0							1.0	1.0																				
UBC207	0	0	0	0	0	0	0	0	0	0	0	0	0	0	0	0	0	0	0	0	0	0	0	0	0	0	0	0	0
UBC621	1	0	0	0	0	0	0	1	1	0	0	0	0	0	0	0	0	0	0	0	0	0	0	0	0	0	0	0	0
Tarricq	1	0	0	0	0	0	0	1	0	0	0	0	0	0	0	0	0	0	0	0	0	0	0	0	0	0	0	0	0
^Е V _г , КМ/С					12.34			4.73															3.57						
$V_{ m r}$, KM/C					23.62			31.76															22.76						
BP- RP, mag	2.008	2.627	3.645	3.381	1.314	2.892	1.681	1.440	3.147	2.899	2.622	2.775	3.194	1.419	3.058	3.446	2.234	2.606	2.631	3.308	1.662	3.781	1.177	3.139	3.052	2.546	0	2.697	2.002
<i>G</i> , mag	15.028	19.259	18.574	17.297	12.645	16.510	17.392	12.505	16.808	20.082	17.148	16.906	17.663	20.807	16.811	16.581	20.821	19.460	18.840	18.296	20.855	17.316	12.485	16.409	18.813	18.086	20.282	20.230	15.820
εμδ	0.019	0.209	0.136	0.058	0.010	0.039	0.083	0.009	0.044	0.431	0.055	0.067	0.257	1.427	0.044	0.061	1.280	0.241	0.151	0.122	1.707	0.062	0.009	0.046	0.179	0.092	0.570	0.497	0.032
μ _δ , мсд/год	-0.354	-19.830	0.321	-0.411	0.497	0.620	-0.400	-0.291	-0.629	-14.186	0.408	0.322	2.769	2.438	-0.643	0.270	0.723	3.795	2.357	0.328	0.504	-0.389	0.136	-0.127	-0.343	-55.918	-1.607	-0.211	900.0
εμα	0.022	0.228	0.157	0.068	0.011	0.045	0.091	0.011	0.053	0.480	0.057	0.084	0.315	1.516	0.054	0.073	1.477	0.288	0.165	0.136	1.786	0.079	0.010	0.054	0.211	0.114	0.680	0.569	0.038
$\mu_{lpha},$ мсд/год	1.398	24.764	2.090	966.0	0.823	0.731	0.325	1.315	1.257	19.485	0.929	1.345	1.202	2.577	1.085	1.943	0.955	-11.139	-15.296	2.192	8.970	1.247	1.156	-0.670	10.505	5.897	3.296	1.171	0.444
£ _π , мсд	0.0250	0.2706	0.1823	0.0784	0.0119	0.0518	0.1099	0.0116	0.0587	0.5786	9690.0	0.0911	0.3642	1.4952	0.0616	0.0839	1.4656	0.3401	0.1970	0.1526	1.7989	0.0879	0.0114	0.0622	0.2430	0.1293	0.6683	0.7136	0.0411
π, мсд	2.5756	2.7804	2.6368	2.4527	2.6336	2.5947	2.2292	2.5569	2.6620	2.6922	2.6851	2.5910	3.4359	3.0101	2.7016	2.7301	3.2513	4.4678	3.0953	2.5290	2.4153	2.5428	2.7185	2.4257	3.7972	2.6240	1.7566	3.2249	2.5854
8, град	-4.85636	-4.85148	-4.85864 2.6368	-4.84713	-4.84309	-4.84095	-4.83533	-4.84019	-4.83161	-4.85834	-4.79705	-4.79727	-4.84240	-4.84033	-4.82132	-4.82419	-4.81292	-4.79869	-4.79700	-4.80101	-4.81002	-4.79188	-4.78658	-4.78210	-4.76250	-4.76827	-4.75540	-4.75227	-4.75075
α, град	83.54747	83.55785	83.51959	83.51965	83.54366	83.54363	83.55090	83.55263	83.54369	83.48196	83.48253	83.48251	83.58859	83.57228	83.59918	83.56813	83.58901	83.60304	83.57887	83.57107	83.62272	83.65320	83.60040	83.60105	83.60621	83.59969	83.63893	83.63146	83.62313
ID GDR3	3209598346993491840	3209598381353371008	3209598415712981760	3209598518792192000	3209598548853143680	3209598553151919872	3209598587511656576*	3209598587511657216	3209598656231133824	3209598858093952768	3209599721380315264	3209599721383025792	3209599790102495360*	3209599858820339584	320959996260920704	3209600064980402432*	3209600198122810624	3209600232482554752	3209600266840417536	3209600266844728960	3209600335562802944	3209600477297245696	3209600614736206592	3209600683455682560	3209600713517054592	3209600713518144256	3209600786532025088	3209600850957849728	3209600855254363520

 $_{h}^{
m h}$ скоп-98 94 59 0 0 0 $\frac{b_{\mu}}{1}$ скоп-9 0 Cantat-Gaudin, UBC207 NGCI611 0.1 0:1 Cantat-Gaudin, 0 0 0 0 0 NBC501 0 0 0 0 0 0 0 0 0 0 0 0 0 0 0 0 0 0 0 0 0 0 0 0 0 0 0 0 0 0 0 Larricq 0 KM/C 1.15 32 $\epsilon_{\rm Vr}$ 10. 24.62 39.00 KM/C 2.686 998.0 1.042 2.808 1.692 2.898 2.232 2.518 0.922 2.672 2.281 2.758 1.962 2.519 2.912 1.097 2.001 20.899 12.853 19.755 16.385 12.313 20.088 20.552 20.838 5.766 16.299 20.203 15.888 13.569 20.275 17.268 15.231 13.517 11.491 *G*, mag 0.030 0.016 0.075 0.614 0.057 0.010 0.3030.416 0.022 0.010 0.424 0.6591.488 0.4640.017 9/0.0 0.010 0.011 0.041 $\epsilon_{\mu\delta}$ 0.345 -0.7300.082 6.695 10.590 0.523 0.508 0.535 1.684 -0.3053.544 5.091 -0.376-15.355-23.052-7.693-4.949 0.957 3.927 мсд/год 0.341 20.845 0.277 990.0 0.527 0.0280.087 0.6822.326 0.277 0.012 0.3590.013 0.012 0.449 2.033 0.019 0.047 0.507 0.0190.097 0.671 $\epsilon_{\mu\alpha}$ 0.498 -2.1850.296 6.352 1.508 6.558 1.078 3.848 11.123 0.879 0.922 0.548 0.436 2.397 4.227 1.679 -4.174 7.111 21.251 -0.5411.591 -4.087 мсд/год 0.0202 0.8665 0.0134 0.0138 0.0124 0.0378 0.0515 3.0488 0.4813 0.3294 0.5815 0.03002.5812 0.6126 0.1076 0.39540.5307 0.8724 ϵ_{π} , MCI 2.4860 2.7119 2.6337 2.5726 2.0312 2.6173 1.9490 2.6509 2.7481 1.8787 2.7555 3.1498 1.8618 3.6040 2.9471 2.4636 2.9954 2.8141 3.2249 2.5669 2.5761 4.7674 3.2981 2.5152 2.5821 -4.80785-4.76118 -4.79286-4.78270 -4.76059-4.78325-4.76806-4.77592-4.76080-4.75304-4.74822 -4.73620-4.73753-4.79912-4.78431-4.78114-4.78184-4.72881-4.71480-4.77223-4.76368-4.74508-4.71790-4.73263град ó, 83.60495 83.64043 83.62764 83.53464 83.54048 83.55229 83.54873 83.51906 83.55252 83.52644 83.58814 83.59504 83.47690 83.49069 83.49090 83.50808 83.50740 83.47796 83.49778 83.53404 83.53997 83.52094 83.55227 83.53112 83.56728 83.51775 83.53587 83.50847 83.54480 α, град 209601370650456576* 209604737904811648* 3209604183852371840* 209604390008665216 209604561809496448 3209600954036243840 3209601164492178688* 209604222508743424 209604394307433600 209605249004276352 3209600855254365056 3209604703545075200 3209600889614124928 3209600919678382208 3209601061412808448 3209601091475234560 3209601091476052096 209601331994087680 3209601576808874880 209602710677530240 3209604737904812160 209606009215121024 3209600885317579136 209602672023175552 3209624318657350912 3209601263272861824 209601301930981120 209601851686778880 209601886046511872 ID GDR3

АСТРОНОМИЧЕСКИЙ ЖУРНАЛ том 100 № 4 2023

Приложение 1. Продолжение

ı	ı																												
ление 7, $\%$	98	14	27	0	0	0	5	0	0	_	0	0	20	44	0	20	0	32	62	18	26	7	0	0	57	0	32	0	0
ление 1, % Р _µ скоп-	0	78	8	0	0	0	81	0	0	09	0	0	86	89	0	69	0	09	65	0	13	73	0	0	58	0	27	0	5
Cantat-Gaudin, UBC207																													
Cantat-Gaudin, NGC1977		1.0											1.0			1.0		1.0											
UBC207	0	0	0	0	0	0	0	0	0	0	0	0	0	0	0	0	0	0	0	0	0	0	0	0	0	0	0	0	0
UBC621	0	1	0	0	0	0	0	0	0	0	0	0		0	0	_	0	_	0	0	0	0	0	0	0	0	0	0	0
Tarricq	0	1	0	0	0	0	0	0	0	0	0	0	0	0	0	Т	0	0	0	0	0	0	0	0	0	0	0	0	0
EVr.										9.63																			
V _r , KM/C										19.40																			
BP- RP, mag	3.034	1.625	3.627	2.319	2.062	2.008	1.373	2.608	2.449	1.782	2.484	2.491	2.238	3.498	2.676	1.629	2.365	1.855	3.379	3.125	2.686	2.871	1.452	1.478	2.822	2.056	3.083	0.915	2.534
<i>G</i> , mag	16.592	13.156	17.811	17.147	20.376	20.650	13.296	14.511	20.578	13.601	15.890	17.808	15.397	17.109	20.002	14.115	19.470	14.070	17.272	17.668	16.206	19.906	20.730	20.958	17.340	20.033	17.550	12.013	18.904
εμδ	0.129	0.010	0.094	0.063	0.576	0.891	0.010	0.016	0.868	0.016	0.028	0.082	0.021	0.052	0.440	0.012	0.272	0.012	0.057	0.075	0.035	0.347	1.084	2.910	0.072	0.422	0.083	0.012	0.219
μ _δ , мсд/год	1.496	-0.718	0.393	-6.389	-9.440	27.950	-1.195	8.678	1.901	-1.494	-23.632	-23.206	-0.715	-0.329	-14.330	-0.278	-16.690	-0.422	-0.163	1.529	0.623	-1.353	-9.127	-11.125	-0.174	-2.839	0.005	-5.163	-2.194
εμα	0.164	0.011	0.104	0.071	0.695	1.011	0.011	0.019	1.000	0.020	0.035	0.100	0.027	0.067	0.502	0.016	0.332	0.015	0.070	0.090	0.043	0.401	1.378	2.744	0.085	0.503	960.0	0.014	0.247
$\mu_{lpha},$ мсд/год	0.890	1.766	2.281	-4.697	-0.160	19.194	1.061	-0.588	3.278	1.145	-2.746	40.527	1.357	0.881	3.518	0.970	9.348	0.673	1.121	0.341	1.295	1.342	11.691	1.542	0.888	-2.072	2.079	10.089	2.240
£ _π , мсд	0.1800	0.0127	0.1229	0.0814	0.8958	1.3316	0.0127	0.0217	1.1231	0.0213	0.0379	0.1117	0.0298	0.0763	0.5605	0.0167	0.3811	0.0170	0.0790	0.0957	0.0486	0.4868	1.3456	3.1301	0.1026	0.6024	0.1097	0.0153	0.2843
π, мсд	2.8354	2.5261	2.4949	2.6076	2.2839	4.0960	2.7929	2.5166	2.6085	2.4449	2.3138	2.8191	2.5528	2.5337	3.3935	2.5132	2.7582	2.5074	2.5936	2.8375	2.5828	3.0966	1.9271	4.5078	2.5279	1.7691	2.6424	4.1236	2.5260
δ, град	-4.72543	-4.72818	-4.71947	-4.72802	-4.70667	-4.70771	-4.70405	-4.70408	-4.69859	-4.66994	-4.72592	-4.71272	-4.71209	-4.71069	-4.69750	-4.68630	-4.67456	-4.67230	-4.66069	-4.66028	-4.65384	-4.64164	-4.68664	-4.68066	-4.66602	-4.66576	-4.65795	-4.65216	-4.67423
α, град	83.66925	83.71278	83.72156	83.72393	83.75434	83.75228	83.68561	83.67787	83.68805	83.71755	83.63946	83.62997	83.64536	83.65780	83.61521	83.64359	83.62119	83.67031	83.68325	83.66166	83.67263	83.66809	83.76372	83.77368	83.79559	83.77502	83.78740	83.78300	83.73660
ID GDR3	3209624460394602240*	3209624529114069888	3209624563473805824	3209624563473806720	3209624696615678336	3209624700912748288	3209624872711453696	3209624872711454976	3209624907068217984	3209625044510130304*	3209625113229641344	3209625181949115648	3209625216308848512	3209625250668583424	3209625452530528256	3209625525546487168	3209625589967793024	3209625731704909952	3209625834784119168	3209625937863339264	3209626040942550272	3209626139725101568	3209626208445835648	3209626208445835776	3209626345883192320	3209626380243467776	3209626414601551488	3209626414602688896	3209626453256345472

 $_{
m h}^{
m h}$ скоп-6 16 52 ление 1, % Cantat-Gaudin, UBC207 NGCI611 0.1 Cantat-Gaudin, 0 0 0 0 0 0 0 0 0 0 NBC501 0 0 0 0 0 0 0 0 0 0 0 0 0 0 0 0 0 0 0 0 0 0 0 0 0 0 0 0 KM/C 1.59 $\epsilon_{\rm Vr}$ 54.14 KM/C 0.786 2.712 3.132 3.078 1.685 2.245 2.657 2.296 2.946 2.299 2.513 2.450 3.322 3.447 -0.0333.151 2.401 1.691 2.299 8.973 16.715 4.309 18.542 6.027 15.675 9.421 7.167 *G*, mag 0.092 0.595 0.0000.0380.018 0.153 0.030 0.025 0.265 0.025 0.059 0.014 0.058 0.133 0.070 0.507 $\epsilon_{\mu\delta}$ 34.643 -1.23327.604 12.114 18.289 0.189 0.293 -0.02415.279 17.533 10.179 5.195 0.475 45.495 0.740 мсд/год -0.438-0.896-46.6710.642 0.022 0.0380.304 0.014 0.1480.223 0.193 0.176 0.030 0.000 0.011 0.050 0.157 $\epsilon_{\mu\alpha}$ 33.362 12.644 0.680 .7.102 1.032 0.728 2.765 10.264 0.513 980.91 3.716 -15.0490.883 2.247 0.598 1.742 1.290 0.222 3.762 11.184 мсд/год 0.1205 0.0340 0.8014 0.0119 0.0810 0.0816 0.17993.5024 0.1069 2.5038 0.1604 0.80330.05480.2055 0.0405 0.3656 0.0191 ϵ_{π} , MCI 2.8543 2.5861 3.3557 2.7922 2.8206 2.4857 2.5554 2.4345 2.5716 2.1930 1.7432 2.7982 4.9507 2.6043 2.0295 4.0262 3.3215 3.0301 2.5489 2.0785 2.7502 3.1765 2.0158 я, ИСД -4.64811-4.63616 -4.63244 -4.63032-4.62495 -4.66780-4.61726-4.61918-4.62073-4.61872-4.59472-4.60027-4.65102-4.63668-4.62188-4.63097-4.63125-4.63101 -4.62675-4.61766-4.61153-4.61099-4.61242-4.61293-4.59700-4.59343-4.61751град ó, 83.72704 83.74970 83.75040 83.78650 83.78419 83.78059 83.77588 83.80512 83.80702 83.73088 83.73352 83.74222 83.71364 83.68564 83.72117 83.70685 83.77175 83.74482 83.83119 83.79272 83.78259 83.73186 83.70937 83.75224 83.81941 83.71421 83.78301 83.72791 209627243533356288* 3209626659417822976* 3209627106094411520* 3209626968655449088 3209628029509289984 3209627037374936448 3209627106094410624 209627243533357440 209627690209973248 209627965087866880 3209626659414726528 3209626934295716480 3209627101797490432 209627106094412416 1209627415332067968 209627484051543424 209627484052465792 209627587130763008 3209627758929451136 209627862006748416 3209627892070318720 209627892071958656 3209627312252856192 3209627587130761856 3209626517680737024 3209627037375167616 209627587130761984 209627617192401792 209627518411278592 ID GDR3

Приложение 1. Продолжение

ı		l																												
	P_{μ} скоп-	0	87	85	55	52	46	80	44	20	18	0	0	0	0	23	0	0	0	71	0	28	0	0	54	38	1	0	30	0
	P_{μ} скоп-	0	19	5	∞	71	34	26	9	50	13	0	0	0	0	0	0	0	0	99	0	44	0	0	22	88	19	0	10	0
	Cantat-Gaudin, UBC207		1.0																											
	Cantat-Gaudin, NGC1977					1.0				1.0										1.0										
	UBC207	0	1	0	0	0	0	0	0	0	0	0	0	0	0	0	0	0	0	0	0	0	0	0	0	0	0	0	0	0
	NBC621	0	0	0	0	1	0	0	0	1	0	0	0	0	0	0	0	0	0	1	0	0	0	0	0	0	0	0	0	0
	рэіттьТ	0	0	0	0	Т	0	0	0	_	0	0	0	0	0	0	0	0	0	_	0	0	0	0	0	0	0	0	0	0
	$\epsilon_{ m Vr}$										6:36	0.74					0.76							0.95						
	$V_{\rm r}$ KM/c										31.93	-20.87					18.86							-1.61						
	BP- RP, mag	0	3.117	3.131	3.390	2.109	3.437	3.322	1.548	2.516	1.451	0.973	2.168	2.245	3.018	2.350	0.846	2.608	2.037	2.747	2.290	3.574	2.816	1.952	3.497	1.884	2.761	2.624	1.806	2.309
	G, mag	19.757	16.713	17.198	18.239	14.651	19.215	17.439	20.530	15.627	12.931	12.657	15.303	16.974	19.262	16.372	11.882	18.730	20.467	16.028	20.499	18.610	19.205	12.854	17.359	14.311	15.497	18.611	13.886	20.472
	εμδ	0.320	0.048	0.062	0.127	0.016	0.214	0.063	0.632	0.026	0.013	0.011	0.020	0.049	0.258	0.039	0.030	0.165	0.769	0.031	0.955	0.141	0.234	0.010	0.069	0.018	0.133	0.152	0.012	0.848
	µъ, мсд/год	-5.283	0.383	0.924	0.501	-0.235	0.039	0.236	0.488	-0.553	-0.141	-40.572	3.645	2.108	-4.821	1.660	-6.533	-6.581	-8.151	-0.055	-9.789	-0.377	-24.515	-11.104	0.135	-0.449	-1.352	15.932	0.175	-0.141
•	εμα	0.375	0.058	0.075	0.150	0.020	0.250	0.079	0.748	0.032	0.015	0.013	0.025	0.062	0.278	0.048	0.035	0.185	0.918	0.038	1.087	0.166	0.252	0.012	0.081	0.022	0.163	0.176	0.015	0.942
	μα, мсд/год	969.0	0.810	1.154	0.385	1.411	1.885	0.791	0.249	0.489	0.035	28.872	6.828	-2.182	1.464	0.737	-2.161	-1.291	3.561	1.178	23.249	0.481	13.889	1.678	0.481	1.260	0.127	8.681	0.127	3.403
٠	ϵ_{π} , MCA	0.4682	0.0674	0.0824	0.1697	0.0213	0.2844	9060.0	0.8761	0.0353	0.0166	0.0142	0.0275	0.0645	0.3383	0.0522	0.0392	0.2122	1.1275	0.0407	1.0340	0.1954	0.3005	0.0145	0.0981	0.0238	0.1921	0.2042	0.0169	1.1656
	π, мсд	1.9877	2.5907	2.6019	2.6511	2.5117	2.4988	2.6408	2.1150	2.5585	2.5339	3.6618	1.8107	1.7641	2.5229	1.6744	3.6242	3.8354	1.7736	2.5289	2.4392	2.1266	2.1248	2.4015	2.5201	2.9127	1.6805	3.5244	2.5425	4.3982
	δ, град	-4.58156	-4.58116	-4.58469	-4.59819	-4.69426	-4.65980	-4.63988	-4.63219	-4.59798	-4.65841	-4.64160	-4.59914	-4.58130	-4.59634	-4.59898	-4.59581	-4.59511	-4.58802	-4.58388	-4.58433	-4.57300	-4.56290	-4.56217	-4.56674	-4.56926	-4.56764	-4.60949	-4.60214	-4.59041
	α, град	83.78282	83.78266	83.74933	83.74945	83.59579	83.58361	83.65481	83.60447	83.62768	83.52890	83.55521	83.59613	83.61216	83.55931	83.56822	83.55147	83.55362	83.56397	83.58620	83.57870	83.57847	83.58517	83.58894	83.59058	83.58734	83.58466	83.69041	83.68981	83.71149
	ID GDR3	3209628068163893888	3209628068167078656	3209628136886561152	3209628136886564864	3209628411764704384	3209628789721640320	3209629064599526784	3209629197744510720	3209629442556644096	3209606073635844224	3209629610056625920	3209630232830634496	3209630267190363648	3209630297252017664	3209630301550116096	3209630365970869376*	3209630365974187776	3209630400333926400	3209630438989062528	3209630438989064960	3209630503410471552	3209630537770216960	3209630542068271744	3209630542068272768	3209630542068274432	3209630542068274688*	3209630606489651456	3209630713866951936	3209630748223569024

 $_{
m h}^{
m h}$ скоп-ление 1, % 5 0 0 0 0 13 94 0 0 0 4 0 4 5 Cantat-Gaudin, UBC207 NGC1977 1.0 0:1 0. 0.1 Cantat-Gaudin, 0 0 0 0 0 **NBC501** 0 0 0 0 0 0 0 0 0 0 0 0 0 0 0 0 0 0 0 0 0 0 0 0 0 0 KM/C 1.77 $\epsilon_{\rm Vr}$ -0.20KM/C 2.643 1.578 2.838 2.956 2.763 2.945 0.725 2.175 3.148 3.442 2.181 2.957 8.219 6.343 15.417 20.180 9.934 20.800 16.280 6.582 *G*, mag 0.0490.053 0.215 0.3800.012 0.979 0.422 0.057 0.035 0.367 1.260 0.037 0.044 0.102 0.220 0.011 0.101 $\epsilon_{\mu\delta}$ 23.757 16.712 7.322 0.687 -1.4380.882 0.306 0.927 1.137 3.509 0.936 -1.645мсд/год -1.409-15.280-1.0220.015 0.0630.2650.095 0.0120.540 0.1690.473 0.135 0.5400.047 0.027 1.627 0.041 1.610 0.057 0.127 0.441 1.671 $\epsilon_{
m m\alpha}$ 12.908 0.873 9.616 24.129 8.169 0.043 0.313 0.486 -3.249 7.654 0.773 5.966 1.435 0.230 1.091 13.477 1.280 1.189 1.100 1.234 -2.120мсд/год 0.7095 0.1412 0.0494 0.0551 4.4603 0.0163 3.0132 1.5915 2.9460 0.6721 0.5457 ϵ_{π} , MCI 2.1717 3.5471 2.8803 2.6756 3.0333 2.6154 2.6420 2.1887 3.4744 1.9360 2.5775 2.7429 2.5439 2.4139 2.5420 3.6547 2.5914 2.5620 2.5898 2.3991 2.5781 2.5501 2.0021 -4.59249-4.59138-4.58378-4.53828-4.53833-4.57768-4.56713-4.55865-4.55550-4.52860-4.52021-4.52803-4.62800-4.61584-4.61657-4.59222-4.57528-4.58252-4.57437-4.50021-4.60831-4.59057-4.57287град ó, 83.69005 83.69032 83.64708 83.72688 83.70285 83.70058 83.67836 83.65027 83.84536 83.85272 83.85825 83.84948 83.86364 83.86829 83.85838 83.85566 83.85485 83.89078 83.89793 83.87513 83.73628 83.61950 83.65300 83.61722 83.83612 83.82818 83.71101 83.65631 3209630748226684928* 3209630954386045440 1209633222127803136* 209633359565356416 3209633290847280256 3209630748223569920 209632668074077056 209632805515605504 3209632878530439296 (209633290847279744 3209633393926493184 3209630812648114944 3209631332342463488 3209631366700061056 3209631602923275904 3209631809080533760 3209631843441423232 209632358836382720 209632427557020800 3209632500574264960 209632775451232768 209632805514060800 209633084688867840 209633153408346752 209633217829803648 3209633222127808512 209633320911691136 3209631744659111040 209631985177275776

	родолжение
ļ	⊣
,	_;
	пожение

Приложение 1. Продол	Продолжение																	
ID GDR3	α, град	8, град	π, мсд	$\mathcal{E}_{ au},$ МСД	$\mu_{lpha},$ мсд/год	$arepsilon_{\mulpha}$	μδ, мсд/год	$\epsilon_{\mu\delta}$	G, mag	BP- RP, mag	$V_{ m r}$	EVr. KM/C	UBC621	UBC207	Cantat-Gaudin, NGC1977	Cantat-Gaudin, UBC207	ление 1, %	$m{b}^{h}$ скои-
3209633428286224640	83.89244	-4.56172	2.5799	0.0354	1.469	0.031	-0.486	0.025	15.615	2.457			0 1	0	1.0		87	32
3209633497005694976	83.91956	-4.55748	2.5759	0.0374	0.727	0.031	-0.839	0.026	15.034	2.103			0 0	0			73	13
3209633497006617600	83.92014	-4.56032	1.9968	0.1546	-5.770	0.128	0.364	0.105	17.922	3.140			0 0	0			0	0
3209633531365437440	83.90220	-4.55989	2.8598	0.0165	15.343	0.014	-24.498	0.012	13.791	1.150			0 0	0			0	0
3209633737523865728	83.89206	-4.54361	2.3748	0.0587	1.348	0.052	0.357	0.042	15.981	3.023			0 0			1.0	26	93
3209633870665968384	83.80807	-4.58429	2.8378	0.2101	1.072	0.181	-0.491	0.146	18.598	3.420			0 0	0			87	35
3209633874962855424	83.80478	-4.57581	3.3635	0.0735	23.514	0.065	-15.340	0.050	17.035	2.577			0 0	0			0	0
3209634042466195840	83.83311	-4.55453	2.2839	0.8484	11.045	0.675	-8.093	0.512	20.247	2.356			0 0	0			0	0
3209634081121273472	83.81415	-4.55729	2.5450	0.0191	1.084	0.016	0.549	0.013	13.951	1.760			0 0			1.0	15	66
3209634115477755648	83.81927	-4.54609	2.7791	0.5176	1.127	0.430	0.890	0.342	19.863	3.111			0 0	0			5	87
3209634214263820544	83.77813	-4.55787	2.8630	0.5082	1.304	0.447	0.320	0.372	19.710	2.989			0 0	0			28	93
3209634282982858752	83.79643	-4.54655	1.9941	0.3476	5.811	0.311	1.906	0.242	19.360	2.590			0 0	0			0	0
3209634287279701376	83.80929	-4.54803	2.5839	0.0911	1.217	0.077	0.131	0.061	17.289	3.504			0 0	0			41	85
3209634355999183104	83.79042	-4.54136	1.8769	0.5014	1.356	0.423	6.863	0.339	19.613	2.034			0 0	0			0	0
3209634420421810816	83.84827	-4.54819	2.8302	0.1996	1.240	0.169	-0.908	0.140	18.544	3.642			0 0	0			86	12
3209634523501047424	83.85151	-4.53039	1.7189	0.4707	43.208	0.379	-8.435	0.313	19.719	2.454			0 0	0			0	0
3209634523501048448	83.85452	-4.52982	1.7552	0.7929	1.760	0.578	2.692	0.459	20.265	1.954			0 0	0			0	0
3209634592220535808	83.87627	-4.52228	3.0240	0.2823	1.086	0.246	0.746	0.199	19.033	3.293			0 0	0			∞	94
3209634699596549248	83.82542	-4.52205	2.6845	0.0448	1.373	0.041	0.459	0.032	15.783	2.913			0 0	_		1.0	20	94
3209634905754969856	83.84112	-4.49417	2.7835	0.0677	1.477	0.058	1.554	0.044	6.569	-0.205			0 0	0			0	31
3209634905754971136	83.83550	-4.49710	2.6056	0.1397	1.903	0.118	1.037	0.095	17.935	3.004			0 0	0			2	43
3209634940114705920	83.85150	-4.49376	1.8035	0.0376	-4.118	0.032	-0.198	0.027	15.731	1.677			0 0	0			0	0
3209635038895971584	83.92897	-4.53257	3.1424	1.8340	0.425	1.329	-2.589	1.032	20.734	1.249			0 0	0			1	0
3209635141976356608	83.97173	-4.51620	4.4643	0.3941	25.620	0.313	8.378	0.243	19.351	3.083			0 0	0			0	0
3209635283712083072	83.91858	-4.51946	2.4760	0.1114	0.863	0.094	0.857	0.076	17.661	3.736			0 0	0			5	82
3209635318068449024	83.89795	-4.52101	2.1386	0.4536	0.501	0.363	1.091	0.294	19.681	2.749			0 0	0			_	47
3209635386791291648	83.93634	-4.50054	2.7133	0.1176	1.194	0.101	1.199	0.078	17.725	3.238			0 0	0			-	63
3209635416854666240	83.95479	-4.49903	2.5359	0.3626	1.371	0.293	0.719	0.233	19.435	3.453			0 0	0			6	91
							•						1	-				Ī

Приложение 1. Окончание

•													F			,		
ID GDR3	α, град	, град	$\pi,$ MCA	£ _п , мсд	$\mu_{lpha},$ мсд/год	εμα	μδ, мсд/год	εμδ	G, mag	BP- RP, mag	$V_{\rm r}$ KM/C	ε _{Vr} , κм/c	Tarricq UBC621	UBC207	Cantat-Gaudin NGC1977	Cantat-Gaudin UBC207	$^{ m h}_{ m c}$ скои-	ление 2, % ление 2, %
3209636275848126464	83.89922	-4.48348	2.2378	0.3310	0.560	0.275	0.857	0.225	19.291	3.400			0	0 0			3	63
3209636348860592640	83.87467	-4.49045	2.4845	0.4560	-1.471	0.371	-0.032	0.306	19.745	2.938			0	0 0			0	0
3209636378926968576	83.87620	-4.48169	2.2755	0.5575	-0.140	0.446	-4.646	0.367	19.827	2.671			0	0 0			0	0
3209636383223711872	83.87978	-4.48944	2.7172	0.4714	1.079	0.379	-0.716	0.310	19.776	3.117			0	0 0			95	21
3209637173497743616	83.75700	-4.54805	2.6105	0.0310	1.161	0.028	0.525	0.023	15.371	2.305			0	$\frac{1}{0}$		1.0	17	66
3209637173497744000*	83.76095	-4.55295	3.2081	1.7010	12.948	1.407	-0.611	1.168	20.594	2.099			0	0 0			0	0
3209637203559481728*	83.77100	-4.54261	4.5315	0.6039	1.160	0.542	-4.428	0.427	16.426	3.138			0	0 0			0	0
3209637272283430656	83.75060	-4.52681	2.6186	0.0217	1.950	0.019	1.791	0.016	9.579	0.379			0	0 0			0	10
3209637379656156544	83.76993	-4.51727	2.6089	0.1013	1.259	0.085	0.330	0.067	17.402	3.226			0	0 0			27	95
3209637620174319744	83.76598	-4.49972	2.9626	0.2160	0.870	0.181	-0.545	0.143	18.632	3.364			0	0 0			62	29
3209637684595887104	83.76295	-4.49302	3.1329	0.1946	6.953	0.164	-16.165	0.126	18.534	2.628			0	0 0			0	0
3209637723250200576	83.81028	-4.50699	2.1165	0.3788	1.547	0.311	-17.263	0.245	19.540	2.898			0	0 0			0	0
3209637822034844800	83.79934	-4.48929	3.5188	0.2225	17.618	0.197	-22.425	0.150	18.840	2.673			0	0 0			0	0
3209637856398146944	83.81648	-4.49165	2.7583	0.2727	10.326	0.239	-10.603	0.185	19.047	3.133			0	0 (0	0
3209637860692471936	83.82367	-4.48975	2.6681	0.0141	3.604	0.013	-0.239	0.010	12.850	898.0			0	0 0			0	0
3209637860692473728*	83.81707	-4.49176	2.3184	0.1167	0.662	0.104	0.630	0.078	16.570	3.048			0	0 (8	77
3209637895050745088	83.83853	-4.48738	1.9613	0.9033	-0.476	0.747	4.083	0.576	20.355	1.304			0	0			0	0
3209637895052204800	83.84492	-4.48086	2.5190	0.0239	1.215	0.020	-0.704	0.015	14.535	1.755				0_1	1.0		86	22
3209637963772605312	83.82122	-4.47126	3.0890	0.0754	5.304	0.070	-14.227	0.054	17.033	2.333			0	0 0			0	0
3209637998128166528	83.77890	-4.48682	1.8985	0.3700	5.599	0.296	-6.789	0.235	19.419	2.790			0	0 0			0	0
3209638032491167872	83.79538	-4.48376	2.5510	9890.0	1.229	0.063	0.603	0.047	16.815	2.976			0	0 1		1.0	13	86
3209638066850913536	83.76684	-4.48642	2.1600	0.0147	-4.615	0.012	-8.693	0.010	12.791	1.113	69.54	2.06	0	0 0			0	0
3209638303074732800	83.73178	-4.50424 1.7826	1.7826	1.1522	0.304	0.930	7.861	0.784	20.631	1.388			0	0 0			0	0
3209638341728844928	83.70720	-4.49293	2.3638	0.1295	0.319	0.123	0.495	0.093	17.979	3.291			0	0 0			7	49
3209638341728846464	83.70325	-4.49508	2.5101	0.0797	0.110	0.073	0.734	0.058	17.149	3.075			0	0 0			2	32
3209638479167789440	83.72166	-4.48423	2.4986	0.0143	0.772	0.013	0.472	0.010	13.409	1.748			0	0 1		1.0	15	98
3209638479167789824	83.72274	-4.48600 2.5694		0.0593	0.801	0.055	0.146	0.043	16.417	3.046			0	0 1		1.0	32	9/

Приложение 2. Вероятности членства звезд в скоплениях по данным (Castro-Ginard, et al. 2020 [5]) и (Cantat-Gaudin, et al. 2020 [12]) и полученные в данной работе. В колонках содержатся ID Gaia DR3 (звезды с RUWE >= 1.4 отмечены индексом "звездочка"). В колонках UBC 621, UBC 207 — флаг = 1/0, если звезда есть/нет в списке [5], колонки Conte-Gaudin NGC 1977 и Conte-Gaudin UBC 207 содержат значения proba из [12], колонки " P_{μ} скопление 1" и " P_{μ} скопление 2" — оценки вероятности принадлежности к NGC 1977 и NGC 1981, полученные в данной работе

ID GDR3	UBC621	Cantat-Gaudin, NGC1977	<i>P</i> _µ скоп- ление 1, %	UBC207	Cantat-Gaudin, UBC207	P_{μ} скопление 2, %		
P3C UBC 621 (NGC 1977)								
3209529112120792320	1	1.0	49	0		3		
3209535125074880896	1	1.0	20	0		0		
3209535812269642624	1	1.0	56	0		1		
3209535880989110784	1	1.0	88	0		34		
3209543646290052480	1	1.0	61	0		44		
3209545845313264256	1	1.0	67	0		26		
3209546704307621888	1	1.0	46	0		77		
3209546910465148928	1	1.0	77	0		3		
3209547013544362624	1	1.0	96	0		11		
3209547043605422976*	1	1.0	70	0		12		
3209547593361280000	1	1.0	81	0		6		
3209548216135201408	1	1.0	60	0		1		
3209549315646870656	1	1.0	99	0		21		
3209549831042932224	1	1.0	46	0		47		
3209549934122125568	1	1.0	78	0		4		
3209550037201361024	1	1.0	92	0		33		
3209551514670084992	1	1.0	60	0		50		
3209551613451841664	1	1.0	63	0		35		
3209552304944061312	1	1.0	82	0		16		
3209552339303795072	1	1.0	87	0		19		
3209552442383007744	1	1.0	58	0		5		
3209552678602713344	1	1.0	54	0		57		
3209553026498569344	1	1.0	32	0		70		
3209553576254369536	1	1.0	71	0		33		
3209553576254369792	1	1.0	64	0		48		
3209555569119322624	1	1.0	58	0		15		
3209559211251444992	1	1.0	52	0		57		
3209559486129350912	1	1.0	58	0		3		
3209560138964360064	1	1.0	89	0		6		
3209560173324262016	1	1.0	92	0		9		
3209571305879349248	1	1.0	54	0		24		
3209571477678049408	1	1.0	49	0		74		
3209571683836467584	1	1.0	87	0		5		
3209571855635149824	1	1.0	87	0		9		
3209571958715287680*	1	1.0	67	0		11		
3209572061793574912	1	1.0	97	0		11		
3209572061793579264	1	1.0	63	0		1		
3209572130513055104	1	1.0	85	0		6		
3209572233592263168	1	1.0	85	0		5		
3209572233592263808	1	1.0	51	0		1		
3209572267951998080	1	1.0	28	0		0		
3209572405390981760	1	1.0	97	0		19		
3209572611549411200	1	1.0	54	0		4		

Приложение 2. Продолжение

Приложение 2. Продолжение								
ID GDR3	UBC621	Cantat-Gaudin, NGC1977	P_{μ} скоп- ление 1, %	UBC207	Cantat-Gaudin, UBC207	P_{μ} скопление 2, %		
3209572847772120320	1	1.0	73	0		7		
3209572852067565568*	1	1.0	91	0		9		
3209572916491595904*	1	1.0	18	0		0		
3209572955146774656	1	1.0	68	0		2		
3209573058225987712	1	1.0	67	0		2		
3209573058226152064	1	1.0	79	0		3		
3209573436183095296	1	1.0	91	0		8		
3209573814140210944	1	1.0	95	0		13		
3209574054658370304	1	1.0	97	0		21		
3209574604414198272	1	1.0	91	0		26		
3209574673133667712	1	1.0	87	0		13		
3209574707493411712	1	1.0	99	0		13		
3209574741853143552	1	1.0	97	0		20		
3209574776212894976	1	1.0	84	0		15		
3209574776212896384	1	1.0	83	0		4		
3209574810572628352	1	1.0	77	0		16		
3209574913651840640	1	1.0	76	0		7		
3209575463407638400	1	1.0	91	0		34		
3209575600846656128	1	1.0	49	0		7		
3209575703925862912	1	1.0	78	0		16		
3209575703925864576*	1	1.0	74	0		3		
3209575807002165248*	1	1.0	60	0		1		
3209575807005072000	1	1.0	92	0		7		
3209575978803775488*	1	1.0	46	0		0		
3209576013163656064	1	1.0	12	0		0		
3209576322401123200	1	1.0	75	0		17		
3209576459840251776	1	1.0	72	0		55		
3209576597279031680*	1	1.0	78	0		21		
3209576769077759744*	1	1.0	67	0		12		
3209576769077761152*	1	1.0	65	0		34		
3209576940876434048	1	1.0	80	0		10		
3209576940876434176	1	1.0	59	0		10		
3209577421912751616	1	1.0	45	0		3		
3209577692491953024*	1	1.0	39	0		81		
3209577937308816896	1	1.0	78	0		13		
3209578074747777792	1	1.0	96	0		27		
3209578109107513856	1	1.0	88	0		6		
3209578177827165568	1	1.0	85	0		22		
3209578276615162112*	1	1.0	92	0		7		
3209578280906199168	1	1.0	95	0		9		
3209578865021733760	1	1.0	72	0		53		
3209579002460710144	1	1.0	80	0		11		
3209579311698352128	1	1.0	51	0		21		
3209579341762702464	1	1.0	49	0		78		
3209579517856776832	1	1.0	49	0		29		
3209581476361838592	1	1.0	96	0		26		
3209598346993491840	1	1.0	80	0		43		
3209598587511657216	1	1.0	77	0		50		

Приложение 2. Окончание

ID GDR3	UBC621	Cantat-Gaudin, NGC1977	P_{μ} скоп- ление 1, %	UBC207	Cantat-Gaudin, UBC207	P_{μ} скопление 2, %
3209598656231133824	1	1.0	97	0		26
3209601576808874880	1	1.0	54	0		13
3209606009215121024	1	1.0	35	0		72
3209624529114069888	1	1.0	78	0		14
3209625216308848512	1	1.0	98	0		20
3209625525546487168	1	1.0	69	0		50
3209625731704909952	1	1.0	60	0		32
3209627415332067968	1	1.0	35	0		88
3209627484051543424	1	1.0	73	0		11
3209628411764704384	1	1.0	71	0		52
3209629442556644096	1	1.0	50	0		20
3209630438989062528	1	1.0	56	0		71
3209632775451232768	1	1.0	46	0		3
3209633290847279744	1	1.0	96	0		15
3209633290847280256	1	1.0	99	0		19
3209633393926493184	1	1.0	80	0		8
3209633428286224640	1	1.0	87	0		32
3209637895052204800	1	1.0	98	0		22
	l	P3C UBC	207 (NGC 198	1 31)	l .	
3209555534759586432	0	1	4	1	1.0	77
3209530039833724032	0		6	1	1.0	86
3209557802502310912	0		3	1	1.0	77
3209558592776300032	0		4	1	1.0	80
3209558764574989696	0		0	1	1.0	31
3209568797618582144	0		2	1	1.0	66
3209573775484007040	0		37	1	1.0	67
3209573779780478592	0		4	1	1.0	76
3209573951579158144	0		5	1	1.0	87
3209574054658371200	0		4	1	1.0	82
3209575463407640960	0		3	1	1.0	79
3209578315265936128	0		2	1	1.0	68
3209579002460711168	0		2	1	1.0	63
3209579208619140480	0		4	1	1.0	80
3209581167124196736	0		1	1	1.0	57
3209581682520242560	0		24	1	1.0	92
3209585633890383872	0		15	1	1.0	97
3209586355444660992	0		41	1	1.0	79
3209628068167078656	0		19	1	1.0	87
3209630748226684928*	0		5	1	1.0	87
3209632878530439296	0		22	1	1.0	82
3209633737523865728	0		26	1	1.0	93
3209634081121273472	0		26 15	1	1.0	93 99
3209634699596549248	0		20	1	1.0	99 94
3209637173497743616	0		20 17	1	1.0	94 99
3209638032491167872	-			-		99 98
3209638479167789440	0		13	1	1.0	98 86
	0		15	1	1.0	
3209638479167789824	0		32	1	1.0	76

БЛАГОДАРНОСТИ

В этой работе использовались данные миссии Gaia Европейского космического агентства (ESA) (https://www.cosmos.esa.int/gaia), обработанные Консорциумом обработки и анализа данных Gaia (DPAC. https://www.cosmos.esa.int/web/gaia/dpac/consortium). Финансирование DPAC было предоставлено национальными учреждениями, в частности учреждениями, участвующими в Многостороннем соглашении Gaia. Веб-сайт миссии Gaia: https://www.cosmos.esa.int/gaia. Веб-сайт архива Gaia: https://archives.esac.esa.int/gaia. В этом исследовании использовалась база данных SIMBAD (http://cds.u-strasbg.fr), работающая в CDS, Страсбург, Франция. Авторы благодарят Н.В. Харченко и А.Э. Пискунова за полезные советы и замечания. Авторы благодарят Д.А. Мосунову за помощь. Авторы признательны рецензентам за замечания, позволившие улучшить содержание работы.

СПИСОК ЛИТЕРАТУРЫ

- 1. S. V. Vereshchagin and N. V. Chupina, Astron. Reports, 54, 784 (2010).
- 2. J. A. Caballero, A. de Burgos, F. J. Alonso-Floriano, A. Cabrera-Lavers, D. García-Álvarez, and D. Montes, Astron. and Astrophys. **629**, A114 (2019).
- 3. J. E. Großschedl, J. Alves, S. Meingast, and G. Herbst-Kiss, Astron. and Astrophys. **647**, A91, 35 pp. (2021).
- 4. Y. Tarricq, C. Soubiran, L. Casamiquela, T. Cantat-Gaudin, et al., Astron. and Astrophys. 647, A19, 15 (2021).
- 5. A. Castro-Ginard, C. Jordi, X. Luri, J. Álvarez Cid-Fuentes, et al., Astron. and Astrophys. 635, A45 (2020).
- X. Pang, S-Y. Tang, Y. Li, Z. Yu, et al., Astrophys. J. 931, 2, id.156, 25 (2022).
- 7. S. V. Vereshchagin and N. V. Chupina, Astron. Reports 55, 2, 123 (2011).
- 8. H. Bouy, J. Alves, E. Bertin, L. M. Sarro, and D. Barrado, Astron. and Astrophys. **564**, A29 (2014).
- 9. S. V. Vereshchagin, A. V. Tutukov, N. V. Chupina, E. S. Postnikova, and M. D. Sizova, Astron. Reports, 66, 5, 361 (2022).
- Gaia DR2 Gaia Collaboration, A. G. A. Brown, A. Vallenari, T. Prusti, et al., Astron. and Astrophys. 616, id. A1, 22 (2018).
- 11. Gaia DR3 Gaia Collaboration, A. Vallenari, et al., Astron. and Astrophys. in prep., VizieR On-line Data Catalog: I/355/gaiadr3 (2022j).

- 12. T. Cantat-Gaudin, F. Anders, A. Castro-Ginard, C. Jordi, M., et al., Astron. and Astrophys. 640, A1, 1-1 (2020).
- 13. *C. Conrad, R.-D. Scholz, N. V. Kharchenko, et al.*, Astron. and Astrophys. **600**, A106, 15 pp. (2017).
- 14. *G. Carraro and C. Chiosi*, Astron. and Astrophys. **288**, 751 (1994).
- 15. *C. Bonatto, E. Bica, and J. F. C. Santos Jr.*, Astron. and Astrophys. **433**, 917 (2005).
- 16. C. Taylor, M. Boylan-Kolchin, P. Torrey, M. Vogelsberger, and L. Hernquist, Monthly Not. Roy. Astron. Soc. **461**, 3483 (2016).
- 17. M. S. Angelo, J. F. C. Santos Jr, F. F. S. Maia, and W. J. B. Corradi, preprint astro-ph/2112.15247 (2021).
- N. V. Kharchenko, A. E. Piskunov, S. Roeser, E. Schilbach, and R.-D. Scholz, Astron. and Astrophys. 558, A53 (2013).
- 19. H. Monteiro, W. S. Dias, A. Moitinho, T. Cantat-Gaudin, et al., Monthly Not. Roy. Astron. Soc. 499, 2, 1874 (2020).
- 20. L. Lindegren, J. Hernández, A. Bombrun, et al., Astron. and Astrophys. **616**, A2 (2018).
- 21. N. V. Kharchenko, A. E. Piskunov, S. Röser, E. Schilbach, and R.-D. Scholz, Astronomische Nachrichten 325, 9, 740 (2004).
- 22. N. V. Kharchenko, A. E. Piskunov, E. Schilbach, S. Röser, and R.-D. Scholz, Astron. and Astrophys. **543**, A156 (2012).
- 23. *E. Vasiliev*, Monthly Not. Roy. Astron. Soc. **484**, 2832 (2019).
- 24. Ya. O., Chumak and A. S. Rastorguev, Astron. Lett. 32, 3, 157-165 (2006).
- 25. *T. B. Andersen and A. Reiz*, Astron. and Astrophys. Suppl. Ser. **53**, 181 (1983).
- 26. Gaia DR3 Gaia Collaboration, A. Vallenari, et al., Aтыstron. and Astrophys. in prep., VizieR On-line Data Catalog: I/355/paramp (2022j).
- S. V. Ramirez, L. Rebull, J. Stauffer, S. Strom, et al., Astron. J. 128, 787 (2004).
- 28. VizieR On-line Data Catalog: II/368. Originally published in: Spitzer Science Center (SSC), IRSA (2021).
- 29. N. N. Samus, E. V. Kazarovets, O. V. Durlevich, N. N. Kireeva, and E. N. Pastukhova, Astron. Reports, **61**, 1, 80 (2017).
- 30. Z. He, X. Liu, Y. Luo, K. Wang, and Q. Jiang, arXiv: 2209.08504 (2022)